

| | | | |
|--|---------------------------|------------------------------|---------------------|
|  | TÍTULO: CARTA CEBI | CÓDIGO: 1006-QUA-NO-005-2 | |
| | | REV.: 00 | DATA: 07/08/2023 |

CARTA CEBI 011/2025

CAPANEMA, 14 DE FEVEREIRO DE 2025

Ao Ilmo. Senhor

JOSÉ VOLNEI BISOGNIN

INSTITUTO ÁGUA E TERRA – IAT / PRESIDÊNCIA,

Rua Engenheiros Rebouças, 1206 – Rebouças. Curitiba, PR.

Assunto: Relatório Final da Fase 5 do Programa 20 - Fauna Terrestre e Semiaquática.

Prezado Senhor,

Ao Cumprimentar vossa senhoria, o **CONSÓRCIO EMPREENDEDOR BAIXO IGUAÇU “CEBI”**, com sede na Rua Tupinambás, 1187 - Centro, Capanema - PR, 85760-000, inscrito no CNPJ sob o nº19.469.993/0001-73, vimos por meio desta, encaminhar o Relatório Final da Fase 5 do Programa 20 - Fauna Terrestre e Semiaquática

Sendo o que tínhamos para o momento, nos colocamos à disposição para maiores esclarecimentos.

Atenciosamente,

Ricardo Ivo Hoffert Cruz Fortes
Presidente Diretor, Técnico e Ambiental
Consórcio Empreendedor Baixo Iguaçu

Assinada digitalmente pelo REPRESENTANTE LEGAL através de certificado digital.

Anexo – Relatório Final Fase 5 - Programa 20.

PROTOCOLO DE ASSINATURA(S)

O documento acima foi proposto para assinatura digital na plataforma Certisign Assinaturas. Para verificar as assinaturas clique no link: <https://assinaturas.certisign.com.br/Verificar/546C-0550-3864-EA4E> ou vá até o site <https://assinaturas.certisign.com.br> e utilize o código abaixo para verificar se este documento é válido.

Código para verificação: 546C-0550-3864-EA4E



Hash do Documento

1CA60B755919A814FB28C1C2E8A0B24D7085DBE2402C2ED7CFD1DAB1043A219C

O(s) nome(s) indicado(s) para assinatura, bem como seu(s) status em 17/02/2025 é(são) :

- Ricardo Ivo Hoffert Cruz Fortes (Signatário - Consorcio
Empreendedor Baixo Iguacu) - 041.632.286-75 em 17/02/2025
08:40 UTC-03:00
Tipo: Certificado Digital



Aos cuidados de

UHE BAIXO IGUAÇU



biotropica

consultoria de fauna & flora

Biotropica Consultoria Ambiental Ltda

11.342.861/0001-74

Avenida Santo Antônio, nº571

Centro, CEP 37701-036

(15)3227-5191/ (35) 3414-2511

contato@biotropicaconsultoria.com.br



biotrópica

consultoria de fauna & flora

**RELATÓRIO CONSOLIDADO DE
MONITORAMENTO DE FAUNA
UHE BAIXO IGUAÇU - PR**

Janeiro de 2025

RELATÓRIO CONSOLIDADO DE MONITORAMENTO DE FAUNA

Biotropica Consultoria de fauna e flora

Responsável técnico

Lilian Sayuri Ouchi de Melo
(Coordenador(a) de projetos)

Responsável geral

Renato Gaiga
(Coordenador Geral)

Relatório consolidado de monitoramento de fauna terrestre e aquática, referente as fases 01,02,03,04 e 05, nas áreas de influência da Usina Hidrelétrica de Baixo Iguaçu, Paraná.

JANEIRO DE 2025

SUMÁRIO

| | |
|--|-----|
| 1. IDENTIFICAÇÃO DO EMPREENDIMENTO | 11 |
| 1.1. Identificação do empreendedor..... | 11 |
| 1.2. Identificação da consultoria contratada | 11 |
| 3. APRESENTAÇÃO | 13 |
| 4. CARACTERIZAÇÃO DO EMPREENDIMENTO | 14 |
| 4.1. Contextualização..... | 14 |
| 5. OBJETIVOS | 15 |
| 5.1. Objetivo Geral..... | 15 |
| 5.2. Objetivos específicos..... | 15 |
| 6. METODOLOGIA | 16 |
| 6.1. Área de Estudo | 16 |
| 6.2. Métodos de amostragem | 21 |
| 6.2.1. Avifauna..... | 21 |
| 6.2.2. Mastofauna- Mamíferos terrestres | 24 |
| 6.2.3. Quirópteros..... | 27 |
| 6.2.4. Herpetofauna..... | 28 |
| 6.2.5. <i>Lontra longicaudis</i> (Lontra-neotropical)..... | 30 |
| 6.2.6. <i>Phrynops williamsi</i> (Cágado-rajado)..... | 32 |
| 6.3. Análises dos dados..... | 36 |
| 6.3.1. Parâmetros Ecológicos..... | 36 |
| 6.3.2. Uso e ocupação do ambiente | 38 |
| 6.4. Classificação dos dados..... | 38 |
| 7. FAUNA TERRESTRE | 39 |
| 7.1. Avifauna | 39 |
| 7.1.1. Introdução..... | 39 |
| 7.1.2. Resultados e Discussão | 40 |
| 7.1.3. Espécies de interesse para conservação..... | 83 |
| 7.1.4. Síntese do grupo | 99 |
| 7.1.5. Relatório fotográfico..... | 100 |
| 7.2. Mastofauna – Mamíferos terrestres | 103 |
| 7.2.1. Introdução..... | 103 |
| 7.2.2. Resultados e Discussão | 104 |
| 7.2.3. Espécies de interesse para conservação..... | 120 |
| 7.2.4. Síntese do grupo | 127 |

| | | |
|-------------|---|-----|
| 7.2.5. | <i>Relatório fotográfico</i> | 128 |
| 7.3. | Quirópteros | 132 |
| 7.3.1. | <i>Introdução</i> | 132 |
| 7.3.2. | <i>Resultados e Discussão</i> | 133 |
| 7.3.3. | <i>Espécies de interesse para conservação</i> | 144 |
| 7.3.4. | <i>Síntese do grupo</i> | 146 |
| 7.3.5. | <i>Relatório fotográfico</i> | 146 |
| 7.4. | Herpetofauna | 147 |
| 7.4.1. | <i>Introdução</i> | 147 |
| 7.4.2. | <i>Resultados e Discussão</i> | 148 |
| 7.4.3. | <i>Espécies de interesse para conservação</i> | 163 |
| 7.4.4. | <i>Síntese do grupo</i> | 168 |
| 7.4.5. | <i>Relatório fotográfico</i> | 169 |
| 8. | FAUNA SEMI-AQUÁTICA | 171 |
| 8.1. | <i>Lontra longicaudis (Lontra neotropical)</i> | 171 |
| 8.1.1. | <i>Introdução</i> | 171 |
| 8.1.2. | <i>Resultados e Discussão</i> | 172 |
| 8.1.3. | <i>Síntese do grupo</i> | 178 |
| 8.1.4. | <i>Relatório fotográfico</i> | 179 |
| 8.2. | <i>Phrynops williamsi (Cágado- rajado)</i> | 182 |
| 8.2.1. | <i>Introdução</i> | 182 |
| 8.2.2. | <i>Resultados e Discussão</i> | 183 |
| 8.2.3. | <i>Síntese do grupo</i> | 190 |
| 8.2.4. | <i>Relatório fotográfico</i> | 191 |
| 9. | CONCLUSÃO GERAL | 193 |
| 10. | REFERÊNCIAS | 195 |

ÍNDICE DE FIGURAS

| | |
|---|-----|
| Figura 1. Localização da UHE Baixo Iguaçu, estado do Paraná. Fonte: UHEBI (2021). | 15 |
| Figura 2. Número de espécies de aves registradas por ordem taxonômica ao longo do monitoramento na UHE Baixo Iguaçu. | 41 |
| Figura 3. Número de indivíduos registrados por espécie mais representativas (n>100) ao longo das fases de monitoramento na UHE Baixo Iguaçu. | 42 |
| Figura 4. Número de espécies registradas por áreas de influência e fase do monitoramento. | 43 |
| Figura 5. Diagrama de Venn apresentando a quantidade de espécies exclusivas e compartilhadas entre as fases. A figura ilustra as principais combinações de presença e ausência. | 45 |
| Figura 6. Número de indivíduos registrados por áreas de influência e fase do monitoramento. | 47 |
| Figura 7. Gráficos de boxplot da variação da riqueza e da abundância da avifauna entre as fases de monitoramento na UHE Baixo Iguaçu. | 49 |
| Figura 8. Principais guildas tróficas registradas ao longo das fases de monitoramento. CAR=Carnívoro, FRU= Frugívoro, GRA= Granívoro, INS = Insetívoro, MAL= Malacófago, NEC= Nectarívoro, ONI= Onívoro, PIS= Piscívoro. | 78 |
| Figura 9. Agrupamento das áreas amostrais com relação à dissimilaridade na composição de espécies de aves, de acordo com os dados de monitoramento. Valores mais próximos de zero indicam áreas menos similares (correlação cofenética 0.99). | 81 |
| Figura 10. Curva de rarefação para aves utilizando o estimador de riqueza Chao 1. Linha contínua é a riqueza observada e a linha tracejada é a riqueza estimada. | 83 |
| Figura 11. Número de espécies de mamíferos silvestres registrados por família ao longo do monitoramento na UHE Baixo Iguaçu. | 104 |
| Figura 12. Número de indivíduos registrados por espécie ao longo das fases de monitoramento na UHE Baixo Iguaçu. | 106 |
| Figura 13. Número de espécies registradas por áreas de influência e fase do monitoramento. | 107 |
| Figura 14. Diagrama de Venn apresentando a quantidade de espécies silvestres exclusivas e compartilhadas entre as fases. A figura ilustra as principais combinações de presença e ausência. | 109 |
| Figura 15. Número de indivíduos registrados por áreas de influência e fase do monitoramento. | 110 |
| Figura 16. Gráficos de boxplot da variação da riqueza e da abundância de mamíferos silvestres entre as fases de monitoramento na UHE Baixo Iguaçu. | 112 |
| Figura 17. Agrupamento das áreas amostrais com relação à dissimilaridade na composição de espécies de mamíferos silvestres, de acordo com os dados de monitoramento. Valores mais próximos de zero indicam áreas menos similares (correlação cofenética 0.90). | 118 |
| Figura 18. Curva de rarefação para mamíferos terrestres utilizando o estimador de riqueza Chao 1. Linha contínua é a riqueza observada e a linha tracejada é a riqueza estimada. . | 120 |
| Figura 19. Número de espécies de morcegos registrados ao longo do monitoramento na UHE Baixo Iguaçu. | 133 |
| Figura 20. Número de espécies registradas por áreas de influência e fase do monitoramento. | 134 |
| Figura 21. Diagrama de Venn apresentando a quantidade de espécies silvestres exclusivas e compartilhadas entre as fases. A figura ilustra as principais combinações de presença e ausência. | 135 |

| | |
|---|-----|
| Figura 22. Número de indivíduos registradas por áreas de influência e fase do monitoramento. | 136 |
| Figura 23. Gráficos de boxplot da variação da riqueza e da abundância de morcegos entre as fases de monitoramento na UHE Baixo Iguaçu. | 137 |
| Figura 24. Agrupamento das áreas amostrais com relação à dissimilaridade na composição de espécies de morcegos, de acordo com os dados de monitoramento. Valores mais próximos de zero indicam áreas menos similares (correlação cofenética 0.91). | 141 |
| Figura 25. Curva de rarefação para morcegos utilizando o estimador de riqueza Chao 1. Linha contínua é a riqueza observada e a linha tracejada é a riqueza estimada. | 143 |
| Figura 26. Número de espécies de anfíbios e répteis registrados por família ao longo do monitoramento na UHE Baixo Iguaçu. | 149 |
| Figura 27. Número de indivíduos registrados por espécie ao longo das fases de monitoramento na UHE Baixo Iguaçu. | 150 |
| Figura 28. Número de espécies registradas por áreas de influência e fase do monitoramento. | 151 |
| Figura 29. Diagrama de Venn apresentando a quantidade de espécies silvestres exclusivas e compartilhadas entre as fases. A figura ilustra as principais combinações de presença e ausência. | 153 |
| Figura 30. Número de indivíduos registrados por áreas de influência e fase do monitoramento. | 154 |
| Figura 31. Gráficos de boxplot da variação da riqueza e da abundância de anfíbios e répteis entre as fases de monitoramento na UHE Baixo Iguaçu. | 156 |
| Figura 32. Agrupamento das áreas amostrais com relação à dissimilaridade na composição de espécies de anfíbios e répteis, de acordo com os dados de monitoramento. Valores mais próximos de zero indicam áreas menos similares (correlação cofenética 0.98). Obs. Corr_bio (corredor de biodiversidade). | 161 |
| Figura 33. Curva de rarefação para anfíbios e répteis utilizando o estimador de riqueza Chao 1. Linha contínua é a riqueza observada e a linha tracejada é a riqueza estimada. | 163 |
| Figura 34. Número de lontras registradas em cada uma das fases de monitoramento e nas áreas de influência. | 172 |
| Figura 35. Número de indivíduos de Lontra longicaudis registradas por local de registro. . | 174 |
| Figura 36. Porcentagem de indivíduos de Lontra longicaudis nos períodos do dia registradas através do método de armadilhas fotográficas. | 175 |
| Figura 37. Mapa de calor dos locais de encontro de Lontra longicaudis nas fases de monitoramento. Resultados obtidos através da estimativa de densidade de Kernel. Fonte: Biotropica Consultoria de Fauna e Flora, 2024. | 177 |
| Figura 38. Número de indivíduos de Phrynops williamsi (cágado-rajado) contabilizados apenas pelo método de ponto fixo. | 184 |
| Figura 39. Número de indivíduos de Phrynops williamsi (cágado-rajado) contabilizados apenas no método de redes de feiticeira. | 185 |
| Figura 40. Razão sexual e faixa etária dos indivíduos de Phrynops williamsi (cágado-rajado) capturados apenas nas redes de feiticeira. SND= Sexo não definido. | 186 |
| Figura 41. Número de indivíduos de P. geoffroanus contabilizados apenas no método de redes de feiticeira. | 187 |
| Figura 42. Mapa de calor dos locais de encontro de Phrynops williamsi nas fases de monitoramento. Resultados obtidos através da estimativa de densidade de Kernel. Fonte: Biotropica Consultoria de Fauna e Flora, 2024. | 188 |

Figura 43. Mapa de calor dos locais de encontro de *Phrynops geoffroanus* nas fases de monitoramento. Resultados obtidos através da estimativa de densidade de Kernel. Fonte: Biotropica Consultoria de Fauna e Flora, 2024. 189

ÍNDICE DE TABELAS

| | |
|---|-----|
| Tabela 1. Espécie exclusiva de aves em cada uma das fases de monitoramento de fauna. | 45 |
| Tabela 2. Lista de espécies da avifauna registrada durante o monitoramento de fauna na UHE Baixo Iguaçu-PR. RO= Registro Ocasional, S=Sítio amostral, CB= Corredor da Biodiversidade, LM= Ponto da Limnomedusa macroglossa. | 51 |
| Tabela 3. Índices de diversidade (Shannon-H') e equitabilidade (Pielou-J) e riqueza e abundância registradas ao longo das fases de monitoramento. | 79 |
| Tabela 4. Resultados da análise PERMANOVA para mamíferos silvestres. Fases executadas refere-se a fase 01, 02, 03, 04 e 05 de monitoramento, e, clima refere-se à variação de temperatura anual. | 82 |
| Tabela 5. Espécies da avifauna de interesse para conservação, registradas durante o monitoramento de fauna. Status de ameaça: NT – Quase ameaçada, EN- Em perigo, VU – Vulnerável, CR – Criticamente ameaçada. Guildas tróficas: ONI=Onívoro, INS= Insetívoro, NEC= Nectarívoro, CAR = Carnívoro, MEL = Melacófago, PIS = Piscívoro, GRA= Granívoro, FOL= Folívoro. | 87 |
| Tabela 6. Espécie exclusiva de mamíferos terrestres silvestres em cada uma das fases de monitoramento de fauna. | 109 |
| Tabela 7. Lista de espécies de mamíferos terrestres registrados durante o monitoramento de fauna na UHE Baixo Iguaçu-PR. RO= Registro Ocasional, S=Sítio amostral, CB= Corredor da Biodiversidade, LM= Ponto da Limnomedusa macroglossa. | 113 |
| Tabela 8. Índices de diversidade (Shannon-H') e equitabilidade (Pielou-J) e riqueza e abundância registradas ao longo das fases de monitoramento. | 117 |
| Tabela 9. Resultados da análise PERMANOVA para mamíferos silvestres. Fases executadas refere-se a fase 01, 02, 03, 04 e 05 de monitoramento, e, clima refere-se à variação de temperatura anual. | 119 |
| Tabela 10. Espécies da mastofauna de interesse para conservação, registradas durante o monitoramento de fauna. Status de ameaça: NT – Quase ameaçada, EN- Em perigo, VU – Vulnerável, CR – Criticamente ameaçada, DD- Dados deficientes. | 124 |
| Tabela 11. Lista de espécies de morcegos registrados durante o monitoramento de fauna na UHE Baixo Iguaçu-PR. RO= Registro Ocasional, S=Sítio amostral, CB= Corredor da Biodiversidade, LM= Ponto da Limnomedusa macroglossa. | 139 |
| Tabela 12. Índices de diversidade (Shannon-H') e equitabilidade (Pielou-J) e riqueza e abundância registradas ao longo das fases de monitoramento. | 140 |
| Tabela 13. Resultados da análise PERMANOVA para morcegos. Fases executadas refere-se a fase 01, 02, 03, 04 e 05 de monitoramento, e, clima refere-se à variação de temperatura anual. | 142 |
| Tabela 14. Espécies de quirópteros de interesse para conservação, registradas durante o monitoramento de fauna. Status de ameaça: NT – Quase ameaçada, EN- Em perigo, VU – Vulnerável, CR – Criticamente ameaçada. | 145 |
| Tabela 15. Espécie exclusiva de anfíbios e répteis em cada uma das fases de monitoramento de fauna. | 153 |
| Tabela 16. Lista de espécies da herpetofauna registradas durante o monitoramento de fauna na UHE Baixo Iguaçu-PR. RO= Registro Ocasional, S=Sítio amostral, CB= Corredor da Biodiversidade, LM= Ponto da Limnomedusa macroglossa. | 157 |
| Tabela 17. Índices de diversidade (Shannon-H') e equitabilidade (Pielou-J) e riqueza e abundância registradas ao longo das fases de monitoramento. | 160 |
| Tabela 18. Resultados da análise PERMANOVA para anfíbios e répteis. Fases executadas refere-se a fase 01, 02, 03, 04 e 05 de monitoramento, e, clima refere-se à variação de temperatura anual. Obs. *Valores de p significativos. | 162 |

Tabela 19. Espécies da herpetofauna de interesse para conservação, registradas durante o monitoramento de fauna. Status de ameaça: NT – Quase ameaçada, EN- Em perigo, VU – Vulnerável, CR – Criticamente ameaçada..... 166

1. IDENTIFICAÇÃO DO EMPREENDIMENTO

1.1. Identificação do empreendedor

| IDENTIFICAÇÃO DO EMPREENDEDOR | |
|-------------------------------|---|
| Nome ou Razão Social | Consórcio Empreendedor Baixo Iguaçu |
| CNPJ | 19.469.993/0001-73 |
| Endereço | Rua Tupinambás, 1.187 - Centro- Capanema – PR |
| Telefone | (46) 3552 8500 |
| Email | contato@baixoiguacu.com.br |
| REPRESENTANTE LEGAL | |
| Nome | Ricardo Ivo Hoffert Cruz Fortes |
| Telefone | (46) 3552 8500 |
| Email | ricardo.fortes@baixoiguacu.com.br |

1.2. Identificação da consultoria contratada

| IDENTIFICAÇÃO DA EMPRESA EXECUTORA DO ESTUDO | |
|--|--|
| Nome ou Razão Social | Biotropica Consultoria Ambiental Ltda. |
| CNPJ | 11.342.861/0001-74 |
| Cadastro Técnico Federal (IBAMA/CTF) | 6064352 |
| Endereço | Av. Santo Antônio, nº 571, bairro Centro, Poços de Caldas-MG, CEP 37701-036. |
| Telefone | (35) 3414-2511/ (15) 3227-5491 |
| Site | https://biotropicaconsultoria.com.br |
| REPRESENTANTE LEGAL | |
| Nome | Renato Augusto Junqueira Gaiga |
| Email | Renato.gaiga@biotropicaconsultoria.com.br |
| Telefone | 35 9116-4773 |

2. EQUIPE TÉCNICA

| NOME | FUNÇÃO | FORMAÇÃO | CTF | CRBio | ART | Lattes |
|--|--|----------|-------------|-----------------|--------------------|--|
| Gregório dos Reis Menezes | Responsável Geral | Biólogo | 420646 5 | 68675/07- S | 07-3696/23 | http://lattes.cnpq.br/2293684910694713 |
| Renato Augusto Junqueira Gaiga | Gestor Geral | Biólogo | 2511287 | 068734/04- D | 202210001 11297 | http://lattes.cnpq.br/8205595954882554 |
| Heloísa de Oliveira | Responsável técnica - Quirópteros | Bióloga | 550778 1 | 83099/07- D | 07-3747/23 | http://lattes.cnpq.br/9124694325134476 |
| Marcos André Navarro | Responsável técnico – Mamíferos terrestres | Biólogo | 577433 6 | 83329/07- D | 07-3711/23 | http://lattes.cnpq.br/9569676697847917 |
| Pedro Ivo Campani de Castro Figueiredo | Responsável técnico - Herpetofauna | Biólogo | 575159 0 | 101191/07- D | 07-3787/23 | http://lattes.cnpq.br/6225444690729350 |

| NOME | FUNÇÃO | FORMAÇÃO | CTF | CRBio | ART | Lattes |
|-------------------------------|--------------------------------------|----------|-------------|----------------|------------|---|
| Leonardo Rafael Deconto | Responsável técnico - Avifauna | Biólogo | 185342 4 | 50716/07- D | 07-3780/23 | http://lattes.cnpq. br/747303845488 4878 |

3. APRESENTAÇÃO

A Biotropica Consultoria de Fauna e Flora apresenta neste documento Relatório Consolidado do Programa de Monitoramento e Conservação da Fauna Terrestre e Semiaquática (PMCFTS), durante a operação da UHE Baixo Iguaçu em todas as cinco fases do monitoramento (pós-enchimento do reservatório). A UHE pertence ao Consórcio Empreendedor Baixo Iguaçu (Geração Céu Azul, do Grupo Neoenergia, e Copel) e localiza-se entre os municípios de Capanema, na margem esquerda, e Capitão Leônidas Marques, na margem direita, no estado do Paraná. Este relatório tem como finalidade reportar o resultado consolidado do Programa de Monitoramento na fase de execução.

O presente relatório apresenta o resultado histórico das cinco fases do monitoramento, realizando comparativos entre a fase 5, a qual teve duas campanhas no ano de 2024, e quatro fases anteriores (fase 1, 2, 3 e 4) do programa de monitoramento. Abaixo segue o quadro com o detalhamento das campanhas bem como os meses de sua execução:

Quadro 1. Datas de realização das campanhas de monitoramento da fauna terrestre e semiaquática executadas na UHE Baixo Iguaçu.

| Campanha (Fase) | Data de realização da campanha |
|------------------------|---------------------------------------|
| 1 (Fase 1) | Setembro de 2013 |
| 2 (Fase 1) | Novembro-Dezembro 2013 |
| 3 (Fase 1) | Março 2014 |
| 4 (Fase 1) | Junho – Julho 2014 |
| 5 (Fase 1) | Setembro – Outubro 2014 |
| 6 (Fase 1) | Novembro – Dezembro 2014 |
| 7 (Fase 1) | Março 2015 |
| 8 (Fase 1) | Maió – Junho 2015 |
| 1 (Fase 2) | Outubro – Novembro 2017 |
| 2 (Fase 2) | Fevereiro – Março 2018 |
| 3 (Fase 2) | Maió – Julho 2018 |
| 4 (Fase 2) | Agosto – Outubro 2018 |
| 5 (Fase 2) | Novembro 2018 – Janeiro 2019 |
| 1 (Fase 3) | Junho 2019 |
| 2 (Fase 3) | Setembro – Outubro 2019 |
| 3 (Fase 3) | Dezembro 2019 |
| 4 (Fase 3) | Fevereiro – Março 2020 |
| 5 (Fase 3) | Junho 2020 |
| 6 (Fase 3) | Março 2021 |
| 1 (Fase 4) | Janeiro – Março 2022 |
| 2 (Fase 4) | Agosto – Setembro 2022 |
| 3 (Fase 4) | Janeiro – Março 2023 |
| 4 (Fase 4) | Julho – Agosto 2023 |
| 1 (Fase 5) | Abril – Junho 2024 |
| 2 (Fase 5) | Outubro – Novembro 2024 |

Reitera, que o relatório está em acordo com a Autorização Ambiental para Manejo de Fauna Silvestre, emitida pelo Instituto Água e Terra – IAT bem como segue fielmente o Plano de Trabalho do Programa de Monitoramento e Conservação da Fauna Terrestre e Semiaquática na Fase 5 durante a operação da UHE Baixo Iguaçu”, de 08 de março de 2021 e suas respectivas normativas legais (Portaria IAP nº 097, de 29 de maio de 2012, Portaria IAT nº 51 de 02/02/2023, Instrução Normativa nº 146, de 10 de janeiro de 2007, lei nº 6938/81 e resoluções Conama nº 001/86 e nº 237/97). As atividades desenvolvidas visaram manter a conformidade com as condicionantes da Licença de Operação nº 35980/2019 e dar continuidade ao PMCFTS, pós-enchimento do reservatório.

Encontram-se neste documento os resultados do Programa de Monitoramento e Conservação da Fauna Terrestre e Semiaquática na Área de Influência Direta e Indireta da UHE Baixo Iguaçu, para os seguintes grupos de fauna: Herpetofauna (répteis e anfíbios), Avifauna (aves), Mastofauna (mamíferos) de médio e grande porte, e morcegos. Assim como o proposto nos Planos de Trabalhos apresentados ao IAT, as campanhas do monitoramento priorizaram o conhecimento da riqueza da fauna local e das espécies raras, endêmicas e ameaçadas de extinção, especialmente aquelas que tiveram suas populações semiaquáticas mais afetadas pela construção do barramento, tais como o anfíbio *Limnomedusa macroglossa*, o cágado-rajado *Phrynops williamsi* e a lontra *Lontra longicaudis*.

4. CARACTERIZAÇÃO DO EMPREENDIMENTO

4.1. Contextualização

Em 30 de setembro de 2008, a ANEEL realizou o Leilão de Energia A-5 para início do fornecimento a partir de 2013, no qual a empresa NEOENERGIA S.A. foi vencedora da concessão da UHE Baixo Iguaçu, cujo aviso de adjudicação foi publicado em 26 de novembro de 2008. Com capacidade instalada de 350 MW, a Usina Hidrelétrica Baixo Iguaçu faz parte do Programa de Aceleração do Crescimento (PAC). O Consórcio Empreendedor Baixo Iguaçu – CEBI é constituído pelas empresas: Neoenergia S.A. e Copel Geração e Transmissão S.A. - subsidiária da Copel S.A.

A UHE Baixo Iguaçu está localizada à jusante da UHE Salto Caxias, nas coordenadas 25°30' de latitude sul e 53° 40' de longitude oeste, e é o último aproveitamento hidrelétrico em cascata previsto para o rio Iguaçu, afluente do rio Paraná. O eixo do barramento situa-se no estado do Paraná, a 174 km da foz do rio Iguaçu, imediatamente a montante da confluência do rio Gonçalves Dias e do limite do Parque Nacional do Iguaçu (PNI), entre os municípios de

Capanema, na margem esquerda, e Capitão Leônidas Marques, na margem direita (Figura 1).

Além dos dois municípios citados, o empreendimento também ocupa parte dos territórios dos municípios de Realeza, Nova Prata do Iguaçu e Planalto. O acesso rodoviário ao local do empreendimento, a partir de Foz do Iguaçu, é feito pela BR-277, por cerca de 120 km, até pouco antes de chegar a Cascavel e, então, pela estrada PR-182/163, seguindo por 57 km até o município de Capitão Leônidas Marques.

O reservatório ocupa uma área de 31 km², sendo 18 km² formados pela calha natural do rio e 13 km² da área de inundação.



Figura 1. Localização da UHE Baixo Iguaçu, estado do Paraná. Fonte: UHEBI (2021).

5. OBJETIVOS

5.1. Objetivo Geral

Apresentar os resultados históricos das cinco fases do Programa de Monitoramento da Fauna Terrestre e Semiaquática na Área Influência Direta e Indireta da UHE Baixo Iguaçu, estado do Paraná.

5.2. Objetivos específicos

- Caracterizar as espécies da fauna terrestre (anfíbios, répteis, aves e mamíferos) presentes nas Áreas de Influência do empreendimento;

- Investigar os efeitos da formação do reservatório nas populações dos grupos faunísticos monitorados;
- Monitorar a ocorrência das espécies da fauna terrestre (anfíbios, répteis, aves e mamíferos) nos sítios de amostragem definidos para a Área de Influência do empreendimento, comparando a riqueza, abundância e diversidade entre as campanhas;
- Avaliar padrões de ocorrência e atividade da fauna terrestre e semiaquática ao longo do período de implantação do empreendimento em uma perspectiva sazonal;
- Identificar possíveis interferências nos padrões de ocorrência e atividade das espécies da fauna terrestre (anfíbios, répteis, aves e mamíferos) consideradas endêmicas, raras, migratórias, ameaçadas de extinção, as de interesse cinegético e de importância econômica na Área de Influência do empreendimento;
- Identificar possíveis alterações na composição e riqueza das espécies da fauna terrestre (anfíbios, répteis, aves e mamíferos) ao longo do período de implantação e operação do empreendimento;
- Avaliar o padrão de distribuição espacial das espécies da fauna semiaquática (lontra, cágado-rajado e anfíbio) na Área de Influência do empreendimento;
- Monitorar o uso de tocas de lontras nos trechos de monitoramento selecionados;
- Conhecer e acompanhar o deslocamento das fêmeas do cágado-rajado, especialmente durante o período reprodutivo;
- Avaliar os possíveis impactos causados pela implantação da UHE Baixo Iguaçu para as espécies, com a proposição de medidas mitigadoras.

6. METODOLOGIA

6.1. Área de Estudo

Conforme ora apresentado na Fase 5 do Programa de Monitoramento, foram amostrados na primeira e segunda campanha de 2024 oito pontos de amostragem: seis sítios já amostrados até a fase 3 e dois pontos incluídos para a Fase 5, conforme a Resposta ao Ofício nº 077/2021/DILIO/DLF/FAUNA, de 07 de junho de 2021.

No Quadro 2 são apresentadas a localização e as principais características de cada uma das unidades amostrais, bem como a indicação das fases que cada sítio amostral foi executado.

Quadro 2. Localização e características dos sítios de amostragem do Programa de Monitoramento da Fauna Terrestre e Semiaquática da UHE Baixo Iguaçu Capanema e Capitão Leônidas Marques, PR.

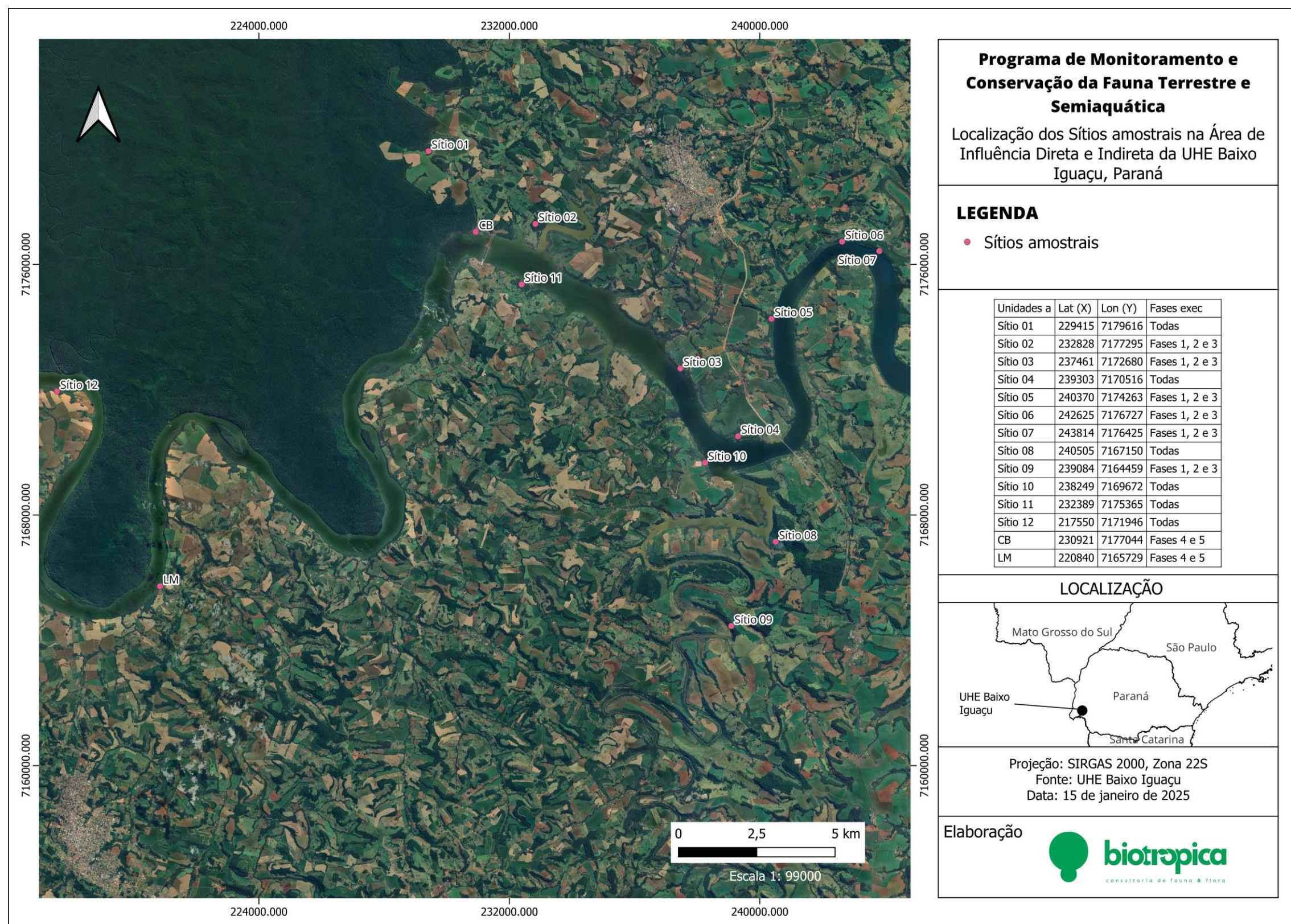
| Ponto de amostragem | Área de Influência | Fitofisionomia | Coordenadas UTM (Fuso 22 J) | | Fases |
|---------------------|--------------------|---|-----------------------------|---------|----------------|
| | | | x | y | |
| Sítio 1 | All | Mata ciliar, Floresta Estacional Semidecidual, ambiente alagado e ambiente sob ação antrópica | 229415 | 7179616 | Todas as fases |
| Sítio 2 | All | Floresta Estacional Semidecidual, Ambiente Alagado e Ambiente sob ação antrópica | 232828 | 7177295 | Fases 1,2 e 3 |
| Sítio 3 | AID | Mata Ciliar, Floresta Estacional Semidecidual, Ambiente Alagado e Ambiente sob ação antrópica | 237461 | 7172680 | Fases 1,2 e 3 |
| Sítio 4 | AID | Mata ciliar, Floresta Estacional Semidecidual, ambiente alagado e ambiente sob ação antrópica | 239303 | 7170516 | Todas as fases |
| Sítio 5 | AID | Mata Ciliar, Floresta Estacional Semidecidual, Ambiente Alagado e ambiente sob ação antrópica | 240370 | 7174263 | Fases 1,2 e 3 |
| Sítio 6 | AID | Mata Ciliar, Floresta Estacional Semidecidual e Ambiente sob ação antrópica | 242625 | 7176727 | Fases 1,2 e 3 |
| Sítio 7 | AID | Mata Ciliar, Floresta Estacional Semidecidual e Ambiente sob ação antrópica | 243814 | 7176425 | Fases 1,2 e 3 |
| Sítio 8 | AID | Mata ciliar, Floresta Estacional Semidecidual e ambiente sob ação antrópica | 240505 | 7167150 | Todas as fases |
| Sítio 9 | AID | Floresta Estacional Semidecidual, Ambiente Alagado e Ambiente sob ação antrópica | 239084 | 7164459 | Fases 1,2 e 3 |
| Sítio 10 | AID | Floresta Estacional Semidecidual, ambiente alagado e ambiente sob ação antrópica | 238249 | 7169672 | Todas as fases |

| Ponto de amostragem | Área de Influência | Fitofisionomia | Coordenadas UTM (Fuso 22 J) | | Fases |
|--------------------------------|--------------------|--|-----------------------------|---------|----------------|
| | | | x | y | |
| Sítio 11 | AID | Floresta Estacional Semidecidual e ambiente sob ação antrópica | 232389 | 7175365 | Todas as fases |
| Sítio 12 | AII | Mata ciliar, Floresta Estacional Semidecidual | 2521022 | 7171946 | Todas as fases |
| Corredor da Biodiversidade | AII | Área do PRAD em processo de recuperação ambiental | 230920.79 | 7177044 | Fase 4 e 5 |
| <i>Limnomedusa macroglossa</i> | AII | Ambiente aquático, afloramento rochoso | 220839.91 | 7165728 | Fase 4 e 5 |

Fonte: UHEBI, 2021.

A localização dos pontos da fase 5 pontos é apresentada no Mapa 1 e suas características são descritas logo em seguida e ilustradas com imagens.

Mapa 1. Localização dos pontos de amostragem do Programa de Monitoramento de Fauna Terrestre e Semiaquática, UHE Baixo Iguaçu, PR. LM= *Limnomedusa Macroglossa*, CB= Corredor da Biodiversidade



Fonte: UHEBI, 2025.

Sítio de amostragem 1

O Sítio 1 localiza-se às margens do rio Gonçalves Dias, tributário do rio Iguaçu no trecho de jusante do barramento da UHE Baixo Iguaçu. Área próxima ao Parque Nacional do Iguaçu que, no presente estudo, é tratada como área-controle. O fragmento composto por Floresta Estacional Semidecidual (FES) antropizada, apesar de apresentar pequenas proporções, está conectado à vegetação ciliar, que permite ao mesmo tempo algumas conexões com outros fragmentos. Ao sul do fragmento, grandes áreas com cultivo de soja o mantêm isolado de outros fragmentos remanescentes. Há ainda em seu interior canais d'água que formam pequenas coleções d'água.

Sítio de amostragem 2

O Sítio 2 localiza-se às margens do rio Monteiro, tributário do rio Iguaçu no trecho de montante do barramento da UHE Baixo Iguaçu. O fragmento composto por FES antropizada, com presença de açudes, apresenta-se bem conectado a outros remanescentes do entorno e, também, pela vegetação ciliar do rio Monteiro, que permite ao mesmo algumas conexões com outros fragmentos mais distantes. Desta forma, é considerado como área de monitoramento e, possivelmente, como de soltura para as espécies provenientes do resgate de fauna durante a supressão da vegetação e enchimento do reservatório. Além destes remanescentes, sua matriz de inserção é predominantemente composta por pastagens e plantações de soja.

Sítio de amostragem 3

O Sítio 3 localiza-se às margens do rio Iguaçu e é composto por fragmento de Floresta Estacional Semidecidual relativamente contínuo ao rio, que apesar de estar inserido em uma matriz com predomínio de soja, ainda resguarda boa conexão com o entorno. Esta unidade amostral também apresenta coleções d'água em seu interior, como açudes e área de transbordamento do rio, com estreita faixa de mata ciliar em regeneração.

Sítio de amostragem 4

O Sítio 4 localiza-se às margens do rio Iguaçu, próximo à ponte que interliga os municípios de Capitão Leônidas Marques com Capanema, na BR-163. O remanescente apresenta boa resiliência devido à presença de drenagens em seu interior. Mesmo com a presença de gado e sua entrada nas bordas da mata, este remanescente ainda se encontra bem conservado. Presença de canais d'água e açudes favorecem a fauna neste local.

Sítio de amostragem 5

O Sítio 5 localiza-se às margens do rio Iguaçu e é composto por fragmento de Floresta Estacional Semidecidual relativamente contínuo ao rio, que apesar de estar inserido em uma matriz com predomínio de soja, ainda resguarda boa conexão com o entorno, apresentando também coleções d'água em seu interior na forma de açudes, com estreita faixa de mata ciliar em regeneração.

Sítio de amostragem 6

O Sítio 6 localiza-se as margens do rio Iguaçu e é composto por fragmento de Floresta Estacional Semidecidual e Mata Ciliar relativamente contínuo ao rio, inserido em uma matriz de pastagem, com presença de pecuária extensiva, apresenta-se bem conectado a outros fragmentos, sendo contíguo ao sítio 7.

Sítio de amostragem 7

O Sítio 7 localiza-se às margens do rio Iguaçu e é composto por fragmento de Floresta Estacional Semidecidual e Mata Ciliar relativamente contínuo ao rio, inserido em uma matriz de pastagem, com presença de pecuária extensiva, apresenta-se bem conectado a outros fragmentos, sendo contíguo ao sítio 6, além de se encontrar entre o rio Iguaçu e o rio Andrada, com vegetação conectando ambas as margens. Como característica peculiar a este, encontra-se uma faixa de cerca de 500 m com plantio de citrus em sua porção mais alta.

Sítio de amostragem 8

O Sítio 8 localiza-se às margens do rio Capanema e é composto por um grande fragmento de Floresta Estacional, contíguo às porções mais altas do terreno. Presença de mata ciliar, que se estende às margens do rio Capanema em direção ao rio Iguaçu. Também inserido em uma matriz de soja e pasto para a pecuária, o fragmento destaca-se entre os demais por suas dimensões.

Sítio de amostragem 9

O Sítio 9 localiza-se às margens do rio Capanema em sua porção mais distal, junto a confluência com o rio Iguaçu. Composto por fragmento de Floresta Estacional apresenta relevo escarpado, com presença de drenagens e pequenos afloramentos rochosos em seu interior. Também se encontra inserido em uma matriz de pastagem e cultivo de soja.

Sítio de amostragem 10

O Sítio 10 localiza-se às margens do rio Capanema em sua porção mais distal, junto à confluência com o rio Iguaçu. Composto por fragmento de Floresta Estacional, apresenta relevo escarpado, com presença de drenagens e pequenos afloramentos rochosos em seu interior. Também se encontra inserido em uma matriz de pastagem e cultivo de soja.

Sítio de amostragem 11

O Sítio 11 localiza-se às margens do rio Iguaçu, junto ao canteiro de obras e próximo ao barramento. Composto por fragmento de Floresta Estacional, apresenta-se como um dos poucos remanescentes nesta área, podendo funcionar como importante refúgio da fauna.

Sítio de amostragem 12

O sítio 12 situa-se no Parque Nacional do Iguaçu. A área é composta por Floresta Estacional Semidecidual com pouco sub-bosque e árvores de maior porte. Este ponto encontra-se às margens de um dos emissários do rio Iguaçu.

Corredor da Biodiversidade

Este ponto amostral foi adicionado ao Programa de Monitoramento para a atual fase (Fase 5). Está localizado nas áreas recuperadas nos Programas de Recuperação de Áreas Degradadas – PRAD) e Programa de Consolidação do Corredor da Biodiversidade do Baixo Iguaçu, na Zona Tampão, área que interliga o corredor da biodiversidade ao Parque Nacional do Iguaçu.

Limnomedusa macroglossa

Este ponto localiza-se em ambiente aquático, caracterizado pela presença de afloramento rochoso. Este ponto também foi adicionado ao Programa de Monitoramento para a atual fase (Fase 5). Como a amostragem ocorreu apenas durante o período noturno, não foi possível registrar fotos do local.

6.2. Métodos de amostragem

6.2.1. Avifauna

Durante as cinco fases do monitoramento, a amostragem da avifauna foi realizado por meio de cinco métodos complementares: ponto de escuta, lista de Mackinnon, rede de neblina, censo por varredura (apenas na FASE 1) e registros ocasionais. O esforço

amostral de cada método de acordo com cada uma das fases está ilustrado no **Quadro 3**, abaixo:

Quadro 3. Esforço de amostragem em cada fase do monitoramento de acordo com a metodologia utilizada para a avifauna.

| Método | Esforço de Amostragem | | | | |
|---------------------|------------------------|------------------------|------------------------|-----------------------|-----------------------|
| | Fase 1 | Fase 2 | Fase 3 | Fase 4 | Fase 5 |
| Ponto de Escuta | 10.560 minutos | 2.850 minutos | 5.040 minutos | 1.400 minutos | 700 minutos |
| Lista de Mackinnon | - | 114 horas | 144 horas | 56 horas | 28 horas |
| Rede de Neblina | 253.440 m ² | 133.380 m ² | 189.000 m ² | 63.000 m ² | 31.500 m ² |
| Censo por varredura | 528 km | - | - | - | - |

- **Pontos de escuta**

O método de amostragem por pontos de escuta é um dos mais utilizados para aves, principalmente em ecossistemas florestais (Bibby, 1992; Blondel; Ferry; Frochot, 1981). É um método simples e de baixo custo, que permite avaliação objetiva das comunidades de aves e monitoramento no tempo e espaço. O método possui vantagens, como a facilidade de ajuste às condições locais e a coleta de alto número de amostras (Vielliard et al., 2010). Este método consiste em se determinar com maior precisão a abundância das espécies. Para tal, foram estabelecidos cinco (05) pontos, distantes, pelo menos, 100 m entre si em cada um dos sete sítios de amostragem. Em cada ponto, foram registradas todas as espécies vistas e/ou ouvidas em um raio de 50 m, bem como o número de indivíduos de cada espécie, durante 10 minutos.

- **Lista de Mackinnon**

Proposto por John Mackinnon (Mackinnon, 1991), este método foi desenvolvido para ser aplicado em inventários faunísticos rápidos, acompanhando uma curva de acumulação de espécies, que permite comparações mais confiáveis entre áreas ou da mesma área em diferentes períodos do ano (Ribon, 2010). Este método consiste na elaboração de listas de 10 espécies, em que são registradas todas as espécies observadas/escutadas. Independentemente do número de indivíduos observados, cada espécie é apenas registrada uma vez em cada lista. Ao se completar 10 espécies diferentes, uma nova lista é iniciada. Na segunda lista e nas demais, é possível registrar novos indivíduos de qualquer das 10 espécies da lista anterior, desde que se tenha certeza de que não se trata do mesmo indivíduo registrado anteriormente (Ribon, 2010).

As trilhas onde foram elaboradas as listas, dentro de cada sítio de amostragem, foram georreferenciadas em campo.

- **Rede de neblina**

A biologia das aves pode ser avaliada de forma confiável através de sua captura e marcação (Bibby, 1992; Spencer, 1976). É provável que as aves avifauna seja o grupo de animais mais capturados, manipulados e marcados. O uso de redes é especialmente eficiente para amostrar espécies de sub-bosque (Ralph et al., 1993). Este método consiste na montagem de redes de fina malha (malha 16 ou 19 mm, 12 x 2,5 m) que permitem a captura dos indivíduos. A captura possibilita o anilhamento (técnica de marcação com anéis de alumínio ou coloridas) que, por conseguinte, permite o acompanhamento dos indivíduos ao longo do tempo, sem a necessidade de recaptura dos mesmos. Este método, portanto, permite inferir se os indivíduos capturados permanecem na área amostrada durante a operação do empreendimento.

- **Censo por varredura**

O censo por varredura, realizado apenas na Fase 1 do monitoramento, consistiu em deslocamento em transectos de 1,5 km de extensão, a uma velocidade média de 1,5 km/h, em cada sítio amostral. As transeções e períodos de observação foram realizados pela manhã (4 h às 11 h) e pela tarde (16 h às 20 h), período de maior mobilidade das aves. Esse horário foi adiado em uma hora, quando da adoção de horário nacional de verão. Foi realizado um transecto por sítio amostral, deste modo, o esforço amostral compreendeu 66 km por campanha (transecto nos dois sentidos, ida e volta). Durante a aplicação dessa técnica, todas as espécies avistadas ou identificadas por meio de avistamentos e vocalizações foram registradas.

- **Registros ocasionais**

Além dos métodos padronizados supracitados, também foram considerados os registros ocasionais. Foram realizados ao longo do dia, durante os deslocamentos para as áreas de amostragem ou fora dos horários de amostragem padronizados. Estes registros auxiliam a maximizar a riqueza computada na região amostrada, porém não foram acrescentados nas análises estatísticas, apenas nos resultados gerais do estudo.

Para as espécies aquáticas, foram considerados dois dias por campanha do monitoramento para levantamento de novas áreas de ocorrência dos espécimes e outras espécies aquáticas. Esta amostragem aconteceu ao longo, principalmente, dos

tributários do reservatório ou áreas dentro da Área de Influência Direta e Indireta da UHE Baixo Iguaçu.



Foto 1. Censo aves aquáticas.



Foto 2. Lista de Mackinnon.



Foto 3. Redes de neblinas.



Foto 4. Redes de neblinas.

6.2.2. Mastofauna- Mamíferos terrestres

Para amostragem de mamíferos terrestres foram utilizados os métodos tanto para mamíferos de pequeno porte quanto médio e grande porte ao longo das cinco fases do monitoramento. Dentre os métodos não invasivos, estão: armadilhas fotográficas, cama de areia e a busca ativa por animais e vestígios. Já, os métodos que envolveram necessariamente coleta e captura foram: pitfall, armadilhas Sherman e Tomahawk. O esforço amostral de cada método de acordo com cada uma das fases está ilustrado no **Quadro 4**, abaixo:

Quadro 4. Esforço de amostragem em cada fase do monitoramento de acordo com a metodologia utilizada para a mastofauna terrestre.

| Método | Esforço de Amostragem | | | | |
|---------------------------------|------------------------|------------------------|------------------------|--------------------|--------------------|
| | Fase 1 | Fase 2 | Fase 3 | Fase 4 | Fase 5 |
| Armadilhas Fotográficas | 1.936 armadilhas/dia | - | 720 armadilhas/dia | 280 armadilhas/dia | 140 armadilhas/dia |
| Busca Ativa | 352 km | 360 km | 144 horas | 112 km | 56 km |
| Pitfall | 704 baldes/noite | 1.800 baldes/noite | 1.440 baldes/noite | - | - |
| Sherman e Tomahawk | 1.760 armadilhas/noite | 5.400 armadilhas/noite | 4.320 armadilhas/noite | - | - |
| Cama de pegadas (cama de areia) | 66 camas/dia | - | - | - | - |

- **Armadilhas fotográficas**

As armadilhas fotográficas consistem em aparelhos compostos por uma câmera e dois sensores passivos para detecção de calor ou movimento. O conjunto é alimentado por pilhas e fixado em árvores (Figura 5). As armadilhas fotográficas são usualmente empregadas em amostragens qualitativas da mastofauna, estudos populacionais e como ferramenta complementar na obtenção de dados ecológicos. A utilização deste método é eficiente em inventários de espécies (Srbek-Araujo e Chiarello, 2007).

- **Busca ativa por animais e vestígios**

Para amostragem das espécies de médios e grandes mamíferos, foram realizadas buscas ativas em transectos. As buscas ativas visam o registro direto, por visualização ou vocalização, ou indireto (por vestígios, como pegadas e fezes) das espécies.

- **Pitfall**

Em cada um dos sítios de amostragem, foi instalado um conjunto de baldes de 60 L, dispostos em "Y" e interligados por cerca-guia confeccionada com lona, de 10 m de comprimento e 60 cm de altura (Cechin & Martins, 2000).

- **Sherman e Tomahawk**

Foram utilizadas armadilhas de captura viva (Sherman e Tomahawk) apenas nas três primeiras fases do monitoramento. As armadilhas foram dispostas nos 12 sítios de amostragem, contando com 10 estações de captura, distantes, 20 metros entre si. Em

cada estação foi disposta uma armadilha *Tomahawk* no solo e, em cinco delas, uma armadilha *Sherman* foi armada no sub-bosque. As armadilhas foram iscadas diariamente, e permaneceram abertas por quatro noites consecutivas de forma a maximizar as capturas.

- **Cama de pegadas ou cama de areia**

O método de cama de pegadas somente foi realizado na Fase 1. Este método consiste em uma técnica indireta utilizada para monitorar mamíferos terrestres, baseada na identificação de rastros deixados em superfícies preparadas com areia fina ou substrato similar. Cada cama, com tamanho aproximado de 1m x 1m, registrou a presença e a atividade das espécies de forma não invasiva, sendo aplicada especialmente para animais de médio e grande porte, crípticos ou noturnos. Para facilitar a atração dos animais, nas camas foram colocadas iscas de frutas, sardinha e emulsão de Scott. As camas de areia foram vistoriadas uma vez por dia, durante 2 dias, e as pegadas registradas foram medidas e fotografadas, seguindo protocolos rigorosos para garantir identificação precisa, geralmente apoiada por guias especializados. Embora simples e de baixo custo, o método demandou cuidados para minimizar interferências ambientais, como chuva ou vento, e pôde ser complementado por armadilhas fotográficas para maior eficácia.

- **Encontro ocasionais**

Animais encontrados mais distantes dos sítios de amostragem ou fora do período de busca ativa foram categorizados como provenientes de encontros ocasionais. Ressalta-se que esta categoria não é considerada para as análises de sucesso dos métodos.



Foto 5. Busca ativa.



Foto 6. Instalação de armadilhas fotográficas.



Foto 7. Cama de pegada.



Foto 8. Armadilha Sherman instalada no sub-bosque.



Foto 9. Armadilha Sherman instalada no sub-bosque.



Foto 10. Pitfall instalado em um dos sítios de amostragem.

6.2.3. Quirópteros

Os morcegos foram amostrados com o uso de redes de neblina. Em cada sítio amostral, foram instalados dois conjuntos de cinco redes de neblina (15 m x 2,5 m = 37,5 m², malha 16 mm), distantes cerca de 100 metros um do outro. O esforço amostral de cada método de acordo com cada uma das fases está ilustrado no **Quadro 5**, abaixo:

Quadro 5. Esforço de amostragem em cada fase do monitoramento de acordo com a metodologia utilizada para os quirópteros.

| Método | Esforço de Amostragem | | | | |
|-----------------|-----------------------------|-----------------------------|------------------------------|-----------------------------|-----------------------------|
| | Fase 1 | Fase 2 | Fase 3 | Fase 4 | Fase 5 |
| Rede de Neblina | 95.040 m ² /hora | 53.820 m ² /hora | 159.750 m ² /hora | 63.000 m ² /hora | 31.500 m ² /hora |



Foto 11. Morfometria morcegos.



Foto 12. Morfometria morcegos.

6.2.4. Herpetofauna

A amostragem da herpetofauna (anfíbios e répteis) foi realizada por diferentes técnicas de amostragens descritas a seguir. Estes métodos se mostram eficientes na coleta de dados em longo prazo, fornecendo panoramas concisos de variações temporais das comunidades estudadas (Heyer et al., 1994), permitindo, assim, a inferência das flutuações com os marcos construtivos do empreendimento. O esforço amostral de cada método de acordo com cada uma das fases está ilustrado no **Quadro 6**, abaixo:

Quadro 6. Esforço de amostragem em cada fase do monitoramento de acordo com a metodologia utilizada para a herpetofauna.

| Método | Esforço de Amostragem | | | | |
|---|-----------------------|-------------------|-------------------|------------------|------------------|
| | Fase 1 | Fase 2 | Fase 3 | Fase 4 | Fase 5 |
| Busca ativa limitada por distância (transecção) | 352 horas/hom em | 288 horas/hom em | 288 horas/hom em | 128 horas/hom em | 64 horas/hom em |
| Busca Ativa (sítios reprodutivos) | - | 114 horas/hom em | 132 horas/hom em | 64 horas/hom em | 32 horas/hom em |
| Pitfall | 704 baldes/noite | 1140 baldes/noite | 1440 baldes/noite | 480 baldes/noite | 280 baldes/noite |

- **Transecções limitada por distância**

Em cada um dos sítios amostrais, foi instalado um transecto de 1 km e, em cada transecto, foram conduzidos métodos de procura ativa limitada por distância. A execução do método ao longo deste transecto consiste na dupla de herpetólogos

procurar ativamente anfíbios e répteis em todos os microambientes disponíveis, isto é, folhiço, vegetação arbustiva, troncos caídos, bromélias e vegetação arbórea.

As procuras foram efetuadas em dois períodos distintos em um mesmo sítio: diurno (entre 7:00h e 8:00h), com o intuito de registrar principalmente espécies de répteis helióforas e ativas durante o dia; noturno (entre 18:00h e 19:00h), objetivando o registro de espécies de répteis de hábitos crepusculares ou noturnos e anfíbios (Crump & Scott, 1994).

- **Busca ativa por sítios reprodutivos**

De forma complementar, dentro dos limites de cada um dos sítios amostrais, foi conduzida a amostragem em ambientes reprodutivos. Este método consiste na procura ativa de anfíbios e répteis em ambientes reprodutivos, como riachos, poças e lagoas. Ainda, dados sobre os ambientes e as espécies que os habitam foram tomados durante as buscas. A execução deste método objetiva registrar, principalmente, espécies de anfíbios com hábitos aquáticos e semiaquáticos, como os anuros *Limnomedusa macroglossa* e *Crossodactylus schmidtii*, nas áreas sob influência do empreendimento e que, por fatores causais e limitações ecológicas, podem não ser encontradas ao longo das transecções.

O método foi conduzido em ambientes favoráveis sempre após a execução do método de transecção no período noturno (20:00h às 21:00h).

- **Zoofonia**

De forma concomitante e complementar aos métodos anteriormente descritos, registros auditivos de anfíbios anuros realizados ao longo da busca ativa foram contabilizados quando os indivíduos emissores não foram localizados.

- **Armadilhas de interceptação e queda (pitfall traps)**

Em cada um dos sítios de amostragem, foi instalado um conjunto de baldes de 60 L, dispostos em "Y" e interligados por cerca-guia confeccionada com lona, de 10 m de comprimento e 60 cm de altura (Cechin & Martins, 2000).

- **Encontro Ocasional**

Foram contabilizados registros de animais em estradas e acessos vicinais durante os deslocamentos dos pesquisadores entre os sítios de amostragem e no entorno imediato

(i.e., cerca de 1 km). Este método foi contabilizado apenas para incremento de riqueza e não será contabilizado para análises estatísticas.



Foto 13. Pitfall.



Foto 14. Pitfall.

6.2.5. *Lontra longicaudis* (Lontra-neotropical)

A lontra neotropical encontra-se classificada como Quase Ameaçada internacionalmente (Rheingantz e Trinca, 2015) e no Brasil (Brasil, 2022), além de estar listada no Apêndice I da CITES (CITES, 2023).

Por se tratar de uma espécie de difícil visualização, o monitoramento da lontra neotropical foi realizado, principalmente, pelo registro de vestígios da espécie (como tocas, arranhados, pegadas e fezes) e através de armadilhas fotográficas. O esforço amostral de cada método de acordo com cada uma das fases está ilustrado no **Quadro 7**, abaixo:

Quadro 7. Esforço de amostragem em cada fase do monitoramento de acordo com a metodologia utilizada para as lontras.

| Método | Esforço de Amostragem | | | | |
|-------------------------|-----------------------|--------------------|--------------------|--------------------|-------------------|
| | Fase 1 | Fase 2 | Fase 3 | Fase 4 | Fase 5 |
| Vistoria de margens | - | 889,2 km | 1765 km | 1211 km | 330 km |
| Armadilhas fotográficas | - | 222 armadilhas/dia | 303 armadilhas/dia | 300 armadilhas/dia | 70 armadilhas/dia |

- **Vistoria de margens**

Para a identificação das áreas de uso desta espécie, foi realizada a busca por vestígios em ambas as margens dos corpos d'água estudados. Sempre que possível, os trechos foram percorridos em barco a motor em uma velocidade de, no máximo, 10 km/h.

Foram percorridos, pelo menos, 15 km em cada um dos 11 trechos dos rios que circundam a UHE. Cada trecho foi percorrido desde o amanhecer até o início da tarde, pois este é o horário de maior probabilidade de encontro com as lontras, durante os 10 dias de amostragem. Uma exceção, seria caso o nível da água estivesse muito baixo ou não fosse possível o acesso com barco por algum motivo, então as margens seriam vistoriadas a pé.

Todos os pontos de uso pela espécie foram georreferenciados com GPS e fotografados. Foram feitas, também, anotações a respeito da margem em que os indivíduos foram registrados (direita ou esquerda), condições e características gerais dos vestígios e da área onde foram encontrados.

- **Armadilhas fotográficas**

As tocas identificadas durante as Fases 2, 3, 4 e 5 foram monitoradas com o auxílio de armadilhas fotográficas posicionadas próximas à sua entrada. Foram monitoradas até cinco tocas por vez e as armadilhas permaneceram em campo durante o período de execução de cada campanha. Para a próxima fase, é necessário que o uso das tocas seja reavaliado e as armadilhas, realocadas. Os dados das armadilhas fotográficas foram analisados de forma qualitativa e quantitativa.



Foto 15. Vistoria em margens.



Foto 16. Vistoria em margens.



Foto 17. Instalação de câmeras traps.



Foto 18. Armadilha fotográfica em toca.

6.2.6. *Phrynops williamsi* (Cágado-rajado)

Phrynops williamsi (cágado-rajado; Rhodin e Mittermeier, 1983), integra o complexo *P. geoffroanus* e é distinguido de outras espécies do gênero principalmente pela faixa negra localizada no mento, em forma de ferradura, e a coloração marrom com reticulações amarelo-alaranjadas da carapaça (Rhodin e Mittermeier, 1983).

O monitoramento das populações de *Phrynops williamsi* presentes na Área de Influência da UHE Baixo Iguaçu, foi iniciado a partir da Fase 2 do monitoramento, tendo ocorrido campanhas trimestrais durante as fases 2 e 3, e, a partir da fase 4 as campanhas passaram a ser semestrais nos dois trechos amostrais. As campanhas contemplaram diferentes fases do ciclo hidrológico, de modo que seja possível avaliar a abundância relativa da espécie considerando as variações hidrológicas, bem como o uso de diferentes ambientes disponíveis ao longo do ano. Este monitoramento foi realizado pelos métodos detalhados a seguir. O esforço amostral de cada método de acordo com cada uma das fases está ilustrado no **Quadro 8**, abaixo:

Quadro 8. Esforço de amostragem em cada fase do monitoramento de acordo com a metodologia utilizada para os cágados-rajados (*Phrynops williamsi*).

| Método | Esforço de Amostragem | | | | |
|--------------------------------|-----------------------|-----------------------------|----------------------------|-----------------------------|----------------------------|
| | Fase 1 | Fase 2 | Fase 3 | Fase 4 | Fase 5 |
| Trammel nets (rede-feiticeira) | - | 83.017 m ² /hora | 6.280 m ² /hora | 93.348 m ² /hora | 9.648 m ² /hora |
| Busca Ativa (contagem visual) | - | 97 horas e 50 minutos | 20 horas | 48 horas | 40 horas |

- **Trammel nets (rede-feiticeira)**

Indivíduos de *Phrynops williamsi* foram capturados por meio de redes feiticeiras (*trammel nets*), que são comumente utilizadas para espécies de quelônios que ocupam águas profundas e correntezas, onde outros métodos são pouco aplicáveis (Vogt, 1980; Fachín-Terán et al., 2003; Bernhard, 2017). As redes foram colocadas paralelas às margens do rio e têm a vantagem de capturar indivíduos de diferentes classes de tamanho (Vogt, 1980). As redes foram montadas no início da manhã e revisadas a cada três horas para evitar morte acidental por fadiga ou afogamento (Vogt, 1980).

Todo exemplar capturado foi encaminhado até uma estrutura provisória (tenda com equipamento de campo para morfometria e acondicionamento temporário dos animais) e lá foi realizada a morfometria, marcados e posteriormente soltos no mesmo local da captura. A caracterização dos indivíduos capturados é detalhada abaixo.

- **Caracterização dos indivíduos capturados**

Para a obtenção dos dados morfométricos, foram utilizados dois paquímetros de 140 mm (precisão de 0,05 mm), e um antropométrico, de 600 mm. A massa de cada indivíduo é obtida com auxílio de uma balança, com capacidade de 10 kg e precisão de 100 g. Os registros morfométricos seguem os propostos por Legler (1990), a saber:

- CMC: comprimento máximo da carapaça, medido da borda anterior do primeiro escudo marginal (ou do escudo nugal) até a borda posterior do escudo supracaudal;
- LMC: largura máxima da carapaça, onde ocorre a maior distância entre a borda lateral dos escudos marginais de um lado ao outro;

- AMC: altura máxima do casco, perpendicularmente ao plastrão, ao nível da maior distância entre os escudos do plastrão e os vertebrais da carapaça;
- CSMV: comprimento da sutura médio-ventral, do plastrão, da borda anterior do escudo intergular até o ponto mais posterior da intersecção dos escudos anais;
- CMP: comprimento máximo do plastrão, da borda anterior do escudo gular até a borda posterior do escudo anal;
- LMP: largura máxima do plastrão, através da sutura até os escudos abdominais e peitorais, de um ponto de intersecção entre estes dois escudos e o marginal até o outro;
- CURV: curvatura, que é o comprimento curvilíneo da carapaça, medido desde a borda anterior do primeiro escudo marginal até a borda posterior do escudo supra-caudal;
- VÃO: distância da borda posterior do escudo supra-caudal até a ponta da sutura médio ventral do plastrão;
- CCD1: distância da base da cauda ao orifício cloacal;
- CCD2: distância da base à ponta da cauda.

- **Marcação**

A marcação segue o método de Cagle (1939), que consiste em fazer um entalhe quadrado nos escudos marginais do indivíduo com uma serra manual. Todos os quelônios possuem 12 desses escudos de cada lado da carapaça; então, numerando-os de 1 a 12 e utilizando “D” e “E” para designar os lados direito e esquerdo (vista dorsal do animal), gera-se uma sequência de códigos que permite marcar centenas de indivíduos. Além disso, uma numeração feita de cola epóxi foi adicionada na carapaça nos indivíduos, o que facilita seu reconhecimento e individualização à distância.

- **Fotoidentificação**

A técnica de foto-identificação baseia-se no princípio de que o animal possui partes do corpo que o distinguem dos outros indivíduos. A partir de observações de animais *in situ* e de coleções, percebeu-se que os padrões de manchas do mento, membros e cauda

de indivíduos de *Phrynops williamsi* não se repetem. Desta forma, propõe-se a utilização da técnica como complemento à marcação do casco.

- **Sexagem e classes de idade**

Os indivíduos capturados foram sexados de acordo com caracteres sexuais secundários, tais como tamanho de cauda e concavidade do plastrão. Os espécimes que apresentarem esses caracteres foram considerados adultos; do contrário, foram considerados como sexo não definido (SND).

- **Contagem visual**

Por meio de deslocamento a barco, lentamente, no período diurno, foram procurados e contabilizados espécimes de *Phrynops williamsi* que estivessem assoalhando. Com este método, foi possível obter informações sobre o comportamento de assoalhamento, como preferência por substrato e picos de atividade, correlacionando o número de indivíduos visualizados com dados abióticos (temperatura da água e temperatura do ar) do local.

- **Encontro ocasional**

Durante o deslocamento da equipe, fora a contagem visual, foi possível registrar quelônios assoalhando ou se deslocando. Ao avistá-los, o mesmo procedimento da contagem visual foi adotado. No entanto, estes registros não foram usados nos testes estatísticos por não se tratar de um método padronizado.

Os locais onde indivíduos foram registrados por contagem visual e encontro ocasional foram georreferenciados e tais coordenadas formarão um banco de dados da distribuição da espécie na área de monitoramento ao final do estudo.

- **Monitoramento reprodutivo**

O monitoramento reprodutivo foi realizado por meio da busca prévia por possíveis sítios de desovas. Tais locais foram georreferenciados e acompanhados durante o período de atividades de campo de toda a equipe de fauna para observar as possíveis alterações na fase pós-enchimento.

- **Monitoramento de atributos do reservatório**

Durante as fases 4 e 5 foi dada continuidade ao monitoramento nos tributários Andrada, Capanema e Cotegipe, locais indicados para instalação das redes de captura, levando em consideração os resultados da fase 3 do monitoramento e recomendações.



Foto 19. Uso das redes de feiticeira.



Foto 20. Morfometria do espécime.

6.3. Análises dos dados

Foram realizados gráficos de barras e/ou *boxplot* para plotar: i. a abundância de indivíduos por espécie, ii. a variação na abundância e riqueza de espécies entre áreas controle e tratamento, e, iii. a riqueza observada de espécies por ponto de amostragem.

É importante destacar que para as análises estatísticas foram desconsiderados os registros de espécies domésticas. Os registros ocasionais foram considerados apenas para a análise de rarefação, uma vez que tem influência direta na riqueza de espécies registradas.

6.3.1. Parâmetros Ecológicos

Estes parâmetros foram estimados, junto aos dados quantitativos, com a finalidade de oferecer resultados adicionais, tais como: Índice de Diversidade de Shannon-Wiener (H'), Índice de Equitabilidade de Pielou (J), curva de Rarefação e Estimativa de Riqueza, especificados a seguir:

- Índice de Diversidade de Shannon-Wiener (H'): a diversidade das áreas amostradas foi obtida através deste índice, uma medida não paramétrica que expressa a diversidade da área inventariada, considerando que os indivíduos são amostrados aleatoriamente em uma comunidade. O valor do índice é dado pela equação: $H' = - \sum$

$[(N_i / N) \ln (N_i / N)]$, onde N_i é o número de espécimes do táxon i e N é o número total de espécimes da amostra.

- Índice de Equitabilidade de Pielou (J): este índice foi utilizado para calcular a homogeneidade da amostra, ou seja, se as espécies apresentam abundâncias semelhantes. É dado pela equação: $J = H'/H_{\text{máx}}$, onde H' = índice de diversidade de Shannon-Wiener e $H_{\text{máx}}$ é o valor máximo possível de H' com a riqueza observada, obtido quando todas as espécies são amostradas com o mesmo número de registros. É obtido pela equação: $H_{\text{máx}} = \ln (S)$, onde S é o número de espécies observado.
- Curva de Rarefação de Espécies: utilizada para representação gráfica da riqueza acumulada de espécies em relação ao esforço amostral. Esta curva permite verificar se o esforço de amostragem para a área foi suficiente para representar a riqueza existente ou se ainda, com a manutenção dos esforços, pode-se esperar o aumento do número de espécies no decorrer das campanhas do monitoramento. A taxa de acréscimo de espécies à amostragem fornece pistas importantes sobre a riqueza e distribuição da abundância das espécies na comunidade (Magurran, 2011). As curvas de acumulação de espécies foram construídas pelo método de rarefação.
- Estimativa de Riqueza: foram calculadas estimativas de riqueza, através do estimador Chao 1 (Colwell et al., 2012) como forma de estimar o número de espécies existentes na área monitorada, com base nas informações contidas nas amostras coletadas, a qual é ideal para ambientes tropicais onde a maior parte das espécies são espécies pouco abundantes (Magurran & McGill, 2011).
- PERMANOVA: Para testar a efetiva modificação na composição de espécies ao longo do tempo, bem como do gradiente vegetacional e da sazonalidade (estação seca versus estação chuvosa) foi utilizada a Análise de Variância Multivariada Permutacional (Anderson, 2017). A PERMANOVA, permite realizar comparações entre grupos e, também, ao longo do tempo para dados multivariados como os de composição de espécies. Durante o procedimento, a PERMANOVA cria uma matriz de similaridade (a mesma utilizada na análise de Cluster) de acordo com o tipo de dado e índice de similaridade especificado (abundância ou presença/ausência) para, então, realizar as comparações entre os grupos a serem estatisticamente testados (Anderson, 2017).
- ANOVA: Para testar se as abundâncias de *Lontra longicaudis* e *Phrynops williamsi* varia de acordo com as fases executadas, foi realizada a análise de variância (ANOVA). Esta análise foi realizada através do programa PAST (Hammer, 2013).

6.3.2. *Uso e ocupação do ambiente*

Para avaliação do uso e ocupação do ambiente das populações de *Phrynops williamsi* e *Lontra longicaudis* ao longo dos períodos amostrais, foi realizada a análise de densidade de Kernel. Para isso foi utilizado o Software Qgis, onde todos os locais de encontro de espécimes foram plotados nos mapas. O estimador de Kernel é um método estatístico não-paramétrico que produz uma função de densidade cumulativa suavizada, que é utilizada com eficácia no mapeamento do uso do habitat pela fauna silvestre (Azevedo, 2008; Straub, 2017).

6.4. **Classificação dos dados**

Foram elaboradas listas de espécies com informações de método e local de registro, nome científico, nome comum, número de indivíduos, endemismos, *status* de conservação conforme as categorias da *International Union for Conservation of Nature* (IUCN), e listas oficiais (nacional e estadual) de espécies ameaçadas de extinção para cada grupo faunístico alvo deste monitoramento. Para averiguação de espécies de interesse econômico e cinegético foi consultado o site da CITES (2024). A nomenclatura taxonômica seguiu as fontes brasileiras mais recentes e completas para cada uma das classes de vertebrados terrestres, conforme listado abaixo:

- Anfíbios – Frost (2024);
- Répteis – Guedes, Entiauspe-Neto e Costa (2023);
- Aves - Pacheco *et al.* (2021);
- Mamíferos – Abreu *et al.* (2023).

7. FAUNA TERRESTRE

7.1. Avifauna

7.1.1. Introdução

As aves constituem um dos grupos de animais mais singulares e bem estudados em termos de biologia, ecologia, comportamento, distribuição geográfica e preservação (Morrison, 1986). Representam o grupo de vertebrados terrestres mais diversificado do planeta, adaptando-se a vários tipos de ambientes de maneiras incomparáveis (Brandes, 2008). Desempenham uma ampla gama de funções ecossistêmicas, como controle de pragas, polinização, dispersão de sementes, remoção de carcaças e ciclagem de nutrientes, exercendo um papel de destaque na manutenção do equilíbrio ecológico (Whelan et al., 2015).

A Mata Atlântica é conhecida como um dos principais *hotspots* de biodiversidade globais, sendo caracterizada por sua significativa importância biológica e pela intensa pressão de degradação a que está submetida (Myers et al., 2000). Este bioma abriga uma abundante gama de espécies endêmicas, com aproximadamente 29% das aves, 27% dos mamíferos, 30% dos répteis e 90% dos anfíbios com ocorrência exclusiva nesta região (Myers et al., 2000), destacando sua relevância vital para a conservação da diversidade biológica.

Atualmente, a Mata Atlântica vem sofrendo consideráveis modificações provocadas pela intervenção humana, resultando na redução de remanescentes florestais isolados em meio a uma extensa ocupação antrópica (Ribeiro et al., 2009). A fragmentação e perda de habitats emergem como um dos principais desafios ambientais que ameaçam a biodiversidade e desencadeiam uma série de processos, como a diminuição de área, o isolamento (Fahrig, 2003) e o efeito de borda (Murcia, 1995). Esses fatores, em conjunto, podem restringir a presença de certas espécies em ambientes modificados (Murcia, 1995). Assim, a avifauna é suscetível aos efeitos da fragmentação, especialmente porque algumas espécies são particularmente sensíveis a qualquer forma de perturbação ambiental.

As aves constituem um grupo de observação e identificação relativamente acessíveis, principalmente devido à sua natureza diurna. Ao contrário de outros grupos animais, a coleta de espécimes não é frequentemente necessária, não obstante, fornece dados confiáveis. A análise da avifauna, mesmo quando conduzida de maneira rápida, representa uma ferramenta valiosa em estudos ambientais, especialmente na avaliação do grau de perturbação da implantação dos diferentes tipos de empreendimento podem

causar em uma determinada região. Ademais, devido à alta sensibilidade de algumas espécies, as aves também fornecem um arcabouço robusto para a determinação de medidas mitigatórias para os impactos negativos gerados durante as obras de interferência antrópica.

7.1.2. *Resultados e Discussão*

O monitoramento da avifauna nas áreas de influência (AII e AID) da UHE Baixo Iguaçu teve seu início no ano de 2013, com continuidade nos anos seguintes, exceto no ano de 2016 que não houve coleta de dados na região. Período que abarcou cinco fases de monitoramento, contemplando o acompanhamento contínuo desde o enchimento do reservatório do Baixo Iguaçu, Paraná, até o atual momento.

Com isso, ao longo deste período foram registradas um total de 339 espécies e 39.638 indivíduos, os quais estiveram distribuídos em 24 ordens taxonômicas e 66 famílias. Dentre as ordens, em um contexto geral, a que mais se destacou em número de espécies foi a ordem Passeriformes (n=175), abrangendo 51% das aves registradas durante o monitoramento (Figura 2). Ao longo das fases de monitoramento, os passeriformes mantiveram-se como a ordem mais representativa em número de espécies. Os representantes da ordem Passeriformes são reconhecidos por sua diversidade e importância ecológica, desempenhando papéis vitais na polinização e dispersão de sementes (Sick, 1997), portanto, a dominância desta ordem (e de suas famílias) durante a amostragem condiz com um padrão observado em uma escala mais ampla. Além disso, muitas dessas aves são especialistas no uso de ambientes florestais, sendo indicadores de boa qualidade ambiental (Sick, 1997).

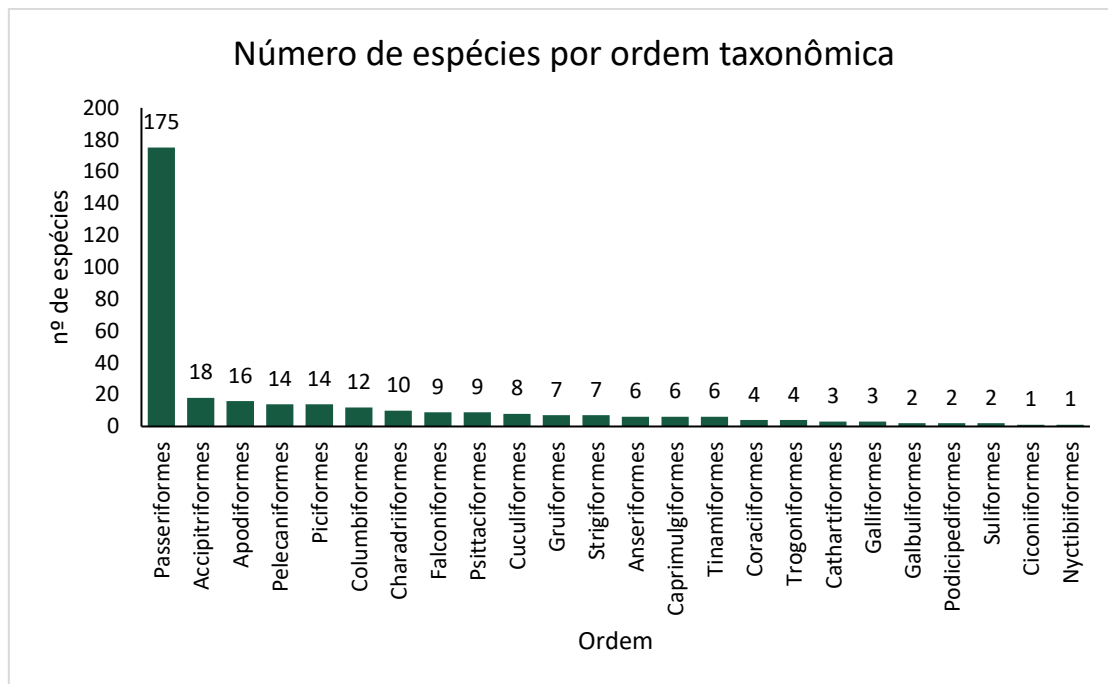


Figura 2. Número de espécies de aves registradas por ordem taxonômica ao longo do monitoramento na UHE Baixo Iguaçu.

Considerando os quantitativos de indivíduos registrados por espécie ao longo do monitoramento, de modo geral a espécie com o maior número de representantes foi a *Patagioenas picazuro* (pomba-de-asa-branca) (n=1689), a qual alavancou em 4,26% a abundância total registrada (Figura 3). Contudo, a espécie não obteve constância de dominância ao longo das fases de monitoramento, tendo em vista que ela esteve como espécies mais dominante apenas na segunda fase de monitoramento (n=383). Na primeira fase de monitoramento a espécie que se mostrou como muito dominante foi a *Bubulcus ibis* (garça-vaqueira) (n=890); na terceira e quarta a fase a espécie dominante foi a *Leptotila verreauxi* (juriti-pupu), apresentando respectivamente 543 e 223 indivíduos; e, na quinta fase a espécie mais dominante foi a *Bubulcus ibis* (garça-vaqueira) (n=230) (Figura 3). Através do apontamento das espécies mais dominantes ao longo do monitoramento, é possível inferir que essas espécies possuem menor grau de dependência de ambientes especializados, sendo espécies generalistas no uso do habitat, o que favorece a sua maior dominância ao longo do estudo (Stotz et al., 1996).

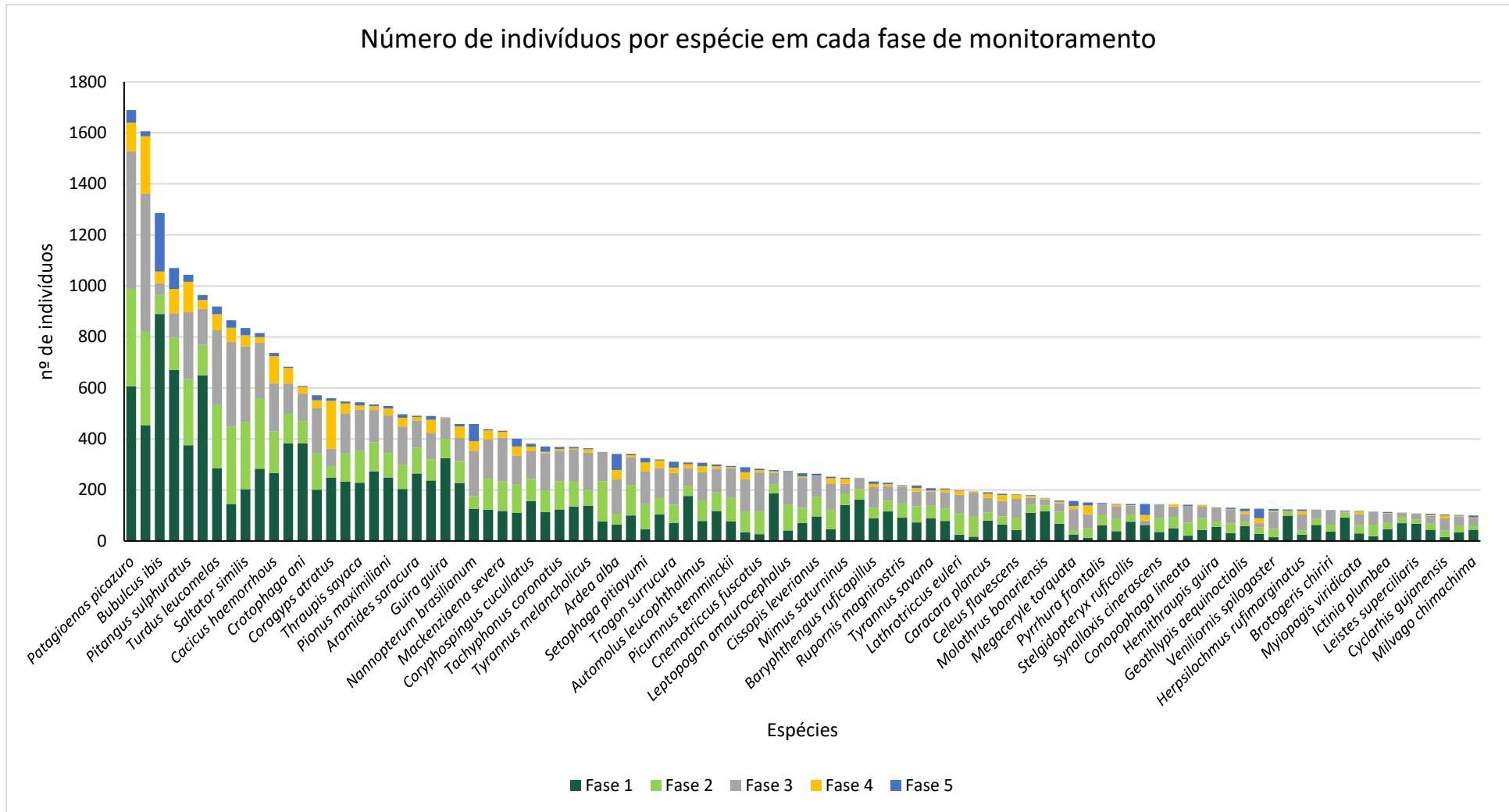


Figura 3. Número de indivíduos registrados por espécie mais representativas (n>100) ao longo das fases de monitoramento na UHE Baixo Iguaçu.

De acordo com o número de espécies registradas em cada fase e em cada área de influência, é possível notar que dentre as três primeiras fases, em que foram realizadas amostragens em 12 sítios amostrais (S01, S02, S03, S04, S05, S06, S07, S08, S09, S10, S11 e S12), a terceira fase foi a que apresentou o maior número de espécies registradas (S=247) (Figura 4). Demonstrando um aumento gradual no número de espécies ao longo dos anos. Inclusive, verificando as fases subsequentes, que contaram com menos campanhas e de unidades amostrais, é perceptível que não destoam muito das fases anteriores (Quadro 1). Reforçando a hipótese de que realmente está havendo um acréscimo no número de espécies nas áreas de estudo.

Já em relação as áreas de influência, nas três primeiras fases de monitoramento, a AID é apontada como local que apresenta os maiores valores de riqueza, e, na terceira e quarta fase a All se sobressai em quantidade de espécies ao compará-la à AID. Contudo, é importante reiterar que tais valores estão sobre influência do número de réplicas existentes nas áreas de influência (Quadro 2). Fator que limita inferências mais precisas acerca de qual área de influência têm sido mais representativas ao longo do monitoramento e quais são os potenciais fatores.

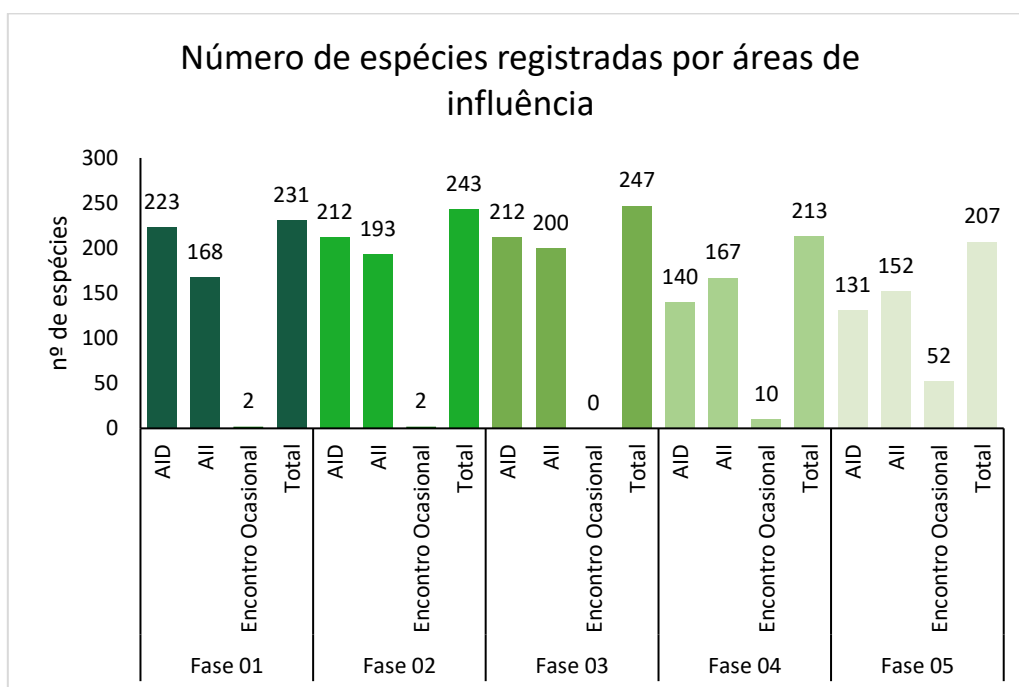


Figura 4. Número de espécies registradas por áreas de influência e fase do monitoramento.

Considerando a composição de espécies, 121 espécies estiveram presentes em todas as fases de monitoramento. Não obstante, houve também o registro de espécies

exclusivas para cada fase indicada, sendo que a primeira fase apontou o registro exclusivo de 16 espécies, a segunda fase apontou o registro exclusivo de 15 espécies e as três fases subsequentes apontaram o registro exclusivo de 13 espécies (Figura 5; Tabela 1). A exclusividade de espécies reforça a descoberta da ocorrência de novas espécies na área de estudo, bem como rotatividade de algumas populações ao longo das fases. Tendo em vista que há espécies que só foram registradas na primeira fase, e, também, há espécies que só foram registradas durante a quinta fase de monitoramento. Também foi possível verificar um maior compartilhamento na composição de espécies entre as quatro primeiras fases, em que houve o compartilhamento de 23 espécies; seguida da combinação entre a primeira, segunda, terceira e quinta fase, havendo o compartilhamento de 18 espécies.

Ademais, verificando toda a composição de espécies ao longo das fases de monitoramento, foi possível verificar que as espécies que apresentam hábitos exclusivamente florestais têm aumentado gradualmente ao longo das fases de monitoramento. Sendo que na primeira fase as aves exclusivamente florestais representavam cerca de 49% da composição de espécies, na segunda fase elas representaram 54%, na terceira fase 55% e nas últimas fases, quarta e quinta, as aves florestais representaram cerca de 57% da composição de espécies. Não obstante, houve uma redução nos quantitativos de espécies típicas de ambientes abertos, de modo que na primeira fase as aves exclusivas de ambientes abertos representavam cerca de 18%, na segunda fase elas abarcavam 16% da riqueza de espécies, na terceira fase representavam cerca 17%, e nas duas últimas fases posteriores as aves típicas de área aberta somaram cerca 16% em cada fase.

Desse modo, é possível inferir que a comunidade de aves tem sido cada vez mais “substituída” por aves que apresentam maior sensibilidade às alterações antrópicas, em detrimento daquelas que são menos sensíveis às modificações em seu habitat. O aumento de espécies florestais, associado à redução de espécies adaptadas à ambientes abertos, urbanos e periurbanos, é um ótimo indicativo de que está havendo um retorno de aves especialistas no uso do habitat após a implantação da Usina Hidrelétrica.

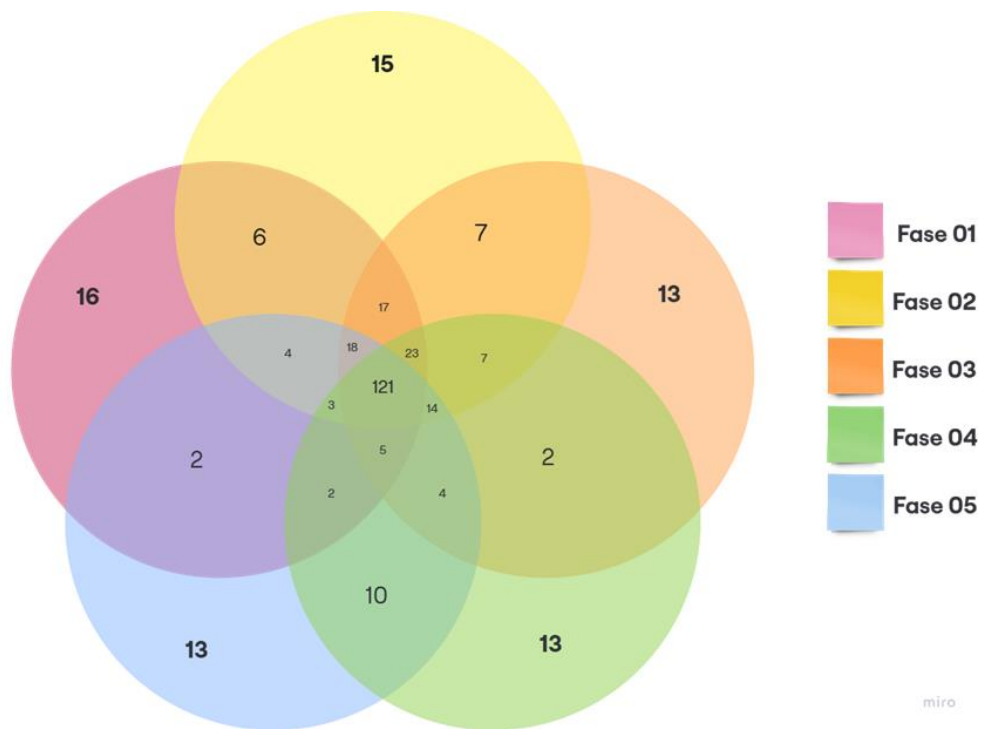


Figura 5. Diagrama de Venn apresentando a quantidade de espécies exclusivas e compartilhadas entre as fases. A figura ilustra as principais combinações de presença e ausência.

Tabela 1. Espécie exclusiva de aves em cada uma das fases de monitoramento de fauna.

| Fase 1 | Fase 2 | Fase 3 | Fase 4 | Fase 5 |
|----------------------------------|---------------------------------|-------------------------------|-----------------------------------|---------------------------------|
| <i>Cacicus solitarius</i> | <i>Asemospiza fuliginosa</i> | <i>Arremon flavirostris</i> | <i>Antrostomus sericocaudatus</i> | <i>Biatas nigropectus</i> |
| <i>Cranioleuca vulpina</i> | <i>Buteo swainsoni</i> | <i>Emberizoides herbicola</i> | <i>Cacicus chrysopterus</i> | <i>Brotogeris tirica</i> |
| <i>Cyanoloxia glaucocaerulea</i> | <i>Calidris melanotos</i> | <i>Megascops atricapilla</i> | <i>Chaetura cinereiventris</i> | <i>Conopias trivirgatus</i> |
| <i>Dendrocygna autumnalis</i> | <i>Chauna torquata</i> | <i>Myrmoderus squamosus</i> | <i>Dromococcyx phasianellus</i> | <i>Dacnis lineata</i> |
| <i>Gampsonyx swainsonii</i> | <i>Claravis pretiosa</i> | <i>Pandion haliaetus</i> | <i>Drymophila malura</i> | <i>Elaenia cf. mesoleuca</i> |
| <i>Hydropsalis parvula</i> | <i>Cypseloides senex</i> | <i>Phalaropus tricolor</i> | <i>Estrilda astrild</i> | <i>Hemithraupis ruficapilla</i> |
| <i>Leucochloris albicollis</i> | <i>Falco ruficularis</i> | <i>Philydor atricapillus</i> | <i>Florisuga fusca</i> | <i>Myiarchus swainsoni</i> |
| <i>Mimus triurus</i> | <i>Geranospiza caerulescens</i> | <i>Pilherodius pileatus</i> | <i>Heliomaster furcifer</i> | <i>Paroaria capitata</i> |
| <i>Nomonyx dominicus</i> | <i>Haplospiza unicolor</i> | <i>Scytalopus speluncae</i> | <i>Laterallus melanophaius</i> | <i>Paroaria dominicana</i> |
| <i>Pionopsitta pileata</i> | <i>Harpagus diodon</i> | <i>Strix huhula</i> | <i>Patagioenas sp.</i> | <i>Ramphastos toco</i> |
| <i>Platalea ajaja</i> | <i>Hydropsalis sp.</i> | <i>Thamnophilus palliatus</i> | <i>Thraupis cyanoptera</i> | <i>Rynchops niger</i> |
| <i>Psarocolius decumanus</i> | <i>Primolius maracana</i> | <i>Trogon rufus</i> | <i>Trogon viridis</i> | <i>Stilpnia cayana</i> |

| Fase 1 | Fase 2 | Fase 3 | Fase 4 | Fase 5 |
|------------------------------|---------------------------|-----------------------|------------------------|-----------------------------|
| <i>Pteroglossus bailloni</i> | <i>Rollandia rolland</i> | <i>Xolmis velatus</i> | <i>Turdus flavipes</i> | <i>Trogon chrysochloros</i> |
| <i>Riparia riparia</i> | <i>Syrigma sibilatrix</i> | | | |
| <i>Satrapa icterophrys</i> | <i>Tringa melanoleuca</i> | | | |
| <i>Tringa flavipes</i> | | | | |

Nos comparativos das abundâncias registradas, os maiores quantitativos foram registrados na primeira fase de monitoramento (n=15307), que conforme supracitado contou com a presença de espécies muito dominantes (Figura 6). Inclusive nesta fase de monitoramento quatro espécies apontaram um quantitativo acima de 500 espécimes, são elas: *Bubulcus ibis* (n=890), *Vanellus chilensis* (n=670), *Zenaida auriculata* (n=649) e *Patagioenas picazuro* (n=606) (Figura 3). Tais espécies alavancaram os resultados em 18,4% para a primeira fase de monitoramento. Na segunda fase, houve uma redução no número de indivíduos registrados (n=8738), cujas espécies mais representativas foram: *Patagioenas picazuro* (n=383), *Leptotila verreauxi* (n=367) e *Basileuterus culicivorus* (n=304) (Figura 3;Figura 6). As quais apontaram uma abundância acima de 300 indivíduos, abarcando cerca de 12%. Para a terceira fase a abundância registrada foi de 11414, um acréscimo no número de indivíduos em relação à fase anterior, em que as espécies mais representativas em números de indivíduos foram *Leptotila verreauxi* (n=543), *Patagioenas picazuro* (n=539) e *Basileuterus culicivorus* (n=332), que alavancaram a abundância em 12,4% (Figura 3;Figura 6). Para a quarta fase de monitoramento, a abundância registrada foi de 2634, cuja espécies mais representativas em números de indivíduos foram *Leptotila verreauxi* (n=223), *Coragyps atratus* (n=188), *Pitangus sulphuratus* (n=119), *Patagioenas picazuro* (n=112) e *Cacicus haemorrhous* (n=107) (Figura 3;Figura 6). Essas espécies apresentaram uma abundância acima de 100 indivíduos, e representaram cerca de 28,4% da abundância total registrada para a quarta fase. E por fim, na quinta fase de monitoramento, apontou uma abundância de 1545, em que duas espécies foram as mais representativas em número de indivíduos, a *Bubulcus ibis* (n=230) e o *Vanellus chilensis* (n=87) (Figura 3;Figura 6). As quais abarcaram cerca de 20% da abundância registrada para a quinta fase de monitoramento.

Nas três primeiras fases houve uma redução no número de espécies registradas, o que consequentemente afetou a quantidade de indivíduos registrados nas áreas de estudo. Comparando esses três períodos em que houve a amostragem nos 12 sítios (S01, S02, S03, S04, S05, S06, S07, S08, S10, S11, S12), é possível verificar que há uma queda

em número de indivíduos durante a segunda fase, contudo na terceira fase de monitoramento novamente há um aumento da quantidade de espécies com abundâncias muito altas (Figura 6). De modo geral, é possível verificar que as espécies mais dominantes ao longo das cinco fases de monitoramento possuem em comum características como ser generalista no uso do habitat e por apresentarem hábitos de vida gregário (Billerman et al., 2022). Fatores que as favorecem a apresentar uma maior dominância nas fases em que são registradas.

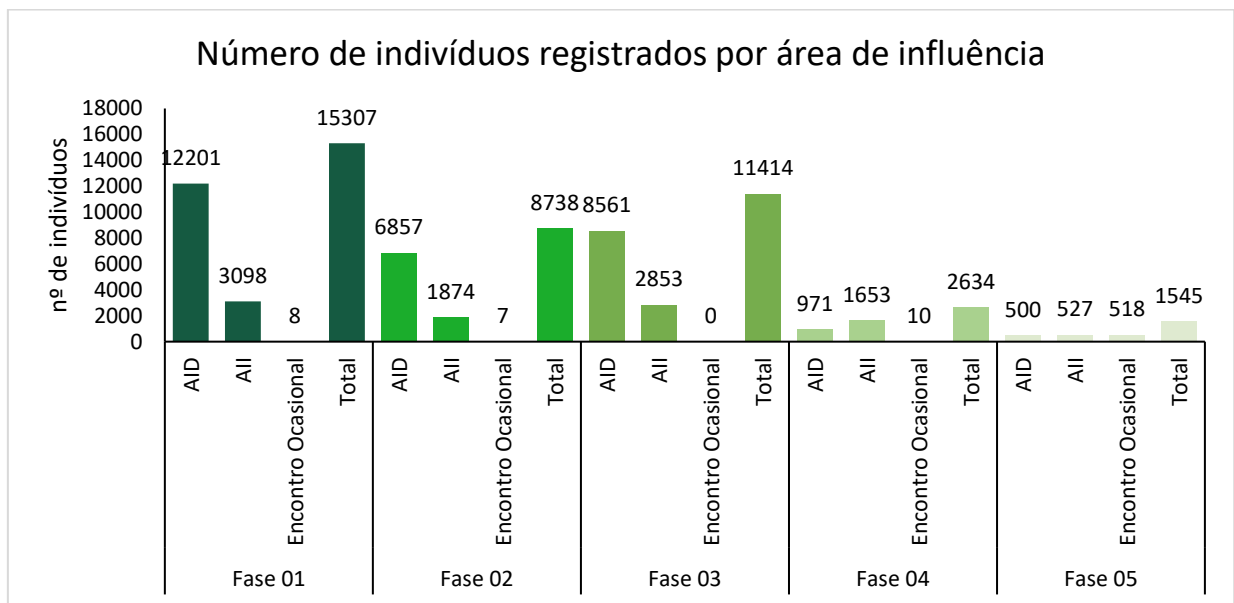


Figura 6. Número de indivíduos registrados por áreas de influência e fase do monitoramento.

De modo a corroborar com os gráficos apresentados nas figuras acima (Figura 5 e Figura 6), através da análise de *boxplot* (Figura 7) é possível verificar que na primeira fase de monitoramento a riqueza de espécies registradas entre as unidades amostrais estiveram distribuídas de forma simétrica, sendo que nesta fase foi apresentada a maior mediana da riqueza ao compará-la as demais fases do monitoramento. Todavia, na primeira fase de monitoramento houve a presença de três *outliers*, ou seja, das 12 unidades amostrais, três apresentaram riquezas muito destoantes. Na segunda fase de monitoramento, há uma assimetria na distribuição das riquezas por unidade amostrais, sendo que a maioria apresentou uma riqueza abaixo da mediana. Na terceira fase, os dados voltam a apresentar uma simetria na distribuição das riquezas entre as unidades amostrais e a mediana se apresenta maior do que a mediana na segunda fase de monitoramento. Nas fases subsequentes, há uma redução nas medianas apresentadas, porém é importante ressaltar que na quarta e na quinta fase há também uma redução

no número de unidades amostrais. O que conseqüentemente afeta diretamente nos resultados e nas comparações com períodos anteriores. Ainda assim, comparando a quarta fase com a quinta fase, nota-se que em ambas há uma distribuição das riquezas de modo simétrico. Porém, a quarta fase há uma maior dispersão dos dados e uma maior mediana, comparando-a à quinta fase.

Ao observar a variação das abundâncias, o padrão das medianas prevalece. Mas, a dispersão e concentração dos dados se mostra diferente do padrão discutido acima para a riqueza. Na primeira fase, a abundância encontra-se distribuída de maneira assimétrica, com uma maior concentração de unidades amostrais que apresentaram abundâncias abaixo da mediana. Já na segunda fase, existe uma simetria da distribuição das abundâncias, em que pelo menos 50% das unidades amostrais apresentam uma abundância acima da mediana e 50% abaixo da mediana. Não obstante, na segunda fase é possível verificar a presença de um *outlier* que apontou uma abundância muito destoante das demais unidades amostrais. Na terceira fase a distribuição das abundâncias entre as unidades amostrais foi assimétrica, com uma concentração maior de unidades amostrais acima da mediana. Para essas três primeiras fases, conforme já constatado anteriormente a riqueza de espécies foi maior, contudo, foi desigual entre as unidades amostrais, assim como a abundância. Nas fases subsequentes, tendo em vista o menor número de unidades amostrais, a mediana foi menor em relação as fases anteriores. Sendo assim ao compará-las, a quarta fase obteve uma maior mediana em detrimento da quinta fase. Ademais, a dispersão das abundâncias na quarta fase foi maior e a maioria das unidades amostrais apontaram para uma abundância acima da mediana. Já na quinta fase de monitoramento, foi registrada a menor mediana para abundância, sendo que todas as unidades amostrais apresentaram uma abundância superior à mediana. Pois nota-se que no gráfico, que o primeiro quartil coincide com a mediana.

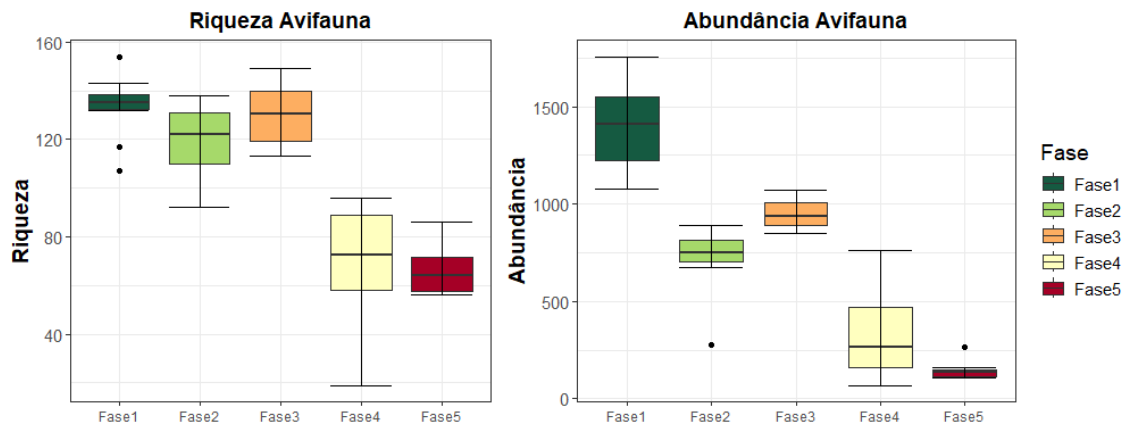


Figura 7. Gráficos de *boxplot* da variação da riqueza e da abundância da avifauna entre as fases de monitoramento na UHE Baixo Iguaçu.

De modo complementar às análises de *boxplot* (Tabela 2), ao analisar de modo particular cada unidade amostral é possível verificar quais foram as unidades amostrais que apresentaram um maior destaque nos quantitativos de riqueza e abundância registrada em cada fase e ao longo do monitoramento.

Nessa perspectiva, ao verificar os quantitativos de riqueza e de abundância nas unidades amostrais ao longo das fases de monitoramento, foi possível observar que na primeira fase de monitoramento a unidade amostral que abarcou o maior número de espécies foi a S07 (S=154) e o maior número de indivíduos esteve concentrado em S02 (n=1584) (Tabela 2). Na segunda fase, duas unidades amostrais mostraram-se como as detentoras da maior riqueza, S01 e S02, ambas com o registro de 138 espécies (Tabela 2). Já em número de indivíduos, a unidade amostral que se destacou na segunda fase foi S02, com 888 indivíduos (Tabela 2). Em sua terceira fase, a unidade amostral que apresentou a maior riqueza e abundância foi a S09 cujos quantitativos foram respectivamente, 96 e 479 (Tabela 2). Na quarta fase de monitoramento a unidade amostral que sobressaiu em riqueza e abundância foi a S02, em que foram registradas 96 espécies e 479 indivíduos (Tabela 2). E por fim, na quinta fase os maiores quantitativos foram obtidos em S12, com 86 espécies e 157 indivíduos (Tabela 2).

Ao considerar apenas as unidades amostrais que foram recorrentes ao longo do monitoramento (S01, S04, S08, S10, S11 e S12), há uma tendência na diminuição dos quantitativos de riqueza e abundância registrada ao longo das fases de monitoramento (Tabela 2). Apesar disso, é válido ressaltar que tal resultado também está sob influência do número de campanhas realizadas ao longo das fases de monitoramento. E conforme supracitado, apesar da redução no número de espécies e indivíduos registrados para

as áreas amostrais ao longo do tempo, é notório um aumento de aves mais especializadas no uso do habitat.

Ademais, é possível verificar que independe da fase, as maiores riquezas de espécies, no geral, encontram-se concentradas em ambientes que possuem um ambiente bem estruturado e que apresentam diferentes níveis de estratificação, o que favorece a diversidade de aves nesses locais (Rocca e Sazima, 2007).

| Ordem/Família/Espécie | Nome popular | Fase 1 | | | | | | | | | Fase 2 | | | | | | | | | Fase 3 | | | | | | | | | Fase 4 | | | | | | | | | Fase 5 | | | | | | | | | Total Geral | | | | | | | | | | | | |
|--|----------------------------------|--------|----|----|----|----|----|----|----|----|--------|-----|-----|---|----|----|----|----|----|--------|----|----|----|-----|-----|-----|----|----|--------|----|----|----|----|----|----|-----|-----|--------|---|---|---|----|----|----|----|----|-------------|----|----|----|----|-----|-----|-----|---|---|----|----|----|
| | | R | S1 | S2 | S3 | S4 | S5 | S6 | S7 | S8 | S9 | S10 | S11 | R | S1 | S2 | S3 | S4 | S5 | S6 | S7 | S8 | S9 | S10 | S11 | S12 | S1 | S2 | S3 | S4 | S5 | S6 | S7 | S8 | S9 | S10 | S11 | S12 | C | L | R | S1 | S2 | S3 | S4 | S5 | | S6 | S7 | S8 | S9 | S10 | S11 | S12 | C | R | S1 | S4 | S8 |
| Jacaniidae | | | | | | | | | | | | | | | | | | | | | | | | | | | | | | | | | | | | | | | | | | | | | | | | | | | | | | | | | | | |
| <i>Jacana jacana</i> (Linnaeus, 1766) | jaçanã | | | | 7 | 5 | 2 | | 5 | 13 | | | | | | 1 | 2 | 1 | 2 | | | | | | | 3 | | 2 | 1 | 3 | | 4 | 1 | | | 4 | | | | | | | | | | | | | | 56 | | | | | | | | | |
| Laridae | | | | | | | | | | | | | | | | | | | | | | | | | | | | | | | | | | | | | | | | | | | | | | | | | | | | | | | | | | | |
| <i>Rynchops niger</i> Linnaeus, 1758 | talha-mar | | | | | | | | | | | | | | | | | | | | | | | | | | | | | | | | | | | | | | | | | | | | | | | | | 1 | | | | | | | | | |
| Recurvirostridae | | | | | | | | | | | | | | | | | | | | | | | | | | | | | | | | | | | | | | | | | | | | | | | | | | | | | | | | | | | |
| <i>Himantopus melanurus</i> Vieillot, 1817 | pernilongo-de-costas-brancas | | | | 1 | 5 | | | 11 | 3 | | | | | | | | | | | | | | | 4 | 1 | | | | 1 | | 2 | | | | | | | 1 | | | | | | | | | | | | | | 29 | | | | | | |
| Scolopacidae | | | | | | | | | | | | | | | | | | | | | | | | | | | | | | | | | | | | | | | | | | | | | | | | | | | | | | | | | | | |
| <i>Actitis macularius</i> (Linnaeus, 1766) | maçarico-pintado | | | | | | | | | | | | 3 | | | | | | | | | | | | | | | | | | | | | | | | | | | | | 1 | | | 1 | | | | | | | | | | 5 | | | | |
| <i>Calidris melanotos</i> (Vieillot, 1819) | maçarico-de-colete | | | | | | | | | | | | | | 3 | | | | | | | | | | | | | | | | | | | | | | | | | | | | | | | | | | | 3 | | | | | | | | | |
| <i>Phalaropus tricolor</i> (Vieillot, 1819) | pisa-n'água | | | | | | | | | | | | | | | | | | | | | | | | | | | | | | | | | | | | | | | | | | | | 1 | | | | | | | | | | | | | 1 | |
| <i>Tringa flavipes</i> (Gmelin, 1789) | maçarico-de-perna-amarela | | | | | | | | 6 | | | | | | | | | | | | | | | | | | | | | | | | | | | | | | | | | | | | | | | | | | 6 | | | | | | | | |
| <i>Tringa melanoleuca</i> (Gmelin, 1789) | maçarico-grande-de-perna-amarela | | | | | | | | | | | | | | 6 | | | | | | | | | | | | | | | | | | | | | | | | | | | | | | | | | | | | 6 | | | | | | | | |
| <i>Tringa solitaria</i> Wilson, 1813 | maçarico-solitário | | 2 | | | 2 | | | 9 | 1 | | | | | | 2 | 1 | | | | | | | | | | | | | | | | | | | | | | | | | | | | | | | | | | 18 | | | | | | | | |
| Ciconiiformes | | | | | | | | | | | | | | | | | | | | | | | | | | | | | | | | | | | | | | | | | | | | | | | | | | | | | | | | | | | |
| Ciconiidae | | | | | | | | | | | | | | | | | | | | | | | | | | | | | | | | | | | | | | | | | | | | | | | | | | | | | | | | | | | |
| <i>Mycteria americana</i> Linnaeus, 1758 | cabeça-seca | | | | | | | | | | | | | | | | | | | | | 1 | 1 | 1 | 1 | | | | | | | | | | | | | | | | 2 | | 3 | | | | 1 | 10 | | | | | | | | | | | |
| Columbiformes | | | | | | | | | | | | | | | | | | | | | | | | | | | | | | | | | | | | | | | | | | | | | | | | | | | | | | | | | | | |
| Columbidae | | | | | | | | | | | | | | | | | | | | | | | | | | | | | | | | | | | | | | | | | | | | | | | | | | | | | | | | | | | |
| <i>Claravis pretiosa</i> (Ferrari-Perez, 1886) | pararu-azul | | | | | | | | | | | | | | | | | | | | | | | | | | | | | | | | | | | | | | | | | | | | | | | | | 1 | | | | | | | | | |

| Ordem/Família/Espécie | Nome popular | Fase 1 | | | | | | | | | Fase 2 | | | | | | | | | Fase 3 | | | | | | | | | Fase 4 | | | | | | | | | Fase 5 | | | | | | | | | Total Geral | | | | | | | | | | | | |
|--|------------------------|--------|----|----|----|----|----|----|----|----|--------|-----|-----|-----|----|----|----|----|----|--------|----|----|----|-----|-----|-----|----|----|--------|----|----|----|----|----|----|-----|-----|--------|-----|-----|-----|----|----|----|----|----|-------------|----|----|----|----|-----|-----|-----|-----|-----|----|-----|----|
| | | R O | S1 | S2 | S3 | S4 | S5 | S6 | S7 | S8 | S9 | S10 | S11 | R O | S1 | S2 | S3 | S4 | S5 | S6 | S7 | S8 | S9 | S10 | S11 | S12 | S1 | S2 | S3 | S4 | S5 | S6 | S7 | S8 | S9 | S10 | S11 | S12 | C B | L M | R O | S1 | S2 | S3 | S4 | S5 | | S6 | S7 | S8 | S9 | S10 | S11 | S12 | C B | R O | S1 | S4 | S8 |
| <i>Megasceryle torquata</i> (Linnaeus, 1766) | martim-pescador-grande | | 4 | 1 | 6 | | 3 | | 1 | 1 | 2 | 2 | 6 | | 1 | 2 | 3 | | 3 | 1 | 1 | 2 | | 2 | 1 | | 9 | 7 | 9 | 7 | 3 | 6 | 1 | 8 | 4 | 7 | 4 | 8 | 3 | | | | | 4 | | 3 | | 2 | | 1 | 3 | | 1 | 1 | 2 | 2 | 1 | 157 | |
| Momotidae | | | | | | | | | | | | | | | | | | | | | | | | | | | | | | | | | | | | | | | | | | | | | | | | | | | | | | | | | | | |
| <i>Baryphthengus ruficapillus</i> (Vieillot, 1818) | juruva | | 10 | 12 | 14 | 23 | 8 | 3 | 3 | 2 | 8 | 3 | 2 | | 7 | 6 | 1 | 5 | 9 | 4 | 2 | 4 | 1 | | | 3 | 0 | 7 | 3 | 4 | 7 | 3 | 5 | 2 | 2 | 2 | 1 | 5 | 1 | | | | 4 | 1 | | | 7 | | 3 | 4 | | | | | 2 | 233 | | | |
| Cuculiformes | | | | | | | | | | | | | | | | | | | | | | | | | | | | | | | | | | | | | | | | | | | | | | | | | | | | | | | | | | | |
| Cuculidae | | | | | | | | | | | | | | | | | | | | | | | | | | | | | | | | | | | | | | | | | | | | | | | | | | | | | | | | | | | |
| <i>Coccyzus melacoryphus</i> Vieillot, 1817 | papa-lagarta-acanelado | | 1 | | 4 | | 1 | | 1 | 2 | 4 | | | 1 | 1 | | 1 | 4 | 2 | | | | | | 2 | 1 | | 1 | 5 | 1 | | | | | | 3 | 4 | | | | | | 2 | | | | | | | | 3 | 44 | | | | | | | |
| <i>Crotophaga ani</i> Linnaeus, 1758 | anu-preto | | 61 | 40 | 31 | 15 | 14 | 17 | 43 | 27 | 53 | 45 | 37 | | 1 | 1 | 9 | 4 | 3 | | 2 | | | | 2 | 1 | | 7 | 5 | 5 | 7 | 2 | 1 | 4 | 3 | 8 | 3 | 35 | | 1 | 5 | 2 | | 1 | 1 | 1 | 1 | 4 | | | 3 | 1 | 608 | | | | | | |
| <i>Crotophaga major</i> Gmelin, 1788 | anu-coroça | | 6 | | 4 | | 4 | | 15 | | 1 | 8 | | | 5 | 3 | 6 | | 1 | 0 | 4 | 2 | 8 | 2 | 5 | 4 | 1 | 3 | 9 | 2 | 4 | 1 | 3 | 2 | 3 | 5 | 6 | 7 | 3 | | | | | 6 | | | | 1 | | | | 1 | 145 | | | | | | |
| <i>Dromococcyx pavoninus</i> Pelzeln, 1870 | peixe-frito-pavonino | | | | | | 1 | | | | 1 | | | | 3 | | | | | | | | | | | | | 1 | | | | | | | | 1 | 1 | | 1 | 1 | | | | | | 1 | | | | | 1 | 14 | | | | | | | |
| <i>Dromococcyx phasianellus</i> (Spix, 1824) | peixe-frito | | | | | | | | | | | | | | | | | | | | | | | | | | | | | | | | | | | | | | | | 1 | | | | 1 | | | | | | 4 | | | 6 | | | | | |
| <i>Guira guira</i> (Gmelin, 1788) | anu-branco | | 32 | 39 | 16 | 32 | 36 | 25 | 40 | 30 | 14 | 34 | 26 | | 2 | 4 | 2 | 2 | 6 | 7 | 2 | 1 | 0 | 1 | 9 | 1 | | 4 | 2 | 1 | 1 | 4 | 5 | | 14 | 9 | 3 | | 1 | | | | | | | 1 | | | | 1 | | 485 | | | | | | | |
| <i>Piaya cayana</i> (Linnaeus, 1766) | alma-de-gato | | 7 | 17 | 11 | 17 | 13 | 18 | 17 | 12 | 14 | 4 | 5 | | 2 | 9 | 6 | 1 | 9 | 8 | 0 | 7 | 0 | 1 | 9 | 4 | 5 | 8 | 8 | 2 | 8 | 3 | 1 | 9 | 8 | 13 | 9 | 16 | 8 | | | | | 4 | | 1 | | | 2 | | | 1 | 3 | 369 | | | | | |
| <i>Tapera naevia</i> (Linnaeus, 1766) | saci | | 5 | | 1 | 1 | 1 | 1 | 2 | 4 | | | | | 2 | 4 | 3 | | 1 | 3 | 4 | 3 | | | | 1 | | 2 | 6 | | 2 | 1 | 2 | 5 | 5 | | 5 | 4 | 2 | 4 | | | | | 2 | | | | 1 | | 1 | | 84 | | | | | | |
| Falconiformes | | | | | | | | | | | | | | | | | | | | | | | | | | | | | | | | | | | | | | | | | | | | | | | | | | | | | | | | | | | |
| Falconidae | | | | | | | | | | | | | | | | | | | | | | | | | | | | | | | | | | | | | | | | | | | | | | | | | | | | | | | | | | | |
| <i>Caracara plancus</i> (Miller, 1777) | carcará | | 6 | 18 | 8 | 8 | 3 | 8 | 4 | 5 | 16 | 4 | | 2 | 9 | 3 | 2 | 2 | | 2 | 2 | 2 | | | | 3 | 5 | | 2 | 11 | 4 | 4 | 3 | 6 | 2 | 2 | 9 | 6 | 8 | | 7 | | | 6 | 2 | | | 1 | | 2 | | 2 | 2 | 191 | | | | | |
| <i>Falco femoralis</i> Temminck, 1822 | falcão-de-coleira | | | | | | | | | | | 3 | | | | | 1 | | | | | | | | | | | | | | | | | | | | 1 | | | | | | | | | | | | | | | | 5 | | | | | | |
| <i>Falco ruficularis</i> Daudin, 1800 | cauré | | | | | | | | | | | | | | | | | | | | | | | | | | 1 | | | | | | | | | | | | | | | | | | | | | | | | | | 1 | | | | | | |
| <i>Falco sparverius</i> Linnaeus, 1758 | quiriquiri | | 1 | | | | | 1 | | | 6 | | | | | | | | | 2 | | | 2 | | | | | | | | | | | | | | | | | | | | | | | | | | | | | | | 17 | | | | | |

| Ordem/Família/Espécie | Nome popular | Fase 1 | | | | | | | | | | Fase 2 | | | | | | | | | | Fase 3 | | | | | | | | | | Fase 4 | | | | | | | | | | Fase 5 | | | | | | Total Geral | | | | | | | | | | | | | | | |
|---|--------------------|--------|----|----|----|----|----|----|----|----|----|--------|-----|----|----|----|----|----|----|----|----|--------|----|-----|-----|-----|----|----|----|----|----|--------|----|----|----|-----|-----|-----|---|----|---|--------|----|---|-----|-----|-----|-------------|---|---|---|---|---|---|----|---|---|-----|---|----|-----|-----|----|
| | | R0 | S1 | S2 | S3 | S4 | S5 | S6 | S7 | S8 | S9 | S10 | S11 | R0 | S1 | S2 | S3 | S4 | S5 | S6 | S7 | S8 | S9 | S10 | S11 | S12 | S1 | S2 | S3 | S4 | S5 | S6 | S7 | S8 | S9 | S10 | S11 | S12 | C | L | R | S | S | S | S10 | S11 | S12 | | C | R | S | S | S | | | | | | | | | | |
| <i>Aramides saracura</i> (Spix, 1825) | saracura-do-mato | | 24 | 30 | 35 | 22 | 31 | 19 | 22 | 16 | 22 | 25 | 19 | | 7 | 6 | 1 | 6 | 1 | 1 | 3 | 6 | 4 | 3 | 7 | 3 | 0 | 1 | 1 | 3 | 9 | | 7 | 9 | 4 | 4 | 4 | 8 | 8 | 0 | 4 | 0 | 14 | 4 | 2 | | | | 6 | 3 | 1 | 1 | 1 | | 2 | | | 2 | 1 | | 491 | | |
| <i>Gallinula galeata</i> (Lichtenstein, 1818) | galinha-d'água | | 1 | 19 | 20 | | 1 | | 3 | 6 | 1 | 2 | | | 1 | 6 | 6 | | 1 | | | | | | 1 | | | | | | | | | | 2 | | 4 | | 1 | | | | | 9 | | | | | | 3 | | | | | | | | | | 87 | | | |
| <i>Laterallus melanophaius</i> (Vieillot, 1819) | sanã-parda | | | | | | | | | | | | | | | | | | | | | | | | | | | | | | | | | | | | | | | | | | | 1 | | | | | | | | | | | | | 1 | | | | | | |
| <i>Mustelirallus albicollis</i> (Vieillot, 1819) | sanã-carijó | | | | | | | | | | | | | | | | 1 | | | | 3 | | | | | | | | | | | | | | | | | | | | | | | | | | | | | | | | | | | | | 5 | | | | | |
| <i>Pardirallus nigricans</i> (Vieillot, 1819) | saracura-sanã | | | | | | | | | | | 1 | | | | | | | | | | | | | | | 1 | | | 1 | | | | | | | | | | | | | | | | | | 1 | | | | | 1 | | | | | 5 | | | | | |
| <i>Porphyrio martinica</i> (Linnaeus, 1766) | frango-d'água-azul | | | | | | | | | | | | | | | | 1 | | | | | | | | | 1 | | | | | 1 | | | | | | | | | | | | | | | | | | | | | | | | | | 9 | | | | | | |
| Nyctibiiformes | | | | | | | | | | | | | | | | | | | | | | | | | | | | | | | | | | | | | | | | | | | | | | | | | | | | | | | | | | | | | | | |
| Nyctibiidae | | | | | | | | | | | | | | | | | | | | | | | | | | | | | | | | | | | | | | | | | | | | | | | | | | | | | | | | | | | | | | | |
| <i>Nyctibius griseus</i> (Gmelin, 1789) | urutau | | 2 | 3 | 6 | | 2 | | | | 2 | 2 | 4 | | 1 | 2 | | 3 | 2 | 2 | | | | | | 2 | 2 | | | | | 1 | 1 | | | 2 | 1 | 1 | 1 | 1 | 1 | 1 | 1 | 1 | 1 | 1 | 1 | | | | | | | | 47 | | | | | | | | |
| Passeriformes | | | | | | | | | | | | | | | | | | | | | | | | | | | | | | | | | | | | | | | | | | | | | | | | | | | | | | | | | | | | | | | |
| Cardinalidae | | | | | | | | | | | | | | | | | | | | | | | | | | | | | | | | | | | | | | | | | | | | | | | | | | | | | | | | | | | | | | | |
| <i>Cyanoloxia brissonii</i> (Lichtenstein, 1823) | azulão | | | | | | | | | | 1 | | 2 | | | 3 | 6 | | | | | | | | | 2 | | | | 1 | 4 | | 1 | 1 | | | | | | | | | | | | | | | 3 | 4 | | | 1 | | | | | | | | | | 39 |
| <i>Cyanoloxia glaucoerulea</i> (d'Orbigny & Lafresnaye, 1837) | azulinho | | | 1 | | | | | | | | 1 | | | | | | | | | | | | | | | | | | | | | | | | | | | | | | | | | | | | | | | | | | | | | 2 | | | | | | |
| <i>Habia rubica</i> (Vieillot, 1817) | tiê-de-bando | | | | | 1 | 2 | | 4 | 5 | 5 | | | | 6 | | | | 7 | 6 | 8 | 4 | 1 | 9 | 3 | 1 | 0 | 2 | 3 | | 9 | | | | | 1 | 1 | 1 | 2 | 0 | 4 | 9 | | | 1 | 2 | | | | | | 4 | | | | | | | 1 | | | 194 | |
| Conopophagidae | | | | | | | | | | | | | | | | | | | | | | | | | | | | | | | | | | | | | | | | | | | | | | | | | | | | | | | | | | | | | | | |
| <i>Conopophaga lineata</i> (Wied, 1831) | chupadente | | 2 | 1 | | 1 | 2 | 4 | 4 | 1 | 2 | 1 | 3 | | 3 | 1 | 2 | 5 | 7 | 3 | 3 | 3 | 0 | 1 | 4 | 1 | 0 | | | 3 | 3 | 3 | 7 | 7 | 2 | 3 | 3 | 1 | 3 | 11 | 5 | 6 | 2 | | | | | | | | | 3 | | 2 | | | | 142 | | | | | |
| Corvidae | | | | | | | | | | | | | | | | | | | | | | | | | | | | | | | | | | | | | | | | | | | | | | | | | | | | | | | | | | | | | | | |
| <i>Cyanocorax chrysops</i> (Vieillot, 1818) | gralha-picaça | | 35 | 32 | 5 | 9 | 12 | 31 | 12 | 22 | 26 | 16 | 4 | | 1 | 1 | | | | | | 1 | 1 | 1 | 1 | 1 | | | 1 | | | 1 | 15 | | 1 | 6 | 1 | 7 | 0 | 6 | 3 | 1 | 3 | 3 | | | | 1 | 3 | 3 | 3 | 1 | 5 | 2 | | 4 | 1 | 2 | 2 | 1 | 2 | 497 | |

| Ordem/Família/Espécie | Nome popular | Fase 1 | | | | | | | | | Fase 2 | | | | | | | | | Fase 3 | | | | | | | | | Fase 4 | | | | | | Fase 5 | | | | | | Total Geral | | | | | | | | | | | | | | | | | | | | | | | | | | |
|---|-------------------------|--------|----|----|----|----|----|----|----|----|--------|-----|-----|----|----|----|----|----|----|--------|----|----|----|-----|-----|-----|----|----|--------|----|----|----|----|----|--------|-----|-----|-----|---|---|-------------|---|---|----|----|----|----|----|-----|----|----|-----|---|---|---|-----|-----|-----|----|---|---|---|--|---|--|--|-----|
| | | R0 | S1 | S2 | S3 | S4 | S5 | S6 | S7 | S8 | S9 | S10 | S11 | R0 | S1 | S2 | S3 | S4 | S5 | S6 | S7 | S8 | S9 | S10 | S11 | S12 | S1 | S2 | S3 | S4 | S5 | S6 | S7 | S8 | S9 | S10 | S11 | S12 | C | L | | R | O | S1 | S2 | S3 | S4 | S5 | S6 | S7 | S8 | S9 | | | | | | | | | | | | | | | |
| <i>Leistes superciliaris</i> (Bonaparte, 1850) | polícia-inglesado-sul | | 8 | | 4 | 7 | | 20 | 3 | 19 | 4 | 3 | | | 4 | 2 | 3 | 1 | | | 3 | 2 | 1 | | 2 | | 1 | | 3 | | | 1 | 15 | | 2 | | | | | | | | | | | | | | 108 | | | | | | | | | | | | | | | | | | |
| <i>Molothrus bonariensis</i> (Gmelin, 1789) | chupim | | | 36 | 20 | 13 | 12 | | 3 | 4 | 18 | 11 | | 1 | 3 | 4 | 3 | 2 | | | 2 | | | | 8 | 2 | 2 | 1 | | | | | | | 2 | | 1 | | | | | | | | 3 | | | 1 | | | | 169 | | | | | | | | | | | | | | | |
| <i>Molothrus oryzivorus</i> (Gmelin, 1788) | iraúna-grande | | | | | | | | | | | | | 1 | | | 1 | 2 | | | | | | | | | 1 | 1 | 1 | | | | | | | | 1 | | | | | | | | | | | | | 8 | | | | | | | | | | | | | | | | | |
| <i>Molothrus rufoaxillaris</i> Cassin, 1866 | chupim-azeviche | | | 4 | | 5 | | | | 2 | 4 | 1 | 1 | | | | | | | | | | | | | | | | | | | | | | | | | | | | | | | | | | | | 1 | | | 18 | | | | | | | | | | | | | | | |
| <i>Psarocolius decumanus</i> (Pallas, 1769) | japu | | 2 | 2 | 1 | 2 | 1 | | 5 | | | | | | | | | | | | | | | | | | | | | | | | | | | | | | | | | | | | | | | | | | | 13 | | | | | | | | | | | | | | | |
| Mimidae | | | | | | | | | | | | | | | | | | | | | | | | | | | | | | | | | | | | | | | | | | | | | | | | | | | | | | | | | | | | | | | | | | | |
| <i>Mimus saturninus</i> (Lichtenstein, 1823) | sabiá-do-campo | | 35 | 11 | 11 | 9 | 10 | 6 | 15 | 6 | 11 | 13 | 14 | 1 | 8 | 0 | 1 | 1 | 3 | 2 | | 5 | 8 | 6 | | 3 | 1 | 1 | 1 | | 3 | 1 | 1 | 4 | 4 | 9 | | | 1 | 7 | | | | | | 1 | 1 | | | 2 | | | | | | 248 | | | | | | | | | | | |
| <i>Mimus triurus</i> (Vieillot, 1818) | calhandra-de-três-rabos | | | | | | | | 3 | | | | | | | | | | | | | | | | | | | | | | | | | | | | | | | | | | | | | | | | | | | | | | 3 | | | | | | | | | | | | |
| Motacillidae | | | | | | | | | | | | | | | | | | | | | | | | | | | | | | | | | | | | | | | | | | | | | | | | | | | | | | | | | | | | | | | | | | | |
| <i>Anthus chii</i> Vieillot, 1818 | caminheiro-zumbidor | | 15 | | 5 | 6 | | 7 | 11 | 10 | | 1 | 2 | 1 | | | 1 | | | 3 | 2 | 1 | 2 | | 1 | 1 | 3 | | | | | | 6 | | | | | | | | | | | 1 | | | | | 1 | | | | | | | | | | 80 | | | | | | | | |
| Parulidae | | | | | | | | | | | | | | | | | | | | | | | | | | | | | | | | | | | | | | | | | | | | | | | | | | | | | | | | | | | | | | | | | | | |
| <i>Basileuterus culicivorus</i> (Deppe, 1830) | pula-pula | | 8 | 15 | 13 | 16 | 13 | 18 | 19 | 8 | 23 | 9 | 3 | | 3 | 2 | 1 | 3 | 3 | 2 | 2 | 3 | 2 | 3 | 1 | 3 | 5 | 33 | 7 | 3 | 3 | 3 | 3 | 4 | 2 | 3 | 10 | 4 | | | | | 2 | 1 | 3 | 7 | 2 | 1 | | 6 | 9 | 4 | 5 | 3 | 2 | | 865 | | | | | | | | | | |
| <i>Geothlypis aequinoctialis</i> (Gmelin, 1789) | piacobra | | 19 | 2 | 7 | 3 | 2 | | 5 | 4 | 5 | 9 | 3 | | 1 | 2 | 3 | | | 1 | 2 | | 4 | 3 | | | 2 | 3 | | 1 | 2 | 6 | 2 | 2 | 2 | 1 | 2 | 1 | 7 | | | | | 1 | 2 | 1 | | 5 | | | | 1 | 4 | | | | | 127 | | | | | | | | | |
| <i>Myiothlypis leucoblephara</i> (Vieillot, 1817) | pula-pula-assobiador | | 11 | 10 | 3 | 15 | 12 | 15 | 12 | 9 | 8 | 2 | 3 | | 1 | | | 1 | 1 | 2 | 1 | 2 | 1 | 5 | 5 | | 2 | 2 | | 1 | | | | | | 1 | 7 | | | | | | | | 5 | | 4 | | | | 5 | | | | | | | 341 | | | | | | | | | |
| <i>Myiothlypis rivularis</i> (Wied, 1821) | pula-pula-ribeirinho | | | | 2 | 3 | | 2 | 6 | | 6 | | 3 | 3 | | | | | | | | | | | | 1 | | | | | | | | | | | | 1 | 7 | | | | | | | 1 | | 1 | | | | 2 | | | | | | | 64 | | | | | | | | |
| <i>Setophaga pitaiyumi</i> (Vieillot, 1817) | mariquita | | 2 | 1 | 1 | 11 | 5 | 5 | 4 | 2 | 10 | 3 | 2 | | 1 | | 4 | 1 | 4 | 5 | 1 | 1 | 1 | 1 | 7 | 2 | 7 | 2 | 3 | | 9 | 4 | 4 | | 2 | 1 | 1 | 5 | | 1 | 1 | 1 | 1 | 1 | 15 | 0 | 2 | 9 | 1 | | 9 | 0 | 7 | 4 | 1 | 2 | 1 | | 2 | 7 | 3 | 2 | | 2 | | | 325 |

| Ordem/Família/Espécie | Nome popular | Fase 1 | | | | | | | | | Fase 2 | | | | | | | | | Fase 3 | | | | | | | | | Fase 4 | | | | | | Fase 5 | | | | | | Total Geral | | | | | | | | | | | | | | | | | | | |
|--|---------------------------------|--------|----|----|----|----|----|----|----|----|--------|-----|-----|----|----|----|----|----|----|--------|----|----|----|-----|-----|-----|----|----|--------|----|----|----|----|----|--------|-----|-----|-----|---|----|-------------|---|----|----|----|----|-----|-----|-----|---|---|-----|----|-----|-----|-----|-----|---|---|-----|
| | | RO | S1 | S2 | S3 | S4 | S5 | S6 | S7 | S8 | S9 | S10 | S11 | RO | S1 | S2 | S3 | S4 | S5 | S6 | S7 | S8 | S9 | S10 | S11 | S12 | S1 | S2 | S3 | S4 | S5 | S6 | S7 | S8 | S9 | S10 | S11 | S12 | C | L | | R | O | S1 | S2 | S8 | S10 | S11 | S12 | C | R | S1 | S4 | S8 | S10 | S11 | S12 | | | |
| <i>Thraupis sayaca</i> (Linnaeus, 1766) | sanhaço-cinzento | | 14 | 28 | 28 | 29 | 24 | 20 | 17 | 7 | 16 | 19 | 26 | | 2 | 5 | 3 | 7 | 1 | 1 | 9 | 3 | 3 | 2 | 9 | 0 | 2 | | | | | | 1 | 2 | 1 | 2 | 1 | 1 | 7 | 9 | 15 | 4 | 18 | 2 | 2 | | 1 | 1 | | 1 | | 3 | 3 | 3 | 2 | 2 | 544 | | | |
| <i>Trichothraupis melanops</i> (Vieillot, 1818) | tiê-de-topete | | 3 | 6 | 4 | 10 | 10 | 10 | 12 | 6 | 5 | 8 | 3 | | 1 | 1 | 8 | 1 | 2 | 3 | 2 | 1 | | 9 | 6 | 7 | 9 | 3 | | | | | 1 | 8 | 3 | 3 | 6 | 3 | 5 | 0 | 12 | 6 | 5 | 1 | | | | | | | 2 | | | | | 349 | | | | |
| <i>Volatinia jacarina</i> (Linnaeus, 1766) | tiziu | | 77 | 7 | 4 | 2 | | 4 | 4 | 41 | 12 | 20 | 15 | | 3 | 4 | 2 | | 1 | | 4 | | 6 | 7 | 0 | | | | | | | | | | 1 | 2 | 16 | 2 | 3 | | 4 | | 2 | | | | 3 | | | 1 | | 278 | | | | | | | | |
| Tityridae | | | | | | | | | | | | | | | | | | | | | | | | | | | | | | | | | | | | | | | | | | | | | | | | | | | | | | | | | | | | |
| <i>Pachyrhamphus castaneus</i> (Jardine & Selby, 1827) | caneleiro | | | | | | | | | | | | | | | | | | | | | | | | | | | | | | | | | | | | | | | | | | | | | | | | | | | | | | | | | | | |
| <i>Pachyrhamphus polychopterus</i> (Vieillot, 1818) | caneleiro-preto | | | | | | | | | | | | | | | | | | | | | | | | | | | | | | | | | | | | | | | | | | | | | | | | | | | | | | | | | | | |
| <i>Pachyrhamphus validus</i> (Lichtenstein, 1823) | caneleiro-de-chapéu-preto | | 2 | 1 | 2 | | | | | 1 | | | 1 | | | | 1 | 1 | 2 | 1 | | | 1 | | | | | | | | | 1 | 4 | | 3 | 2 | 4 | 1 | | | | | | | 1 | | 1 | | | | | 30 | | | | | | | | |
| <i>Schiffornis virescens</i> (Lafresnaye, 1838) | flautim | | | | | | | | | | | | | | | | | | | | | | | | | | | | | | | | | | | | | | | | | | | | | | | | | | | | | | | | | | | |
| <i>Tityra cayana</i> (Linnaeus, 1766) | anambé-branco-de-rabo-preto | | | | | | | | | | | | | | | | | | | | | | | | | | | | | | | | | | | | | | | | | | | | | | | | | | | | | | | | | | | |
| <i>Tityra inquisitor</i> (Lichtenstein, 1823) | anambé-branco-de-bochecha-parda | 3 | | 1 | | | | 2 | | 3 | | | | | | | | | | | | | | | | | 1 | | | 3 | | | | | | | 3 | 1 | | | | | | | | | | | | | | | 17 | | | | | | | |
| Troglodytidae | | | | | | | | | | | | | | | | | | | | | | | | | | | | | | | | | | | | | | | | | | | | | | | | | | | | | | | | | | | | |
| <i>Troglodytes musculus</i> Naumann, 1823 | corruíra | 37 | 32 | 26 | 21 | 12 | 23 | 19 | 9 | 13 | 26 | 19 | | | 1 | 2 | 5 | 8 | 9 | 4 | 4 | 1 | 4 | 1 | 1 | 4 | 1 | 5 | 16 | 2 | 2 | 1 | 6 | 5 | 5 | 4 | 6 | 6 | 4 | 14 | 1 | 2 | 1 | | | 6 | 5 | 1 | | 5 | 1 | 5 | 1 | | 2 | 1 | 3 | 2 | 1 | 490 |
| Turdidae | | | | | | | | | | | | | | | | | | | | | | | | | | | | | | | | | | | | | | | | | | | | | | | | | | | | | | | | | | | | |
| <i>Turdus albicollis</i> Vieillot, 1818 | sabiá-coleira | | | | | | | | | | | | | | | | | | | | | | | | | | | | | | | | | | | | | | | | | | | | | | | | | | | | | | | | | | | |
| <i>Turdus amaurochalinus</i> | sabiá-poca | 21 | 2 | 11 | 17 | 9 | 12 | 2 | 11 | 6 | 1 | 18 | 9 | 9 | 1 | 8 | 3 | 4 | 3 | 7 | 6 | 5 | 6 | 7 | 4 | 9 | 14 | 0 | 0 | 1 | 1 | 7 | 4 | 4 | 3 | 3 | 8 | 16 | 6 | 0 | | 9 | 9 | 3 | 2 | 3 | 0 | | 3 | 4 | 5 | 5 | 3 | 401 | | | | | | |

Considerando as guildas tróficas registradas, em todas as fases a maioria das populações registradas são espécies insetívoras e onívoras (Figura 8). E as de menor representatividade ao longo das fases de monitoramento, são as aves pertencentes à guildas tróficas dos Malacófagos e Piscívoros (Figura 8). Em ambientes alterados a baixa diversidade florística tende a afetar diretamente a disponibilidade de recursos alimentares, principalmente de aves frugívoras (Piratelli et al., 2005). Além de favorecer para um aumento de espécies onívoras e insetívoras menos especializadas (Piratelli et al., 2005). Além disso, guildas muito especializadas no uso dos recursos alimentares, tendem a possuir uma baixa frequência de ocorrência, já que dependem de condições em ambientes específicos para suprir suas necessidades alimentares (D'Angelo Neto et al., 1998).

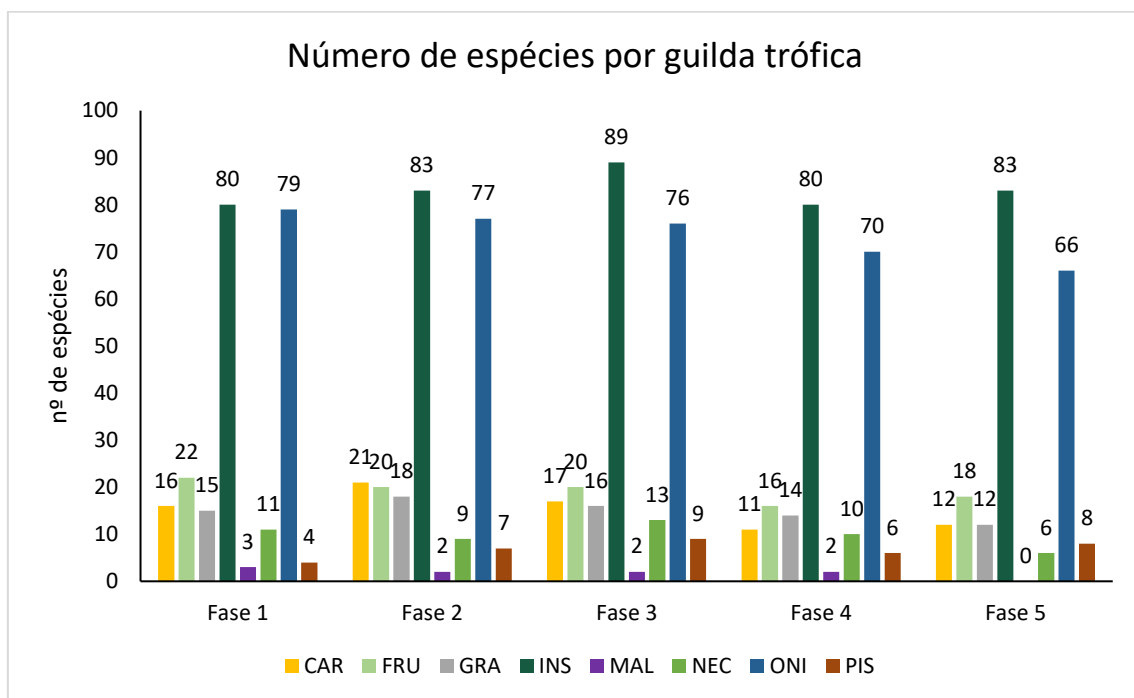


Figura 8. Principais guildas tróficas registradas ao longo das fases de monitoramento. CAR=Carnívoro, FRU= Frugívoro, GRA= Granívoro, INS = Insetívoro, MAL= Malacófago, NEC= Nectarívoro, ONI= Onívoro, PIS= Piscívoro.

De acordo com os índices de diversidade, as unidades amostrais que obteve a maior diversidade de espécies ao longo das fases de monitoramento, foram S04, S07, S08 e S09, sendo que todas apontaram um resultado para o índice de diversidade de Shannon de 4,56 (Tabela 3). Essas unidades amostrais pertencem à AID, todas estão localizadas nas proximidades de rios, próximas à matriz de pastagem e estão inseridas em matrizes de pastagem e/ou agricultura. É importante destacar, que apesar de estarem sob

influência de atividades agropecuárias, todas essas unidades amostrais estão inseridas em ambientes florestais e próximas à mata ciliar de grandes rios (Rio Iguaçu e Capanema). Nessa perspectiva, os habitats florestais, ainda que sejam pequenos fragmentos, resguardam condições e recursos para a conservação de muitas espécies quando comparados à ambientes exclusivamente agrícolas ou de matriz de pastagem. Em relação à equitabilidade, o sítio amostral que apresentou uma maior homogeneidade na distribuição das abundâncias foi o ponto da *Limnomedusa*, o qual o índice de Pielou adotou um valor de 0,91 (Tabela 3). Não obstante, o local que apontou uma menor diversidade de espécies e equitabilidade, foi o Corredor da Biodiversidade, local que foi amostrado apenas durante a quinta fase de monitoramento. Desse modo, apesar de ter obtido a menor diversidade de espécies nos comparativos de diversidade geral, o valor representado pelo índice de Shannon reflete que o local possui um grande potencial para abrigar diversas espécies. Cabe destacar também, que o Corredor da Biodiversidade está na zona tampão do PARNA do Iguaçu, representando um importante corredor ecológico, propiciando o deslocamento da fauna entre os fragmentos da região.

Tabela 3. Índices de diversidade (Shannon-H') e equitabilidade (Pielou-J) e riqueza e abundância registradas ao longo das fases de monitoramento.

| Ponto | Riqueza | Abundância | Shannon (H') | Equitabilidade (J) |
|-----------------------------|---------|------------|--------------|--------------------|
| Corredor da Biodiversidade | 117 | 1027 | 3,74 | 0,79 |
| Ponto da <i>Limnomedusa</i> | 19 | 69 | 2,69 | 0,91 |
| S1 | 218 | 3650 | 4,53 | 0,84 |
| S2 | 184 | 3534 | 4,52 | 0,87 |
| S3 | 164 | 3041 | 4,38 | 0,86 |
| S4 | 198 | 3814 | 4,56 | 0,86 |
| S5 | 165 | 2862 | 4,47 | 0,87 |
| S6 | 153 | 2785 | 4,41 | 0,88 |
| S7 | 179 | 3164 | 4,56 | 0,88 |
| S8 | 185 | 3174 | 4,56 | 0,87 |
| S9 | 195 | 3559 | 4,56 | 0,86 |
| S10 | 180 | 3083 | 4,48 | 0,86 |
| S11 | 192 | 3608 | 4,54 | 0,86 |
| S12 | 180 | 1725 | 4,54 | 0,88 |

Através da análise de agrupamento, foi observada a formação de pequenos subgrupos dentro do grupo roxo (S09, S08, S01, S11, S10, S02, S03, S06, S05, S07 e S04),

demonstrando quais locais apresentam uma maior similaridade na composição de espécies (Figura 9). Nesse sentido, avaliando o subgrupo formado pela junção os sítios amostrais S09, S08 e S01, foi possível averiguar que eles compartilham cerca de 50% da composição de espécies (Figura 9). Os sítios amostrais S08 e S09 localizam-se nas margens do rio Capanema e é composto por fragmento florestal do tipo FES. Ambos possuem ao seu redor uma matriz de pastagem com pecuária extensiva. Já o sítio amostral S01, também se encontra nas margens de um rio, o rio Gonçalves Dias, e apesar de possuir nas suas proximidades áreas de cultivo, o local encontra próximo ao PARNA do Iguaçu. O segundo subgrupo é composto pela presença dos sítios amostrais S11, S10, S02 e S03. Os quais compartilham entre si cerca de 58% da composição de espécies (Figura 9). O sítio amostral S10 está próximo às margens do rio Capanema e possui um fragmento de FES, cujo interior possui drenagens e pequenos afloramentos rochosos. O local também conta com a presença em seu entorno de matriz de pastagem e áreas de agricultura. Já o sítio amostral S11, sofre influência direta da UHE do Baixo Iguaçu, o local apresenta um remanescente florestal de FES. O sítio amostral S02 encontra-se próximo às margens do rio Monteiro, estando a montante da UHE Baixo Iguaçu. Apresenta um fragmento florestal bem antropizado, com forte presença de pastagem e plantações de soja. E o sítio amostral S03 também se encontra às margens do rio Iguaçu e está inserido em uma matriz de pastagem, contudo possui um fragmento florestal do tipo FES o qual apresenta uma boa conexão com a área no entorno e possui pequenos açudes em seu interior. E por fim, o terceiro subgrupo é formado pelos sítios amostrais, S06, S05, S07, S04, sendo que esses compartilham entre si cerca de 60% da composição de espécies (Figura 9). Os sítios amostrais S05 e S06 estão localizadas as margens do rio Iguaçu e possuem um fragmento florestal que se encontra inserido em meio a uma matriz de pastagem e agricultura. Apesar disso, possuem uma boa conexão com os demais fragmentos no entorno. Já o sítio amostral S07 é contíguo ao sítio S06, também se encontra nas proximidades do rio Iguaçu e está sob influência de uma matriz de pastagem e agricultura. O sítio S04, se encontra próximo à BR 163, estando inserido às margens do rio Iguaçu. O remanescente de S04 apresenta bom estado de conservação, contudo seu entorno sofre influência direta das atividades agropecuárias.

Dentre os sítios amostrais que não formaram um agrupamento com as demais unidades amostrais, vale destacar o sítio 12, que foi amostrado ao logo de todo o monitoramento, contudo compartilha cerca de 22% na composição de espécies com os demais pontos (Figura 9). É importante destacar que tal unidade amostral encontra-se inserida dentro

do PARNA do Iguaçu, e, portanto, apresenta maior conservação ao compará-la as demais unidades amostrais.

Nesse sentido, é possível inferir que a similaridade na composição de espécies está intrinsecamente ligada as características dos remanescentes florestais nos quais cada sítio amostral encontra-se inserido, bem como a proximidade espacial de cada um dos locais. O habitat é um dos principais componentes ambientais que influencia a composição de espécies de um dado local (Simoni et al., 2019).

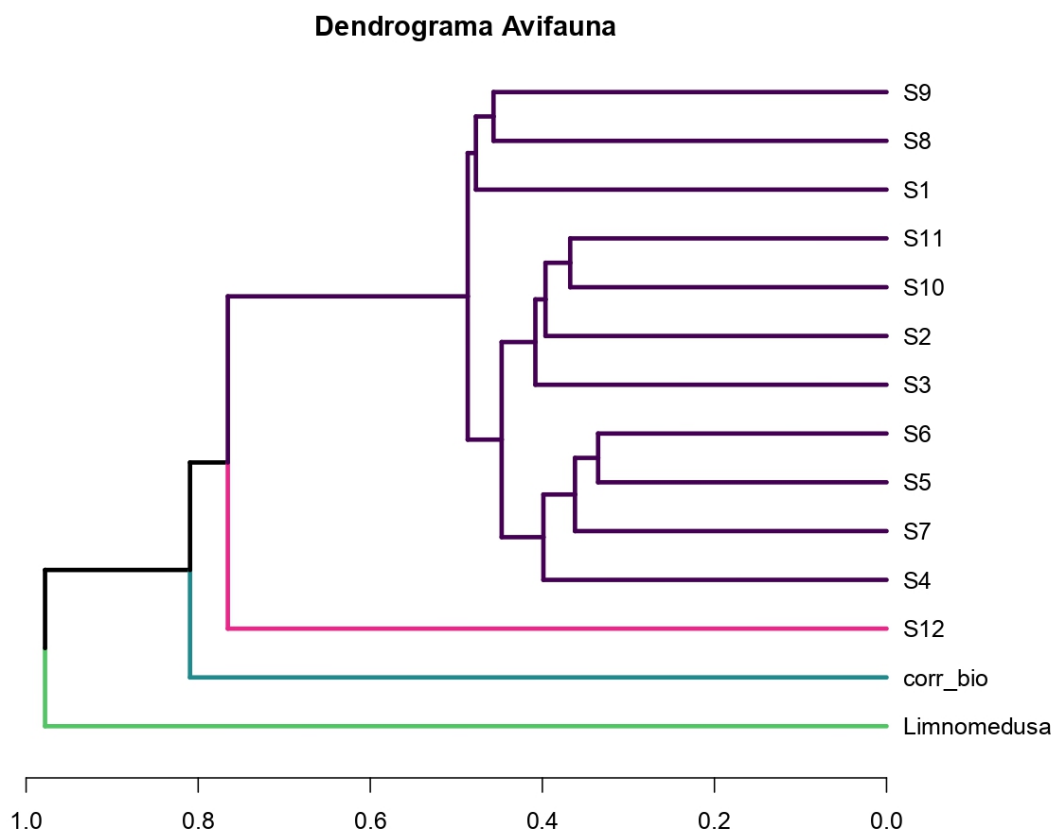


Figura 9. Agrupamento das áreas amostrais com relação à dissimilaridade na composição de espécies de aves, de acordo com os dados de monitoramento. Valores mais próximos de zero indicam áreas menos similares (correlação cofenética 0.99).

A fim de avaliar os potenciais fatores que têm determinado a composição de aves ao longo das fases de monitoramento foi realizado o teste estatístico PERMANOVA. De acordo com tal análise todas as variáveis foram significativas, tendo em vista que o valor de significância (p) foi menor do que 0,02 (Tabela 4). Contudo, dentre as variáveis explicativas, a de maior peso foi a Fase em que o monitoramento foi realizado, sendo que essa variável foi responsável por explicar em 22% dos resultados observados para

a variação na composição de espécies (Tabela 4). Em seguida foram as variáveis Fase e clima associadas, que explicam cerca de 6% das variações observadas (Tabela 4). E por fim, a variável clima, sendo responsável por explicar apenas 4% dos resultados observados (Tabela 4).

Os resultados expressos na análise estatística PERMANOVA (Tabela 4), corroboram com o que havia sido discutido nas análises exploratórias. Sendo que um dos potenciais fatores para as divergências entre a composição de espécies ao longo das fases, é o número de campanhas executadas, bem como número de unidades amostrais. Por conseguinte, apesar de apresentar um menor peso, a variável clima, aqui definida como variação da temperatura ao longo dos períodos amostrais, mostra-se como uma das variáveis explicativas para a diferenciação na composição de espécies. É sabido que a sazonalidade é um dos principais fatores para as diferenças na composição da avifauna, isso porque ela está intrinsecamente ligada ao período reprodutivo, disponibilidade de recursos alimentares e dita padrões migratórios de algumas espécies.

Tabela 4. Resultados da análise PERMANOVA para mamíferos silvestres. Fases executadas refere-se a fase 01, 02, 03, 04 e 05 de monitoramento, e, clima refere-se à variação de temperatura anual.

| Variáveis | Df | R ² | F | Pr(>F) |
|-------------------|----|----------------|-----|--------|
| Fase | 4 | 0,22 | 7,2 | 1e-04* |
| Clima | 1 | 0,04 | 5,3 | 1e-04* |
| Fase:Clima | 4 | 0,06 | 2,0 | 1e-04* |
| Resíduos | 89 | 0,68 | NA | NA |
| Total | 98 | 1,00 | NA | NA |

Obs. *Valores de p significativos

Para averiguar a suficiência amostral foi realizada a curva de rarefação aleatorizada, que pode ser verificada na Figura 10. A curva de rarefação apresenta a riqueza observada, representada pela linha contínua, e a riqueza estimada, representada pela linha tracejada. Ao longo do monitoramento foram registradas uma total de 339 espécies, contudo a curva de rarefação aponta para um acréscimo de cerca de 10 espécies caso o esforço amostral fosse dobrado. Contudo, em ambientes tropicais a busca por suficiência amostral não é uma meta atingível, devido à grande diversidade de espécies (Magurran, 2011). Assim sendo, é possível considerar que o esforço amostral empregado na amostragem da avifauna foi suficiente.

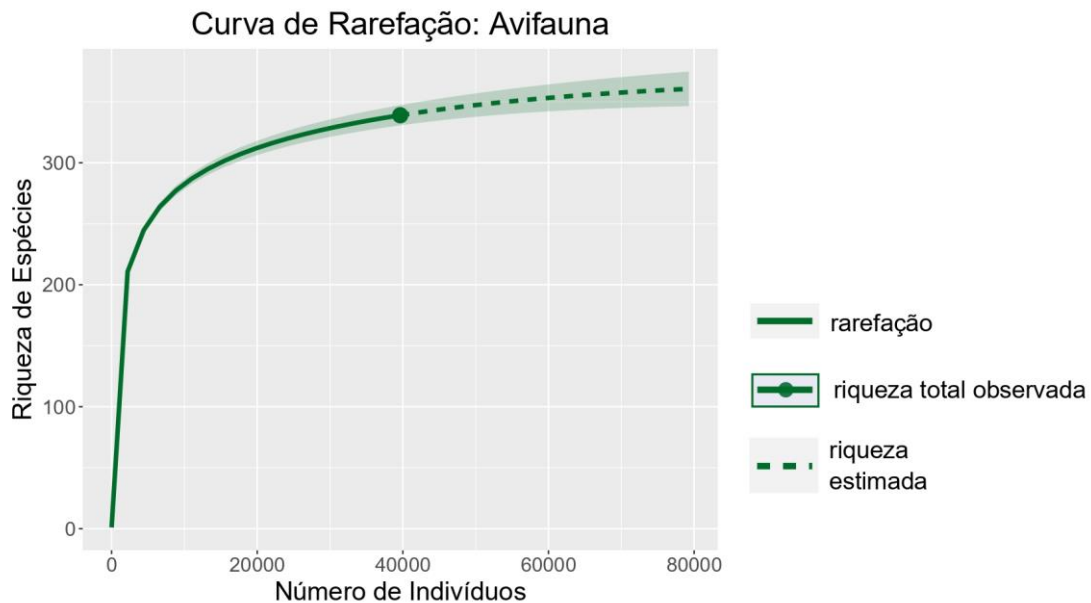


Figura 10. Curva de rarefação para aves utilizando o estimador de riqueza Chao 1. Linha contínua é a riqueza observada e a linha tracejada é a riqueza estimada.

7.1.3. Espécies de interesse para conservação

a. Espécies ameaçadas

Foram registradas ao longo do monitoramento da avifauna um total de nove espécies ameaçadas de extinção: a *Strix huhula* (coruja-preta), que está como criticamente ameaçada (CR) de extinção de acordo com a lista estadual; a *Antrorstomus sericocaudatus* (bacurau-rabo-de-seda), *Primolius maracana* (maracanã) e o *Spizaetus ornatos* (gavião-de-penacho), que contam como em perigo (EN) pela lista estadual; o *Piprites chloris* (papinho-amarelo), *Pteroglossus bailloni* (araçari-banana), *Spizaetus melanoleucus* (gavião-pato) e o *Tinamus solitarius* (macuco), que conta como vulnerável (VU) pela lista estadual; e a *Biatas nigropectus* (papo-branco) que está como vulnerável (VU) pela IUCN e quase ameaçada (NT) pela lista estadual (Tabela 5).

Dentre as espécies destacam-se a *Strix huhula* (coruja-preta), *Biatas nigropectus* e o *Piprites chloris*. A *Strix huhula* é uma espécie considerada rara, típica de ambientes florestais, mas que também tem sido encontrada em fragmentos de áreas urbanizadas (Do Nascimento et al., 2018). Já, a *Biatas nigropectus* é uma espécie estritamente

florestal e é encontrada, geralmente, em associação com taquaral (Kohler, Legal e Testoni, 2009). É uma espécie rara em toda a sua distribuição na região sul, e demonstra possuir uma alta especificidade de habitat, fator que aliado ao desmatamento agrava a situação de conservação da espécie (Kohler, Legal e Testoni, 2009). E, o *Piprites chloris* (barbudinho) é uma espécie cuja distribuição geográfica no Brasil se encontra disjunta, habita preferencialmente o dossel de florestas primárias úmidas ou florestas secundárias antigas (Neve e De Juana, 2020). A espécie é conhecida por construir ninhos utilizando musgos em ocos de árvores (Neve e De Juana, 2020).

b. Espécies endêmicas, raras ou não descritas pela ciência

Considerando as espécies endêmicas, foram registradas 54 espécies endêmicas de Mata Atlântica, quantitativo que representa cerca de 15,9% da riqueza de espécies de aves registradas durante o estudo (Tabela 5). O bioma mata Atlântica é reconhecido por ser um dos grandes hotspots de biodiversidade em território brasileiro, uma vez que conta com a presença de muitas espécies endêmicas e ameaçadas de extinção (Myers et al., 2000). Sendo assim, é plausível o encontro de um expressivo número de espécies endêmicas para o bioma ao longo das fases de monitoramento denotando a importância do local para a conservação desses táxons.

Em relação as espécies raras, enquadra-se nesta categoria apenas a *Strix huhula* (coruja-preta), que conforme indicado no tópico acima, é uma espécie ameaçada de extinção e rara de ser encontrada na natureza. Os registros de história natural para essa espécie são escassos, contudo, é uma espécie é até então, definida como de hábitos florestais e de distribuição ampla, porém disjunta em território brasileiro, e é essencialmente carnívora (Soares et al., 2021).

c. Espécies de importância econômica, xerimbabos e/ou cinegéticas

De acordo com os apêndices da CITES, foram registradas um total de 65 espécies de interesse cinegético. Sendo que, dentre as espécies registradas, 56 espécies constam no anexo II da CITES, o qual prevê que o comércio seja controlado ainda que as espécies não estejam ameaçadas de extinção; seis espécies estão listadas no apêndice III da CITES, sendo assim fica estabelecido que o comércio deve ser realizado de maneira sustentável e com a presença de licenças e certificados apropriados; e, três espécies constam no apêndice I da CITES, o qual prevê a proibição do comércio, já que a espécie encontra-se ameaçada de extinção (Tabela 5). Além disso, é importante destacar que a avifauna está entre os vertebrados que mais sofrem com o tráfico ilegal

de animais silvestres, pois despertam um grande interesse devido a sua beleza e canto (Ribeiro e Silva, 2007), fator que contribui para o declínio de diversas espécies da avifauna. No presente estudo, existem aves de potencial comercialização que não constam no apêndice da CITES (2024), como por exemplo: *Saltator similis* (trinca-ferro), *Turdus* spp., *Zonotrichia capensis* (tico-tico), entre outros.

d. Espécies migratórias

Cerca de 34 espécies são consideradas parcialmente migratórias (Tabela 5), ou seja, são espécies que parte de suas populações realizam movimentos migratórios sazonais (Somenzari et al., 2018). Além disso, foram registradas 14 espécies migratórias. Compreender quais são as aves migratórias, bem como os locais de concentração dessas aves, é essencial para promover o planejamento de ações para a conservação (Barbosa et al., 2019). Para além disso, no contexto do monitoramento, compreender a dinâmica das populações ao longo de uma escala temporal, ajuda elucidar potenciais divergências entre os registros em diferentes períodos de amostragem.

e. Espécies bioindicadoras

Para classificação das espécies como bioindicadoras de boa qualidade ambiental, foram considerados os atributos ecológicos como: uso do habitat (se a espécie se mostra especialista no uso de algum recurso), sensibilidade às alterações no ambiente de acordo com a classificação de Stotz et al. (1996), e se a espécie consta como ameaçada de extinção em âmbito mundial, nacional ou estadual. Desse modo, se enquadra nesta categoria cerca de 27 espécies (Tabela 5). A localização de espécies bioindicadoras ajudam a elucidar a saúde ambiental de uma dada área. Ao longo do monitoramento houve flutuações nos quantitativos de aves bioindicadoras, sendo que na primeira fase essas somaram cerca de 13 espécies, na segunda fase foram registradas 16 espécies, na terceira fase foram registradas 17 espécies e nas duas fases subsequentes foram registradas 18 espécies. De modo geral, é importante destacar que tais espécies estiveram associadas, principalmente, à ambientes de fragmentos florestais. O que ressalta a importância desses ambientes para a manutenção dessas populações de aves de hábitos mais restritos.

f. Espécies de Risco epidemiológico e exóticas

Foram registradas três espécies exóticas e invasoras durante as amostragens da avifauna, a *Bubulcus ibis* (garça-vaqueira) que esteve presente em todas as fases de monitoramento, o *Passer domesticus* (pardal) que esteve presente apenas nas três primeiras fases de monitoramento e a *Estrilda astrild* (bico-de-lacre), que foi registrada apenas na quarta fase (Tabela 5). Dentre as espécies exóticas, destaca-se a presença da garça-vaqueira, que além de estar presente em todas as fases, em algumas circunstâncias foi considerada a espécie mais dominante. A garça-vaqueira é uma espécie originária da Europa Mediterrânea e da África, que teve a sua expansão de distribuição no século XX (Della Bella e Azevedo-Junior, 2004). Tal espécie é amplamente distribuída e habita os mais variados tipos de ambientes, estando sempre associada às atividades agropecuárias (Della Bella e Azevedo-Junior, 2004). Ademais ela também possui comportamentos alimentares altamente oportunistas, apresentando relações simbióticas com o gado-doméstico (*Bos taurus*) (Lesh, Kylin e Bouwman, 2023).

Tabela 5. Espécies da avifauna de interesse para conservação, registradas durante o monitoramento de fauna. Status de ameaça: NT – Quase ameaçada, EN- Em perigo, VU – Vulnerável, CR – Criticamente ameaçada. Guildas tróficas: ONI=Onívoro, INS= Insetívoro, NEC= Nectarívoro, CAR = Carnívoro, MEL = Melacófago, PIS = Piscívoro, GRA= Granívoro, FOL= Folívoro.

| Ordem/Família/Espécie | Nome popular | Sensibilidade | Migratória | Endemismo | Exótica e/ou invasora | Guilda | Habitat | CITES | IUCN | BRASIL | PARANÁ |
|---|------------------------------|---------------|---------------|-----------|-----------------------|--------|--------------------------------|----------------|------|--------|--------|
| Accipitriformes | | | | | | | | | | | |
| Accipitridae | | | | | | | | | | | |
| <i>Accipiter striatus</i> Vieillot, 1808 | tauató-miúdo | Média | - | - | - | ONI | Ambientes florestais | II | - | - | LC |
| <i>Buteo brachyurus</i> Vieillot, 1816 | gavião-de-cauda-curta | Média | - | - | - | CAR | Ambientes florestais e abertos | II | - | - | - |
| <i>Buteo swainsoni</i> Bonaparte, 1838 | gavião-papa-gafanhoto | Média | Migratória | - | - | CAR | Ambientes abertos | II | - | - | DD |
| <i>Circus buffoni</i> (Gmelin, 1788) | gavião-do-banhado | Média | - | - | - | CAR | Ambientes abertos e aquáticos | II | - | - | - |
| <i>Elanoides forficatus</i> (Linnaeus, 1758) | gavião-tesoura | Média | Parcialmente* | - | - | ONI | Ambientes florestais | II | - | - | - |
| <i>Elanus leucurus</i> (Vieillot, 1818) | gavião-peneira | Baixa | - | - | - | CAR | Ambientes abertos | II | - | - | - |
| <i>Gampsonyx swainsonii</i> Vigors, 1825 | gaviãozinho | Baixa | - | - | - | CAR | Ambientes florestais e abertos | II | - | - | - |
| <i>Geranoaetus albicaudatus</i> (Vieillot, 1816) | gavião-de-rabo-branco | Baixa | - | - | - | CAR | Ambientes abertos | II | - | - | - |
| <i>Geranoospiza caerulescens</i> (Vieillot, 1817) | gavião-pernilongo | Média | - | - | - | CAR | Ambientes florestais | II | - | - | - |
| <i>Harpagus diodon</i> (Temminck, 1823) | gavião-bombachinha | Média | Migratória | - | - | CAR | Ambientes florestais | II | - | - | - |
| <i>Heterospizias meridionalis</i> (Latham, 1790) | gavião-caboclo | Baixa | - | - | - | CAR | Ambientes abertos | II | - | - | - |
| <i>Ictinia plumbea</i> (Gmelin, 1788) | sovi | Média | Parcialmente* | - | - | ONI | Ambientes florestais | II | - | - | - |
| <i>Rostrhamus sociabilis</i> (Vieillot, 1817) | gavião-caramujeiro | Baixa | Parcialmente* | - | - | MAL | Ambientes aquáticos | II | - | - | - |
| <i>Rupornis magnirostris</i> (Gmelin, 1788) | gavião-carijó | Baixa | - | - | - | CAR | Ambientes florestais e abertos | II | - | - | - |
| <i>Spizaetus melanoleucus</i> (Vieillot, 1816) | gavião-pato | Alta | - | - | - | CAR | Ambientes florestais | II | - | - | VU |
| <i>Spizaetus ornatus</i> (Daudin, 1800) | gavião-de-penacho | Alta | - | - | - | CAR | Ambientes florestais | II | NT | - | EN |
| <i>Urubitinga urubitinga</i> (Gmelin, 1788) | gavião-preto | Baixa | - | - | - | CAR | Ambientes florestais e abertos | II | - | - | - |
| Pandionidae | | | | | | | | | | | |
| <i>Pandion haliaetus</i> (Linnaeus, 1758) | águia-pescadora | Média | Migratória | - | - | PIS | Ambientes aquáticos | - | - | - | - |
| Anseriformes | | | | | | | | | | | |
| Anatidae | | | | | | | | | | | |
| <i>Amazonetta brasiliensis</i> (Gmelin, 1789) | marreca-ananaí | Baixa | - | - | - | ONI | Ambientes aquáticos | - | - | - | - |
| <i>Cairina moschata</i> (Linnaeus, 1758) | pato-do-mato | Média | - | - | - | ONI | Ambientes aquáticos | - | - | - | - |
| <i>Dendrocygna autumnalis</i> (Linnaeus, 1758) | marreca-cabocla | Baixa | - | - | - | ONI | Ambientes aquáticos | III (Honduras) | - | - | - |
| <i>Dendrocygna viduata</i> (Linnaeus, 1766) | irerê | Baixa | - | - | - | ONI | Ambientes aquáticos | - | - | - | - |
| <i>Nomonyx dominicus</i> (Linnaeus, 1766) | marreca-caucau | Média | - | - | - | ONI | Ambientes aquáticos | - | - | - | - |
| Anhimidae | | | | | | | | | | | |
| <i>Chauna torquata</i> (Oken, 1816) | tachã | Média | - | - | - | FOL | Ambientes aquáticos | - | - | - | - |
| Apodiformes | | | | | | | | | | | |
| Apodidae | | | | | | | | | | | |
| <i>Chaetura cinereiventris</i> Sclater, 1862 | andorinhão-de-sobre-cinzento | Média | - | - | - | INS | Ambientes florestais | - | - | - | - |

| Ordem/Família/Espécie | Nome popular | Sensibilidade | Migratória | Endemismo | Exótica e/ou invasora | Guildd | Habitat | CITES | IUCN | BRASIL | PARANÁ |
|--|--------------------------------|---------------|---------------|----------------|-----------------------|---------|--------------------------------|----------------|------|--------|--------|
| <i>Chaetura meridionalis</i> Hellmayr, 1907 | andorinhão-do-temporal | Baixa | Migratória* | - | - | INS | Ambientes florestais e abertos | - | - | - | - |
| <i>Cypseloides senex</i> (Temminck, 1826) | taperuçu-velho | Média | - | - | - | INS | Ambientes florestais | - | - | - | - |
| Trochilidae | | | | | | | | | | | |
| <i>Anthracothorax nigricollis</i> (Vieillot, 1817) | beija-flor-de-veste-preta | Baixa | Parcialmente | - | - | NEC | Ambientes florestais e abertos | II | - | - | - |
| <i>Chlorostilbon lucidus</i> (Shaw, 1812) | besourinho-de-bico-vermelho | Baixa | - | - | - | NEC | Ambientes florestais e abertos | II | - | - | - |
| <i>Chrysuronia versicolor</i> (Vieillot, 1818) | beija-flor-de-banda-branca | Baixa | - | - | - | NEC | Ambientes florestais | II | - | - | - |
| <i>Eupetomena macroura</i> (Gmelin, 1788) | beija-flor-tesoura | Baixa | - | - | - | NEC | Ambientes abertos | II | - | - | - |
| <i>Florisuga fusca</i> (Vieillot, 1817) | beija-flor-preto | Baixa | Parcialmente* | Mata Atlântica | - | NEC | Ambientes florestais | II | - | - | - |
| <i>Heliomaster furcifer</i> (Shaw, 1812) | bico-reto-azul | Média | - | - | - | NEC | Ambientes florestais e abertos | II | - | - | - |
| <i>Hylocharis chrysura</i> (Shaw, 1812) | beija-flor-dourado | Média | - | - | - | NEC | Ambientes florestais e abertos | II | - | - | - |
| <i>Hylocharis sapphirina</i> (Gmelin, 1788) | beija-flor-safira | Média | - | - | - | NEC | Ambientes florestais | II | - | - | - |
| <i>Leucochloris albicollis</i> (Vieillot, 1818) | beija-flor-de-papo-branco | Baixa | - | Mata Atlântica | - | NEC | Ambientes florestais | II | - | - | - |
| <i>Phaethornis eurynome</i> (Lesson, 1832) | rabo-branco-de-garganta-rajada | Média | - | Mata Atlântica | - | NEC | Ambientes florestais | II | - | - | - |
| <i>Phaethornis pretrei</i> (Lesson & Delattre, 1839) | rabo-branco-acanelado | Baixa | - | - | - | NEC | Ambientes florestais | II | - | - | - |
| <i>Stephanoxis loddigesii</i> (Gould, 1831) | beija-flor-de-topete-azul | Média | - | - | - | NEC | Ambientes florestais e abertos | II | - | - | - |
| <i>Thalurania glaucopsis</i> (Gmelin, 1788) | beija-flor-de-fronte-violeta | Média | - | Mata Atlântica | - | NEC/INS | Ambientes florestais | II | - | - | - |
| Caprimulgiformes | | | | | | | | | | | |
| Caprimulgidae | | | | | | | | | | | |
| <i>Antrostomus sericocaudatus</i> Cassin, 1849 | bacurau-rabo-de-seda | Alta | - | - | - | INS | Ambientes florestais | - | - | - | EN |
| <i>Hydropsalis parvula</i> (Gould, 1837) | bacurau-chintã | Baixa | Parcialmente | - | - | INS | Ambientes florestais | - | - | - | - |
| <i>Hydropsalis</i> sp. | - | - | - | - | - | - | - | - | - | - | - |
| <i>Hydropsalis torquata</i> (Gmelin, 1789) | bacurau-tesoura | Baixa | - | - | - | INS | Ambientes abertos | - | - | - | - |
| <i>Lurocalis semitorquatus</i> (Gmelin, 1789) | tuju | Média | Parcialmente | - | - | INS | Ambientes florestais | - | - | - | - |
| <i>Nyctidromus albicollis</i> (Gmelin, 1789) | bacurau | Baixa | - | - | - | INS | Ambientes florestais | - | - | - | - |
| Cathartiformes | | | | | | | | | | | |
| Cathartidae | | | | | | | | | | | |
| <i>Cathartes aura</i> (Linnaeus, 1758) | urubu-de-cabeça-vermelha | Baixa | - | - | - | NC | Ambientes florestais e abertos | - | - | - | - |
| <i>Coragyps atratus</i> (Bechstein, 1793) | urubu-preto | Baixa | - | - | - | NC | Ambientes florestais e abertos | - | - | - | - |
| <i>Sarcoramphus papa</i> (Linnaeus, 1758) | urubu-rei | Média | - | - | - | NC | Ambientes florestais e abertos | III (Honduras) | - | - | - |
| Charadriiformes | | | | | | | | | | | |
| Charadriidae | | | | | | | | | | | |
| <i>Vanellus chilensis</i> (Molina, 1782) | quero-quero | Baixa | - | - | - | ONI | Ambientes abertos e aquáticos | - | - | - | - |
| Jacaniidae | | | | | | | | | | | |

| Ordem/Família/Espécie | Nome popular | Sensibilidade | Migratória | Endemismo | Exótica e/ou invasora | Guildd | Habitat | CITES | IUCN | BRASIL | PARANÁ |
|--|----------------------------------|---------------|--------------|----------------|-----------------------|--------|--------------------------------|-------|------|--------|--------|
| <i>Jacana jacana</i> (Linnaeus, 1766) | jaçanã | Baixa | - | - | - | ONI | Ambientes aquáticos | - | - | - | - |
| Laridae | | | | | | | | | | | |
| <i>Rynchops niger</i> Linnaeus, 1758 | talha-mar | Média | Parcialmente | - | - | PIS | Ambientes aquáticos | - | - | - | - |
| Recurvirostridae | | | | | | | | | | | |
| <i>Himantopus melanurus</i> Vieillot, 1817 | pernilongo-de-costas-brancas | Média | - | - | - | INS | Ambientes aquáticos | - | - | - | - |
| Scolopacidae | | | | | | | | | | | |
| <i>Actitis macularius</i> (Linnaeus, 1766) | maçarico-pintado | Baixa | Migratória | - | - | ONI | Ambientes aquáticos | - | - | - | LC |
| <i>Calidris melanotos</i> (Vieillot, 1819) | maçarico-de-colete | Baixa | Migratória | - | - | ONI | Ambientes aquáticos | - | - | - | - |
| <i>Phalaropus tricolor</i> (Vieillot, 1819) | pisa-n'água | Média | Migratória | - | - | ONI | Ambientes aquáticos | - | - | - | DD |
| <i>Tringa flavipes</i> (Gmelin, 1789) | maçarico-de-perna-amarela | SI | Migratória | - | - | MAL | Ambientes aquáticos | - | - | - | - |
| <i>Tringa melanoleuca</i> (Gmelin, 1789) | maçarico-grande-de-perna-amarela | Média | Migratória | - | - | PIS | Ambientes aquáticos | - | - | - | - |
| <i>Tringa solitaria</i> Wilson, 1813 | maçarico-solitário | SI | Migratória | - | - | ONI | Ambientes aquáticos | - | - | - | - |
| Ciconiiformes | | | | | | | | | | | |
| Ciconiidae | | | | | | | | | | | |
| <i>Mycteria americana</i> Linnaeus, 1758 | cabeça-seca | Baixa | - | - | - | PIS | Ambientes aquáticos | - | - | - | - |
| Columbiformes | | | | | | | | | | | |
| Columbidae | | | | | | | | | | | |
| <i>Claravis pretiosa</i> (Ferrari-Perez, 1886) | pararu-azul | Baixa | - | - | - | GRA | Ambientes florestais | - | - | - | - |
| <i>Columba livia</i> Gmelin, 1789 | pombo-doméstico | Baixa | - | - | - | ONI | Ambientes florestais e abertos | - | - | - | - |
| <i>Columbina picui</i> (Temminck, 1813) | rolinha-picuí | Baixa | - | - | - | GRA | Ambientes abertos | - | - | - | - |
| <i>Columbina squammata</i> (Lesson, 1831) | rolinha-fogo-apagou | Baixa | - | - | - | GRA | Ambientes abertos | - | - | - | - |
| <i>Columbina talpacoti</i> (Temminck, 1811) | rolinha-roxa | Baixa | - | - | - | GRA | Ambientes florestais e abertos | - | - | - | - |
| <i>Geotrygon montana</i> (Linnaeus, 1758) | pariri | Média | - | - | - | GRA | Ambientes florestais | - | - | - | - |
| <i>Leptotila rufaxilla</i> (Richard & Bernard, 1792) | juriti-de-testa-branca | Média | - | - | - | GRA | Ambientes florestais | - | - | - | - |
| <i>Leptotila verreauxi</i> Bonaparte, 1855 | juriti-pupu | Baixa | - | - | - | GRA | Ambientes florestais | - | - | - | - |
| <i>Patagioenas cayennensis</i> (Bonnaterre, 1792) | pomba-galega | Média | - | - | - | GRA | Ambientes florestais e abertos | - | - | - | - |
| <i>Patagioenas picazuro</i> (Temminck, 1813) | pomba-asa-branca | Média | - | - | - | GRA | Ambientes florestais e abertos | - | - | - | - |
| <i>Patagioenas</i> sp. | - | - | - | - | - | - | - | - | - | - | - |
| <i>Zenaida auriculata</i> (Des Murs, 1847) | avoante | Baixa | INDEFINIDO | - | - | GRA | Ambientes abertos | - | - | - | - |
| Coraciiformes | | | | | | | | | | | |
| Alcedinidae | | | | | | | | | | | |
| <i>Chloroceryle amazona</i> (Latham, 1790) | martim-pescador-verde | Baixa | - | - | - | PIS | Ambientes aquáticos | - | - | - | - |
| <i>Chloroceryle americana</i> (Gmelin, 1788) | martim-pescador-pequeno | Baixa | - | - | - | PIS | Ambientes aquáticos | - | - | - | - |
| <i>Megaceryle torquata</i> (Linnaeus, 1766) | martim-pescador-grande | Baixa | - | - | - | PIS | Ambientes aquáticos | - | - | - | - |
| Momotidae | | | | | | | | | | | |
| <i>Baryphthengus ruficapillus</i> (Vieillot, 1818) | juvuva | Média | - | Mata Atlântica | - | INS | Ambientes florestais | - | - | - | - |
| Cuculiformes | | | | | | | | | | | |

| Ordem/Família/Espécie | Nome popular | Sensibilidade | Migratória | Endemismo | Exótica e/ou invasora | Guilda | Habitat | CITES | IUCN | BRASIL | PARANÁ |
|--|------------------------|---------------|------------|----------------|-----------------------|--------|--------------------------------------|-------|------|--------|--------|
| Cuculidae | | | | | | | | | | | |
| <i>Coccyzus melacoryphus</i> Vieillot, 1817 | papa-lagarta-acanelado | Baixa | Migratória | - | - | INS | Ambientes florestais | - | - | - | - |
| <i>Crotophaga ani</i> Linnaeus, 1758 | anu-preto | Baixa | - | - | - | ONI | Ambientes abertos | - | - | - | - |
| <i>Crotophaga major</i> Gmelin, 1788 | anu-coroca | Média | - | - | - | ONI | Ambientes florestais | - | - | - | - |
| <i>Dromococcyx pavoninus</i> Pelzeln, 1870 | peixe-frito-pavonino | Alta | - | - | - | ONI | Ambientes florestais | - | - | - | - |
| <i>Dromococcyx phasianellus</i> (Spix, 1824) | peixe-frito | Alta | - | - | - | INS | Ambientes florestais | - | - | - | NT |
| <i>Guira guira</i> (Gmelin, 1788) | anu-branco | Baixa | - | - | - | ONI | Ambientes abertos | - | - | - | - |
| <i>Piaya cayana</i> (Linnaeus, 1766) | alma-de-gato | Baixa | - | - | - | INS | Ambientes florestais | - | - | - | - |
| <i>Tapera naevia</i> (Linnaeus, 1766) | saci | Baixa | - | - | - | INS | Ambientes abertos | - | - | - | - |
| Falconiformes | | | | | | | | | | | |
| Falconidae | | | | | | | | | | | |
| <i>Caracara plancus</i> (Miller, 1777) | carcará | Baixa | - | - | - | CAR | Ambientes abertos | II | - | - | - |
| <i>Falco femoralis</i> Temminck, 1822 | falcão-de-coleira | Baixa | - | - | - | CAR | Ambientes abertos | II | - | - | - |
| <i>Falco ruficularis</i> Daudin, 1800 | cauré | Média | - | - | - | CAR | Ambientes florestais | II | - | - | - |
| <i>Falco sparverius</i> Linnaeus, 1758 | quiriquiri | Baixa | - | - | - | CAR | Ambientes florestais e abertos | II | - | - | - |
| <i>Herpetotheres cachinnans</i> (Linnaeus, 1758) | acauã | Baixa | - | - | - | CAR | Ambientes florestais | II | - | - | - |
| <i>Micrastur ruficollis</i> (Vieillot, 1817) | falcão-caburé | Média | - | - | - | CAR | Ambientes florestais | II | - | - | - |
| <i>Micrastur semitorquatus</i> (Vieillot, 1817) | falcão-relógio | Média | - | - | - | CAR | Ambientes florestais | II | - | - | - |
| <i>Milvago chimachima</i> (Vieillot, 1816) | carrapateiro | Baixa | - | - | - | CAR | Ambientes abertos | II | - | - | - |
| <i>Milvago chimango</i> (Vieillot, 1816) | chimango | Baixa | - | - | - | CAR | Ambientes florestais e áreas abertas | II | - | - | - |
| Galbuliformes | | | | | | | | | | | |
| Bucconidae | | | | | | | | | | | |
| <i>Nonnula rubecula</i> (Spix, 1824) | macuru | Média | - | - | - | INS | Ambientes florestais e abertos | - | - | - | - |
| <i>Nystalus chacuru</i> (Vieillot, 1816) | joão-bobo | Média | - | - | - | INS | Ambientes florestais e abertos | - | - | - | - |
| Galliformes | | | | | | | | | | | |
| Cracidae | | | | | | | | | | | |
| <i>Penelope obscura</i> Temminck, 1815 | jacuguaçu | Média | - | - | - | FRU | Ambientes florestais | - | - | - | - |
| <i>Penelope supercilialis</i> Temminck, 1815 | jacupemba | Média | - | - | - | FRU | Ambientes florestais | - | - | - | - |
| Odontophoridae | | | | | | | | | | | |
| <i>Odontophorus capueira</i> (Spix, 1825) | uru | Alta | - | Mata Atlântica | - | FRU | Ambientes florestais | - | - | - | - |
| Gruiformes | | | | | | | | | | | |
| Aramidae | | | | | | | | | | | |
| <i>Aramus guarauna</i> (Linnaeus, 1766) | carão | Média | - | - | - | MAL | Ambientes aquáticos | - | - | - | - |
| Rallidae | | | | | | | | | | | |
| <i>Aramides saracura</i> (Spix, 1825) | saracura-do-mato | Média | - | Mata Atlântica | - | ONI | Ambientes florestais e aquáticos | - | - | - | - |
| <i>Gallinula galeata</i> (Lichtenstein, 1818) | galinha-d'água | Baixa | - | - | - | ONI | Ambientes aquáticos | - | - | - | - |
| <i>Laterallus melanophaius</i> (Vieillot, 1819) | sanã-parda | Baixa | - | - | - | INS | Ambientes aquáticos | - | - | - | - |

| Ordem/Família/Espécie | Nome popular | Sensibilidade | Migratória | Endemismo | Exótica e/ou invasora | Guildd | Habitat | CITES | IUCN | BRASIL | PARANÁ |
|---|----------------------------|---------------|---------------|----------------|-----------------------|--------|--------------------------------|-------|------|--------|--------|
| <i>Mustelirallus albicollis</i> (Vieillot, 1819) | sanã-carijó | Média | - | - | - | ONI | Ambientes aquáticos | - | - | - | - |
| <i>Pardirallus nigricans</i> (Vieillot, 1819) | saracura-sanã | Média | - | - | - | ONI | Ambientes aquáticos | - | - | - | - |
| <i>Porphyrio martinica</i> (Linnaeus, 1766) | frango-d'água-azul | Baixa | Parcialmente | - | - | ONI | Ambientes aquáticos | - | - | - | - |
| Nyctibiiformes | | | | | | | | | | | |
| Nyctibiidae | | | | | | | | | | | |
| <i>Nyctibius griseus</i> (Gmelin, 1789) | urutau | Baixa | - | - | - | INS | Ambientes florestais | - | - | - | - |
| Passeriformes | | | | | | | | | | | |
| Cardinalidae | | | | | | | | | | | |
| <i>Cyanoloxia brissonii</i> (Lichtenstein, 1823) | azulão | Média | - | - | - | ONI | Ambientes florestais e abertos | - | - | - | - |
| <i>Cyanoloxia glaucocaerulea</i> (d'Orbigny & Lafresnaye, 1837) | azulinho | Baixa | Parcialmente* | - | - | GRA | Ambientes florestais e abertos | - | - | - | - |
| <i>Habia rubica</i> (Vieillot, 1817) | tiê-de-bando | Alta | - | - | - | ONI | Ambientes florestais | - | - | - | - |
| Conopophagidae | | | | | | | | | | | |
| <i>Conopophaga lineata</i> (Wied, 1831) | chupa-dente | Média | - | Mata Atlântica | - | INS | Ambientes florestais | - | - | - | - |
| Corvidae | | | | | | | | | | | |
| <i>Cyanocorax chrysops</i> (Vieillot, 1818) | gralha-picaça | Baixa | - | - | - | ONI | Ambientes florestais | - | - | - | - |
| Dendrocolaptidae | | | | | | | | | | | |
| <i>Dendrocincla turdina</i> (Lichtenstein, 1820) | arapaçu-liso | Média | - | Mata Atlântica | - | INS | Ambientes florestais | - | - | - | - |
| <i>Dendrocolaptes platyrostris</i> Spix, 1825 | arapaçu-grande | Média | - | - | - | INS | Ambientes florestais | - | - | - | - |
| <i>Sittasomus griseicapillus</i> (Vieillot, 1818) | arapaçu-verde | Média | - | - | - | INS | Ambientes florestais | - | - | - | - |
| <i>Xiphorhynchus fuscus</i> (Vieillot, 1818) | arapaçu-rajado | Alta | - | Mata Atlântica | - | INS | Ambientes florestais | - | - | - | - |
| Estrildidae | | | | | | | | | | | |
| <i>Estrilda astrild</i> (Linnaeus, 1758) | bico-de-lacre | Baixa | - | - | sim | GRA | Ambientes abertos | - | - | - | - |
| Formicariidae | | | | | | | | | | | |
| <i>Chamaeza campanisona</i> (Lichtenstein, 1823) | tovaca-campainha | Alta | - | - | - | INS | Ambientes florestais | - | - | - | - |
| Fringillidae | | | | | | | | | | | |
| <i>Chlorophonia cyanea</i> (Thunberg, 1822) | gaturamo-bandeira | Alta | - | - | - | FRU | Ambientes florestais | - | - | - | - |
| <i>Euphonia chlorotica</i> (Linnaeus, 1766) | fim-fim | Baixa | - | - | - | FRU | Ambientes florestais | - | - | - | - |
| <i>Euphonia pectoralis</i> (Latham, 1801) | ferro-velho | Média | - | Mata Atlântica | - | ONI | Ambientes florestais | - | - | - | - |
| <i>Euphonia violacea</i> (Linnaeus, 1758) | gaturamo-verdadeiro | Baixa | - | - | - | FRU | Ambientes florestais | - | - | - | - |
| <i>Spinus magellanicus</i> (Vieillot, 1805) | pintassilgo | Baixa | - | - | - | FRU | Ambientes florestais e abertos | - | - | - | - |
| Furnariidae | | | | | | | | | | | |
| <i>Anabacerthia lichtensteini</i> (Cabanis & Heine, 1859) | limpa-folha-ocráceo | Alta | - | Mata Atlântica | - | INS | Ambientes florestais | - | - | - | - |
| <i>Automolus leucophthalmus</i> (Wied, 1821) | barraqueiro-de-olho-branco | Média | - | Mata Atlântica | - | INS | Ambientes florestais | - | - | - | - |
| <i>Certhiaxis cinnamomeus</i> (Gmelin, 1788) | curutié | Média | - | - | - | INS | Ambientes aquáticos | - | - | - | - |
| <i>Cranioleuca obsoleta</i> (Reichenbach, 1853) | arredio-oliváceo | Média | - | Mata Atlântica | - | INS | Ambientes florestais | - | - | - | - |
| <i>Cranioleuca vulpina</i> (Pelzeln, 1856) | arredio-do-rio | Média | - | - | - | INS | Ambientes florestais e abertos | - | - | - | NT |

| Ordem/Família/Espécie | Nome popular | Sensibilidade | Migratória | Endemismo | Exótica e/ou invasora | Guildd | Habitat | CITES | IUCN | BRASIL | PARANÁ |
|---|---------------------------|---------------|---------------|----------------|-----------------------|--------|--------------------------------|-------|------|--------|--------|
| <i>Dendroma rufa</i> (Vieillot, 1818) | limpa-folha-de-testa-baia | Média | - | - | - | INS | Ambientes florestais | - | - | - | - |
| <i>Furnarius rufus</i> (Gmelin, 1788) | joão-de-barro | Baixa | - | - | - | INS | Ambientes abertos | - | - | - | - |
| <i>Lochmias nematura</i> (Lichtenstein, 1823) | joão-porca | Média | - | - | - | INS | Ambientes florestais | - | - | - | - |
| <i>Philydor atricapillus</i> (Wied, 1821) | limpa-folha-coroadado | Alta | - | Mata Atlântica | - | INS | Ambientes florestais | - | - | - | - |
| <i>Synallaxis albescens</i> Temminck, 1823 | uí-pi | Baixa | - | - | - | INS | Ambientes abertos | - | - | - | - |
| <i>Synallaxis cinerascens</i> Temminck, 1823 | pi-puí | Média | - | - | - | INS | Ambientes florestais | - | - | - | - |
| <i>Synallaxis frontalis</i> Pelzeln, 1859 | petrim | Baixa | - | - | - | INS | Ambientes florestais | - | - | - | - |
| <i>Synallaxis ruficapilla</i> Vieillot, 1819 | pichororé | Média | - | Mata Atlântica | - | INS | Ambientes florestais | - | - | - | - |
| <i>Synallaxis spixi</i> Sclater, 1856 | joão-teneném | Baixa | - | - | - | INS | Ambientes abertos | - | - | - | - |
| <i>Syndactyla rufosuperciliata</i> (Lafresnaye, 1832) | trepador-quiete | Média | - | - | - | INS | Ambientes florestais | - | - | - | - |
| Grallariidae | | | | | | | | | | | |
| <i>Grallaria varia</i> (Boddaert, 1783) | tovacuçu | Alta | - | - | - | INS | Ambientes florestais | - | - | - | - |
| Hirundinidae | | | | | | | | | | | |
| <i>Progne chalybea</i> (Gmelin, 1789) | andorinha-grande | Baixa | Parcialmente* | - | - | INS | Ambientes abertos | - | - | - | - |
| <i>Progne tapera</i> (Linnaeus, 1766) | andorinha-do-campo | Baixa | Parcialmente | - | - | INS | Ambientes abertos e aquáticos | - | - | - | - |
| <i>Pygochelidon cyanoleuca</i> (Vieillot, 1817) | andorinha-pequena-de-casa | Baixa | - | - | - | INS | Ambientes abertos | - | - | - | - |
| <i>Riparia riparia</i> (Linnaeus, 1758) | andorinha-do-barranco | Baixa | Migratória | - | - | INS | Ambientes abertos | - | - | - | - |
| <i>Stelgidopteryx ruficollis</i> (Vieillot, 1817) | andorinha-serradora | Baixa | Parcialmente | - | - | INS | Ambientes abertos e aquáticos | - | - | - | - |
| <i>Tachycineta albiventer</i> (Boddaert, 1783) | andorinha-do-rio | Baixa | - | - | - | INS | Ambientes aquáticos | - | - | - | - |
| <i>Tachycineta leucorrhoa</i> (Vieillot, 1817) | andorinha-de-sobre-branco | Baixa | - | - | - | INS | Ambientes abertos | - | - | - | - |
| Icteridae | | | | | | | | | | | |
| <i>Agelaioides badius</i> (Vieillot, 1819) | asa-de-telha | Baixa | - | - | - | FRU | Ambientes florestais e abertos | - | - | - | LC |
| <i>Cacicus chrysopterus</i> (Vigors, 1825) | tecelão | Média | - | - | - | ONI | Ambientes florestais | - | - | - | - |
| <i>Cacicus haemorrhous</i> (Linnaeus, 1766) | guaxe | Baixa | - | - | - | ONI | Ambientes florestais | - | - | - | - |
| <i>Cacicus solitarius</i> (Vieillot, 1816) | iraúna-de-bico-branco | Média | - | - | - | FRU | Ambientes florestais | - | - | - | - |
| <i>Gnorimopsar chopi</i> (Vieillot, 1819) | pássaro-preto | Baixa | - | - | - | ONI | Ambientes florestais e abertos | - | - | - | - |
| <i>Icterus pyrrhopterus</i> (Vieillot, 1819) | encontro | Média | - | - | - | ONI | Ambientes florestais e abertos | - | - | - | - |
| <i>Leistes superciliaris</i> (Bonaparte, 1850) | polícia-inglesa-do-sul | Baixa | - | - | - | ONI | Ambientes abertos e aquáticos | - | - | - | - |
| <i>Molothrus bonariensis</i> (Gmelin, 1789) | chupim | Baixa | - | - | - | ONI | Ambientes florestais e abertos | - | - | - | - |
| <i>Molothrus oryzivorus</i> (Gmelin, 1788) | iraúna-grande | Baixa | - | - | - | ONI | Ambientes abertos | - | - | - | - |
| <i>Molothrus rufoaxillaris</i> Cassin, 1866 | chupim-azeviche | Baixa | - | - | - | ONI | Ambientes abertos | - | - | - | - |
| <i>Psarocolius decumanus</i> (Pallas, 1769) | japu | Média | - | - | - | FRU | Ambientes florestais | - | - | - | DD |
| Mimidae | | | | | | | | | | | |
| <i>Mimus saturninus</i> (Lichtenstein, 1823) | sabiá-do-campo | Baixa | - | - | - | ONI | Ambientes abertos | - | - | - | - |
| <i>Mimus triurus</i> (Vieillot, 1818) | calhandra-de-três-rabos | Baixa | Migratória | - | - | INS | Ambientes abertos | - | - | - | - |

| Ordem/Família/Espécie | Nome popular | Sensibilidade | Migratória | Endemismo | Exótica e/ou invasora | Guildd | Habitat | CITES | IUCN | BRASIL | PARANÁ |
|--|----------------------------|---------------|------------|----------------|-----------------------|---------|--------------------------------|-------|------|--------|--------|
| Motacillidae | | | | | | | | | | | |
| <i>Anthus chii</i> Vieillot, 1818 | caminheiro-zumbidor | Baixa | - | - | - | ONI | Ambientes abertos | - | - | - | - |
| Parulidae | | | | | | | | | | | |
| <i>Basileuterus culicivorus</i> (Deppe, 1830) | pula-pula | Média | - | - | - | INS | Ambientes florestais | - | - | - | - |
| <i>Geothlypis aequinoctialis</i> (Gmelin, 1789) | pia-cobra | Baixa | - | - | - | INS | Ambientes abertos e aquáticos | - | - | - | - |
| <i>Myiothlypis leucoblephara</i> (Vieillot, 1817) | pula-pula-assobiador | Média | - | Mata Atlântica | - | INS | Ambientes florestais e abertos | - | - | - | - |
| <i>Myiothlypis rivularis</i> (Wied, 1821) | pula-pula-ribeirinho | Média | - | - | - | INS | Ambientes florestais | - | - | - | - |
| <i>Setophaga pitayumi</i> (Vieillot, 1817) | mariquita | Média | - | - | - | INS | Ambientes florestais | - | - | - | - |
| Passerellidae | | | | | | | | | | | |
| <i>Ammodramus humeralis</i> (Bosc, 1792) | tico-tico-do-campo | Baixa | - | - | - | ONI | Ambientes abertos | - | - | - | - |
| <i>Arremon flavirostris</i> Swainson, 1838 | tico-tico-de-bico-amarelo | Média | - | - | - | FRU/GRA | Ambientes florestais | - | - | - | - |
| <i>Zonotrichia capensis</i> (Statius Muller, 1776) | tico-tico | Baixa | - | - | - | ONI | Ambientes abertos | - | - | - | - |
| Passeridae | | | | | | | | | | | |
| <i>Passer domesticus</i> (Linnaeus, 1758) | pardal | Baixa | - | - | sim | ONI | Ambientes florestais e abertos | - | - | - | - |
| Pipridae | | | | | | | | | | | |
| <i>Chiroxiphia caudata</i> (Shaw & Nodder, 1793) | tangará | Baixa | - | Mata Atlântica | - | INS/FRU | Ambientes florestais | - | - | - | - |
| <i>Manacus manacus</i> (Linnaeus, 1766) | rendeira | Baixa | - | - | - | FRU | Ambientes florestais | - | - | - | - |
| <i>Pipra fasciicauda</i> Hellmayr, 1906 | uirapuru-laranja | Média | - | - | - | FRU | Ambientes florestais | - | - | - | - |
| Pipritidae | | | | | | | | | | | |
| <i>Piprites chloris</i> (Temminck, 1822) | papinho-amarelo | Alta | - | - | - | INS | Ambientes florestais | - | - | - | VU |
| Platyrinchidae | | | | | | | | | | | |
| <i>Platyrinchus mystaceus</i> Vieillot, 1818 | patinho | Média | - | - | - | INS | Ambientes florestais | - | - | - | - |
| Rhinocryptidae | | | | | | | | | | | |
| <i>Eleoscytalopus indigoticus</i> (Wied, 1831) | macuquinho | Média | - | Mata Atlântica | - | INS | Ambientes florestais | - | NT | - | - |
| <i>Scytalopus speluncae</i> (Ménétries, 1835) | tapaculo-preto | Média | - | Mata Atlântica | - | INS | Ambientes florestais | - | - | - | - |
| Rhynchocyclidae | | | | | | | | | | | |
| <i>Corythopsis delalandi</i> (Lesson, 1830) | estalador | Média | - | - | - | INS | Ambientes florestais | - | - | - | - |
| <i>Hemitriccus diops</i> (Temminck, 1822) | olho-falso | Média | - | Mata Atlântica | - | INS | Ambientes florestais | - | - | - | - |
| <i>Hemitriccus margaritaceiventer</i> (d'Orbigny & Lafresnaye, 1837) | sebinho-de-olho-de-ouro | Média | - | - | - | INS | Ambientes florestais | - | - | - | - |
| <i>Leptopogon amaurocephalus</i> Tschudi, 1846 | cabeçudo | Média | - | - | - | INS | Ambientes florestais | - | - | - | - |
| <i>Mionectes rufiventris</i> Cabanis, 1846 | abre-asa-de-cabeça-cinza | Média | - | Mata Atlântica | - | INS | Ambientes florestais | - | - | - | - |
| <i>Myiornis auricularis</i> (Vieillot, 1818) | miudinho | Média | - | Mata Atlântica | - | INS | Ambientes florestais | - | - | - | - |
| <i>Phylloscartes eximius</i> (Temminck, 1822) | barbudinho | Alta | - | Mata Atlântica | - | INS | Ambientes florestais | - | NT | - | NT |
| <i>Phylloscartes ventralis</i> (Temminck, 1824) | borboletinha-do-mato | Média | - | - | - | INS | Ambientes florestais | - | - | - | - |
| <i>Poecilatriccus plumbeiceps</i> (Lafresnaye, 1846) | tororó | Média | - | - | - | INS | Ambientes florestais | - | - | - | - |
| <i>Todirostrum cinereum</i> (Linnaeus, 1766) | ferreirinho-relógio | Baixa | - | - | - | INS | Ambientes florestais | - | - | - | - |
| <i>Tolmomyias sulphurescens</i> (Spix, 1825) | bico-chato-de-orelha-preta | Média | - | - | - | INS | Ambientes florestais | - | - | - | - |

| Ordem/Família/Espécie | Nome popular | Sensibilidade | Migratória | Endemismo | Exótica e/ou invasora | Guildd | Habitat | CITES | IUCN | BRASIL | PARANÁ |
|---|----------------------------|---------------|------------|----------------|-----------------------|--------|--------------------------------|-------|------|--------|--------|
| Thamnophilidae | | | | | | | | | | | |
| <i>Biatas nigropectus</i> (Lafresnaye, 1850) | papo-branco | Alta | - | Mata Atlântica | - | INS | Ambientes florestais | - | VU | - | NT |
| <i>Drymophila malura</i> (Temminck, 1825) | choquinha-carijó | Média | - | Mata Atlântica | - | INS | Ambientes florestais | - | - | - | - |
| <i>Dysithamnus mentalis</i> (Temminck, 1823) | choquinha-lisa | Média | - | - | - | INS | Ambientes florestais | - | - | - | - |
| <i>Herpsilochmus rufimarginatus</i> (Temminck, 1822) | chorozinho-de-asa-vermelha | Média | - | - | - | INS | Ambientes florestais | - | - | - | - |
| <i>Hypoedaleus guttatus</i> (Vieillot, 1816) | chocão-carijó | Alta | - | Mata Atlântica | - | ONI | Ambientes florestais | - | - | - | - |
| <i>Mackenziaena leachii</i> (Such, 1825) | borralhara-assobiadora | Média | - | Mata Atlântica | - | INS | Ambientes florestais | - | - | - | - |
| <i>Mackenziaena severa</i> (Lichtenstein, 1823) | borralhara | Média | - | Mata Atlântica | - | INS | Ambientes florestais | - | - | - | - |
| <i>Myrmoderus squamosus</i> (Pelzeln, 1868) | papa-formiga-de-grota | Média | - | Mata Atlântica | - | INS | Ambientes florestais | - | - | - | NT |
| <i>Pyriglena leucoptera</i> (Vieillot, 1818) | papa-taoca-do-sul | Média | - | Mata Atlântica | - | INS | Ambientes florestais | - | - | - | - |
| <i>Terenura maculata</i> (Wied, 1831) | zidedê | Média | - | Mata Atlântica | - | INS | Ambientes florestais | - | - | - | - |
| <i>Thamnophilus caeruleus</i> Vieillot, 1816 | choca-da-mata | Baixa | - | - | - | INS | Ambientes florestais | - | - | - | - |
| <i>Thamnophilus doliatus</i> (Linnaeus, 1764) | choca-barrada | Baixa | - | - | - | INS | Ambientes florestais e abertos | - | - | - | - |
| <i>Thamnophilus palliatus</i> (Lichtenstein, 1823) | choca-listrada | Baixa | - | - | - | INS | Ambientes florestais | - | - | - | - |
| <i>Thamnophilus ruficapillus</i> Vieillot, 1816 | choca-de-chapéu-vermelho | Baixa | - | - | - | INS | Ambientes abertos | - | - | - | - |
| Thraupidae | | | | | | | | | | | |
| <i>Asemospiza fuliginosa</i> (Wied, 1830) | cigarra-preta | Baixa | - | Mata Atlântica | - | GRA | Ambientes florestais | - | - | - | - |
| <i>Cissopis leverianus</i> (Gmelin, 1788) | tietinga | Baixa | - | - | - | ONI | Ambientes florestais | - | - | - | - |
| <i>Coereba flaveola</i> (Linnaeus, 1758) | cambacica | Baixa | - | - | - | NEC | Ambientes florestais e abertos | - | - | - | - |
| <i>Conirostrum speciosum</i> (Temminck, 1824) | figuinha-de-rabo-castanho | Baixa | - | - | - | INS | Ambientes florestais | - | - | - | - |
| <i>Coryphospingus cucullatus</i> (Statius Muller, 1776) | tico-tico-rei | Baixa | - | - | - | ONI | Ambientes florestais e abertos | - | - | - | - |
| <i>Dacnis cayana</i> (Linnaeus, 1766) | saí-azul | Baixa | - | - | - | ONI | Ambientes florestais | - | - | - | - |
| <i>Dacnis lineata</i> (Gmelin, 1789) | saí-de-máscara-preta | Alta | - | - | - | FRU | Ambientes florestais | - | - | - | - |
| <i>Emberizoides herbicola</i> (Vieillot, 1817) | canário-do-campo | Baixa | - | - | - | ONI | Ambientes abertos | - | - | - | - |
| <i>Embernagra platensis</i> (Gmelin, 1789) | sabiá-do-banhado | Baixa | - | - | - | GRA | Ambientes abertos e aquáticos | - | - | - | - |
| <i>Haplospiza unicolor</i> Cabanis, 1851 | cigarra-bambu | Média | - | Mata Atlântica | - | GRA | Ambientes florestais | - | - | - | - |
| <i>Hemithraupis guira</i> (Linnaeus, 1766) | saíra-de-papo-preto | Baixa | - | - | - | FRU | Ambientes florestais | - | - | - | - |
| <i>Hemithraupis ruficapilla</i> (Vieillot, 1818) | saíra-ferrugem | Baixa | - | Mata Atlântica | - | INS | Ambientes florestais | - | - | - | - |
| <i>Nemosia pileata</i> (Boddaert, 1783) | saíra-de-chapéu-preto | Baixa | - | - | - | FRU | Ambientes florestais | - | - | - | - |
| <i>Paroaria capitata</i> (d'Orbigny & Lafresnaye, 1837) | cavalaria | Média | - | - | - | ONI | Ambientes florestais | II | - | - | - |
| <i>Paroaria coronata</i> (Miller, 1776) | cardeal | Baixa | - | - | - | GRA | Ambientes abertos | II | - | - | - |
| <i>Paroaria dominicana</i> (Linnaeus, 1758) | cardeal-do-nordeste | Média | - | - | - | ONI | Ambientes florestais e abertos | - | - | - | - |
| <i>Pipraeidea melanonota</i> (Vieillot, 1819) | saíra-viúva | Baixa | - | - | - | ONI | Ambientes florestais | - | - | - | - |
| <i>Saltator fuliginosus</i> (Daudin, 1800) | bico-de-pimenta | Média | - | - | - | GRA | Ambientes florestais | - | - | - | - |
| <i>Saltator similis</i> d'Orbigny & Lafresnaye, 1837 | trinca-ferro | Baixa | - | - | - | ONI | Ambientes florestais | - | - | - | - |

| Ordem/Família/Espécie | Nome popular | Sensibilidade | Migratória | Endemismo | Exótica e/ou invasora | Guildd | Habitat | CITES | IUCN | BRASIL | PARANÁ |
|--|---------------------------------|---------------|---------------|----------------|-----------------------|---------|--------------------------------|-------|------|--------|--------|
| <i>Sicalis flaveola</i> (Linnaeus, 1766) | canário-da-terra | Baixa | - | - | - | ONI | Ambientes abertos | - | - | - | - |
| <i>Sicalis luteola</i> (Sparrman, 1789) | tipio | Baixa | - | - | - | GRA | Ambientes abertos | - | - | - | - |
| <i>Sporophila caerulea</i> (Vieillot, 1823) | coleirinho | Baixa | Parcialmente* | - | - | GRA | Ambientes abertos | - | - | - | - |
| <i>Stilpnia cayana</i> (Linnaeus, 1766) | saíra-amarela | Média | - | - | - | FRU | Ambientes abertos | - | - | - | - |
| <i>Tachyphonus coronatus</i> (Vieillot, 1822) | tiê-preto | Baixa | - | Mata Atlântica | - | ONI | Ambientes florestais | - | - | - | - |
| <i>Tersina viridis</i> (Illiger, 1811) | saí-andorinha | Baixa | Parcialmente* | - | - | ONI | Ambientes florestais | - | - | - | - |
| <i>Thlypopsis pyrrocoma</i> Burns, Unitt & Mason, 2016 | cabecinha-castanha | Média | - | Mata Atlântica | - | FRU | Ambientes florestais | - | - | - | - |
| <i>Thraupis cyanoptera</i> (Vieillot, 1817) | sanhaço-de-encontro-azul | Média | - | Mata Atlântica | - | ONI | Ambientes florestais | - | NT | - | - |
| <i>Thraupis palmarum</i> (Wied, 1821) | sanhaço-do-coqueiro | Baixa | - | - | - | ONI | Ambientes florestais | - | - | - | - |
| <i>Thraupis sayaca</i> (Linnaeus, 1766) | sanhaço-cinzento | Baixa | - | - | - | ONI | Ambientes florestais e abertos | - | - | - | - |
| <i>Trichothraupis melanops</i> (Vieillot, 1818) | tiê-de-topete | Média | - | - | - | ONI | Ambientes florestais | - | - | - | - |
| <i>Volatinia jacarina</i> (Linnaeus, 1766) | tiziu | Baixa | - | - | - | ONI | Ambientes abertos | - | - | - | - |
| Tityridae | | | | | | | | | | | |
| <i>Pachyrampus castaneus</i> (Jardine & Selby, 1827) | caneleiro | Média | - | - | - | INS | Ambientes florestais | - | - | - | - |
| <i>Pachyrampus polychopterus</i> (Vieillot, 1818) | caneleiro-preto | Baixa | Parcialmente | - | - | INS | Ambientes florestais | - | - | - | - |
| <i>Pachyrampus validus</i> (Lichtenstein, 1823) | caneleiro-de-chapéu-preto | Média | Parcialmente* | - | - | INS | Ambientes florestais | - | - | - | - |
| <i>Schiffornis virescens</i> (Lafresnaye, 1838) | flautim | Média | - | Mata Atlântica | - | INS/FRU | Ambientes florestais | - | - | - | - |
| <i>Tityra cayana</i> (Linnaeus, 1766) | anambé-branco-de-rabo-preto | Média | - | - | - | ONI | Ambientes florestais | - | - | - | - |
| <i>Tityra inquisitor</i> (Lichtenstein, 1823) | anambé-branco-de-bochecha-parda | Média | - | - | - | ONI | Ambientes florestais | - | - | - | - |
| Troglodytidae | | | | | | | | | | | |
| <i>Troglodytes musculus</i> Naumann, 1823 | corruíra | Baixa | - | - | - | INS | Ambientes abertos | - | - | - | - |
| Turdidae | | | | | | | | | | | |
| <i>Turdus albicollis</i> Vieillot, 1818 | sabiá-coleira | Média | - | - | - | ONI | Ambientes florestais | - | - | - | - |
| <i>Turdus amaurochalinus</i> Cabanis, 1850 | sabiá-poca | Baixa | Parcialmente | - | - | ONI | Ambientes florestais | - | - | - | - |
| <i>Turdus flavipes</i> Vieillot, 1818 | sabiá-una | Média | Migratória | - | - | ONI | Ambientes florestais | - | - | - | - |
| <i>Turdus leucomelas</i> Vieillot, 1818 | sabiá-barranco | Baixa | - | - | - | ONI | Ambientes florestais | - | - | - | - |
| <i>Turdus rufiventris</i> Vieillot, 1818 | sabiá-laranjeira | Baixa | - | - | - | ONI | Ambientes florestais | - | - | - | - |
| <i>Turdus subalaris</i> (Seebohm, 1887) | sabiá-ferreiro | Baixa | Parcialmente | Mata Atlântica | - | ONI | Ambientes florestais | - | - | - | - |
| Tyrannidae | | | | | | | | | | | |
| <i>Arundinicola leucocephala</i> (Linnaeus, 1764) | freirinha | Média | - | - | - | INS | Ambientes aquáticos | - | - | - | - |
| <i>Camptostoma obsoletum</i> (Temminck, 1824) | risadinha | Baixa | - | - | - | ONI | Ambientes florestais e abertos | - | - | - | - |
| <i>Capsiempis flaveola</i> (Lichtenstein, 1823) | marianinha-amarela | Baixa | - | - | - | INS | Ambientes florestais | - | - | - | - |
| <i>Cnemotriccus fuscatus</i> (Wied, 1831) | guaracavuçu | Baixa | - | - | - | INS | Ambientes florestais | - | - | - | - |
| <i>Colonia colonus</i> (Vieillot, 1818) | viuvinha | Baixa | - | - | - | INS | Ambientes florestais | - | - | - | - |
| <i>Conopias trivirgatus</i> (Wied, 1831) | bem-te-vi-pequeno | Alta | - | - | - | INS | Ambientes florestais | - | - | - | - |
| <i>Elaenia cf. mesoleuca</i> | - | - | - | - | - | FRU | - | - | - | - | - |

| Ordem/Família/Espécie | Nome popular | Sensibilidade | Migratória | Endemismo | Exótica e/ou invasora | Guildd | Habitat | CITES | IUCN | BRASIL | PARANÁ |
|---|----------------------------------|---------------|---------------|----------------|-----------------------|---------|--------------------------------|-------|------|--------|--------|
| <i>Elaenia flavogaster</i> (Thunberg, 1822) | guaracava-de-barriga-amarela | Baixa | - | - | - | INS | Ambientes florestais e abertos | - | - | - | - |
| <i>Elaenia obscura</i> (d'Orbigny & Lafresnaye, 1837) | tucão | Média | - | - | - | INS | Ambientes florestais | - | - | - | - |
| <i>Elaenia spectabilis</i> Pelzel, 1868 | guaracava-grande | Baixa | Parcialmente | - | - | INS | Ambientes florestais | - | - | - | - |
| <i>Empidonomus varius</i> (Vieillot, 1818) | peitica | Baixa | Parcialmente* | - | - | ONI | Ambientes florestais | - | - | - | - |
| <i>Euscarthmus meloryphus</i> Wied, 1831 | barulhento | Baixa | - | - | - | INS | Ambientes abertos | - | - | - | - |
| <i>Fluvicola nengeta</i> (Linnaeus, 1766) | lavadeira-mascarada | Baixa | - | - | - | INS | Ambientes abertos | - | - | - | - |
| <i>Lathrotriccus euleri</i> (Cabanis, 1868) | enferrujado | Média | Parcialmente | - | - | INS | Ambientes florestais | - | - | - | - |
| <i>Legatus leucophaius</i> (Vieillot, 1818) | bem-te-vi-pirata | Baixa | Parcialmente | - | - | FRU | Ambientes florestais | - | - | - | - |
| <i>Machetornis rixosa</i> (Vieillot, 1819) | suiriri-cavaleiro | Baixa | - | - | - | INS | Ambientes abertos | - | - | - | - |
| <i>Megarynchus pitangua</i> (Linnaeus, 1766) | neinei | Baixa | - | - | - | ONI | Ambientes florestais | - | - | - | - |
| <i>Myiarchus ferox</i> (Gmelin, 1789) | maria-cavaleira | Baixa | - | - | - | INS | Ambientes florestais | - | - | - | - |
| <i>Myiarchus swainsoni</i> Cabanis & Heine, 1859 | irré | Baixa | Parcialmente | - | - | INS | Ambientes florestais | - | - | - | - |
| <i>Myiodynastes maculatus</i> (Statius Muller, 1776) | bem-te-vi-rajado | Baixa | Parcialmente | - | - | ONI | Ambientes florestais | - | - | - | - |
| <i>Myiopagis caniceps</i> (Swainson, 1835) | guaracava-cinzenta | Média | - | - | - | INS | Ambientes florestais | - | - | - | - |
| <i>Myiopagis viridicata</i> (Vieillot, 1817) | guaracava-de-crista-alaranjada | Média | Parcialmente | - | - | INS/FRU | Ambientes florestais | - | - | - | - |
| <i>Myiophobus fasciatus</i> (Statius Muller, 1776) | filipe | Baixa | Parcialmente | - | - | INS | Ambientes abertos | - | - | - | - |
| <i>Myiozetetes similis</i> (Spix, 1825) | bentevizinho-de-penacho-vermelho | Baixa | - | - | - | ONI | Ambientes florestais | - | - | - | - |
| <i>Phyllomyias fasciatus</i> (Thunberg, 1822) | piolhinho | Média | - | - | - | INS | Ambientes florestais | - | - | - | - |
| <i>Pitangus sulphuratus</i> (Linnaeus, 1766) | bem-te-vi | Baixa | Parcialmente* | - | - | ONI | Ambientes florestais e abertos | - | - | - | - |
| <i>Pyrocephalus rubinus</i> (Boddaert, 1783) | príncipe | Baixa | Parcialmente | - | - | INS | Ambientes florestais e abertos | - | - | - | - |
| <i>Satrapa icterophrys</i> (Vieillot, 1818) | suiriri-pequeno | Baixa | - | - | - | INS | Ambientes florestais e abertos | - | - | - | - |
| <i>Serpophaga subcristata</i> (Vieillot, 1817) | alegrinho | Baixa | - | - | - | INS | Ambientes florestais | - | - | - | - |
| <i>Sirystes sibilator</i> (Vieillot, 1818) | gritador | Média | - | - | - | INS | Ambientes florestais | - | - | - | - |
| <i>Tyrannus melancholicus</i> Vieillot, 1819 | suiriri | Baixa | Parcialmente | - | - | ONI | Ambientes florestais e abertos | - | - | - | - |
| <i>Tyrannus savana</i> Daudin, 1802 | tesourinha | Baixa | Parcialmente | - | - | ONI | Ambientes abertos | - | - | - | - |
| <i>Xolmis velatus</i> (Lichtenstein, 1823) | noivinha-branca | Média | - | - | - | INS | Ambientes abertos | - | - | - | - |
| Vireonidae | | | | | | | | | | | |
| <i>Cyclarhis gujanensis</i> (Gmelin, 1789) | pitiguari | Baixa | - | - | - | ONI | Ambientes florestais | - | - | - | - |
| <i>Hylophilus poicilotis</i> Temminck, 1822 | verdinho-coroado | Média | - | Mata Atlântica | - | ONI | Ambientes florestais | - | - | - | - |
| <i>Vireo chivi</i> (Vieillot, 1817) | juruvira | Baixa | Parcialmente | - | - | ONI | Ambientes florestais | - | - | - | - |
| Xenopidae | | | | | | | | | | | |
| <i>Xenops minutus</i> (Sparrman, 1788) | bico-virado-miúdo | Média | - | - | - | INS | Ambientes florestais | - | - | - | - |
| Pelecaniformes | | | | | | | | | | | |
| Ardeidae | | | | | | | | | | | |
| <i>Ardea alba</i> Linnaeus, 1758 | garça-branca-grande | Baixa | - | - | - | ONI | Ambientes aquáticos | - | - | - | - |

| Ordem/Família/Espécie | Nome popular | Sensibilidade | Migratória | Endemismo | Exótica e/ou invasora | Guilddia | Habitat | CITES | IUCN | BRASIL | PARANÁ |
|--|----------------------------|---------------|---------------|----------------|-----------------------|----------|----------------------------------|-----------------|------|--------|--------|
| <i>Ardea cocoi</i> Linnaeus, 1766 | garça-moura | Baixa | - | - | - | ONI | Ambientes aquáticos | - | - | - | - |
| <i>Bubulcus ibis</i> (Linnaeus, 1758) | garça-vaqueira | Baixa | - | - | sim | ONI | Ambientes abertos | - | - | - | - |
| <i>Butorides striata</i> (Linnaeus, 1758) | socozinho | Baixa | - | - | - | ONI | Ambientes aquáticos | - | - | - | - |
| <i>Egretta thula</i> (Molina, 1782) | garça-branca-pequena | Baixa | - | - | - | ONI | Ambientes aquáticos | - | - | - | - |
| <i>Nycticorax nycticorax</i> (Linnaeus, 1758) | socó-dorminhoco | Baixa | - | - | - | ONI | Ambientes aquáticos | - | - | - | - |
| <i>Pilherodius pileatus</i> (Boddaert, 1783) | garça-real | Média | - | - | - | PIS | Ambientes aquáticos | - | - | - | NT |
| <i>Syrigma sibilatrix</i> (Temminck, 1824) | maria-faceira | Média | - | - | - | ONI | Ambientes abertos | - | - | - | - |
| <i>Tigrisoma lineatum</i> (Boddaert, 1783) | socó-boi | Média | - | - | - | PIS | Ambientes aquáticos | - | - | - | - |
| Threskiornithidae | | | | | | | | | | | |
| <i>Mesembrinibis cayennensis</i> (Gmelin, 1789) | coró-coró | Média | - | - | - | ONI | Ambientes florestais e aquáticos | - | - | - | - |
| <i>Phimosus infuscatus</i> (Lichtenstein, 1823) | tapicuru | Média | - | - | - | ONI | Ambientes aquáticos | - | - | - | - |
| <i>Platalea ajaja</i> Linnaeus, 1758 | colhereiro | Média | Parcialmente* | - | - | ONI | Ambientes aquáticos | - | - | - | - |
| <i>Plegadis chihi</i> (Vieillot, 1817) | caraúna | Média | Parcialmente* | - | - | ONI | Ambientes aquáticos | - | - | - | - |
| <i>Theristicus caudatus</i> (Boddaert, 1783) | curicaca | Baixa | - | - | - | ONI | Ambientes abertos | - | - | - | - |
| Piciformes | | | | | | | | | | | |
| Picidae | | | | | | | | | | | |
| <i>Campephilus robustus</i> (Lichtenstein, 1818) | pica-pau-rei | Média | - | Mata Atlântica | - | INS | Ambientes florestais | - | - | - | - |
| <i>Celeus flavescens</i> (Gmelin, 1788) | pica-pau-de-cabeça-amarela | Média | - | - | - | INS | Ambientes florestais | - | - | - | - |
| <i>Colaptes campestris</i> (Vieillot, 1818) | pica-pau-do-campo | Baixa | - | - | - | INS | Ambientes abertos | - | - | - | - |
| <i>Colaptes melanochloros</i> (Gmelin, 1788) | pica-pau-verde-barrado | Baixa | - | - | - | INS | Ambientes florestais | - | - | - | - |
| <i>Dryocopus lineatus</i> (Linnaeus, 1766) | pica-pau-de-banda-branca | Baixa | - | - | - | INS | Ambientes florestais | - | - | - | - |
| <i>Melanerpes candidus</i> (Otto, 1796) | pica-pau-branco | Baixa | - | - | - | INS | Ambientes florestais e abertos | - | - | - | - |
| <i>Melanerpes flavifrons</i> (Vieillot, 1818) | benedito-de-testa-amarela | Média | - | Mata Atlântica | - | INS | Ambientes florestais | - | - | - | - |
| <i>Picumnus temminckii</i> Lafresnaye, 1845 | picapauzinho-de-coleira | Média | - | Mata Atlântica | - | INS | Ambientes florestais | - | - | - | - |
| <i>Veniliornis spilogaster</i> (Wagler, 1827) | pica-pau-verde-carijó | Média | - | Mata Atlântica | - | INS | Ambientes florestais | - | - | - | - |
| Ramphastidae | | | | | | | | | | | |
| <i>Pteroglossus bailloni</i> (Vieillot, 1819) | araçari-banana | Alta | - | Mata Atlântica | - | FRU | Ambientes florestais | III (Argentina) | NT | - | VU |
| <i>Pteroglossus castanotis</i> Gould, 1834 | araçari-castanho | Baixa | - | - | - | FRU | Ambientes florestais | III (Argentina) | - | - | - |
| <i>Ramphastos dicolorus</i> Linnaeus, 1766 | tucano-de-bico-verde | Média | - | Mata Atlântica | - | FRU | Ambientes florestais | III (Argentina) | - | - | - |
| <i>Ramphastos toco</i> Statius Muller, 1776 | tucanuçu | Média | - | - | - | FRU | Ambientes florestais | II | - | - | - |
| <i>Selenidera maculirostris</i> (Lichtenstein, 1823) | araçari-poca | Média | - | Mata Atlântica | - | FRU | Ambientes florestais | III (Argentina) | - | - | - |
| Podicipediformes | | | | | | | | | | | |
| Podicipedidae | | | | | | | | | | | |
| <i>Rollandia rolland</i> (Quoy & Gaimard, 1824) | mergulhão-de-orelha-branca | Média | - | - | - | ONI | Ambientes aquáticos | - | - | - | DD |
| <i>Tachybaptus dominicus</i> (Linnaeus, 1766) | mergulhão-pequeno | Média | - | - | - | ONI | Ambientes aquáticos | - | - | - | - |
| Psittaciformes | | | | | | | | | | | |
| Psittacidae | | | | | | | | | | | |
| <i>Amazona aestiva</i> (Linnaeus, 1758) | papagaio-verdadeiro | Média | - | - | - | FRU | Ambientes florestais e abertos | II | NT | - | - |

| Ordem/Família/Espécie | Nome popular | Sensibilidade | Migratória | Endemismo | Exótica e/ou invasora | Guildd | Habitat | CITES | IUCN | BRASIL | PARANÁ |
|---|-------------------------------|---------------|------------|----------------|-----------------------|--------|--------------------------------|-------|------|--------|--------|
| <i>Brotogeris chiriri</i> (Vieillot, 1818) | periquito-de-encontro-amarelo | Média | - | - | - | FRU | Ambientes florestais | II | - | - | - |
| <i>Brotogeris tirica</i> (Gmelin, 1788) | periquito-rico | Baixa | - | Mata Atlântica | - | GRA | Ambientes florestais | II | - | - | - |
| <i>Myiopsitta monachus</i> (Boddaert, 1783) | caturrita | Baixa | - | - | - | FRU | Ambientes florestais | II | - | - | - |
| <i>Pionopsitta pileata</i> (Scopoli, 1769) | cuiú-cuiú | Média | - | Mata Atlântica | - | FRU | Ambientes florestais | I | - | - | - |
| <i>Pionus maximiliani</i> (Kuhl, 1820) | maitaca-verde | Média | - | - | - | FRU | Ambientes florestais | II | - | - | - |
| <i>Primolius maracana</i> (Vieillot, 1816) | maracanã | Média | - | - | - | GRA | Ambientes florestais | I | NT | - | EN |
| <i>Psittacara leucophthalmus</i> (Statius Muller, 1776) | periquitão | Baixa | - | - | - | FRU | Ambientes florestais | II | - | - | - |
| <i>Pyrrhura frontalis</i> (Vieillot, 1817) | tiriba-de-testa-vermelha | Média | - | Mata Atlântica | - | FRU | Ambientes florestais | II | - | - | - |
| Strigiformes | | | | | | | | | | | |
| Strigidae | | | | | | | | | | | |
| <i>Athene cunicularia</i> (Molina, 1782) | coruja-buraqueira | Média | - | - | - | CAR | Ambientes abertos | II | - | - | - |
| <i>Glaucidium brasilianum</i> (Gmelin, 1788) | caburé | Baixa | - | - | - | CAR | Ambientes florestais e abertos | II | - | - | - |
| <i>Megascops atricapilla</i> (Temminck, 1822) | corujinha-sapo | Média | - | Mata Atlântica | - | CAR | Ambientes florestais | II | - | - | - |
| <i>Megascops choliba</i> (Vieillot, 1817) | corujinha-do-mato | Baixa | - | - | - | CAR | Ambientes florestais | II | - | - | - |
| <i>Megascops sanctaecatarinae</i> (Salvin, 1897) | corujinha-do-sul | Baixa | - | - | - | CAR | Ambientes florestais e abertos | II | - | - | - |
| <i>Strix huhula</i> Daudin, 1800 | coruja-preta | Média | - | - | - | CAR | Ambientes florestais | II | - | - | CR |
| Tytonidae | | | | | | | | | | | |
| <i>Tyto furcata</i> (Temminck, 1827) | suindara | Baixa | - | - | - | CAR | Ambientes abertos | II | - | - | - |
| Suliformes | | | | | | | | | | | |
| Anhingidae | | | | | | | | | | | |
| <i>Anhinga anhinga</i> (Linnaeus, 1766) | biguatinga | Média | - | - | - | PIS | Ambientes aquáticos | - | - | - | - |
| Phalacrocoracidae | | | | | | | | | | | |
| <i>Nannopterum brasilianum</i> (Gmelin, 1789) | biguá | Baixa | - | - | - | PIS | Ambientes aquáticos | - | - | - | - |
| Tinamiformes | | | | | | | | | | | |
| Tinamidae | | | | | | | | | | | |
| <i>Crypturellus obsoletus</i> (Temminck, 1815) | inhambuguaçu | Baixa | - | - | - | GRA | Ambientes florestais | - | - | - | - |
| <i>Crypturellus parvirostris</i> (Wagler, 1827) | inhambu-chororó | Baixa | - | - | - | ONI | Ambientes abertos | - | - | - | - |
| <i>Crypturellus tataupa</i> (Temminck, 1815) | inhambu-chintã | Baixa | - | - | - | ONI | Ambientes florestais | - | - | - | - |
| <i>Nothura maculosa</i> (Temminck, 1815) | codorna-amarela | Baixa | - | - | - | ONI | Ambientes abertos | - | - | - | - |
| <i>Rhynchotus rufescens</i> (Temminck, 1815) | perdiz | Baixa | - | - | - | ONI | Ambientes abertos | - | - | - | - |
| <i>Tinamus solitarius</i> (Vieillot, 1819) | macuco | Média | - | Mata Atlântica | - | GRA | Ambientes florestais | I | NT | - | VU |
| Trogoniformes | | | | | | | | | | | |
| Trogonidae | | | | | | | | | | | |
| <i>Trogon chrysochloros</i> Pelzeln, 1856 | surucuá-dourado | Média | - | - | - | INS | Ambientes florestais | - | - | - | - |
| <i>Trogon rufus</i> Gmelin, 1788 | surucuá-dourado-da-amazônia | Média | - | - | - | INS | Ambientes florestais | - | - | - | - |
| <i>Trogon surrucura</i> Vieillot, 1817 | surucuá-variado | Média | - | Mata Atlântica | - | ONI | Ambientes florestais | - | - | - | - |
| <i>Trogon viridis</i> Linnaeus, 1766 | surucuá-de-barriga-amarela | Média | - | - | - | ONI | Ambientes florestais | - | - | - | - |

7.1.4. Síntese do grupo

O monitoramento da avifauna resultou em um total de 339 espécies e 39.638 indivíduos. A fase de maior destaque em quantidades de espécies e de indivíduos foi a primeira fase de monitoramento. Todavia, é perceptível que nesta fase há uma maior concentração de números de indivíduos em espécies generalistas no uso do habitat em detrimento daquelas consideradas mais especializadas no uso dos recursos. Além disso, foi verificado que nas três primeiras fases de monitoramento, além da presença incisiva de espécies muito dominantes (e.g. *Bubulcus ibis*), os dados de riqueza e abundância estiveram mais dispersos, apresentando maiores desvios padrão.

Ainda que tenha sido realizado um maior esforço amostral nas primeiras fases de monitoramento, é notório em seu decorrer, um aumento substancial no número de espécies de hábitos exclusivamente florestais. Este fato tende a ser algo positivo, pois pode se inferir que essa substituição de aves mais generalistas para aves mais especializadas e sensíveis demonstra que o local tem se recuperado dos impactos gerados pela instalação do empreendimento. Foi verificado também, que ao longo das fases há uma maior prevalência de espécies insetívoras e onívoras, o que é um padrão comum reportado em diversos estudos (e.g. Telino-Júnior et al., 2005; Júnior et al., 2009; De Tonissi et al., 2021).

Em relação as potenciais variáveis que estão sendo decisivas nas mudanças da composição de espécies ao longo das fases de monitoramento, a variável explicativa fase foi a que apontou um maior peso, sendo responsável por explicar os dados em 22%. As demais variáveis, clima e associação entre a fase e o clima foram responsáveis por explicar, respectivamente, 4% e 6%. Ainda assim, é importante destacar que 68% dos resultados obtidos estão sendo influenciados por outras variáveis não identificadas durante o monitoramento.

Por fim, de acordo com a curva de rarefação a amostragem da avifauna foi suficiente. Uma vez que, mesmo que o esforço amostral fosse dobrado, não haveria um acréscimo no número de espécies na mesma proporção.

7.1.5. Relatório fotográfico



Foto 21: *Leptotila verreauxi* (juriti-pupu), Sítio 11, AID, F5C1.



Foto 22: *Coryphospingus cucullatus* (tico-tico-rei), "Corredor da Biodiversidade", All, F5C1.



Foto 23: *Turdus amaurochalinus* (sabiá-poca), S11, F5C1.



Foto 24: *Dendrocincla turdina* (arapaçu-liso), S12, F5C1.



Foto 25: *Schiffornis virescens* (flautim), Sítio 12, All, F5C1.



Foto 26: *Pyriglena leucoptera* (papa-toaca-do-sul), Sítio 12, All, F5C1.



Foto 27: *Turdus rufiventris* (sabiá-laranjeira) capturada no Sítio 8, AID, F5C1.



Foto 28: *Myiothlypis leucoblephara* (pula-pula-assobiador) capturado no Sítio 8, AID, F5C1.



Foto 29: *Cyanocorax chrysops* (gralha-picaça), capturada no Sítio 8, AID, F5C1.



Foto 30: *Rynchops niger* (talha-mar), censo aquático, F5C1.

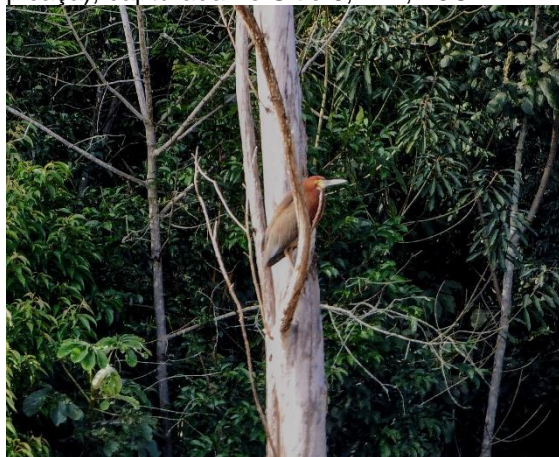


Foto 31: *Tigrisoma lineatum* (socó-boi), censo aquático, F5C1.



Foto 32: *Urubitinga urubitinga* (gavião-preto), censo aquático, F5C1.



Corredor da Biodiversidade - Rede-de-n
22J 231071 717
13/11/2024 05

Foto 33. *Turdus rufiventris* (sabiá-laranjeira), “Corredor da Biodiversidade”, All, F5C2.



S12 - Rede-de-n
22J 217397 717
18/11/2024 07

Foto 34. *Corythopsis delalandi* (estalador), S12, All, F5C2.



S8 - Rede-de-n
22J 240318 716
16/11/2024 18

Foto 35. *Automolus leucophthalmus* (barraqueiro-de-olho-branco) capturado no Sítio 8, AID, F5C2.



S4 - Rede-de-n
22J 239143 717
15/11/2024 17

Foto 36. *Baryphthengus ruficapillus* (juruva) capturada no Sítio 4, AID, F5C2.



S1 - Rede-de-n
22J 229303 717
14/11/2024 06

Foto 37. *Corythopsis delalandi* (estalador), S1, F5C2.

7.2. Mastofauna – Mamíferos terrestres

7.2.1. Introdução

O Brasil conta com a presença de 778 mamíferos silvestres, o que representa cerca de 12% da biomassa de mamíferos existentes no mundo (Abreu et al., 2023; Connor et al., 2024). Embora as espécies de mamíferos compartilhem uma série de características, como presença de pelos, glândulas mamárias e/ou glândulas sudoríparas; esse grupo taxonômico muito se difere entre si, tendo em vista a presença de espécies completamente diferentes em termos de tamanho, dieta, ocupação do habitat, comportamento, entre outras características (Pough, Janis e Heiser, 2003).

Esses atributos, não só conferem ao grupo uma grande capacidade de ocupar os mais variados ambientes no globo terrestre, bem como facilita o uso como bioindicadores de qualidade ambiental (Reis et al., 2011). Associado a isso, o grau de sensibilidade atribuído às espécies ameaçadas de extinção, favorecem a avaliação do grau de conservação do ambiente, tendo em vista que essas são as espécies mais afetadas pela destruição do habitat e pelas ações antropogênicas (e.g. caça, introdução de espécies exóticas, atropelamentos) (Albuquerque, 2016; Figueiredo, 2018).

Em um contexto nacional, cerca de 13,11% das espécies de mamíferos silvestres constam como ameaçadas de extinção, de acordo com a última lista nacional de espécies ameaçadas de extinção (Brasil, 2022). Na Mata Atlântica, o cenário é ainda mais agravante, tendo em vista o longo histórico de devastação do bioma nas últimas décadas (Tabarelli et al., 2005). Contudo, a Mata Atlântica ainda abriga uma das maiores biodiversidade do mundo, contando com a presença de inúmeras espécies endêmicas e ameaçadas, o que lhe confere a posição de um dos principais hotspots para conservação da biodiversidade (Myers et al., 2000; Franke et al., 2005). Estima-se que o bioma abrigue cerca de 270 espécies de mamíferos silvestres, das quais 180 espécies possuem distribuição confirmada no estado do Paraná (MMA, 2024; IAP, 2008).

Considerando o grau de sensibilidade dos mamíferos, em especial aqueles considerados de topo de cadeia, o cenário exposto acima e o contexto da inserção da UHE Baixo Iguaçu no Paraná. O monitoramento dos mamíferos terrestres silvestres ao longo das fases de implantação e operação do empreendimento, ampara tomada de decisões mais assertivas acerca da conservação e preservação dos táxons e dos ambientes estes que ocupam. Nesse contexto, o presente monitoramento visa acompanhar espaço-temporalmente as populações de mamíferos terrestres silvestres presentes nas áreas de influência do referido empreendimento.

7.2.2. Resultados e Discussão

Foram registradas ao longo das fases de monitoramento um total de 53 espécies de mamíferos silvestres e 2543 indivíduos, os quais estão distribuídos em nove ordens (Artiodactyla, Carnivora, Cingulata, Didelphimorphia, Lagomorpha, Perissodactyla, Pilosa, Primates e Rodentia) e 20 famílias (Figura 11). Dentre as famílias registradas as mais representativas em número de espécies foram as famílias Cricetidae (S=8), Didelphidae (S=7) e Felidae (S=7) (Figura 11). Os representantes da família Cricetidae estão dentre as famílias mais numerosas de roedores no Brasil (Abreu et al., 2023), estão distribuídos por toda região neotropical e é uma família que abarca de espécies menos sensíveis até espécies altamente especializadas no uso do habitat (Reis et al., 2011). Cabe destacar, que também foram registradas duas espécies domésticas, *Canis lupus familiaris* (cachorro-doméstico) (n=5) e o *Felis catus* (gato-doméstico) (n=1); e, uma espécie exótica, *Lepus europaeus* (n=35). Essas espécies não-nativas foram desconsideradas nas análises gráficas, contudo é importante destacar que a presença delas em ambiente natural gera distúrbios nas populações de mamíferos nativos silvestres, uma vez que competem pelo uso dos recursos e tornam-se reservatório de diversas doenças realizando o fluxo entre ambiente antrópico e ambiente silvestre.



Figura 11. Número de espécies de mamíferos silvestres registrados por família ao longo do monitoramento na UHE Baixo Iguaçu.

No entanto, a espécie mais dominante do monitoramento é o *Subulo gouazoubira* (veado-catingueiro) (n=709) (Figura 12), o qual foi mais recorrente durante a terceira fase de monitoramento. O veado-catingueiro é uma espécie comum em toda a sua área de distribuição, porém possui uma baixa densidade em suas áreas de ocorrência (Silva-Caballero e Ortega, 2022). Geralmente encontra-se associado a florestas úmidas ou a áreas com vegetação mais esparsa (Silva-Caballero e Ortega, 2022). Apesar de ser uma espécie que forrageia em áreas mais abertas, propícias a gramíneas, o veado-catingueiro depende de fragmentos florestais para a manutenção de suas populações (Silva-Caballero e Ortega, 2022). Inclusive, durante as amostragens o maior número de espécimes de *Subulo gouazoubira* foi registrado no sítio amostral S04 (n=111) e no sítio amostral S12 (n=132), que são locais que atendem as especificidades da espécie quanto ao uso do habitat.

Em seguida, têm-se as espécies *Hydrochoerus hydrochaeris* (capivara) (n=323) e *Myocastor coypus* (ratão-do-banhado) (n=311) (Figura 12). A capivara é reconhecida por ser o maior roedor neotropical, é generalista no uso do habitat, estando geralmente associada à ambientes semiaquáticos (Pereira e Eston, 2007). Devido a expansão de suas populações em ambientes antrópicos, as capivaras têm desencadeado uma série de problemas em diversas regiões brasileiras, como por exemplo a destruição de plantações e a transmissão de febre maculosa (Copini e Marafon, 2014). O *Myocastor coypus*, assim como a capivara, também possui um grande potencial de invasão (Lovato et al., 2024). A espécie geralmente está associada à ambientes aquáticos e possui uma alta plasticidade no uso do habitat, ocupando de áreas nativas à áreas antropizadas (Reis et al., 2011; Lovato et al., 2024).

Tais espécies descritas acima como mais dominantes, alavancaram a abundância em 53%. Apesar de serem espécies comuns e que possuem uma certa tolerância às alterações antrópicas. É importante destacar que espécies que ocupam o segundo nível trófico na cadeia alimentar, são extremamente relevantes no controle de plantas que possuem um grande potencial de invasão e auxiliam nos processos de sucessão ecológica, já que conseguem diminuir a competição entre plantas pioneiras e plantas pertencentes ao demais estágios de sucessão ecológica. Todavia, como qualquer outro espécime, em altas densidades tendem a ser prejudiciais ao ecossistema em que se encontram inseridas. Além disso, os herbívoros e pequenos mamíferos no geral, são a base alimentar para grandes carnívoros, como por exemplo *Puma concolor* e *Panthera onca*, espécies que também foram registradas durante o monitoramento.

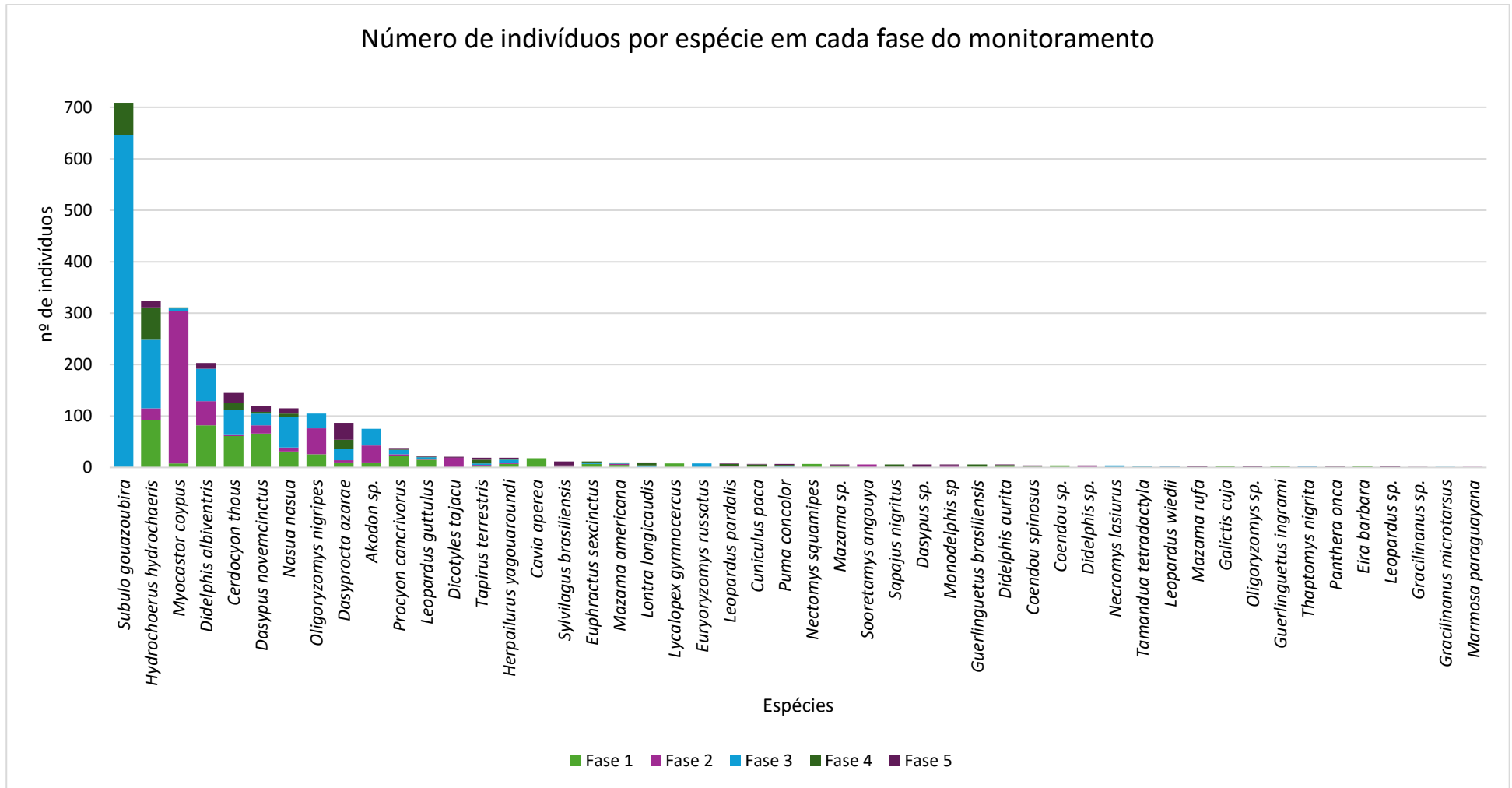


Figura 12. Número de indivíduos registrados por espécie ao longo das fases de monitoramento na UHE Baixo Iguaçu.

Nos comparativos de riqueza entre as fases executadas do monitoramento de mamíferos silvestres terrestres, a primeira fase foi a que contou com o maior número de espécies registradas (S=31), seguida da segunda fase (S=28), da quinta fase (S=28), da terceira fase (S=25) e quarta fase de monitoramento (S=25) (Figura 13). Nas três primeiras fases, em que foram executadas amostragens em 12 sítios amostrais (S01, S02, S03, S04, S05, S06, S07, S08, S09, S10, S11 e S12), há uma maior concentração de espécies na AID ao compará-la à AII. Porém, o resultado foi influenciado pelo número de sítios amostrais presentes em AID. Nas demais, fases (quarta e quinta), há uma inversão, em que a AII passa a apresentar uma maior riqueza em detrimento da AID (Figura 13). Mas, diferente das primeiras fases, a quantidade de unidades amostrais é igual para ambas as áreas de influência.

Desse modo, avaliando os resultados de modo proporcional, é notório que há uma maior concentração de espécies mamíferos silvestres nas áreas pertencentes à AII em detrimento da AID, independente da fase em que está sendo executado o monitoramento. Os ambientes nos quais os sítios amostrais pertencentes à AII estão inseridos, são caracterizados por apresentar, no geral, maior conservação ao comparar às áreas pertencentes a AID. Fator que contribui para uma maior diversidade de mamíferos silvestres. Além disso, ambientes bem estruturados tendem a favorecer à ocorrência de espécies mais especialistas no uso do habitat.

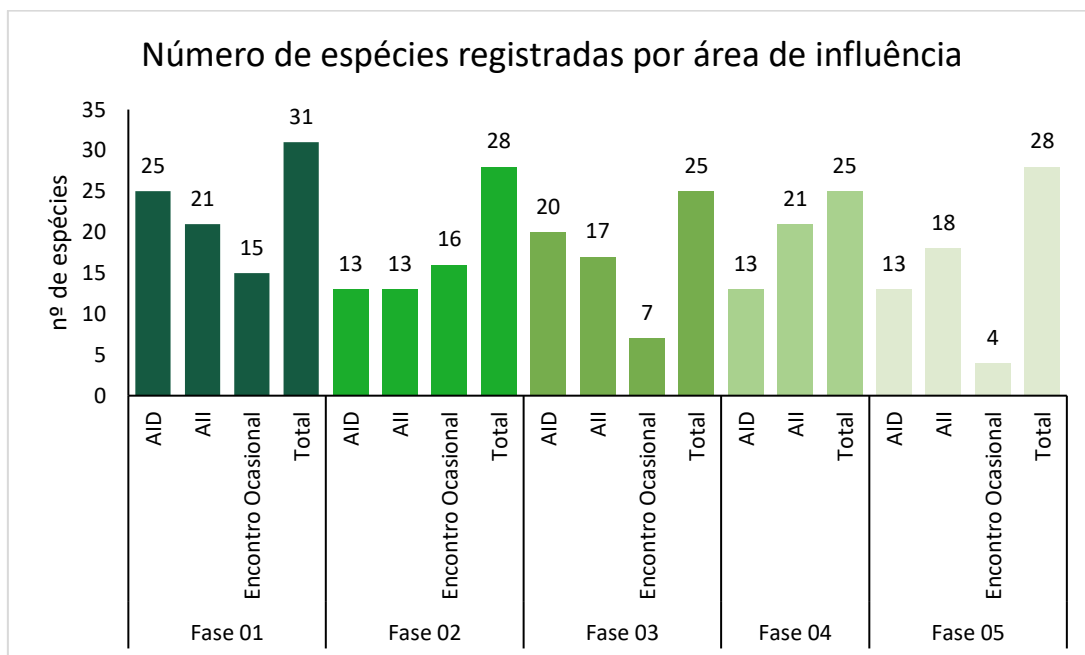


Figura 13. Número de espécies registradas por áreas de influência e fase do monitoramento.

Apesar da baixa divergência em número de espécies registradas ao longo das fases de monitoramento, é importante destacar que cada fase de monitoramento obteve uma composição de espécies diferenciada. Desse modo, adotando uma abordagem de análise da composição de espécies, ao longo do monitoramento 10 espécies estiveram presentes em todas as fases (Figura 14). Ademais, também foram registradas espécies de registro exclusivo, sendo que na primeira fase foram contabilizadas sete espécies de registro exclusivo, na segunda fase foram registradas duas espécies exclusivas, na terceira fase foram registradas apenas três espécies, na quarta fase não foram encontradas espécies exclusivas e na quinta fase houve o registro de cinco espécies de registro exclusivo (Figura 14; Tabela 6).

Considerando os registros realizados no geral, o número de espécies especialistas no uso do habitat tem oscilado ao longo das fases de monitoramento. Contudo, vale reiterar que nas áreas de estudo tem sido recorrente o registro constante de grandes felinos, sendo que na última fase foram registradas cinco espécies pertencentes à família Felidae (*Puma concolor*, *Herpailurus yagouaroundi*, *Leopardus guttulus*, *Leopardus pardalis* e *Panthera onca*), sendo este um número recorde para as áreas de estudo. A presença recorrente dessas espécies nas áreas de estudo, bem como o acréscimo no número de espécies representantes é um bom indicativo ambiental. Pois, sugere-se que esses felinos têm utilizados os remanescentes florestais de AID e AII, para deslocar-se de um fragmento a outro, e, provavelmente também utilizam esses locais como refúgio e para busca de alimento. É importante destacar o papel relevante do denominado “Corredor da Biodiversidade” na conexão de fragmentos pertencentes às áreas de influência da UHE ao PARNA do Iguaçu. Propiciando um maior fluxo gênico, e conseqüentemente, favorecendo para a manutenção das populações de mamíferos silvestres da região.

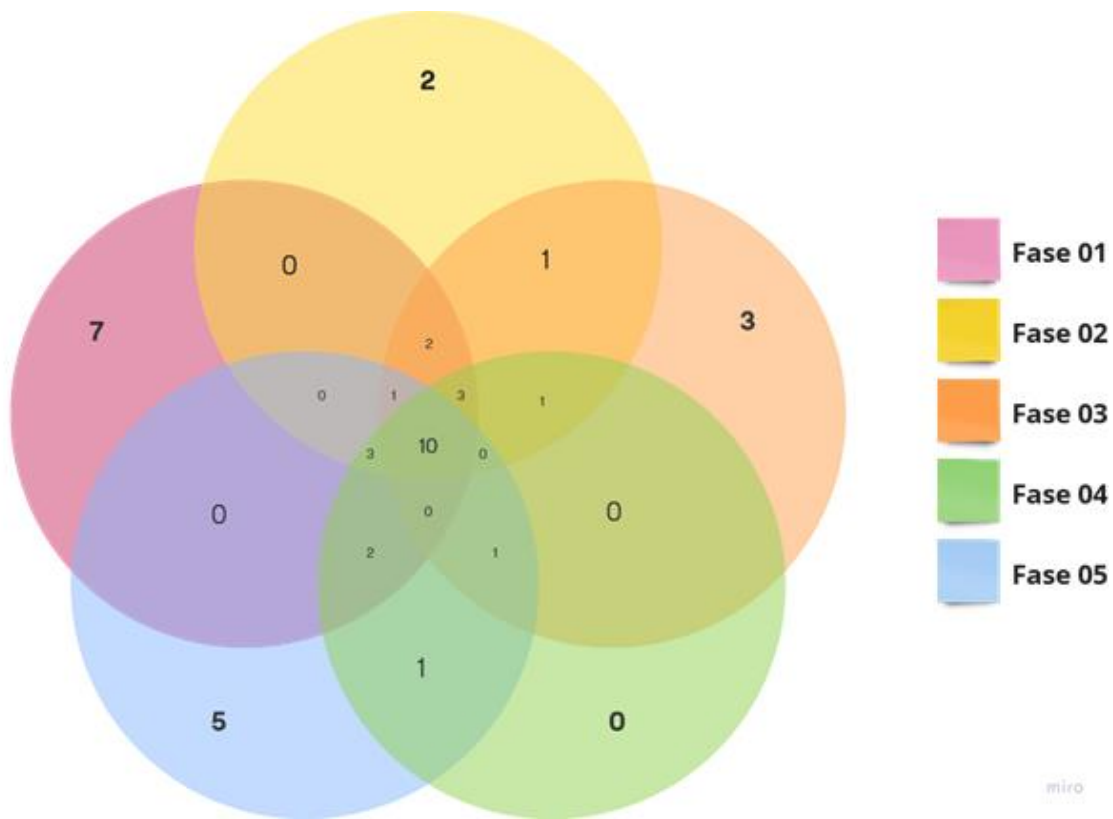


Figura 14. Diagrama de Venn apresentando a quantidade de espécies silvestres exclusivas e compartilhadas entre as fases. A figura ilustra as principais combinações de presença e ausência.

Tabela 6. Espécie exclusiva de mamíferos terrestres silvestres em cada uma das fases de monitoramento de fauna.

| Fase 1 | Fase 2 | Fase 3 | Fase 5 |
|------------------------------|----------------------------|---------------------------------|-------------------------|
| <i>Cavia aperea</i> | <i>Marmosa paraguayana</i> | <i>Euryoryzomys russatus</i> | <i>Dasyopus sp.</i> |
| <i>Coendou sp.</i> | <i>Sooretamys angouya</i> | <i>Gracilinanus microtarsus</i> | <i>Gracilinanus sp.</i> |
| <i>Eira barbara</i> | | <i>Necomys lasiurus</i> | <i>Leopardus sp.</i> |
| <i>Galictis cuja</i> | | | <i>Mazama rufa</i> |
| <i>Guerlinguetus ingrami</i> | | | <i>Oligoryzomys sp.</i> |
| <i>Lycalopex gymnocercus</i> | | | |
| <i>Nectomys squamipes</i> | | | |

Já em relação ao número de indivíduos registrados em cada uma das fases de monitoramento, o maior número de espécimes foi registrado durante a terceira fase (n=1108). As demais fases apresentaram menores valores de abundância. De modo decrescente ficou da seguinte forma, a segunda fase com o registro de 531 espécimes, a primeira fase com o registro de 503, a quarta fase com o registro de 215 espécimes e a quinta fase com o registro de 145 indivíduos. Na terceira fase de monitoramento a

espécie que alavancou os quantitativos de abundância foi o *Subulo gouazoubira* (veado-catingueiro) (n=645), que representou cerca de 57,8% da abundância registrada para essa fase. Na segunda fase a abundância foi alavancada pela presença do *Myocastor coypus* (rato-do-banhado) (n=296), o qual abarcou cerca de 55,4% da abundância registrada para a segunda fase. Já na primeira fase a espécie que alavancou os resultados de abundância foi a *Hydrochoerus hydrochaeris* (cavivara) (n=92), que abarcou cerca de 17,5%. Para a quarta fase de monitoramento foram registradas duas espécies muito dominantes, o *Subulo gouazoubira* (n=63) e a *Hydrochoerus hydrochaeris* (n=63), sendo que ambas alavancaram a abundância em 57,8%. E por fim, na quinta fase a espécie que alavancou a abundância foi a *Dasyprocta azarae* (cutia) (n=33), a qual abarcou cerca de 21,8% da abundância registrada para essa fase.

As espécies citadas no parágrafo anterior como muito dominantes em suas respectivas fases, conforme supracitado são espécies generalistas no uso do habitat, dentre elas, exceto a *Dasyprocta azarae* (cutia) não é apontada como espécie muito recorrente durante o monitoramento. A *Dasyprocta azarae* (cutia) é uma espécie que possui hábitos terrestres, e se alimenta, prioritariamente, de frutas, sementes, raízes e plantas suculentas; atuando como dispersora de sementes (Reis et al., 2011). Essa espécie habita florestas pluviais, geralmente associadas à curso d’água, e apesar de ser amplamente distribuída em território brasileiro está como “Dados Deficientes” pela IUCN (2024) (Reis et al., 2011; Rodrigues, 2017).

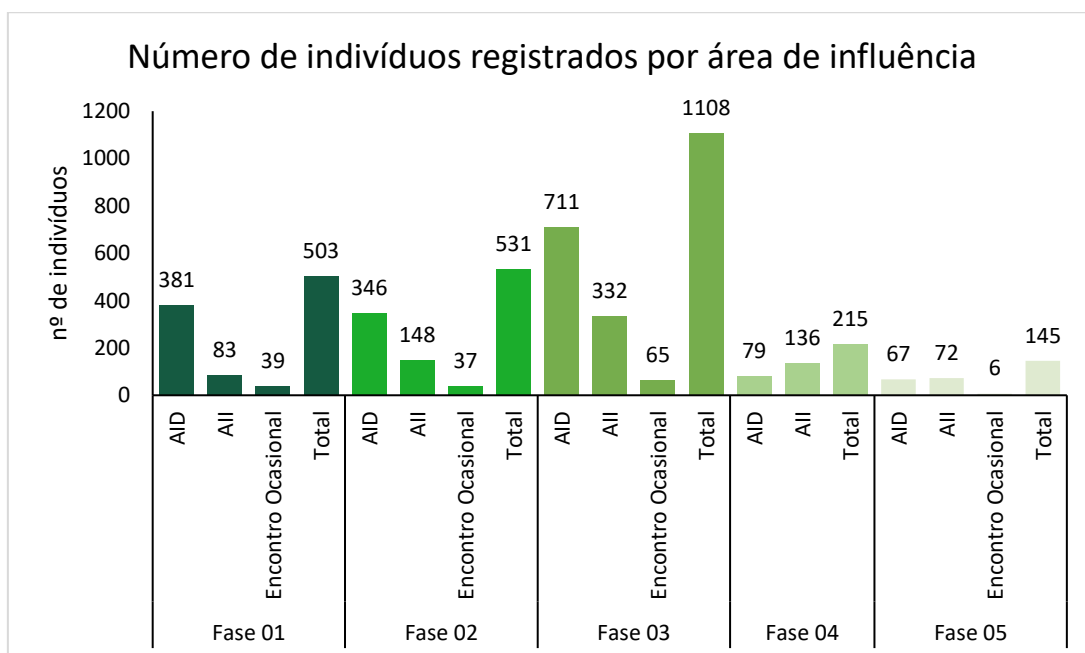


Figura 15. Número de indivíduos registrados por áreas de influência e fase do monitoramento.

Nas análises riqueza e abundâncias apresentadas no gráfico de boxplot (Figura 16), é notório que a primeira fase de monitoramento apresentou uma maior mediana ao compará-la às demais fases. Contudo, na primeira fase há uma maior dispersão dos dados, uma vez que o desvio padrão apresentado para essa fase é maior do que o apresentado nas fases posteriores. Outro padrão relacionado a riqueza registrada na primeira fase é que a distribuição das riquezas se dá de maneira simétrica, apontando que pelo menos 50% dos dados encontram-se com valores acima da mediana e 50% encontram-se com valores abaixo da mediana. A segunda fase de monitoramento é que apresenta o menor valor de mediana durante o monitoramento. Além disso, na segunda fase de monitoramento a distribuição da riqueza adota um padrão assimétrico, em que uma parcela das unidades amostrais está concentrada com valores acima da mediana. Já na terceira fase de monitoramento a distribuição das riquezas também se dá de maneira assimétrica, mas a maioria das unidades amostrais estão concentradas com valores abaixo da mediana. Além disso, na terceira fase, para a riqueza existe a presença de um *outlier*. Na quarta fase e na quinta fase de monitoramento, a distribuição da riqueza também se deu de maneira assimétrica, e assim com a fase anterior apontou uma maior quantidade de unidades amostrais apresentando riquezas abaixo da mediana registrada para a fase e a presença de um *outlier*.

Em relação as abundâncias registradas por fase (Figura 16), na primeira fase de monitoramento houve uma distribuição assimétrica dos dados, em que a os maiores quantitativos de abundância estiveram concentrados com valores abaixo da mediana. Já na segunda, quarta e quinta fase de monitoramento, a distribuição também se deu de maneira assimétrica, contudo os valores de abundância estiveram concentrados acima da mediana. Em contrapartida, a terceira fase de monitoramento, além de ter apresentado a maior mediana para a abundância, ela também apresentou uma distribuição das abundâncias mais simétricas. Porém, é notório uma maior discrepância dos dados, dado o valor de desvio padrão apresentado na figura.

De modo geral, não houve uma grande discrepância das medianas das riquezas apresentadas ao longo do monitoramento. O que corrobora com os resultados apresentados na Figura 13. No entanto, em relação as abundâncias a grande variação de uma fase para outra, é um potencial reflexo do grande número de espécies muito dominantes, o que afeta diretamente nos resultados apresentados através do *boxplot*.

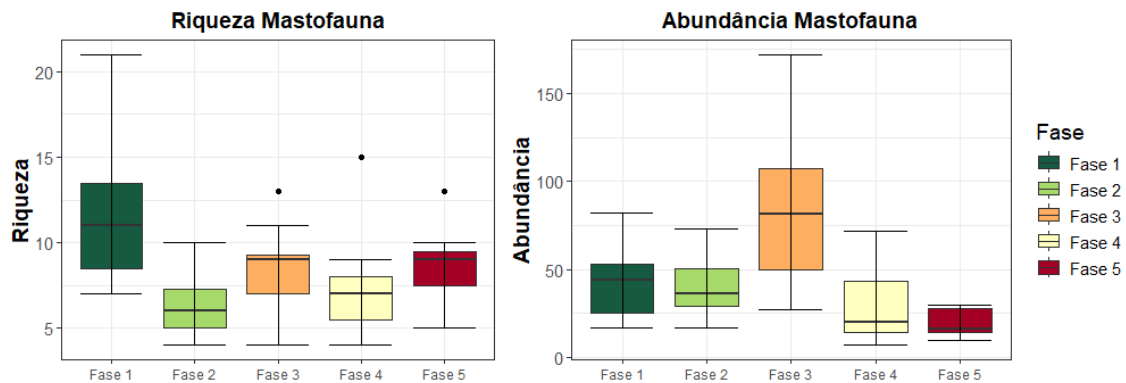


Figura 16. Gráficos de *boxplot* da variação da riqueza e da abundância de mamíferos silvestres entre as fases de monitoramento na UHE Baixo Iguaçu.

Considerando os resultados obtidos em cada unidade amostral (Tabela 7), ao longo das fases de monitoramento, foi possível verificar que durante a primeira fase as unidades amostrais que abarcaram os maiores quantitativos de riqueza e abundância, foram respectivamente S08 (S=16) e S04 (n=82). Na segunda fase, os maiores quantitativos foram apresentados em S04 (S=10) e S12 (S=10; n=73). Para a terceira fase os maiores quantitativos de riqueza e abundância foram registrados para a unidade amostral S12 (S=11; n=167). Na quarta fase de monitoramento a maior riqueza e abundância registrada, foi sítio amostral 12, o qual apresentou uma riqueza de 15 espécies e 72 indivíduos. E por fim, na quinta fase de monitoramento a unidade amostral com os maiores quantitativos foi o sítio 12, com uma riqueza de 13 espécies e 30 indivíduos.

As unidades amostrais que apresentaram os maiores quantitativos de riqueza e abundância ao longo das fases de monitoramento, apresentam características distintas. Entretanto, é possível verificar uma maior recorrência ao longo das fases de monitoramento para uma maior quantidade de espécies e indivíduos para o sítio amostral 12. Local com o melhor fragmento florestal, localizado nas proximidades do PARNA do Iguaçu e com presença de uma mata ciliar bem preservada às margens do rio Floriano. Uma boa qualidade de habitat, assim como a presença de fragmentos como uma maior complexidade ambiental, exerce um efeito positivo sobre as estruturas das comunidades de mamíferos silvestres (Araújo, 2022). Nesse sentido, devido as características ambientais do sítio 12 e a diversidade de mamíferos registradas nesse sítio ao longo do monitoramento de fauna, cabe destacar que este local tem se apresentado como um importante remanescente para a manutenção das populações de mamíferos silvestres de médio e grande porte na região.

| Ordem/Família/Espécie | Nome popular | Fase 1 | | | | | | | | | | | Fase 2 | | | | | | | | | | | Fase 3 | | | | | | | | | | | Fase 4 | | | | | | Fase 5 | | | | | | Total Geral | | | | | | | | | | | | | | | | | | |
|-----------------------|--------------|--------|---|---|---|---|---|---|---|---|---|---|--------|---|---|---|---|---|---|---|---|---|---|--------|---|---|---|---|---|---|---|---|---|---|--------|---|---|---|---|---|--------|---|---|---|---|---|-------------|---|---|---|---|---|---|---|---|---|---|---|---|---|---|---|---|----|----|
| | | E | S | S | S | S | S | S | S | S | S | S | E | S | S | S | S | S | S | S | S | S | S | E | S | S | S | S | S | S | S | S | S | S | C | S | S | S | S | S | C | E | S | S | S | S | | S | | | | | | | | | | | | | | | | | |
| Riqueza geral | | 1 | 2 | 9 | 8 | 1 | 1 | 1 | 1 | 1 | 1 | 1 | 1 | 6 | 6 | 5 | 6 | 1 | 0 | 5 | 4 | 7 | 5 | 7 | 8 | 7 | 1 | 0 | 8 | 1 | 1 | 0 | 8 | 9 | 7 | 4 | 9 | 1 | 3 | 7 | 9 | 7 | 1 | 1 | 6 | 1 | 0 | 7 | 5 | 7 | 5 | 1 | 5 | 1 | 0 | 4 | 9 | 9 | 9 | 9 | 6 | 1 | 3 | 53 | |
| Abundância silvestres | | 3 | 5 | 2 | 2 | 8 | 4 | 2 | 5 | 6 | 4 | 1 | 3 | 3 | 4 | 2 | 3 | 7 | 3 | 1 | 4 | 3 | 2 | 3 | 5 | 7 | 6 | 9 | 7 | 4 | 1 | 7 | 2 | 4 | 0 | 0 | 1 | 0 | 7 | 8 | 1 | 6 | 7 | 7 | 5 | 3 | 1 | 2 | 1 | 7 | 2 | 2 | 9 | 6 | 1 | 3 | 2 | 1 | 1 | 1 | 3 | 0 | 0 | 25 | 02 |
| Riqueza silvestres | | 1 | 2 | 8 | 7 | 1 | 1 | 1 | 1 | 1 | 1 | 1 | 8 | 9 | 1 | 6 | 4 | 5 | 1 | 0 | 5 | 4 | 7 | 5 | 6 | 8 | 7 | 1 | 0 | 7 | 1 | 0 | 9 | 8 | 9 | 7 | 4 | 9 | 1 | 3 | 7 | 9 | 7 | 1 | 1 | 6 | 9 | 7 | 4 | 7 | 5 | 1 | 5 | 1 | 0 | 4 | 9 | 8 | 9 | 7 | 5 | 1 | 3 | 50 | |

Através dos índices de diversidade foi possível verificar que a unidade amostral com a maior diversidade registrada, foi S01 ($H'=2,57$) (Tabela 8). Tal unidade amostral apontou uma riqueza total de 32 espécies e 265 indivíduos. Contudo, em relação a distribuição das abundâncias, a maior homogeneidade foi registrada em S05, em que Pielou adotou um valor de 0,85. Em oposição aos maiores quantitativos, a menor diversidade de espécies foi registrada em S06 ($H'=1,79$) e a menor equitabilidade foi registrada em S12 ($J=0,67$) (Tabela 8).

Tabela 8. Índices de diversidade (Shannon- H') e equitabilidade (Pielou- J) e riqueza e abundância registradas ao longo das fases de monitoramento.

| Ponto | Riqueza | Abundância | Shannon (H') | Equitabilidade (J) |
|----------------------------|---------|------------|------------------|------------------------|
| Corredor da Biodiversidade | 14 | 36 | 2,25 | 0,85 |
| S1 | 32 | 265 | 2,57 | 0,74 |
| S2 | 11 | 128 | 2,06 | 0,86 |
| S3 | 11 | 98 | 1,93 | 0,81 |
| S4 | 20 | 381 | 1,95 | 0,65 |
| S5 | 15 | 102 | 2,32 | 0,86 |
| S6 | 12 | 87 | 1,79 | 0,72 |
| S7 | 17 | 199 | 2,22 | 0,78 |
| S8 | 21 | 233 | 2,38 | 0,78 |
| S9 | 17 | 127 | 2,19 | 0,77 |
| S10 | 21 | 153 | 2,29 | 0,75 |
| S11 | 18 | 204 | 2,14 | 0,74 |
| S12 | 32 | 342 | 2,34 | 0,67 |

Através da análise de agrupamento, é possível verificar o agrupamento das unidades amostrais em dois grandes grupos distintos: grupo roxo, composto por S12 e S04; e, o grupo azul composto pela presença de S10, S07, S11, S08, S09, S02, S01, S05, S03 e S06 (Figura 17). O agrupamento roxo compartilha entre si cerca de 41% da composição de espécies e o grupo azul compartilha entre si cerca de 40% da composição de espécies (Figura 17). Além disso, é possível verificar a formação de pequenos conjuntos dentro do grupo azul. Neste sentido, é possível verificar que dentro do agrupamento azul as unidades amostrais S10, S07, S11 e S08, compartilham entre si, aproximadamente, 57% da composição de espécies; as unidades amostrais S09 e S02 compartilham entre si cerca de 62% da composição de espécies; e, as unidades amostrais S05, S03 e S06, compartilham entre si, aproximadamente, 47% da composição de espécies (Figura 17).

De modo geral, as unidades amostrais que compartilharam uma composição de espécies superior à 50%, foram aquelas cujas características ambientais apresentaram uma maior semelhança. A baixa similaridade também pode ser um potencial reflexo do conjunto de espécies registradas, já que há uma grande predominância da ordem Rodentia, que abriga espécies de pequeno porte e de baixa mobilidade (Reis et al., 2011). Sendo assim, são espécies com baixa capacidade de dispersão, e, conseqüentemente, são menos aptas a permear matrizes de pastagem e deslocar-se de um fragmento à outro. E as espécies que tiveram presentes em todas as unidades amostrais, foram espécies de maior porte e mais generalistas no uso do habitat.

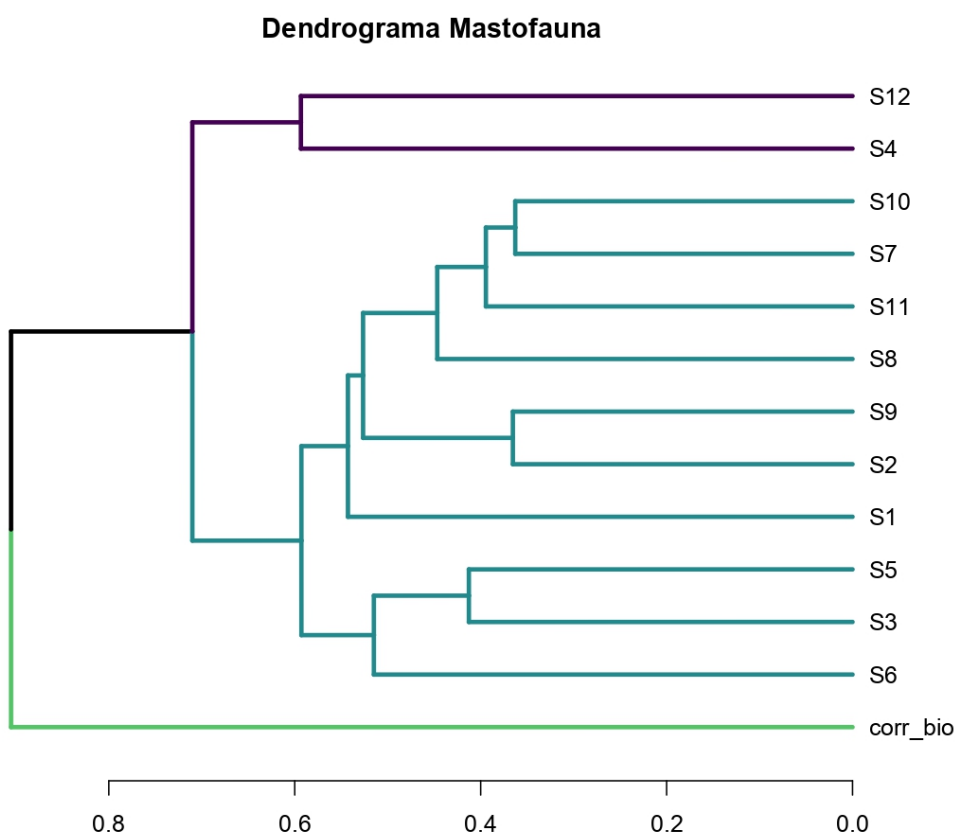


Figura 17. Agrupamento das áreas amostrais com relação à dissimilaridade na composição de espécies de mamíferos silvestres, de acordo com os dados de monitoramento. Valores mais próximos de zero indicam áreas menos similares (correlação cofenética 0.90).

De acordo com a análise estatística PERMANOVA (Tabela 9), todas as variáveis explicativas testadas foram significativas. A variável fase determinou 30% das variações na composição de espécies observadas durante o monitoramento; a junção da variável clima com a fase determinou 10% dos resultados; e, a variável clima foi responsável por explicar as variações em 2%. Os resultados obtidos corroboram com os dados apresentados nas análises gráficas para os mamíferos silvestres. Apesar disso, cabe

ressaltar que cerca de 58% das variações observadas não está relacionado com nenhuma das variáveis testadas, o que leva a inferir que existem outros fatores influenciando as variações nas ocorrências de espécies de mamíferos silvestres da área de estudo.

Tabela 9. Resultados da análise PERMANOVA para mamíferos silvestres. Fases executadas refere-se a fase 01, 02, 03, 04 e 05 de monitoramento, e, clima refere-se à variação de temperatura anual.

| Variáveis | Df | R ² | F | P |
|-------------------|----|----------------|-------|-----------|
| Fase | 4 | 0,30 | 11,20 | 1,00E-04* |
| Clima | 1 | 0,02 | 3,48 | 1,00E-04* |
| Fase:Clima | 4 | 0,10 | 3,62 | 1,00E-04* |
| Resíduos | 88 | 0,58 | NA | NA |
| Total | 97 | 1,00 | NA | NA |

Obs. *Valores de p significativos.

De acordo com a curva de rarefação (Figura 18), é possível verificar que a curva atingiu a assíntota. Ou seja, a riqueza observada se igualou à riqueza estimada, sendo assim a curva de rarefação apontou que o esforço amostral empregado para a amostragem de mamíferos terrestres silvestres foi suficiente.

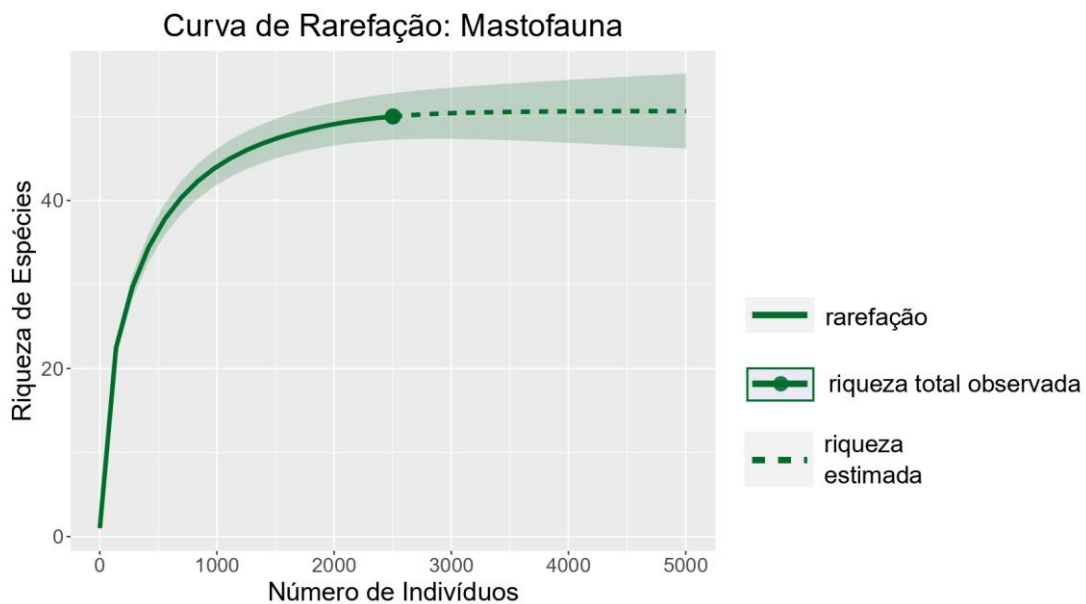


Figura 18. Curva de rarefação para mamíferos terrestres utilizando o estimador de riqueza Chao 1. Linha contínua é a riqueza observada e a linha tracejada é a riqueza estimada.

7.2.3. Espécies de interesse para conservação

a. Espécies ameaçadas

Ao longo do monitoramento de mamíferos terrestres foram registradas 13 espécies que constam como ameaçadas de extinção em âmbito estadual, nacional e/ou mundial: o *Sylvilagus brasiliensis* (tapiti) que está como em perigo (EN) na lista mundial; o *Leopardus guttulus* (gato-do-mato-pequeno), que está como vulnerável à nível mundial, em perigo (EN) à nível nacional (Brasil, 2022) e vulnerável (VU) de acordo com a lista estadual (Paraná, 2024); a *Tapirus terrestris* (anta) que consta como vulnerável (VU) à nível mundial e nacional e criticamente ameaçada (CR) de extinção de acordo com a lista estadual; *Leopardus wiedii* (gato-do-mato) que consta como em perigo (EN) na lista nacional e na lista estadual; *Herpailurus yagouaroundi* (gato-mourisco) que está como vulnerável (VU) pela lista nacional e estadual; a *Panthera onca* (onça-pintada) que está como vulnerável (VU) à nível nacional e criticamente ameaçada de extinção (CR) na lista estadual; o *Dicotyles tajacu* (catitu) que consta como em perigo (EN) na lista estadual; e, as espécies *Cuniculus paca*, *Leopardus pardalis*, *Lontra longicaudis*,

Mazama rufa e *Puma concolor* que estão como vulneráveis (VU) pela lista estadual (Tabela 10).

Dentre as espécies ameaçadas de extinção, destacam-se duas espécies criticamente ameaçadas à nível estadual, a onça-pintada (*Panthera onca*) e a anta (*Tapirus terrestris*). A onça-pintada é o maior felídeo das américas e apesar de estar distribuído em diversos biomas, tal espécie tem estado em crescente declínio populacional (Reis et al., 2011; Morato et al., 2013). As principais ameaças à espécie são a fragmentação do habitat, associada às atividades antrópicas como a expansão agropecuária, mineração, implantação de matriz energética hidrelétrica e a ampliação da malha viária. Morato et al. (2013) elucida que a onça pintada busca sempre evitar locais com ocupação antrópica e que os embates com agricultores são pontuais. É importante ressaltar que a presença de tal espécie nas áreas de estudo, são indicativos de uma boa qualidade ambiental, pois possui capacidade de abrigar um predador de topo de cadeia que possui uma ampla área de vida. Durante o monitoramento, a espécie foi registrada através da metodologia de transecto no local denominado como Corredor da Biodiversidade.

Já a anta (*Tapirus terrestris*) é uma espécie que possui sua ocorrência associada a rios e florestas úmidas (Reis et al., 2011). Sua dieta é composta, principalmente, por folhas e frutos, sendo um importante dispersor de sementes (Barcelos et al., 2013). Atualmente, assim como os demais mamíferos terrestres brasileiros, uma das principais ameaças à espécie é perda de habitat e a caça. Esses problemas, associados a baixa taxa reprodutiva, coloca tal espécie em um cenário que culmina à extinção em várias regiões brasileiras (Reis et al., 2011).

b. Espécies endêmicas, raras ou não descritas pela ciência

Não foram registradas espécies de mamíferos raras ou não descritas pela ciência. Contudo, houve o registro de oito espécies endêmicas de Mata Atlântica (*Didelphis aurita*, *Euryoryzomys russatus*, *Gracilinanus microtarsus*, *Guerlinguetus brasiliensis*, *Guerlinguetus ingrami*, *Sapajus nigritus*, *Sooretamys angouya* e *Thaptomys nigrita*) (Tabela 10). A quantidade de espécies endêmicas registradas, compreende cerca de 15% da riqueza registrada. Apesar disso, é importante destacar que ao tomar como base unicamente as espécies endêmicas como parâmetro de qualidade ambiental, não é recomendado. Uma vez que dentro deste grupo existem espécies que são generalistas no uso do habitat, sendo encontradas inclusive em ambientes urbanos. Um exemplo, é o *Didelphis aurita* (gambá-de-orelhas-pretas), que pode ser considerado

como generalista no uso de recursos alimentares e de habitat, pois tende a se alimentar de uma ampla gama de alimentos e se adapta a todos os tipos de habitats, ocupando de florestas primárias à áreas de cultivo (Cáceres e Monteiro-Filho, 2001).

c. Espécies de importância econômica, xerimbabos e/ou cinegéticas

Os mamíferos são explorados das mais diversas formas em todas as partes do mundo. No Brasil, ainda que tenha sido estabelecida a proibição da caça de animais silvestres em 1967 (Lei nº 5.197, de 03 de janeiro de 1967), tal atividade não foi extinguida, de modo que até os dias atuais essa atividade ainda ocorre. Os principais motivos para caça na atualidade, são: a caça para subsistência, de modo a suprir as necessidades de comunidades menos favorecidas (*i.e* caça de subsistência); a caça e perseguição de mamíferos que são considerados pragas agrícolas/sanitárias ou a caça de predadores, sob a alegação de serem danosos as criações domésticas (Peters et al., 2011). Além disso, outra categoria de caça que tem sido crescente no país, é a caça ilegal para o abastecimento do mercado de pets não convencionais (Stein, 2022). Fatores que somados aos problemas ambientais, agravam a situação da conservação dos mamíferos silvestres brasileiros.

Dessa forma, a fim de se tornar mais um aparato para a conservação das espécies, a Convenção sobre Comércio Internacional das Espécies da Flora e Fauna Selvagens em Perigo de Extinção (CITES), busca propor mecanismo de controle para garantir uma exploração não prejudicial às populações faunísticas. Nesta perspectiva, seguindo os critérios da CITES, as espécies de mamíferos silvestres registradas durante esta fase, foram categorizadas de acordo com os três apêndices da CITES. Como resultado, das espécies de mamíferos registradas foi averiguado que oito espécies estão inclusas no apêndice II da CITES (*Cerdocyon thous*, *Dicotyles tajacu*, *Herpailurus yagouaroundi*, *Leopardus guttulus*, *Lycalopex gymnocercus*, *Puma concolor*, *Sapajus nigritus* e *Tapirus terrestris*), quatro espécies estão listadas no apêndice I da CITES (*Leopardus pardalis*, *Leopardus wiedii*, *Lontra longicaudis* e *Panthera onca*) e quatro constam no apêndice III da CITES (*Cuniculus paca*, *Eira barbara*, *Galictis cuja* e *Nasua nasua*) (Tabela 10).

d. Espécies migratórias

Não houve registro de mamíferos terrestres silvestres que se enquadram como migradores (Tabela 10).

e. Espécies bioindicadoras

Das espécies levantadas durante a presente etapa do monitoramento de fauna na UHE Baixo Iguaçu, houve o registro de 17 espécies especialistas no uso do habitat as quais são consideradas bioindicadoras (Tabela 10). Dentre as espécies registradas cabe destacar a presença dos felinos e da *Lontra longicaudis*.

Os felinos estão dentre os mamíferos brasileiros mais ameaçados de extinção (Brasil, 2022). Esses animais possuem preferência por ambientes bem preservados e necessitam de áreas que supram as suas necessidades comportamentais ao longo de uma escala temporal (Entringer Júnior, 2019). Nesse sentido, os felinos tornam-se excelentes ferramentas para a mensuração da qualidade do habitat em que estão inseridos. Da mesma forma, espécies como a *Lontra longicaudis* e as demais apontadas como bioindicadoras, apesar de possuírem um nicho ecológico completamente diferente dos felinos, tais espécies também se mostram especializadas no uso do habitat (Reis et al., 2011). Fator que as favorecem como bioindicadoras de boa qualidade ambiental. É importante destacar, que o presente projeto conta com o monitoramento contínuo da *Lontra longicaudis*, espécie que está intrinsecamente ligada à ambientes aquáticos e que responde negativamente às alterações no seu habitat frente à empreendimentos que gerem o represamento da água.

f. Risco Epidemiológico e Exóticas

Os mamíferos, de modo geral, são considerados reservatórios de inúmeras doenças, dentre elas destacam-se algumas de maior interesse médico, como por exemplo: a raiva, leptospirose, hantavirose, leishmaniose, febre amarela, toxoplasmose, doença de Lyme, dentre outras (Ashford, 2000; Chomel, 2014; Fornazari e Langoni, 2014). Um dos fatores que amplificam as transmissões de doenças entre animais silvestres e humanos, é a permeabilização das matrizes florestais por animais domésticos, como por exemplo cães e gatos (Langoni et al., 2014; Lima et al., 2017). Inclusive durante as amostragens foram registradas nas áreas de estudos essas duas espécies domésticas, o *Canis lupus familiaris* e o *Felis catus*. Ambas as espécies em ambientes naturais tendem a perturbar e modificar os ecossistemas, principalmente resultando no declínio das populações de diversos animais reduzindo a quantidade de presas para os carnívoros silvestres. Ademais, também houve a presença da espécie exótica *Lepus europaeus*, espécie nativa da Europa e da Ásia e introduzida no Brasil na década de 50 (De Faria et al., 2016).

Tabela 10. Espécies da mastofauna de interesse para conservação, registradas durante o monitoramento de fauna. Status de ameaça: NT – Quase ameaçada, EN- Em perigo, VU – Vulnerável, CR – Criticamente ameaçada, DD- Dados deficientes.

| Ordem/Família/Espécie | Nome popular | Endemismo | Uso do habitat | Hábito de vida | Exótica e/ou invasora | Risco epidemiológico | CITES | IUCN | BRASIL | PARANÁ |
|---|-----------------------------|-----------|----------------|----------------|-----------------------|----------------------|-------|------|--------|--------|
| Artiodactyla | | | | | | | | | | |
| Cervidae | | | | | | | | | | |
| <i>Mazama americana</i> (Erxleben, 1777) | veado-mateiro | - | Generalista | Terrestre | - | sim | - | DD | - | - |
| <i>Mazama rufa</i> (Illiger, 1815) | veado-mateiro | - | Generalista | Terrestre | - | sim | - | - | - | VU |
| <i>Mazama</i> sp. | veado | - | - | - | - | sim | - | - | - | - |
| <i>Subulo gouazoubira</i> (Fischer, 1814) | veado-catingueiro | - | Generalista | Terrestre | - | sim | - | - | - | - |
| Tayassuidae | | | | | | | | | | |
| <i>Dicotyles tajacu</i> (Linnaeus, 1758) | cateto | - | Generalista | Terrestre | - | sim | II | - | - | EN |
| Carnivora | | | | | | | | | | |
| Canidae | | | | | | | | | | |
| <i>Canis lupus familiaris</i> Linnaeus, 1758 | cão-doméstico | - | - | - | sim | sim | - | - | - | - |
| <i>Cerdocyon thous</i> (Linnaeus, 1766) | cachorro-do-mato | - | Generalista | Terrestre | - | sim | II | - | - | - |
| <i>Lycalopex gymnocercus</i> (Fischer, 1814) | graxaim-do-campo | - | Generalista | Terrestre | - | sim | II | - | - | DD |
| Felidae | | | | | | | | | | |
| <i>Felis catus</i> Linnaeus, 1758 | gato-doméstico | - | - | - | sim | sim | - | - | - | - |
| <i>Herpailurus yagouaroundi</i> (É. Geoffroy Saint-Hilaire, 18-3) | gato-mourisco | - | Generalista | Terrestre | - | sim | II | - | VU | VU |
| <i>Leopardus guttulus</i> (Hensel, 1872) | gato-do-mato-pequeno-do-sul | - | Generalista | Escansorial | - | sim | II | VU | EN | VU |
| <i>Leopardus pardalis</i> (Linnaeus, 1758) | jaguaritica | - | Generalista | Terrestre | - | sim | I | - | - | VU |
| <i>Leopardus</i> sp. | - | - | - | - | - | sim | - | - | - | - |
| <i>Leopardus wiedii</i> (Schinz, 1821) | gato-maracajá | - | Especialista | Terrestre | - | sim | I | NT | EN | EN |
| <i>Panthera onca</i> (Linnaeus, 1758) | onça-pintada | - | Especialista | Terrestre | - | sim | I | NT | VU | CR |
| <i>Puma concolor</i> (Linnaeus, 1771) | puma | - | Generalista | Terrestre | - | sim | II | - | - | VU |
| Mustelidae | | | | | | sim | | | | |
| <i>Eira barbara</i> (Linnaeus, 1758) | irara | - | Generalista | Terrestre | - | sim | III | - | - | - |
| <i>Galictis cuja</i> (Molina, 1782) | furão-pequeno | - | Especialista | Terrestre | - | sim | III | - | - | - |
| <i>Lontra longicaudis</i> (Olfers, 1818) | lontra | - | Especialista | Semiaquático | - | sim | I | NT | - | VU |
| Procyonidae | | | | | | | | | | |
| <i>Nasua nasua</i> (Linnaeus, 1766) | quati | - | Generalista | Escansorial | - | sim | III | - | - | - |
| <i>Procyon cancrivorus</i> Cuvier, 1798 | mão-pelada | - | Generalista | Escansorial | - | sim | - | - | - | - |
| Cingulata | | | | | | | | | | |
| Chlamyphoridae | | | | | | | | | | |
| <i>Euphractus sexcinctus</i> (Linnaeus, 1758) | tatu-peba | - | Generalista | Semifossorial | - | sim | - | - | - | - |
| Dasyopodidae | | | | | | | | | | |
| <i>Dasypus (Dasypus) novemcinctus</i> Linnaeus, 1758 | tatu-galinha | - | Generalista | Semifossorial | - | sim | - | - | - | - |
| <i>Dasypus</i> sp. | - | - | - | - | - | sim | - | - | - | - |
| Didelphimorphia | | | | | | | | | | |

| Ordem/Família/Espécie | Nome popular | Endemismo | Uso do habitat | Hábito de vida | Exótica e/ou invasora | Risco epidemiológico | CITES | IUCN | BRASIL | PARANÁ |
|---|------------------------|----------------|----------------|----------------|-----------------------|----------------------|-------|------|--------|--------|
| Didelphidae | | | | | | | | | | |
| <i>Didelphis albiventris</i> Lund, 184- | gambá-de-orelha-branca | - | Generalista | Escansorial | - | sim | - | - | - | - |
| <i>Didelphis aurita</i> (Wied-Neuwied, 1826) | gambá-de-orelha-preta | Mata atlântica | Generalista | Escansorial | - | sim | - | - | - | - |
| <i>Didelphis</i> sp. | - | - | - | - | - | sim | - | - | - | - |
| <i>Gracilinanus microtarsus</i> (Wagner, 1842) | cuíca | Mata Atlântica | Especialista | Escansorial | - | sim | - | - | - | DD |
| <i>Gracilinanus</i> sp. | cuíca | - | - | - | - | sim | - | - | - | - |
| <i>Marmosa (Micoureus) paraguayana</i> (Tate, 1931) | cuíca | - | Especialista | Escansorial | - | sim | - | - | - | DD |
| <i>Monodelphis</i> sp | - | - | - | - | - | sim | - | - | - | - |
| Lagomorpha | | | | | | | | | | |
| Leporidae | | | | | | | | | | |
| <i>Lepus europaeus</i> Pallas, 1778 | lebre-europeia | - | Generalista | - | sim | sim | - | - | - | - |
| <i>Sylvilagus brasiliensis</i> (Linnaeus, 1758) | tapiti | - | Generalista | Terrestre | - | sim | - | EN | - | DD |
| Perissodactyla | | | | | | | | | | |
| Tapiriidae | | | | | | | | | | |
| <i>Tapirus terrestris</i> (Linnaeus, 1758) | anta | - | Especialista | Terrestre | - | sim | II | VU | VU | CR |
| Pilosa | | | | | | | | | | |
| Myrmecophagidae | | | | | | | | | | |
| <i>Tamandua tetradactyla</i> (Linnaeus, 1758) | tamanduá-mirim | - | Especialista | Escansorial | - | sim | - | - | - | - |
| Primates | | | | | | | | | | |
| Cebidae | | | | | | | | | | |
| <i>Sapajus nigritus</i> (Goldfuss, 18-9) | macaco-prego | Mata atlântica | Generalista | Escansorial | - | sim | II | NT | - | - |
| Rodentia | | | | | | | | | | |
| Caviidae | | | | | | | | | | |
| <i>Cavia aperea</i> Erxleben, 1777 | preá | - | Generalista | Terrestre | - | sim | - | - | - | - |
| <i>Hydrochoerus hydrochaeris</i> (Linnaeus, 1766) | capivara | - | Generalista | Semiaquático | - | sim | - | - | - | - |
| Cricetidae | | | | | | | | | | |
| <i>Akodon</i> sp. | rato-do-chão | - | - | - | - | sim | - | - | - | - |
| <i>Euryoryzomys russatus</i> (Wagner, 1848) | rato-do-mato | Mata Atlântica | Especialista | Terrestre | - | sim | - | - | - | - |
| <i>Necomys lasiurus</i> (Lund, 1841) | rato-do-mato | - | Generalista | Terrestre | - | sim | - | - | - | DD |
| <i>Nectomys squamipes</i> (Brants, 1827) | rato-d'água | - | - | Semiaquático | - | sim | - | - | - | - |
| <i>Oligoryzomys nigripes</i> (Olfers, 1818) | rato-do-mato | - | Generalista | Escansorial | - | sim | - | - | - | - |
| <i>Oligoryzomys</i> sp. | rato-do-mato | - | - | - | - | sim | - | - | - | - |
| <i>Sooretamys angouya</i> (Fischer, 1814) | rato-do-mato | Mata atlântica | Generalista | Terrestre | - | sim | - | - | - | - |
| <i>Thaptomys nigrita</i> (Lichtenstein, 1829) | rato-do-chão | Mata atlântica | - | Terrestre | - | sim | - | - | - | - |
| Cuniculidae | | | | | | | | | | |
| <i>Cuniculus paca</i> (Linnaeus, 1766) | paca | - | Generalista | Terrestre | - | sim | III | - | - | VU |
| Dasyproctidae | | | | | | | | | | |
| <i>Dasyprocta azarae</i> Lichtenstein, 1823 | cutia | - | Generalista | Terrestre | - | sim | - | DD | - | - |

| Ordem/Família/Espécie | Nome popular | Endemismo | Uso do habitat | Hábito de vida | Exótica e/ou invasora | Risco epidemiológico | CITES | IUCN | BRASIL | PARANÁ |
|---|------------------|----------------|----------------|----------------|-----------------------|----------------------|-------|------|--------|--------|
| Echimyidae | | | | | | | | | | |
| <i>Myocastor coypus</i> (Molina, 1782) | ratão-do-banhado | - | Especialista | Semiaquático | - | sim | - | - | - | - |
| Erethizontidae | | | | | | sim | | | | |
| <i>Coendou</i> sp. | ouriço-cacheiro | - | - | - | - | sim | - | - | - | - |
| <i>Coendou (Sphiggurus) spinosus</i> (Cuvier, 1823) | ouriço-cacheiro | - | Generalista | Escansorial | - | sim | - | - | - | DD |
| Sciuridae | | | | | | sim | | | | |
| <i>Guerlinguetus brasiliensis</i> (Gmelin, 1788) | caxinguelê | Mata atlântica | Especialista | Escansorial | - | sim | - | - | - | - |
| <i>Guerlinguetus ingrami</i> (Thomas, 19-1) | caxinguelê | Mata atlântica | Especialista | Escansorial | - | sim | - | - | - | DD |

7.2.4. Síntese do grupo

O monitoramento de mamíferos terrestres silvestres resultou em um quantitativo de 53 espécies. A composição de espécies é formada tanto por especialistas no uso do habitat, quanto espécies mais generalistas. Dentre as espécies mais dominantes, foi destaque a presença de três espécies, o *Subulo gouazoubira*, *Hydrochoerus hydrochaeris* e o *Myocastor coypus*, as quais alavancaram as abundâncias nos locais onde foram registradas. Tais espécies foram mais incisivas em ambientes onde havia a presença de água e a presença de ambientes florestais, embora as espécies *Hydrochoerus hydrochaeris* e o *Myocastor coypus*, sejam espécies mais generalistas no uso do habitat sendo consideradas em algumas regiões do Brasil como espécies invasoras.

Ainda assim, a alta recorrência de felinos ao longo das fases de monitoramento, bem como o acréscimo de novos felinos na quinta fase de monitoramento circulando nas áreas de influência do empreendimento, é um bom indicativo que o local tem apresentado condições de abrigar e de propiciar recursos para essas espécies. Esse aumento no número de felinos, além de estar associado às condições ambientais (tamanho e qualidade do fragmento florestal), também pode estar associado a finalização das atividades de instalação do empreendimento. Com isso, há um retorno da fauna para fragmentos que estão mais próximos da UHE e conseqüentemente uma maior estabilização do ecossistema. A presença de espécies domésticas, como o gato-doméstico e cão-doméstico, representa uma grande ameaça não apenas para as populações de mamíferos existentes na área, assim como para a saúde pública. Pois, ambas as espécies são reservatórios de doenças, realizando o fluxo entre o ambiente natural e antrópico.

Através das análises estatísticas, é possível inferir que a ocorrência das espécies tem sido influenciada pela fase em que o monitoramento é realizado. Entretanto, há a presença de outras variáveis que não foram consideradas, que também estão atuando para essas variações. Além disso, é importante reiterar que o esforço amostral empregado em cada fase de monitoramento não foi igual, o que tende a refletir no número de espécies registradas e, conseqüentemente, nos resultados da PERMANOVA. Mas, conforme supracitado, a verificação da composição de espécies ao longo das fases tem mostrado um resultado positivo, já que está havendo a cada fase um registro maior de espécies mais especializadas no uso do habitat.

Considerando o esforço amostral empregado, a curva de rarefação apontou uma estabilização. O que indica que o esforço amostral empregado foi suficiente.

7.2.5. *Relatório fotográfico*



Foto 38: *Dicotyles tajacu* (cateto), pegadas, Sitio 01 - C1F5.



Foto 39: *Gracilinanus* sp. (cuica), Sitio 04 - C1F5.



Foto 40: *Cerdocyon thous* (cachorro-dormado), pegadas, Sitio 10 - C1F5.



Foto 41: *Hydrochoerus hydrochaeris* (capivara), fezes, Sitio 04 - C1F5.



Foto 42: *Oligoryzomys* sp. (rato-do-mato), Sitio 10 - C1F5.



Foto 43: *Puma concolor* (onça-parda), pegadas, Corredor Biodiversidade - C1F5.



Foto 44: *Panthera onca* (onça-pintada), pegadas, Sítio 01 – C1F5.



Foto 45: *Monodelphis* sp. (catita), Sítio 04 - C1F5.



Foto 46: *Tapirus terrestris* (anta), Sítio 01 – C2F5.



Foto 47: *Dasyprocta azarae* (cutia), Corredor Biodiversidade - C2F5.



Foto 48: *Cerdocyon thous* (cachorro-domato), Corredor Biodiversidade - C2F5.



Foto 49: *Puma concolor* (onça-parda), Corredor Biodiversidade - C2F5.



Foto 50: *Lontra longicaudis* (lontra), Corredor Biodiversidade - C2F5.



Foto 14: *Sylvilagus brasiliensis* (tapiti), Corredor Biodiversidade - C2F5.



Foto 51: *Dasyus novemcinctus* (tatu-galinha), Sitio 10 - C2F5.



Foto 52: *Herpailurus yagouaroundi* (gato-mourisco), Sitio 08 - C2F5.



Foto 53: *Tapirus terrestris* (anta), Corredor Biodiversidade - C2F5.



Foto 54: *Tamandua tetradactyla* (tamanduá-mirim), Corredor Biodiversidade- C2F5.



Foto 55: *Dasyprocta azarae* (cutia), Sitio 04- C2F5.



Foto 56: *Hydrochoerus hydrochaeris* (capivara), Sitio 04- C2F5.



Foto 57: *Herpailurus yagouaroundi* (gato-mourisco), Sitio 08- C2F5.



Foto 58: *Dasyus novemcinctus* (tatu-galinha), Sitio 08 - C2F5.



Foto 59: *Nasua nasua* (quati), Sitio 08 - C2F5.



Foto 60: *Didelphis albiventris* (gambá-de-orelha-branca), Sitio 10 - C2F5.



Foto 61: *Cerdocyon thous* (cachorro-do-mato), Sitio 11 - C2F5.



Foto 62: *Sylvilagus brasiliensis* (tapiti), Sitio 12 - C2F5.



Foto 63: *Mazama rufa* (veado-mateiro), Sitio 12 - C2F5.



Foto 64: *Procyon cancrivorus* (mão-pelada), pegadas, Sitio 08 - C2F5.

7.3. Quirópteros

7.3.1. Introdução

Existem no Brasil cerca de cerca de 184 espécies de morcegos, os quais estão distribuídos em nove famílias distintas (Abreu et al., 2023). Apesar de serem animais pouco carismáticos, os morcegos desempenham diversos serviços ecossistêmicos, agindo como dispersores de sementes, polinizadores e controladores de insetos (Gadea, 2019; Brasileiro, 2019).

Devido à atributos como sensibilidade às alterações ambientais, grande variedade de espécies e amplo espectro de locomoção e hábitos alimentares, os morcegos são considerados importantes indicadores de fragmentação dos habitats e da qualidade ambiental (Dutra et al., 2021). A expansão urbana e agrícola e o desenvolvimento econômico indiscriminado têm contribuído para a supressão dos habitats naturais dos morcegos, ocasionando a extinção de espécies mais vulneráveis e menos adaptadas (Pacheco et al., 2010). Em contrapartida, o mesmo processo de degradação tem contribuído para um aumento e uma maior dispersão de morcegos de hábitos de vida mais generalistas, como o *Artibeus lituratus*, *Eptesicus brasiliensis*, *Molossus rulus*, entre outros (Reis, Lima e Peracchi, 2002). Nessa perspectiva, através da composição de espécies é possível realizar um diagnóstico ambiental acerca da conservação ambiental de determinada área ou região (Martins, Rocha e Oliveira, 2024).

Dentre as atividades antrópicas, a implantação de usinas hidrelétricas possui um grande potencial degradador e poluidor do ambiente. Os impactos gerados por tal empreendimento tende a afetar diversas comunidades faunísticas, inclusive os morcegos. Com o enchimento dos reservatórios, os locais de abrigo de morcegos podem ser submersos, resultando na alteração do comportamento das espécies (Zortéa et al., 2010). Ademais, a fragmentação gerada pela supressão da vegetação durante a licença de instalação de construções hidrelétricas, tende a dificultar a dispersão de morcegos estritamente florestais ou proporcionar dificuldades para se estabelecerem em um novo ambiente (Colombo, 2018).

Isto posto, faz-se importante o acompanhamento das populações de morcegos nas áreas de influência da Usina Hidrelétrica do Baixo Iguaçu. Uma vez que tal estudo ajudará na proposição de medidas de mitigação, compensação e controle de possíveis impactos, e, também, favorecerá em um aumento do conhecimento das alterações promovidas por hidrelétricas sobre as comunidades de quirópteros no Brasil.

7.3.2. Resultados e Discussão

O monitoramento de quirópteros registrou 17 espécies e 2125 indivíduos, essas espécies estão distribuídas três famílias distintas Molossidae (S=1), Phyllostomidae (S=12) e Vespertilionidae (S=4). No Brasil, a família Phyllostomidae é a mais numerosa e a mais importante para o país (Reis et al., 2007). Ela abrange, atualmente, cerca de 51% da riqueza de morcegos existentes no Brasil (Abreu et al., 2023), é reconhecida por ter uma maior flexibilidade no uso do habitat, vivendo nos mais variados tipos de ambientes inclusive em áreas antrópicas (Fenton et al., 1992).

Dentre as espécies registradas, destacam-se as espécies *Artibeus lituratus* (morcego-das-frutas) (n=1120) e *Sturnira lilium* (morcego) (n=245) (Figura 19). Ambas as espécies abarcaram cerca 64% da abundância total registrada. Essas espécies são generalistas no uso do habitat, sendo que o *Artibeus lituratus* é uma espécie amplamente distribuída na região neotropical. No Brasil, o *Artibeus lituratus* é a mais conhecida devido a sua alta abundância em quase toda sua área de distribuição, com presença destacada para ambientes urbanos (Reis et al., 2007).

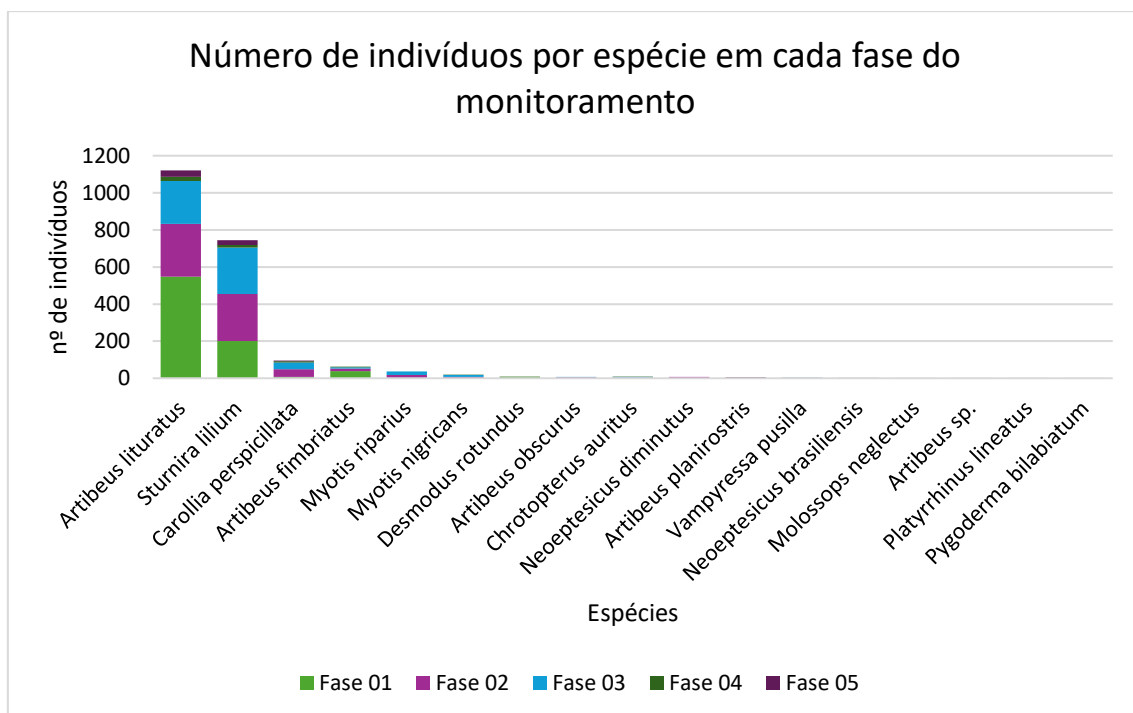


Figura 19. Número de espécies de morcegos registrados ao longo do monitoramento na UHE Baixo Iguaçu.

Ao longo do monitoramento, as três primeiras fases apontaram uma riqueza de 10 espécies e nas fases subsequentes, quarta e quinta fase, foram registradas

respectivamente, um total de oito e quatro espécies (Figura 20). A maior riqueza registrada para as primeiras fases de monitoramento, está condicionada, principalmente, pelo número de unidades amostrais executadas neste período, que foi maior do que na quarta e na quinta fase.

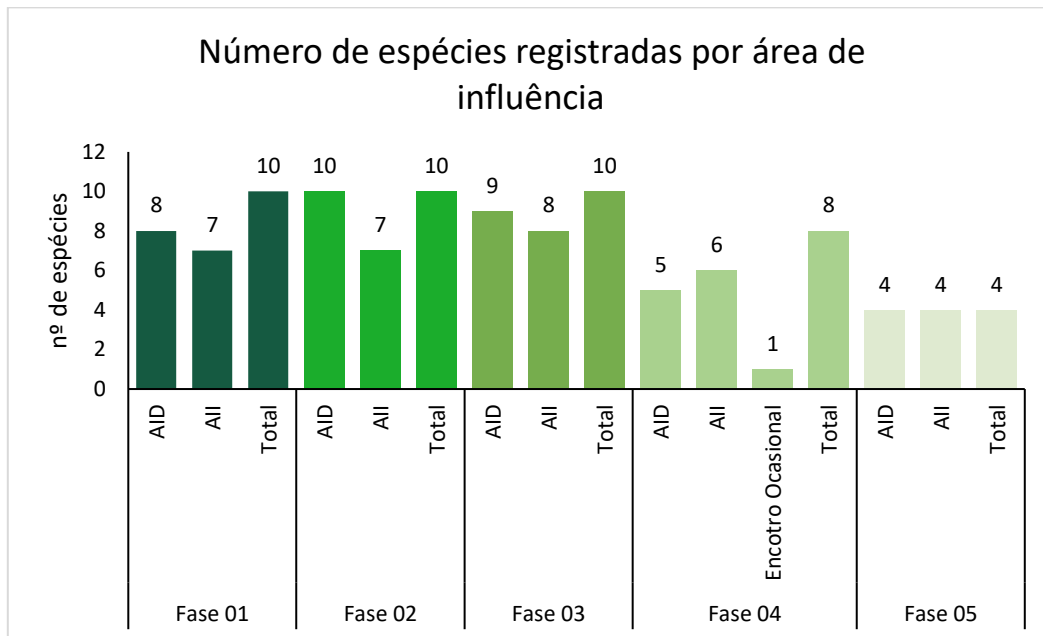


Figura 20. Número de espécies registradas por áreas de influência e fase do monitoramento.

Do total de espécies registradas, apenas três espécies foram recorrentes em todas as fases de monitoramento (Figura 21), *Artibeus lituratus*, *Sturnira lilium* e *Carollia perspicillata*. Essas espécies além de comuns ao longo do monitoramento, também foram muito abundantes elevando os quantitativos de números de indivíduos nas áreas onde foram registradas. Apesar da baixa discrepância no número de espécies registradas ao longo das fases de monitoramento, é importante destacar que cada fase contou com a presença de uma composição de espécies única. Para a primeira fase de monitoramento foram espécies exclusivas o *Artibeus* sp., *Molossops neglectus* e *Pygoderma bilabiatum*; na segunda fase de monitoramento houve o registro de apenas uma espécie, o *Neoptesicus diminutus*; na terceira fase houve o registro exclusivo da espécie *Platyrrhinus lineatus*; na quarta fase houve o registro da espécies exclusiva *Neoptesicus brasiliensis*; e, na quinta fase de monitoramento também houve o registro de apenas uma espécie de registro exclusivo, o *Artibeus planirostris* (Figura 21).

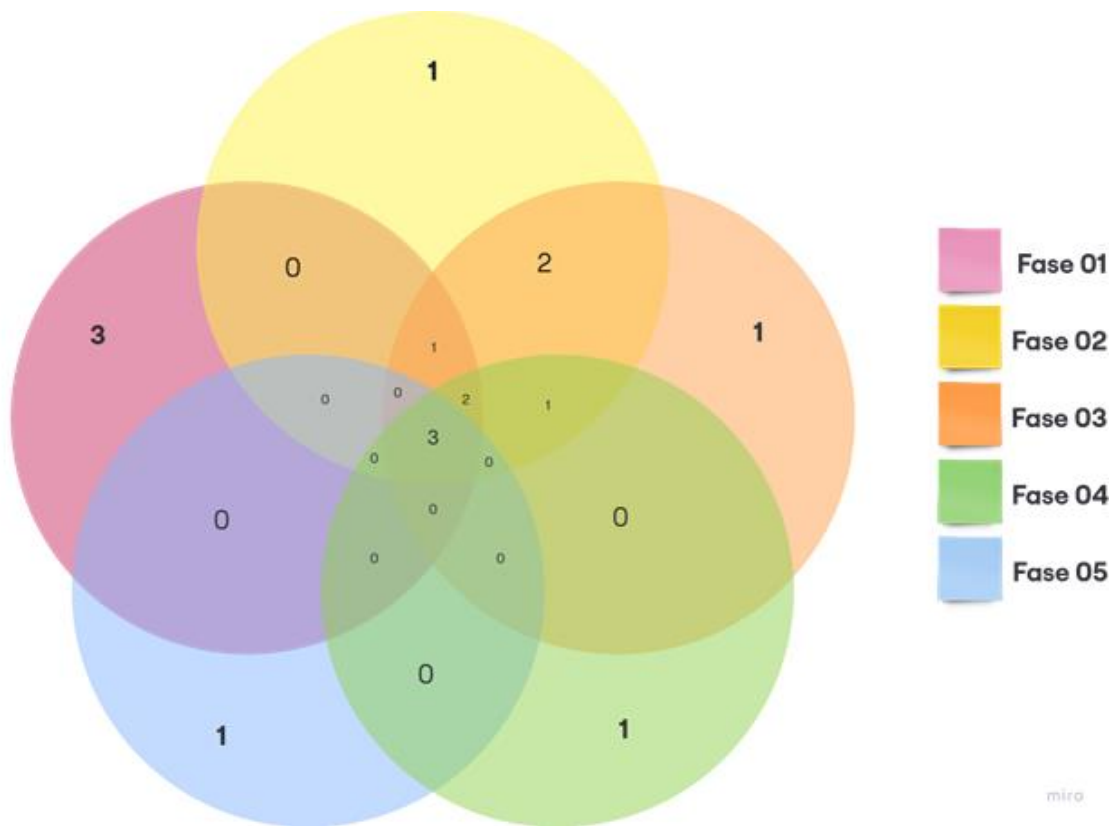


Figura 21. Diagrama de Venn apresentando a quantidade de espécies silvestres exclusivas e compartilhadas entre as fases. A figura ilustra as principais combinações de presença e ausência.

Nos comparativos de abundâncias, é notório que as primeiras fases de monitoramento, foram as que apresentaram um maior número de indivíduos (Figura 22), que conforme discutido acima pode estar atrelado ao maior número de unidades amostrais em comparação com as duas últimas fases de monitoramento. Além disso, nessas primeiras fases, as espécies registradas apresentaram abundâncias muito elevadas, mostrando-se muito dominantes nas áreas de estudo. Nas cinco fases de monitoramento as espécies mais dominantes foram o *Artibeus lituratus* e o *Sturnira liliium*. Essas espécies apresentam um quantitativo de indivíduos elevado para a primeira, segunda, terceira, quarta e quinta fase, alavancando as abundâncias em, respectivamente, 92%, 85%, 70% e 39%.

O *Artibeus lituratus* e o *Sturnira liliium* são espécies associadas à ambientes alterados, sendo comuns em ambientes em estágio inicial de regeneração (Schulze et al., 2000). Sendo assim, ao verificar a porcentagem que essas espécies representam em cada uma das fases, pode-se inferir que a qualidade ambiental nas áreas de estudo tem aumentado ao longo dos anos.

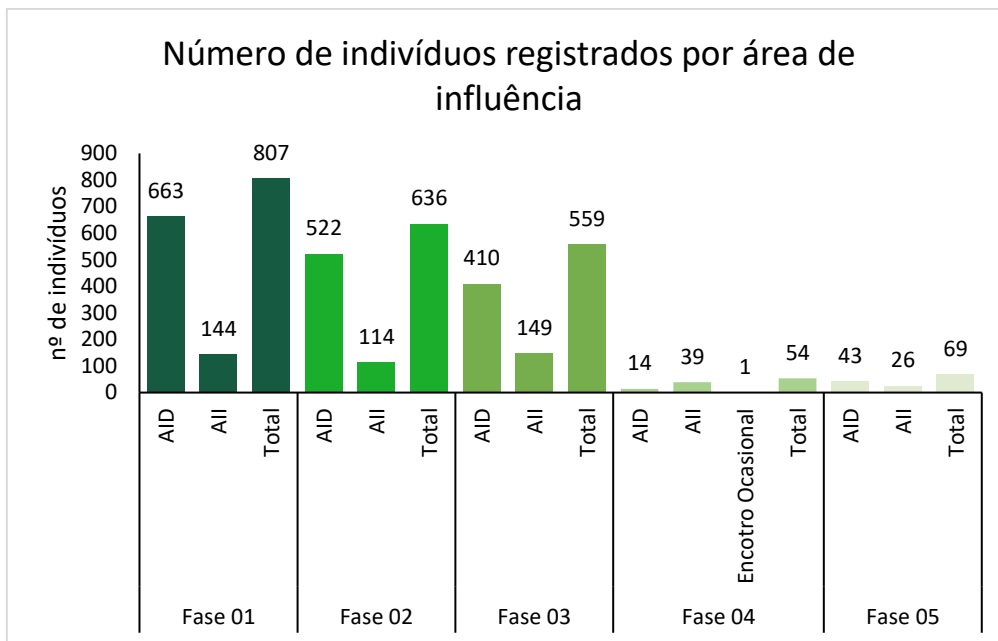


Figura 22. Número de indivíduos registradas por áreas de influência e fase do monitoramento.

Através da análise de boxplot (Figura 23), a maior mediana para a riqueza foi registrada durante a terceira fase de monitoramento, em que os valores mínimos registrados foi três e o máximo foi sete. Além disso, a terceira fase de monitoramento apresentou uma distribuição assimétrica dos dados, com uma maior concentração de unidades amostrais apresentando valores acima da mediana. A segunda fase de monitoramento apresentou um padrão de distribuição das riquezas similar a terceira fase, contudo a mediana foi menor e os valores mínimos e máximos foram, respectivamente, dois e sete. O que revela um maior desvio padrão ao compará-la à terceira fase. A primeira e a quarta fase apresentaram uma distribuição simétrica da riqueza, no entanto a mediana foi maior na primeira fase em detrimento da quarta fase. E enquanto na primeira fase os valores mínimos e máximos foram iguais dois e seis, na quarta fase o valor mínimo foi igual a um e o valor máximo foi igual a três. Entretanto, no conjunto de dados de riqueza da quarta fase, houve a presença de uma unidade amostral que se comportou como um *outlier*, apresentando um valor muito discrepante. E por fim, a quinta fase foi a que apresentou o menor valor de mediana, sendo que o primeiro quartil coincide com a mediana, ou seja, os valores de riqueza estão todos acima da mediana.

Considerando os resultados para abundância, a maior mediana foi registrada durante a primeira fase de monitoramento, o que revela a presença de espécies muito abundantes durante esta fase. Além disso, nesta fase a distribuição dos dados ocorre de maneira

simétrica em relação a mediana. A segunda e a terceira fase apresentaram valores de mediana bem próximos, todavia na segunda fase de monitoramento os valores de abundância se comportaram de maneira simétrica, enquanto na terceira fase houve uma distribuição assimétrica negativa, com uma maior concentração de unidades amostrais apresentando valores abaixo da mediana. A quarta fase de monitoramento apresentou a menor mediana para as abundâncias e uma distribuição assimétrica positiva, com valores concentrados acima da mediana. Contudo, na quarta fase houve a presença de um outlier, que apresentou uma abundância de 30 indivíduos. E por fim, a quinta fase, assim como para os dados de riqueza, os resultados da abundância se deu de maneira assimétrica em relação a mediana, sendo que o primeiro quartil coincide com a mediana.

Nessa perspectiva, realizando uma análise geral dos resultados apresentados para a riqueza e a abundância no *boxplot*, é possível notar que nas primeiras fases de monitoramento são as que mais se destacam em termos de quantitativos ao compará-las com as duas últimas fases. Além disso, que há uma maior homogeneização das abundâncias ao longo do tempo, o que revela a presença de espécies muito dominantes nas primeiras fases e uma maior equitabilidade durante as duas últimas fases. Esse resultado, conforme analisado na Figura 22 é o potencial reflexo da presença muito incisiva de espécies muito dominantes e generalistas no uso do habitat.

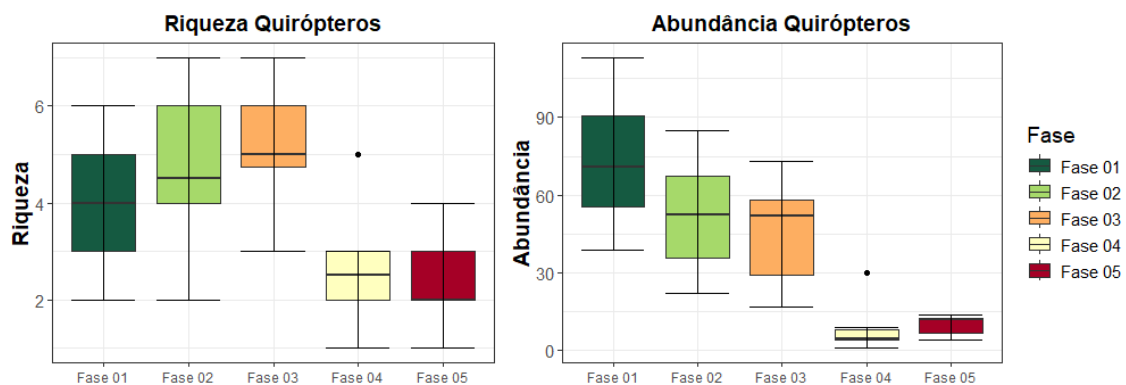


Figura 23. Gráficos de *boxplot* da variação da riqueza e da abundância de morcegos entre as fases de monitoramento na UHE Baixo Iguaçu.

Considerando apenas as unidades amostrais que foram recorrentes ao longo das fases de monitoramento, S01, S04, S08, S10, S11 e S12 (Tabela 11), o sítio amostral S01 obteve a sua maior riqueza de espécies durante a terceira fase (S=7) e uma maior abundância durante a primeira fase de monitoramento (n=65). Já o sítio amostral S04 apontou uma maior riqueza durante a segunda fase de monitoramento (S=7) e uma

maior abundância durante a primeira fase de monitoramento ($n=77$). Para o sítio amostral S08 a maior riqueza e abundância registrada foi na segunda fase ($S=7$, $n=81$). No sítio 10 a maior riqueza foi registrada durante a segunda fase ($S=4$) e a maior abundância foi registrada durante a primeira fase ($n=40$). O sítio 11 obteve uma riqueza de seis espécies na primeira e na segunda fase, todavia a maior abundância foi registrada durante a primeira fase, com o registro de 113 espécimes. E o sítio amostral S12, obteve a maior riqueza na terceira e na quinta fase ($S=4$), e uma maior abundância durante a terceira fase ($n=53$).

As riquezas e abundâncias estiveram mais concentradas nas primeiras fases de monitoramento, sendo que os resultados de abundância em todas as unidades amostrais estiveram vinculados à presença de espécies generalistas no uso do habitat.

Considerando os valores totais registrados por unidade amostral, foi perceptível uma maior diversidade de morcegos no sítio amostral S11 ($H'=1,34$) (Tabela 12). Tal sítio está inserido na AID, nas proximidades do que era o canteiro de obras, e apresenta uma comunidade de morcegos majoritariamente generalista no uso do habitat. Valendo ressaltar que no local, houve o registro na primeira fase do morcego hematófago *Desmodus rotundus*. Não obstante, a menor diversidade registrada foi no sítio amostral S03 ($H'=0,86$) (Tabela 12). Em relação a equitabilidade, nenhuma unidade amostral apontou um índice de Pielou maior que 0,80. O que demonstra a presença de espécies muito dominantes em todos os locais amostrados.

Tabela 12. Índices de diversidade (Shannon- H') e equitabilidade (Pielou- J) e riqueza e abundância registradas ao longo das fases de monitoramento.

| Ponto | Riqueza | Abundância | Shannon (H') | Equitabilidade (J) |
|----------|---------|------------|------------------|------------------------|
| Corr_Bio | 5 | 38 | 1,18 | 0,73 |
| S1 | 9 | 160 | 1,14 | 0,52 |
| S2 | 9 | 178 | 1,14 | 0,52 |
| S3 | 6 | 234 | 0,86 | 0,48 |
| S4 | 7 | 229 | 1,02 | 0,52 |
| S5 | 6 | 197 | 1,10 | 0,61 |
| S6 | 7 | 253 | 1,02 | 0,52 |
| S7 | 9 | 142 | 1,19 | 0,54 |
| S8 | 9 | 183 | 1,30 | 0,59 |
| S9 | 8 | 104 | 1,07 | 0,52 |
| S10 | 4 | 124 | 0,99 | 0,71 |
| S11 | 9 | 186 | 1,34 | 0,61 |
| S12 | 5 | 96 | 0,96 | 0,59 |

Através da análise de agrupamento de Cluster, é possível verificar que houve apenas a formação do grupo roxo, em que as unidades amostrais incluídas nele compartilham entre si cerca de 50% da composição de espécies. Todavia, algumas unidades amostrais apresentaram formações de pequenos subgrupos. Desse modo, foi observado que as unidades amostrais S04 e S03 compartilharam entre si cerca de 78% da composição de espécies; S08, S02, S01, S11, compartilharam entre si cerca de 81%; as unidades amostrais S06 e S05 compartilharam entre si cerca de 67% da composição de espécies; e, as unidades amostrais S10, S07 e S12, que compartilharam entre si cerca de 62% (Figura 24). Não obstante, a unidades amostrais que mais difere em composição de espécies ao longo do monitoramento foi o corredor da biodiversidade.

Dendrograma Quirópteros

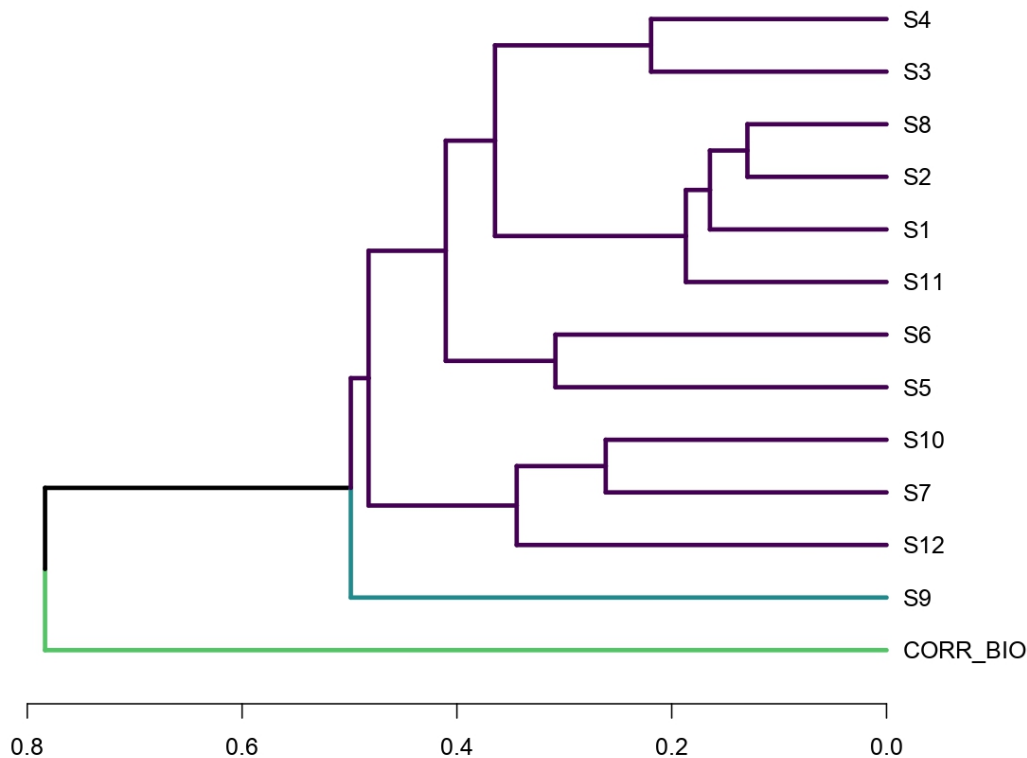


Figura 24. Agrupamento das áreas amostrais com relação à dissimilaridade na composição de espécies de morcegos, de acordo com os dados de monitoramento. Valores mais próximos de zero indicam áreas menos similares (correlação cofenética 0.91).

De modo à averiguar as potenciais variáveis que estão influenciando a ocorrência de espécies ao longo do monitoramento, foi realizado o teste estatístico PERMANOVA. Nesse sentido, observando os resultados do referido teste, é possível inferir que das variáveis testadas, a que se mostrou mais significativa para as alterações observadas, foi a variável Fase, a qual explica os dados obtidos em 17%. A variável Clima, foi responsável por explicar apenas 4% das alterações observadas. Apesar da fase realmente ter sido o fator de maior peso para as variações observadas ao longo do monitoramento, é importante destacar que cerca de 79% das alterações estão vinculadas a outras variáveis não testadas no presente estudo.

Tabela 13. Resultados da análise PERMANOVA para morcegos. Fases executadas referem-se a fase 01, 02, 03, 04 e 05 de monitoramento, e, clima refere-se à variação de temperatura anual.

| Variáveis | Df | R ² | F | Pr(>F) |
|------------|----|----------------|------|---------|
| Fase | 4 | 0,17 | 4,72 | 0,0001* |
| Clima | 1 | 0,04 | 4,42 | 0,0004* |
| Fase:Clima | 4 | 0,05 | 1,47 | 0,0408 |
| Resíduos | 82 | 0,74 | NA | NA |
| Total | 91 | 1,00 | NA | NA |

Obs. *Valores de p significativos.

Para avaliar a suficiência amostral empregada nas amostragens de morcegos, foi realizada a curva de rarefação (Figura 25). A curva de rarefação apresenta a riqueza observada, representada pela linha contínua, e a riqueza estimada, representada pela linha tracejada. Ao longo do monitoramento foram registradas uma total de 339 espécies, contudo a curva de rarefação aponta para um acréscimo de, aproximadamente, cerca de três espécies caso o esforço amostral fosse dobrado. Contudo, em ambientes tropicais a busca por suficiência amostral não é uma meta atingível, devido à grande diversidade de espécies (Magurran, 2011). Assim sendo, é possível considerar que o esforço amostral empregado na amostragem de morcegos foi suficiente.

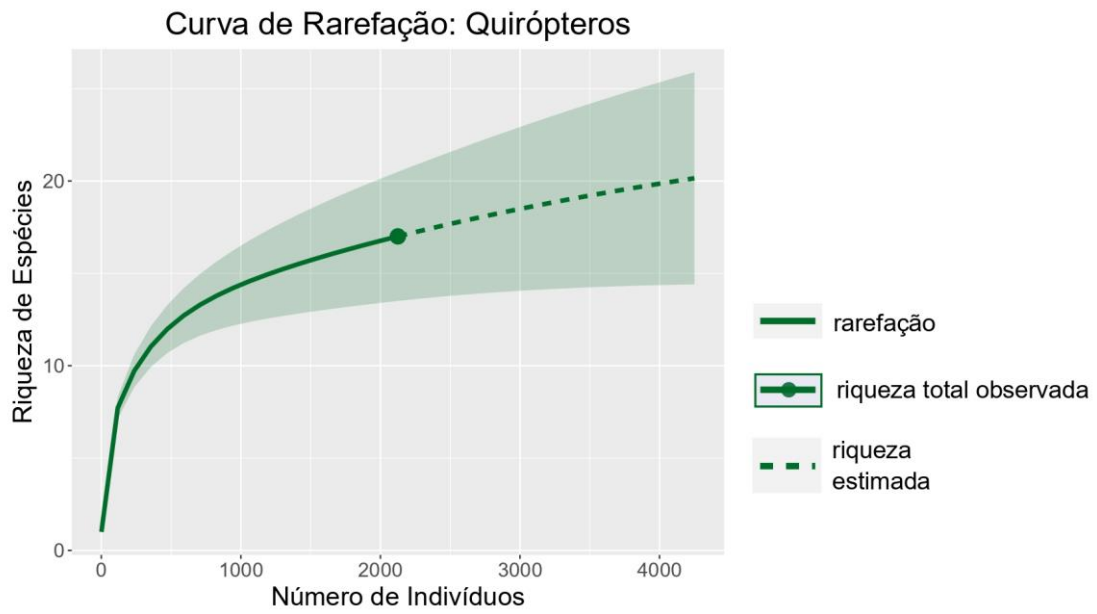


Figura 25. Curva de rarefação para morcegos utilizando o estimador de riqueza Chao 1. Linha contínua é a riqueza observada e a linha tracejada é a riqueza estimada.

7.3.3. Espécies de interesse para conservação

a. Espécies ameaçadas

Não foram registradas espécies de quirópteros nas listas de espécies ameaçadas de extinção (Tabela 14).

b. Espécies endêmicas, raras ou não descritas pela ciência

Não foram registradas espécies endêmicas de morcegos (Tabela 14).

c. Espécies de importância econômica, xerimbabos e/ou cinegéticas

Nenhuma espécie de morcego registrada possui interesse econômico ou cinegético (Tabela 14).

d. Espécies migratórias

Nenhuma espécie de morcego registrada se configura como migratória (Tabela 14).

e. Espécies bioindicadoras

Não foram registradas espécies de morcegos bioindicadores para o monitoramento (Tabela 14).

f. Risco Epidemiológico ou exótica

Os morcegos, assim como os demais animais silvestres, são considerados reservatórios e transmissores de doenças. E uma das doenças mais atreladas aos morcegos é a raiva, principalmente as espécies hematófagas (e.g. *Desmodus rotundus*) (Reis et al., 2007). Entretanto, alguns trabalhos também relatam a presença desse vírus em outras espécies não-hematófagas (e.g. De Deus, Becer e Navarro, 2003; Albas et al., 2011), já que elas podem se infectar ao realizar interações sociais com os morcegos hematófagos portadores do vírus (Carneiro et al., 2009).

Nessa perspectiva, o principal risco epidemiológico do *D. rotundus* registrado neste trabalho, é como vetor do vírus da raiva. Este morcego pode transmitir a raiva para humanos e outros mamíferos durante sua alimentação, por meio da saliva presente na mordida. É um vetor crucial na epidemiologia da raiva em muitas regiões da América Latina. Sua presença, especialmente em áreas onde habitats naturais estão fragmentados, requer vigilância constante e estratégias integradas de controle para minimizar os riscos à saúde pública e animal (Reis et al., 2007).

Tabela 14. Espécies de quirópteros de interesse para conservação, registradas durante o monitoramento de fauna. Status de ameaça: NT – Quase ameaçada, EN- Em perigo, VU – Vulnerável, CR – Criticamente ameaçada.

| Ordem/Família/Espécie | Nome popular | Dieta | Habitat | Uso do habitat | Endemismo | Hábito de vida | CITES | IUCN | BRASIL | PARANÁ |
|--|-------------------------|------------|--|----------------|-----------|----------------|-------|------|--------|--------|
| Chiroptera | | | | | | | | | | |
| Molossidae | | | | | | | | | | |
| <i>Molossops neglectus</i> Williams & Genoways, 198- | morcego | Insetívoro | - | - | - | Voador | - | - | - | - |
| Phyllostomidae | | | | | | | | | | |
| <i>Artibeus (Artibeus) fimbriatus</i> Gray, 1838 | morcego | Frugívoro | Florestas | Generalista | - | Voador | - | - | - | - |
| <i>Artibeus (Artibeus) lituratus</i> (Olfers, 1818) | morcego-das-frutas | Frugívoro | Florestas | Generalista | - | Voador | - | - | - | - |
| <i>Artibeus (Artibeus) obscurus</i> (Schinz, 1821) | morcego | Frugívoro | florestas | Generalista | - | Voador | - | - | - | - |
| <i>Artibeus (Artibeus) planirostris</i> (Spix, 1823) | morcego | Frugívoro | Florestas | Generalista | - | Voador | - | - | - | - |
| <i>Artibeus</i> sp. | morcego | Frugívoro | florestas | Generalista | - | Voador | - | - | - | - |
| <i>Carollia perspicillata</i> (Linnaeus, 1758) | morcego | Frugívoro | Túneis/sub-bosque | Generalista | - | Voador | - | - | - | - |
| <i>Chrotopterus auritus</i> (Peters, 1856) | morcego | Carnívoro | Cavernas/fissuras/ocos de árvores | Generalista | - | Voador | - | - | - | - |
| <i>Desmodus rotundus</i> (É. Geoffroy St.-Hilaire, 1810) | morcego-vampiro-comum | Hematófago | Cavernas/fissuras/ocos de árvores | Especialista | - | Voador | - | - | - | - |
| <i>Platyrrhinus lineatus</i> (É. Geoffroy St.-Hilaire, 1810) | morcego-de-linha-branca | Frugívoro | Florestal | Especialista | - | Voador | - | - | - | - |
| <i>Pygoderma bilabiatum</i> (Wagner, 1843) | morcego | Frugívoro | Florestas/ambientes antrópicos | Generalista | - | Voador | - | - | - | - |
| <i>Sturnira lilium</i> (É. Geoffroy St.-Hilaire, 1810) | morcego | Frugívoro | Florestas | Generalista | - | Voador | - | - | - | - |
| <i>Vampyressa pusilla</i> (Wagner, 1843) | morcego | Frugívoro | Florestas | - | - | Voador | - | - | - | - |
| Vespertilionidae | | | | | | | | | | |
| <i>Neoptesicus brasiliensis</i> (Desmarest, 1819) | morcego | Insetívoro | Florestas | Generalista | - | Voador | - | - | - | - |
| <i>Neoptesicus diminutus</i> Osgood, 1915 | morcego | Insetívoro | Florestas | Generalista | - | Voador | - | - | - | - |
| <i>Myotis nigricans</i> (Schinz, 1821) | morcego | Insetívoro | Florestas | Generalista | - | Voador | - | - | - | - |
| <i>Myotis riparius</i> Handley, 196- | morcego | Insetívoro | Florestas/Forrageio em ambientes aquáticos | Generalista | - | Voador | - | - | - | - |

7.3.4. Síntese do grupo

Os morcegos registrados durante o monitoramento são espécies comuns, havendo um maior destaque para as espécies *Artibeus lituratus* e *Sturnira lilium*, onde foi possível observar uma dominância em todas as fases do monitoramento. Com relação a diversidade de espécies as fases um, dois e três do monitoramento registraram, ambas, 10 espécies diferentes. Contudo, nenhuma das espécies registradas mostram-se especialistas no uso do habitat. Dentre as espécies o *Desmodus rotundus*, espécies de maior interesse epidemiológico, foi registrado na fase 1 e na fase 4 deste trabalho. Considerando o esforço amostral empregado e os resultados apontados pelo estimador de riqueza, pode-se inferir que o esforço amostral empregado foi suficiente para as amostragens de morcegos.

7.3.5. Relatório fotográfico



Foto 65. *Artibeus lituratus*, Sítio 4.



Foto 66. *Sturnira lilium*, Sítio 4



Foto 67. *Carollia perspicillata*, Sítio 8.



Foto 68. *Artibeus planirostris*, Sítio 12.

7.4. Herpetofauna

7.4.1. Introdução

Pertencentes ao grupo da herpetofauna, os anfíbios e os répteis estão distribuídos na maioria dos continentes, havendo uma maior concentração de espécies entre os trópicos (Frost, 2024; Uetz et al., 2023). Esse fato é explicado não apenas pelos hábitos de vida desses táxons, mas também pela variedade de microambientes e pelo contexto biogeográfico da região (Bernarde, 2012; Vasconcelos et al., 2019). O Brasil por sua vez, é detentor de uma grande biodiversidade de anfíbios e répteis, e estima-se que do total de espécies descritas mundialmente para ambos os grupos 10% estão em território brasileiro (Guedes et al., 2023; Uetz et al., 2023; Frost, 2024).

O país não só conta com uma das maiores biodiversidade de anfíbios e répteis, como também é detentor de uma grande parcela de espécies endêmicas, sendo que a maioria desses registros estão concentrados no bioma Mata Atlântica (Haddad et al., 2013; Guedes et al., 2023). No entanto, a conversão das áreas naturais para fins econômicos, como agropecuária, construção civil, agricultura e silvicultura, é apontado como uma das principais ameaças para a conservação da herpetofauna (Martins e Molina, 2008; Luedtke et al., 2023). De acordo com a última atualização da lista nacional de espécies ameaçadas de extinção, cerca de 130 espécies da herpetofauna estão listadas em alguma categoria de ameaça (Brasil, 2022).

A conservação da herpetofauna é um fator chave para a manutenção dos ecossistemas, pois estes desempenham importantes papéis ecológicos, seja no controle populacional de pequenos vertebrados e invertebrados, ou como presas de uma gama de animais (Bernarde, 2012). Além disso, devido a características morfológicas, a baixa capacidade de dispersão no ambiente, a especialização no uso do habitat e a presença de espécies topo de cadeia (e.g. crocodilianos), os anfíbios e os répteis possuem um grande potencial de serem utilizados como modelos de mensuração da qualidade do habitat (Prestes e Vincenci, 2010; Juncá et al., 2017; Stark et al., 2022). Desse modo, é possível inferir através da presença ou ausência de determinadas espécies da herpetofauna a qualidade ambiental e o nível de sensibilidade às alterações antropogênicas.

Nesse contexto, a instalação de uma hidrelétrica provoca mudanças agressivas na dinâmica do fluxo de água e da biodiversidade dos rios e ecossistemas associados, comprometendo diretamente a qualidade do habitat de anfíbios e répteis (Rodrigues, 2023). Sendo assim, o monitoramento da herpetofauna na UHE Baixo Iguaçu, propõe-se avaliar através de parâmetros ecológicos (e.g. distribuição geográfica, taxa de

crescimento, declínio populacional, composição de espécies), como as populações de anfíbios e répteis estão respondendo às alterações provocadas pela operação do empreendimento.

7.4.2. Resultados e Discussão

Foram registradas ao longo das fases de monitoramento um total de 53 espécies da herpetofauna e 6553 indivíduos, os quais estão distribuídos em diversas ordens e famílias (Figura 26). Dentre as famílias registradas, as mais representativas em número de espécies foram as famílias Hylidae, Leptodactylidae e Dipsadidae, todas elas com 10 espécies (Figura 26). Os representantes das famílias de anuros hílídeos e leptodactilídeos representaram cerca de 38% da riqueza registrada até o momento para monitoramento como um todo. Os representantes da família Hylidae estão entre os anuros mais diversificados e bem-sucedidos, possuem natureza arborícola e são facilmente diferenciados das outras famílias devido a presença de discos adesivos (de Oliveira, 2012). Atualmente eles compõem a família mais numerosa dentre os anuros, abarcando cerca de 1062 espécies, das quais 433 são encontradas em território brasileiro (Frost, 2024). Já a família Leptodactylidae abrange as espécies conhecidas popularmente como rãs. A maioria das espécies pertencentes a essa família possuem hábitos de vida generalistas, sendo encontradas próximo à ambientes lênticos ou em áreas de brejo (Maneyro et al., 2017). Em relação ao dipsadídeos, esta é a família mais diversas de serpentes no Brasil (Guedes et al., 2023) e está amplamente distribuída pelo país. Tal família abriga serpentes de pequeno a médio porte, com dentição opistóglifa, que apresentam dentes sulcados na parte posterior do maxilar superior, usados para introduzir o veneno em suas presas (da Rocha & da Silva, 2015). São consideradas inofensivas, mas podem causar acidentes de importância médica. Várias espécies desta família eram alocadas anteriormente na família Colubridae.

Cabe destacar que também foram registrados números consideráveis de indivíduos da espécie exótica *Aquarana catesbeiana* (rã-touro) (n=28), a qual tem sido responsável por uma ampla gama de distúrbios à biodiversidade, em especial, redução de populações de espécies nativas e desequilíbrios ecológicos e ecossistêmicos (Melo-Dias et al., 2023).

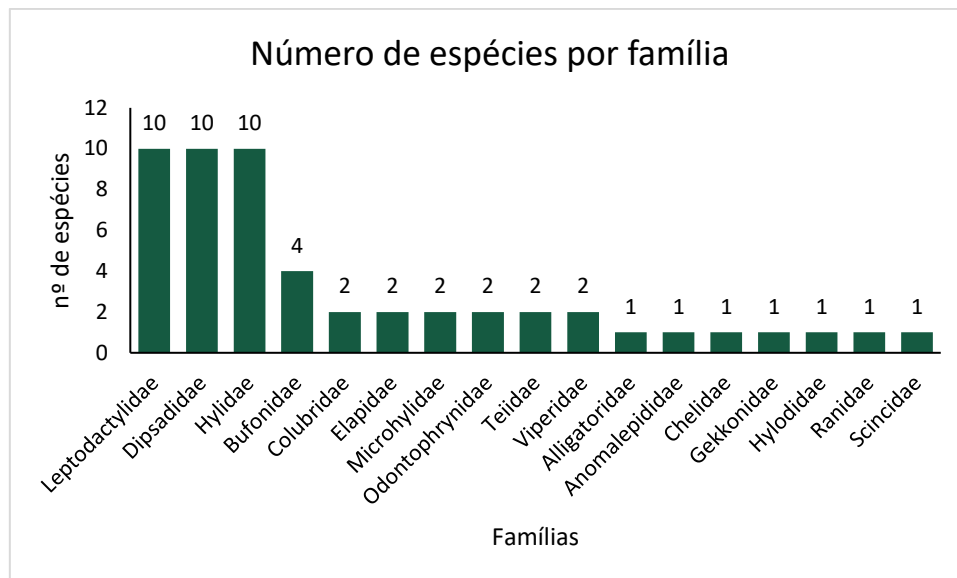


Figura 26. Número de espécies de anfíbios e répteis registrados por família ao longo do monitoramento na UHE Baixo Iguaçu.

A espécie mais dominante do monitoramento foi a perereca *Dendropsophus nanus* (n=1833) (Figura 27), a qual foi mais recorrente durante a Fase 1 do monitoramento. A *D. nanus* é uma espécie comum e generalista no uso do habitat, ocorrendo em todo território brasileiro, utiliza preferencialmente corpos d'água lânticos localizados em áreas abertas para reprodução (Haddad et al., 2013). Inclusive, ao longo das fases o maior número de espécimes de *D. nanus* foi registrado no sítio amostral S07 (n=251) e no sítio amostral S05 (n=221), ambos são locais que possuem manchas de áreas abertas seja por matriz de pastagem ou soja, o que atende as especificidades da espécie quanto ao uso do habitat. Em seguida, têm-se as espécies *Physalaemus cuvieri* (rã-cachorro) (n=976) e *Dendropsophus minutus* (perereca-rajada) (n=931) (Figura 27). Ambas possuem as mesmas especificidades no uso do hábitat que *D. nanus*, sendo consideradas espécies generalistas e amplamente distribuídas em território nacional.

Tais espécies descritas acima como mais dominantes, alavancaram a abundância em cerca de 58%. Apesar de serem espécies comuns e que possuem alta tolerância às alterações antrópicas, é importante destacar que são espécies extremamente relevantes no controle de pragas agrícolas e insetos vetores, os quais causam prejuízos exorbitantes à economia e à saúde da população humana.

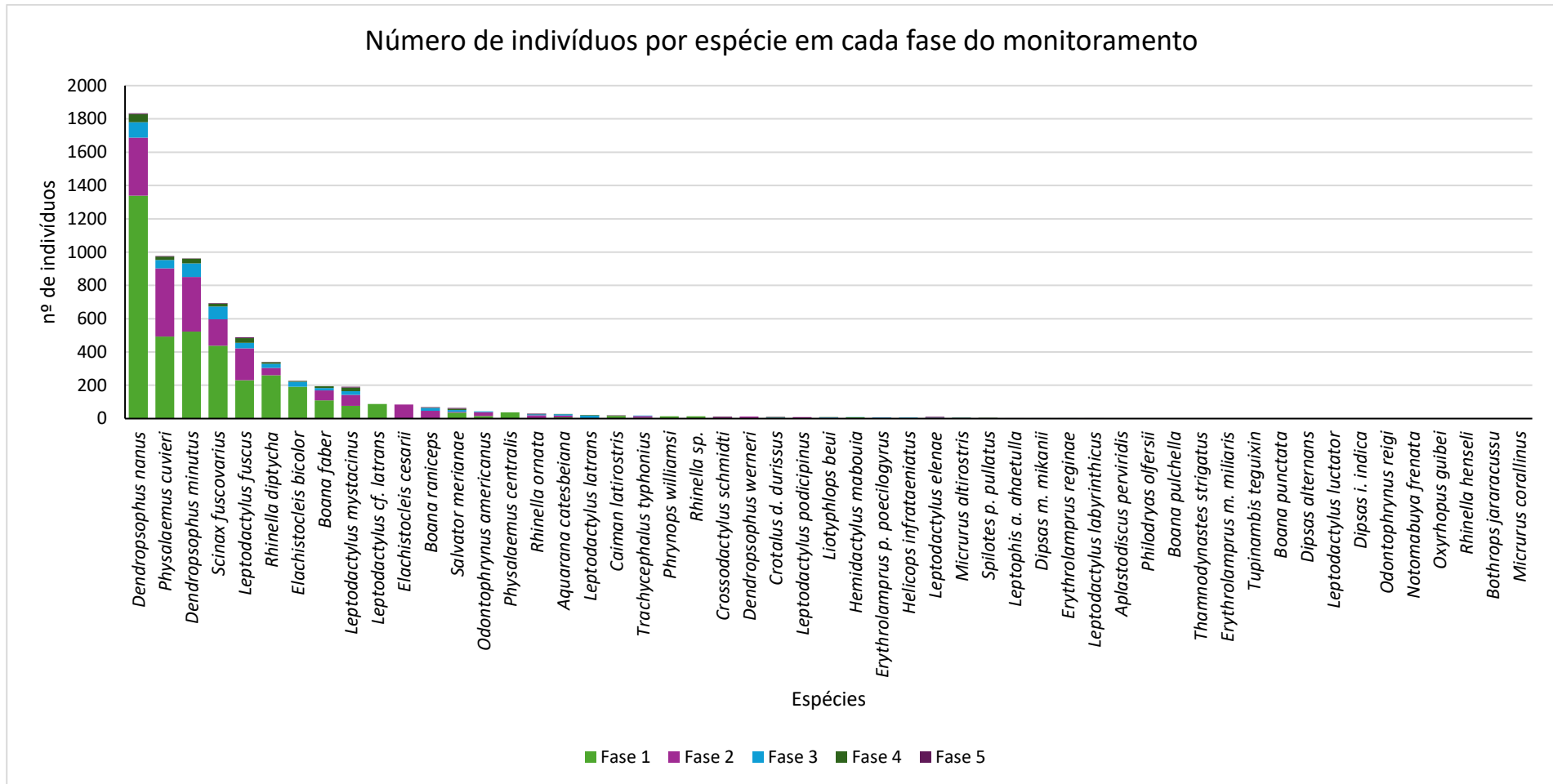


Figura 27. Número de indivíduos registrados por espécie ao longo das fases de monitoramento na UHE Baixo Iguaçu.

Nos comparativos de riqueza entre as fases executadas do monitoramento de herpetofauna, a Fase 2 foi a que contou com o maior número de espécies registradas (S=35), seguida da Fase 3 (S=28), da Fase 1 (S=27), da Fase 4 (S=22) e da Fase 5 de monitoramento (S=19) (Figura 28). Nas três primeiras fases, em que foram executadas amostragens em 12 sítios amostrais (S01, S02, S03, S04, S05, S06, S07, S08, S09, S10, S11 e S12), há uma maior concentração de espécies na AID ao compará-la à All. Porém, é provável que o resultado tenha sido influenciado pelo maior número de sítios amostrais presentes em AID. Nas demais, fases (quarta e quinta), há uma inversão, em que a All passa a apresentar uma maior riqueza em detrimento da AID (Figura 28). Mas, diferente das primeiras fases, a quantidade de unidades amostrais é igual para ambas as áreas de influência.

Os ambientes onde estão localizados os sítios amostrais da All apresentam, em geral, maior grau de conservação quando comparados às áreas pertencentes à AID. Essa característica favorece uma maior diversidade de herpetofauna. Adicionalmente, ambientes com maior complexidade estrutural geralmente promovem a ocorrência de espécies com maior especialização no uso do habitat.

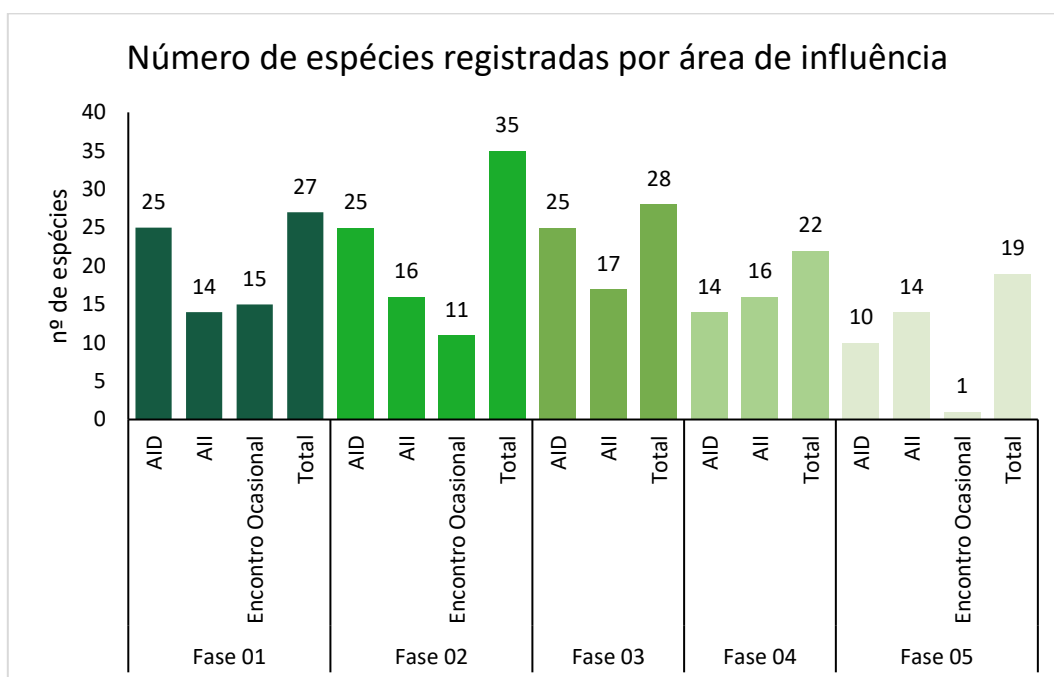


Figura 28. Número de espécies registradas por áreas de influência e fase do monitoramento.

Embora tenha sido registrada uma baixa variação no número de espécies ao longo das diferentes fases de monitoramento, cada fase apresentou uma composição distinta de espécies. Assim, com base na análise da composição, verificou-se que oito espécies estiveram presentes em todas as etapas do monitoramento (Figura 29).

Ademais, também foram registradas espécies de registro exclusivo, sendo que na primeira fase foram contabilizadas seis espécies de registro exclusivo, na segunda fase foram registradas nove espécies exclusivas, na terceira fase foram registradas três espécies, na quarta fase apenas duas espécies foram encontradas exclusivas e na quinta fase houve o registro de quatro espécies de registro exclusivo (Figura 29; Tabela 15). Considerando todas as espécies registradas durante as cinco fases do monitoramento, o número de espécies consideradas especialistas no uso do hábitat, é baixo ($S=4$). Sendo elas, dois anfíbios anuros (*Crossodactylus schmidti* e *Aplastodiscus perviridis*) e dois répteis (*Phrynops williamsi* e *Liotyphlops beui*). Com exceção do cágado-rajado (*P. williamsi*), as demais espécies habitam, em geral, áreas de mata em bom estado de preservação. O que indica que as áreas monitoradas possuem características capazes de abrigar espécies mais sensíveis às alterações antrópicas devido à boa qualidade do hábitat monitorado. Nesse contexto, destaca-se a importância do "Corredor da Biodiversidade" na conexão entre fragmentos localizados nas áreas de influência da UHE e o PARNA do Iguaçu. Essa conectividade contribui para a manutenção do fluxo gênico entre as populações, o que resulta em maior diversidade genética e menor risco à extinção local de populações de espécies da herpetofauna na região (Primack & Rodrigues, 2001).

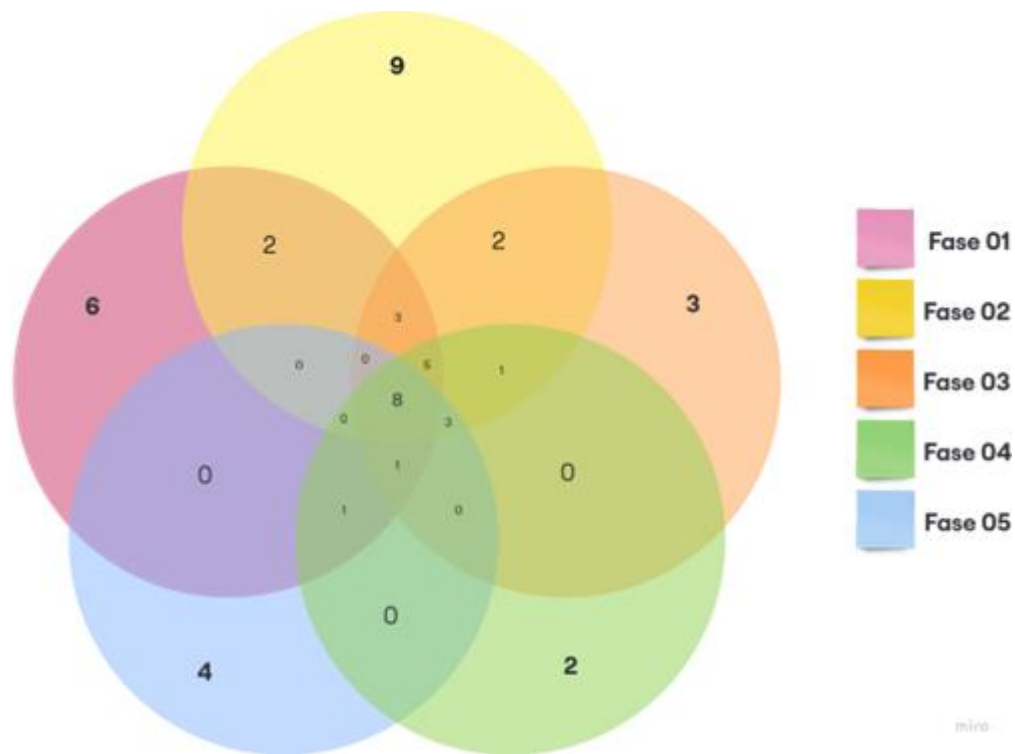


Figura 29. Diagrama de Venn apresentando a quantidade de espécies silvestres exclusivas e compartilhadas entre as fases. A figura ilustra as principais combinações de presença e ausência.

Tabela 15. Espécies exclusivas de anfíbios e répteis em cada uma das fases de monitoramento de fauna.

| Fase 1 | Fase 2 | Fase 3 | Fase 4 | Fase 5 |
|----------------------------------|----------------------------------|---------------------------------|-------------------------------|-----------------------------------|
| <i>Aplastodiscus perviridis</i> | <i>Boana pulchella</i> | <i>Helicops infrataeniatus</i> | <i>Bothrops jararacussu</i> | <i>Boana punctata</i> |
| <i>Leptodactylus cf. latrans</i> | <i>Dendropsophus weneri</i> | <i>Notomabuya frenata</i> | <i>Leptodactylus luctator</i> | <i>Erythrolamprus m. miliaris</i> |
| <i>Philodryas olfersii</i> | <i>Dipsas alternans</i> | <i>Thamnodynastes strigatus</i> | | <i>Odontophrynus reigi</i> |
| <i>Phrynops williamsi</i> | <i>Dipsas i. indica</i> | | | <i>Rhinella henseli</i> |
| <i>Physalaemus centralis</i> | <i>Elachistocleis cesarii</i> | | | |
| <i>Rhinella sp.</i> | <i>Leptodactylus podicipinus</i> | | | |
| | <i>Micrurus corallinus</i> | | | |
| | <i>Oxyrhopus guibei</i> | | | |
| | <i>Tupinambis teguixin</i> | | | |

Já em relação ao número de indivíduos registrados em cada uma das fases de monitoramento, os maiores números de espécimes foram registrados durante a primeira e segunda fase, respectivamente 3910 e 1870 indivíduos (Figura 30). As demais fases apresentaram menores valores de abundância (Figura 30). De modo decrescente ficou da seguinte forma, a terceira fase com o registro de 516 espécimes, a quarta fase com o registro de 214 e, a quinta fase com o registro de 43 espécimes (Figura 30). Na primeira fase de monitoramento a espécie que alavancou os quantitativos de abundância foi a *Dendropsophus nanus* (n=1339), que representou cerca de 34% da abundância registrada para essa fase. Na segunda fase a abundância foi alavancada pela presença do *Physalaemus cuvieri* (rã-cachorro) (n=411), o qual abarcou cerca de 22% da abundância registrada para a segunda fase. Já na terceira e quarta fase a espécie que alavancou os resultados de abundância foi, novamente, a *D. nanus* (n=92 e n=49). Por fim, na quinta fase, não houve nenhuma espécie que tenha se destacado em termos de abundância, todas espécies tiveram cinco ou menos registros. Tanto, *D. nanus* como *P. cuvieri* conforme ora mencionado, são espécies generalistas no uso do habitat e que usualmente são registradas em grande número (Haddad et al. 2013).

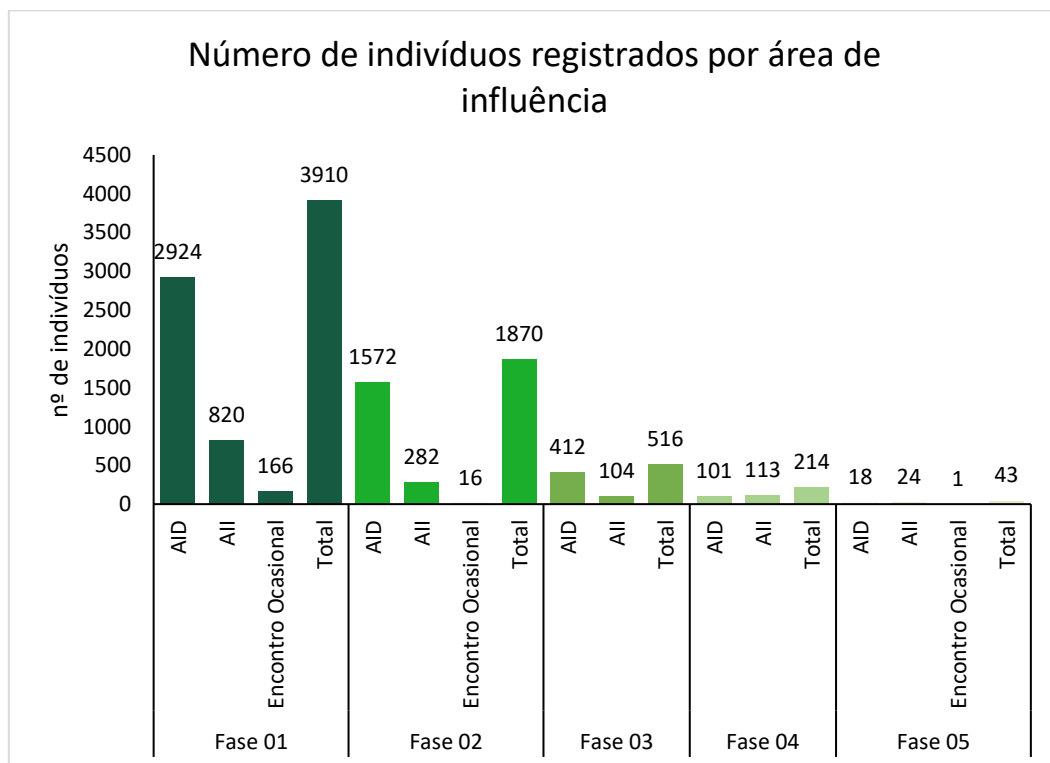


Figura 30. Número de indivíduos registrados por áreas de influência e fase do monitoramento.

Nas análises riqueza e abundâncias apresentadas no gráfico de boxplot (Figura 31), é notório que a primeira fase de monitoramento apresentou uma maior mediana ao compará-la às demais fases. Contudo, para a riqueza, na terceira fase há uma maior dispersão dos dados, uma vez que o desvio padrão apresentado para essa fase é maior do que o apresentado nas fases posteriores. Outro padrão relacionado a riqueza registrada na primeira fase é que a distribuição das riquezas se dá de maneira simétrica, apontando que pelo menos 50% dos dados encontram-se com valores acima da mediana e 50% encontram-se com valores abaixo da mediana. A quinta fase de monitoramento é a que apresenta o menor valor de mediana durante o monitoramento. Além disso, exceto na primeira fase, em todas as demais fases do monitoramento a distribuição da riqueza adota um padrão assimétrico, em que uma parcela das unidades amostrais está concentrada com valores acima ou abaixo da mediana. É possível notar, que existem dois *outliers* na riqueza da quarta fase, um com um valor muito acima de riqueza, e o outro, com um valor muito abaixo em comparação com as demais unidades amostrais consideradas.

Em relação as abundâncias registradas por fase no boxplot (Figura 31), na primeira e na quarta fase do monitoramento houve uma distribuição simétrica dos dados, em que 50% dos valores das abundâncias entre as unidades amostrais estão distribuídos acima da mediana e os outros 50% abaixo da mediana. Já, nas demais fases (Fase 2, Fase 3 e Fase 5), a distribuição dos dados de abundância ocorreu de maneira assimétrica, contudo os valores de abundância estiveram concentrados acima ou abaixo da mediana. É possível notar a presença de um *outlier* de maior abundância na terceira fase do monitoramento. Ainda relação as abundâncias, a grande variação de uma fase para outra se deve ao grande número de espécies muito dominantes nas fases 1 e 2, o que afeta diretamente os resultados apresentados através do *boxplot*. Por fim, é possível verificar que a maior variação nos dados de abundância entre as unidades amostrais se deu durante a primeira fase do monitoramento.

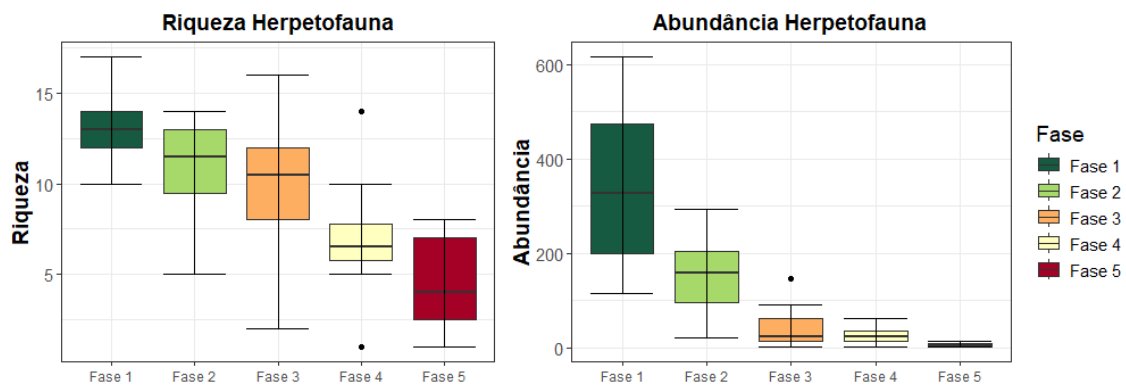


Figura 31. Gráficos de *boxplot* da variação da riqueza e da abundância de anfíbios e répteis entre as fases de monitoramento na UHE Baixo Iguaçu.

Considerando os resultados obtidos em cada unidade amostral (Tabela 16), ao longo das fases de monitoramento, foi possível verificar que durante a primeira fase, a unidade amostral que abarcou os maiores quantitativos de riqueza e abundância, foi a S07 (S=17, n=617). Na segunda fase, a maior abundância foi registrada para o sítio 05, enquanto as maiores riquezas para os sítios 03 e 06, ambos com 14 espécies. Para a terceira fase os maiores quantitativos de riqueza e abundância foram registrados para a unidade amostral S11 (S=16; n=147). Na quarta fase de monitoramento a maior abundância registrada, foi sítio amostral 11, o qual apresentou 61 indivíduos, enquanto a maior riqueza foi de 14 no S12. E por fim, na quinta fase de monitoramento a unidade amostral com o maior número de indivíduos foi o sítio 12 (n=13), enquanto a maior riqueza foi registrada no S11 com oito espécies.

As unidades amostrais que apresentaram os maiores quantitativos de riqueza e abundância ao longo das fases de monitoramento, apresentam características semelhantes, em especial áreas de Floresta Estacional Semidecidual mais bem conservadas. O que evidencia que uma boa qualidade de habitat, assim como a presença de fragmentos como uma maior complexidade ambiental, exerce um efeito positivo sobre a estrutura das comunidades (Smith; Johnston; Clark, 2014), refletindo em maior riqueza e abundância de espécies.

Através dos índices de diversidade (Tabela 17) foi possível verificar que a unidade amostral com a maior diversidade registrada, foi a S12 ($H'=2,67$). Tal unidade amostral apontou uma riqueza total de 19 espécies e 65 indivíduos ao longo do monitoramento. Esta unidade amostral (S12) também apresentou a maior equitabilidade ($J=0,91$), indicando a baixa ocorrência de espécies muito dominantes durante as 5 fases. Não obstante, a menor diversidade de espécies registrada foi no Corredor de Biodiversidade ($H'= 1,37$), mas este resultado possivelmente foi influenciado pelo fato desta unidade amostral ter sido incluída apenas a partir da Fase 4 do monitoramento, tendo sido, portanto, menos amostrada. Já, a localidade com a menor equitabilidade, foi a S7 ($J=0,66$), demonstrando uma baixa homogeneidade de abundância entre as espécies registradas.

Tabela 17. Índices de diversidade (Shannon- H') e equitabilidade (Pielou- J) e riqueza e abundância registradas ao longo das fases de monitoramento.

| Ponto | Riqueza | Abundância | Shannon (H') | Equitabilidade (J) |
|-------------|---------|------------|------------------|------------------------|
| corr_bio | 7 | 57 | 1,37 | 0,70 |
| Limnomedusa | 1 | 1 | 0,00 | NA |
| S1 | 18 | 641 | 2,25 | 0,78 |
| S2 | 20 | 579 | 2,10 | 0,70 |
| S3 | 22 | 661 | 2,24 | 0,73 |
| S4 | 18 | 654 | 2,18 | 0,75 |
| S5 | 20 | 831 | 2,13 | 0,71 |
| S6 | 20 | 420 | 2,36 | 0,79 |
| S7 | 19 | 655 | 1,95 | 0,66 |
| S8 | 21 | 491 | 2,03 | 0,67 |
| S9 | 20 | 366 | 2,35 | 0,78 |
| S10 | 20 | 381 | 2,15 | 0,72 |
| S11 | 28 | 568 | 2,24 | 0,67 |
| S12 | 19 | 65 | 2,67 | 0,91 |

Através da análise de agrupamento (Figura 32), é possível realizar o agrupamento das unidades amostrais em dois grandes grupos distintos (roxo e azul) e, uma unidade amostral isolada, representando um braço em verde (Limnomedusa). O grupo roxo, agrupou os sítios S12 e corr_bio, enquanto o grupo azul, reuniu todas as demais unidades amostrais. O agrupamento roxo compartilha entre si cerca de 17% da composição de espécies. Já, o grupo azul compartilha entre si cerca de 48% da composição de espécies. Entre a unidade amostral Limnomedusa e os demais sítios

amostrados, existe menos de 1% de similaridade na composição, visto que a única espécie que ocorreu nesta unidade amostral foi a *Rhinella diptycha*.

Além disso, é possível verificar a formação de grupos menores dentro do grupo azul. Dentre eles, os com maior similaridade na composição de espécies foram os subgrupos formados pelos sítios S1, S2 e S11, com cerca de 68% de similaridade, e o subgrupo contendo os pontos S5, S7, S3 e S4, que compartilhou em torno de 60% das espécies. De modo geral, as unidades amostrais que compartilharam uma composição de espécies superior à 50%, foram aquelas cujas características ambientais apresentaram uma maior semelhança.

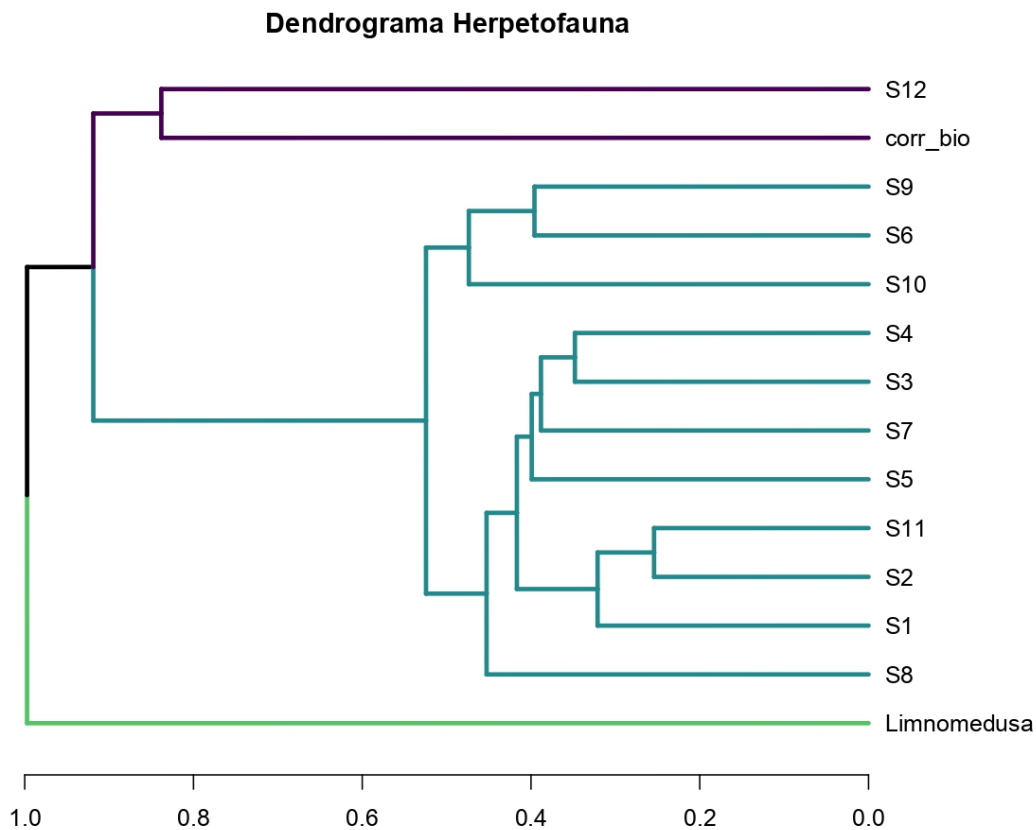


Figura 32. Agrupamento das áreas amostrais com relação à dissimilaridade na composição de espécies de anfíbios e répteis, de acordo com os dados de monitoramento. Valores mais próximos de zero indicam áreas menos similares (correlação cofenética 0.98). Obs. Corr_bio (corredor de biodiversidade).

De acordo com a análise estatística PERMANOVA (Tabela 18), todas as variáveis explicativas testadas foram significativas. A variável fase, que se refere as cinco fases do monitoramento, determinou 16% das variações na composição de espécies

observadas entre as unidades amostrais. A variável clima, que se refere à sazonalidade na temperatura, explicou apenas 3% da mudança na composição de espécies entre as áreas. Já, a junção da variável fase com clima determinou 7% dos da mudança na composição de espécies. Os resultados obtidos corroboram com os dados apresentados nas análises gráficas para os herpetofauna. Apesar disso, cabe ressaltar que cerca de 82% da variação na composição de espécies não está relacionada com nenhuma das variáveis testadas, o que leva inferir que existem outros fatores influenciando a ocorrência das espécies entre as unidades amostrais da área de estudo.

Tabela 18. Resultados da análise PERMANOVA para anfíbios e répteis. Fases executadas refere-se a fase 01, 02, 03, 04 e 05 de monitoramento, e, clima refere-se à variação de temperatura anual.

| Variáveis | Df | R ² | F | P |
|------------|----|----------------|------|-----------|
| Fase | 4 | 0,16 | 4,39 | 1,00E-04* |
| Clima | 1 | 0,03 | 2,96 | 1,00E-04* |
| Fase:Clima | 4 | 0,07 | 1,97 | 1,00E-04* |
| Resíduos | 82 | 0,74 | NA | NA |
| Total | 91 | 1,00 | NA | NA |

Obs. *Valores de *p* significativos.

De acordo com a curva de rarefação (Figura 33) é possível verificar que a curva não atingiu a assíntota (linha contínua, Figura 33). O estimador de riqueza, também não se estabilizou, indicando que mais espécies são esperadas para a área (linha tracejada, Figura 33). Caso o esforço de amostragem fosse dobrado, o estimador de riqueza estima que cerca outras 12 novas espécies podem ser potencialmente registradas para a área. Contudo, é importante relatar que em áreas Neotropicais nas quais existem poucas espécies dominante e muitas espécies raras, é muito difícil obter a estabilização da curva de rarefação (Magurran, 2011), o que não quer dizer, portanto, que o esforço de amostragem é insuficiente.

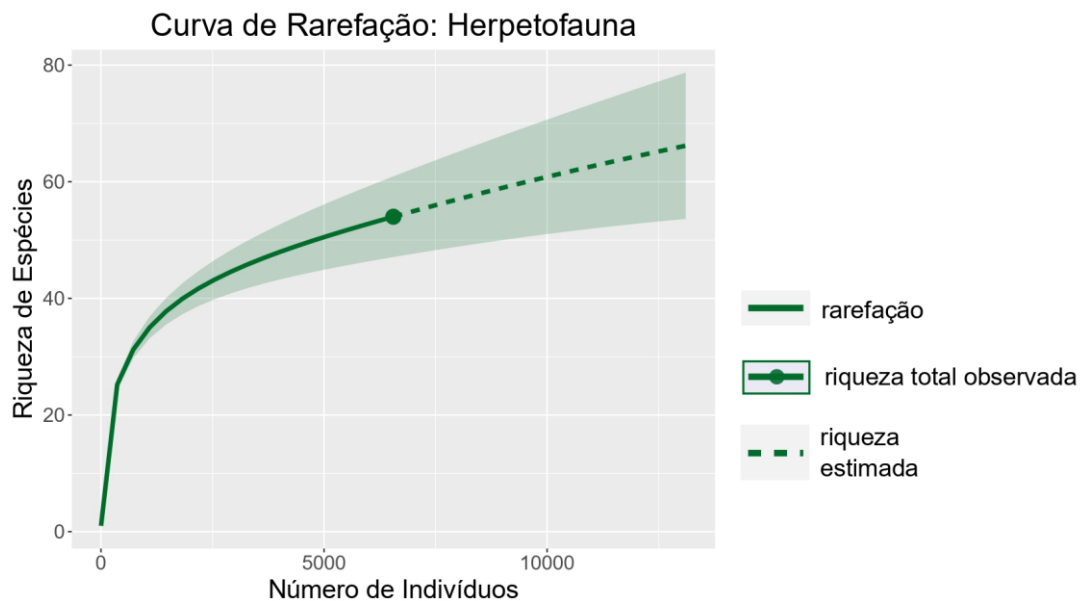


Figura 33. Curva de rarefação para anfíbios e répteis utilizando o estimador de riqueza Chao 1. Linha contínua é a riqueza observada e a linha tracejada é a riqueza estimada.

7.4.3. Espécies de interesse para conservação

a. Espécies ameaçadas

A única espécie ameaçada de extinção registrada durante todas as fases do monitoramento foi o *Phrynops williamsi* (Cágado-rajado), sendo registrado apenas na fase um do monitoramento (Tabela 19). Essa espécie de quelônio pertence à família Chelidae, desempenha um papel importante nos ecossistemas aquáticos, atuando como predador e contribuindo para o equilíbrio ambiental (Ferronato & Molina, 2012).

b. Espécies endêmicas, raras ou não descritas pela ciência

Foram registradas durante o monitoramento cinco espécies da herpetofauna endêmicas para a Mata Atlântica, a *Crossodactylus schmidtii*, a *Rhinella henseli*, a *R. ornata*, *D. wernerii*, a *Boana pulchella*, e a *Dipsas alternans* (Tabela 19). O *C. schmidtii* é uma rãzinha cuja distribuição está concentrada no sul do Brasil, no Paraguai e na Argentina (Caldart et al., 2013). Essa espécie se mostra especialista no uso do habitat, visto que geralmente ocorre em ambientes lóticos de fundo pedregoso dentro de áreas florestais (Caldart et al., 2013). Já a *R. henseli*, pertence aos bufonídeos estando associada à

ambientes florestais nas proximidades de corpos d'água (Huning, 2020). Por fim, a *R. ornata*, que apresenta hábitos de forrageamento generalista e oportunista, contudo, apesar de ocupar diferentes microhabitats, possui uma preferência por ambientes de serrapilheira (Flynn et al., 2020).

c. Espécies de importância econômica, xerimbabos e/ou cinegéticas

Na herpetofauna poucas espécies são exploradas pela caça, entretanto em algumas regiões do país é comum o consumo de Testudines, algumas serpentes ou lagartos de maior porte e de jacarés (CITES, 2024) (Tabela 19). Nesse sentido, considerando as espécies levantadas durante o monitoramento, duas espécies são consideradas de importância cinegética, de acordo com a CITES, são elas o *Salvator merianae* (teiú) e o *Caiman latirostris* (jacaré-do-papo-amarelo) (Tabela 19). Ambas as espécies se encontram listadas no apêndice II da CITES, ou seja, ainda que não sejam ameaçadas de extinção seu comércio deve ser controlado, a fim de evitar declínios populacionais nas áreas de ocorrência. Dentre elas, destaca-se o jacaré-do-papo-amarelo, que de todos os biomas brasileiros, só não é encontrado na Amazônia, sendo típico de ambientes lênticos e com ocorrência em ambientes alterados (Coutinho et al., 2013). Uma das principais ameaças à espécie é a caça intensiva, seja para consumo ou como forma de retaliação para evitar que estes danifiquem as redes (Coutinho et al., 2013).

Apesar de não serem exploradas pela caça de subsistência, é importante ressaltar que espécies como o *Rhinella diptycha* e o *Rhinella henseli*, devido a produção de secreções pela glândula paratoide, possuem um alto potencial de bioprospecção. Inclusive, há diversos trabalhos na literatura relatando a atividade antimicrobiana da secreção do *R. henseli* (e.g. Pinto et al., 2009; De Assis et al., 2013; Huning et al., 2022). Outra espécie de destaque como potencial farmacológico, é a *Crotalus d. durissus* (cascavel), cujo veneno é utilizado não só apenas para a fabricação do soro anticrotálico, bem como para a extração de compostos químicos utilizados pela indústria farmacêutica (Barros et al., 2009; Muller et al., 2012).

d. Espécies migratórias

Não foram registradas espécies da herpetofauna que realizam movimentos migratórios ao longo do ano (Tabela 19).

e. Espécies bioindicadoras

Das espécies da herpetofauna registradas, apenas o *Crossodactylus schmidtii* (Tabela 199) é considerada bioindicadora de boa qualidade ambiental. Conforme supracitado, a espécie possui uma alta dependência de ambientes bem preservados, possuindo um nicho ecológico intrinsecamente ligado a ambientes com riachos de fundo pedregoso (Caldart et al., 2013). Nessa perspectiva, baseado no uso do habitat, no grau de endemismo e no comportamento da espécie, pode-se inferir que alterações na mata ciliar e nos cursos d'água ocupado pelas populações dessa espécie; tendem a afetar negativamente sua dinâmica populacional.

f. Risco Epidemiológico ou exótica

Dentre as espécies de risco epidemiológico registradas ao longo das cinco fases do monitoramento estão as serpentes das famílias Viperidae (*Crotalus d. durissus* e *Bothrops jararassu*) e Elapidae (*Micrurus altirostris* e *Micrurus corallinus*). As espécies da família Viperidae, devido ao seu aparato de inoculação de veneno especializado, é comumente citada em relatos de acidentes ofídicos (Bernarde, 2012). As serpentes do gênero *Bothrops* (jararacas), são responsáveis por cerca de 86,8% dos acidentes ofídicos no Brasil (Matos; Ignotti, 2020), enquanto as do *Crotalus* respondem por apenas 8% dos acidentes ofídicos (Bernarde, 2012). Cabe destacar, que os acidentes ofídicos envolvendo cascavéis além de serem menos comuns ao comparar com as jararacas, estão mais concentrados na região Nordeste ou em áreas abertas (Bernarde, 2012). Por outro lado, os acidentes ofídicos com as espécies da família Elapidae (corais verdadeiras) são menores do que 1% (Matos; Ignotti, 2020), isto porque tais espécies são semifossoriais e bastante restritas a locais com serrapilheria abundante, o que dificulta os encontros e, portanto os acidentes. A ocorrência dos acidentes ofídicos geralmente está relacionada a fatores climáticos e ao aumento da atividade humana nos trabalhos de campo (Pinho e Pereira, 2001).

Tabela 19. Espécies da herpetofauna de interesse para conservação, registradas durante o monitoramento de fauna. Status de ameaça: NT – Quase ameaçada, EN- Em perigo, VU – Vulnerável, CR – Criticamente ameaçada.

| Ordem/Família/Espécie | Nome Popular | Endemismo | Uso do habitat | Hábito de vida | Exótica e/ou invasora | Risco epidemiológico | CITES | IUCN | BRASIL | PARANÁ |
|--|--------------------------|-----------|----------------|--------------------------|-----------------------|----------------------|-------|------|--------|--------|
| Anura | | | | | | | | | | |
| Bufonidae | | | | | | | | | | |
| <i>Rhinella diptycha</i> (Cope, 1862) | sapo-cururu | - | Generalista | Terrestre | - | - | - | - | - | - |
| <i>Rhinella henseli</i> (Lutz, 1934) | | | | | | | | | | |
| <i>Rhinella ornata</i> (Spix, 1824) | Sapo-cururuzinho | sim | Generalista | Terrestre | - | - | - | - | - | - |
| <i>Rhinella</i> sp. | sapo-cururu | - | Generalista | Terrestre | - | - | - | - | - | - |
| Hylidae | | | | | | | | | | |
| <i>Aplastodiscus perviridis</i> B. Lutz, 1950 | - | - | especialista | Arborícola | - | - | - | - | - | - |
| <i>Boana faber</i> (Wied-Neuwied, 1821) | Sapo-martelo | - | Generalista | Arborícola | - | - | - | - | - | - |
| <i>Boana pulchella</i> (Duméril and Bibron, 1841) | - | sim | Generalista | Arbustiva/lago | - | - | - | - | - | - |
| <i>Boana punctata</i> (Schneider, 1799) | | | | | | | | | | |
| <i>Boana raniceps</i> (Cope, 1862) | - | - | Generalista | Arbustiva/lago | - | - | - | - | - | - |
| <i>Dendropsophus minutus</i> (Peters, 1872) | Perereca-rajada | - | Generalista | Arbustiva/lago | - | - | - | - | - | - |
| <i>Dendropsophus nanus</i> (Boulenger, 1889) | - | - | Generalista | Arbustiva/lago | - | - | - | - | - | - |
| <i>Dendropsophus weneri</i> (Cochran, 1952) | | | | | | | | | | |
| <i>Scinax fuscovarius</i> (A. Lutz, 1925) | Perereca | - | Generalista | Terrestre | - | - | - | - | - | - |
| <i>Trachycephalus typhonius</i> (Linnaeus, 1758) | - | - | Generalista | Arborícola | - | - | - | - | - | - |
| Hylodidae | | | | | | | | | | |
| <i>Crossodactylus schmidti</i> Gallardo, 1961 | - | sim | Especialista | Reofílico | - | - | - | - | - | - |
| Leptodactylidae | | | | | | | | | | |
| <i>Leptodactylus</i> cf. <i>latrans</i> | rã-manteiga | - | Generalista | Terrestre | - | - | - | - | - | - |
| <i>Leptodactylus elenae</i> Heyer, 1978 | | | | | | | | | | |
| <i>Leptodactylus fuscus</i> (Schneider, 1799) | Rã-assobiadeira | - | Generalista | Terrestre | - | - | - | - | - | - |
| <i>Leptodactylus labyrinthicus</i> (Spix, 1824) | Rã-pimenta | - | Generalista | Terrestre | - | - | - | - | - | - |
| <i>Leptodactylus latrans</i> (Steffen, 1815) | Rã-manteiga | - | Generalista | Terrestre | - | - | - | - | - | - |
| <i>Leptodactylus luctator</i> (Hudson, 1892) | | | | | | | | | | |
| <i>Leptodactylus mystacinus</i> (Burmeister, 1861) | Rã-estriada | - | Generalista | Terrestre | - | - | - | - | - | - |
| <i>Leptodactylus podicipinus</i> (Cope, 1862) | - | - | Generalista | Terrestre/áreas alagadas | - | - | - | - | - | - |
| <i>Physalaemus centralis</i> Bokermann, 1962 | - | - | Generalista | verdeas/lagos | - | - | - | - | - | - |
| <i>Physalaemus cuvieri</i> Fitzinger, 1826 | Rã-cachorro | - | Generalista | áreas alagadas | - | - | - | - | - | - |
| Microhylidae | | | | | | | | | | |
| <i>Elachistocleis bicolor</i> (Valenciennes in Guérin-Ménéville, 1838) | Sapinho-guarda | - | Generalista | Semifossorial | - | - | - | - | - | - |
| <i>Elachistocleis cesarii</i> (Miranda Ribeiro, 1920) | Apito-do-brejo-de-Cesari | - | Generalista | Semifossorial | - | - | - | - | - | - |
| Odontophrynidae | | | | | | | | | | |
| <i>Odontophrynus americanus</i> (Duméril & Bibron, 1841) | - | - | Generalista | Terrestre | - | - | - | - | - | - |
| <i>Odontophrynus reigi</i> Rosset, Fadel, Guimarães, Carvalho, Ceron, Pedrozo, Serejo, Souza, Baldo e Mângia, 2021 | - | | Generalista | Terrestre | - | - | - | - | - | - |

| Ordem/Família/Espécie | Nome Popular | Endemismo | Uso do habitat | Hábito de vida | Exótica e/ou invasora | Risco epidemiológico | CITES | IUCN | BRASIL | PARANÁ |
|--|-------------------------|-----------|-----------------|-----------------|-----------------------|----------------------|-------|------|--------|--------|
| Ranidae | | | | | | | | | | |
| <i>Aquarana catesbeiana</i> (Shaw, 1802) | Rã-touro | - | Espécie exótica | Semiaquático | sim | - | - | - | - | - |
| Crocodylia | | | | | | | | | | |
| Alligatoridae | | | | | | | | | | |
| <i>Caiman latirostris</i> (Daudin, 1801 "1802") | Jacaré-do-papo-amarelo | - | Generalista | Semiaquático | - | - | I | - | - | - |
| Squamata | | | | | | | | | | |
| Anomalepididae | | | | | | | | | | |
| <i>Liotyphlops beui</i> (Amaral, 1924) | Cobra-Cega | - | Especialista | semi-fossorial | - | - | - | - | - | - |
| Colubridae | | | | | | | | | | |
| <i>Leptophis ahaetulla</i> (Linnaeus, 1758) | Cobra-Papagaio | - | Generalista | semi-arborícola | - | - | - | - | - | - |
| <i>Spilotes pullatus pullatus</i> (Linnaeus, 1758) | Cainana-Flor-de-Algodão | - | Generalista | semi-arborícola | - | - | - | - | - | - |
| Dipsadidae | | | | | | | | | | |
| <i>Dipsas alternans</i> (Fischer, 1885) | Dormideira | sim | Generalista | Terrícola | - | - | - | - | - | - |
| <i>Dipsas indica indica</i> Laurenti, 1768 | | | | | | | | | | |
| <i>Dipsas mikanii mikanii</i> Schlegel, 1837 | Dormideira | - | Generalista | Terrícola | - | - | - | - | - | - |
| <i>Erythrolamprus m. miliaris</i> Linnaeus, 1758 | Cobra d'água | | | | | | | | | |
| <i>Erythrolamprus poecilogyrus poecilogyrus</i> (Wied, 1824) | Parelheira | - | Generalista | Terrestre | - | - | - | - | - | - |
| <i>Erythrolamprus reginae</i> (Linnaeus, 1758) | Parelheira | - | Generalista | Semiarborícola | - | - | - | - | - | - |
| <i>Helicops infrataeniatus</i> (Jan, 1865) | | | | | | | | | | |
| <i>Oxyrhopus guibei</i> Hoge & Romano, 1977 | Falsa-Coral | - | Generalista | semi-arborícola | - | - | - | - | - | - |
| <i>Philodryas olfersii</i> (Liechtenstein, 1823) | Cobra-Cipó-Listrada | - | Generalista | semi-arborícola | - | - | - | - | - | - |
| <i>Thamnodynastes strigatus</i> (Günther, 1858) | | | | | | | | | | |
| Elapidae | | | | | | | | | | |
| <i>Micrurus altirostris</i> (Cope, 1860 "1859") | Cobra-Coral | - | Generalista | Fossorial | - | sim | - | - | - | - |
| <i>Micrurus corallinus</i> (Merrem, 1820) | | | | | | sim | | | | |
| Gekkonidae | | | | | | | | | | |
| <i>Hemidactylus mabouia</i> (Moreau de Jonnés, 1818) | Lagartixa | - | Espécie exótica | Terrestre | sim | - | - | - | - | - |
| Scincidae | | | | | | | | | | |
| <i>Notomabuya frenata</i> (Cope, 1862) | | | | | | | | | | |
| Teiidae | | | | | | | | | | |
| <i>Salvator merianae</i> Duméril & Bibron, 1839 | Teiú | - | Generalista | Terrestre | - | - | II | - | - | - |
| <i>Tupinambis teguixin</i> (Linnaeus, 1758) | | | | | | | | | | |
| Viperidae | | | | | | | | | | |
| <i>Bothrops jararacussu</i> Lacerda, 1884 | Jararacussu | | | | | sim | | | | |
| <i>Crotalus durissus durissus</i> Linnaeus, 1758 | Cascavel | | | | | sim | | | | |
| Testudines | | | | | | | | | | |
| Chelidae | | | | | | | | | | |
| <i>Phrynops williamsi</i> Rhodin & Mittermeier, 1983 | Cágado-rajado | - | especialista | Semiaquático | - | - | - | VU | - | VU |

7.4.4. Síntese do grupo

Com base nos dados históricos, o monitoramento realizado na UHE Baixo Iguaçu revela informações significativas sobre a herpetofauna local, indicando uma diversidade moderada e uma variabilidade em riqueza e abundância ao longo das fases monitoradas. Foram registradas 53 espécies e 6.553 indivíduos, com destaque para as famílias Hylidae, Leptodactylidae e Dipsadidae, as quais apresentaram a maior representatividade em termos de riqueza. Entre as espécies dominantes, *Dendropsophus nanus*, *Physalaemus cuvieri* e *Dendropsophus minutus* destacaram-se, representando juntas 58% da abundância total. Esses anfíbios generalistas desempenham um papel relevante no controle de pragas e insetos vetores.

As fases de monitoramento evidenciaram variações em riqueza e abundância, influenciadas por fatores como o número de unidades amostrais e a qualidade do habitat. Ambientes da AII, geralmente mais preservados, apresentaram maior riqueza em fases avançadas, enquanto a AID concentrou maior riqueza nas fases iniciais. A conectividade ambiental, proporcionada pelo "Corredor da Biodiversidade", mostrou-se essencial para a manutenção da diversidade genética e redução de riscos de extinção local.

Os resultados ressaltam a importância de habitats preservados e conectados para a conservação da herpetofauna. Este monitoramento oferece subsídios para estratégias de manejo, destacando a relevância da continuidade de ações voltadas à preservação e mitigação de impactos nas áreas de influência da UHE Baixo Iguaçu.

7.4.5. Relatório fotográfico



Foto 69: *Elachistocleis bicolor* (sapinho-guarda), Sítio 10, C1F5.



Foto 70: *Scinax fuscovarius* (perereca), Sítio 1, C1F5.



Foto 71: *Caiman latirostris* (jacaré-do-papo-amarelo), Sítio 12, C1F5.



Foto 72: *Crotalus d. durissus* (cascavel), Corredor de Biodiversidade, C1F5.



Foto 73: *Rhinella diptycha* (Sapo-cururu), P 1d, C1F5.



Foto 74: *Leptodactylus fuscus* (rã-assobiadeira), Sítio 10, C2F5.



Foto 75. *Rhinella ornata* (sapo-cururuzinho), Sitio 01, C2F5.



Foto 76. *Crotalus d. durissus* (cascavel), Sitio 01, C2F5.



Foto 77. *Salvator merianae* (teiú), Sitio 01, C2F5.



Foto 78. *Odontophrynus reigi* (sapo), Sitio 11, C2F5.



Foto 79. *Boana raniceps* (perereca), Sitio 11, C2F5.



Foto 80. *Erythrolamprus m. miliaris* (cobra-d'água), Sitio 10, C2F5.

8. FAUNA SEMI-AQUÁTICA

8.1. *Lontra longicaudis* (lontra neotropical)

8.1.1. Introdução

A *Lontra longicaudis* (lontra neotropical) é um carnívoro pertencente à família Mustelidae, atualmente a espécie encontra-se distribuída em países da América do Sul e da América Central (Rheigantz et al., 2018). No Brasil, tal espécie possui ampla distribuição, com ocorrência em grande parte do país, onde as condições dos corpos d'água são propícias a espécie (Reis et al., 2011). Entretanto, ainda que possua uma ampla distribuição, com o aumento da taxa de desmatamento ao longo dos anos associada às pressões antrópicas, a espécie apresenta um elevado declínio populacional (Rodrigues et al., 2013).

As principais ameaças são, a poluição e contaminação da água; dragagens; drenagens; canalização de rios e outros cursos d'água; construção de represas; mineração; desmatamento e fragmentação da vegetação; redução de estoques pesqueiros; pesca comercial e conflitos com piscicultores; atropelamento; e transmissão de doenças por cães-domésticos (*Canis lupus familiaris*) (Larivière, 1999; Carvalho-Junior, 2007; Rodrigues et al., 2013; Rosas et al., 2021; Rheingantz et al., 2022). No Brasil, a espécie não consta como ameaçada em nível nacional (Brasil, 2022), porém ela foi avaliada anteriormente como “Quase Ameaçada (NT)”, quase atingindo o limite para a categoria “Vulnerável (VU)” de acordo com o critério “A3cde” (Rodrigues et al., 2013). No entanto, levando em conta a avaliação dos biomas separadamente, percebe-se que a espécie se encontra em diferentes níveis de ameaça. Por exemplo, na Mata Atlântica a espécie foi categorizada como “Vulnerável (VU) A3+4cde, devido à sua dependência de cursos d'água e matas ciliares que já foram degradadas (Rodrigues et al., 2013). Especificamente no Paraná, a espécie foi categorizada “Vulnerável” (VU), ressaltando a importância da adoção de medidas de políticas públicas para a conservação da espécie.

O status populacional das lontras, sua restrição de nicho e a alta dependência de ambientes aquáticos, faz dessa espécie uma importante ferramenta para fornecer dados relevantes sobre as alterações na saúde dos ecossistemas (Carvalho-Júnior, 2007). Considerando o contexto da construção da barragem da Usina Hidrelétrica do Baixo Iguaçu - Paraná, o monitoramento contínuo da *Lontra longicaudis* na região busca avaliar os potenciais impactos da barragem nas populações dessa espécie e compreender como elas estão respondendo ao longo de uma escala espaço-temporal.

8.1.2. Resultados e Discussão

O monitoramento de *Lontra longicaudis* (lontra-neotropical) registrou um total de 463 indivíduos, sendo que a fase que abarcou o maior número de indivíduos foi a Fase 04 (n=168), seguida das fases 03 (n=167), Fase 02 (n=85) e Fase 05 (n=43) (Figura 34). Em relação as áreas de influência, nas primeiras fases de monitoramento há uma maior quantidade de registros de lontras na AII, em que na segunda fase foram registrados cerca de 55 indivíduos e na terceira fase foram registrados 91 (Figura 34). Em contrapartida, nas fases subsequentes o maior número de indivíduos foi realizado em AID, sendo que na quarta fase foram registrados 97 indivíduos e na quinta fase foram registrados 27 indivíduos (Figura 34).

É possível observar que há uma flutuação no número de indivíduos de lontras ao longo do monitoramento, contudo tal variação está diretamente relacionada ao número de campanhas realizadas ao longo das fases. Já que a terceira e quarta fase contaram com um número superior de campanhas em detrimento da segunda e quinta fase de monitoramento. Ademais, é notório que a espécie tem utilizado tanto ambientes presentes na AII, quanto ambientes presentes em AID. Inclusive, ao longo de cada fase, há a descoberta de novos locais de ocorrência, o que indica que a espécie tem realizado o uso contínuo dos habitats presentes em AID e na AII. As lontras estão intrinsecamente associadas à ambientes aquáticos, sendo capazes de habitar uma série de ambientes, inclusive em áreas com algum nível de degradação do habitat (Rheingantz et al., 2017).

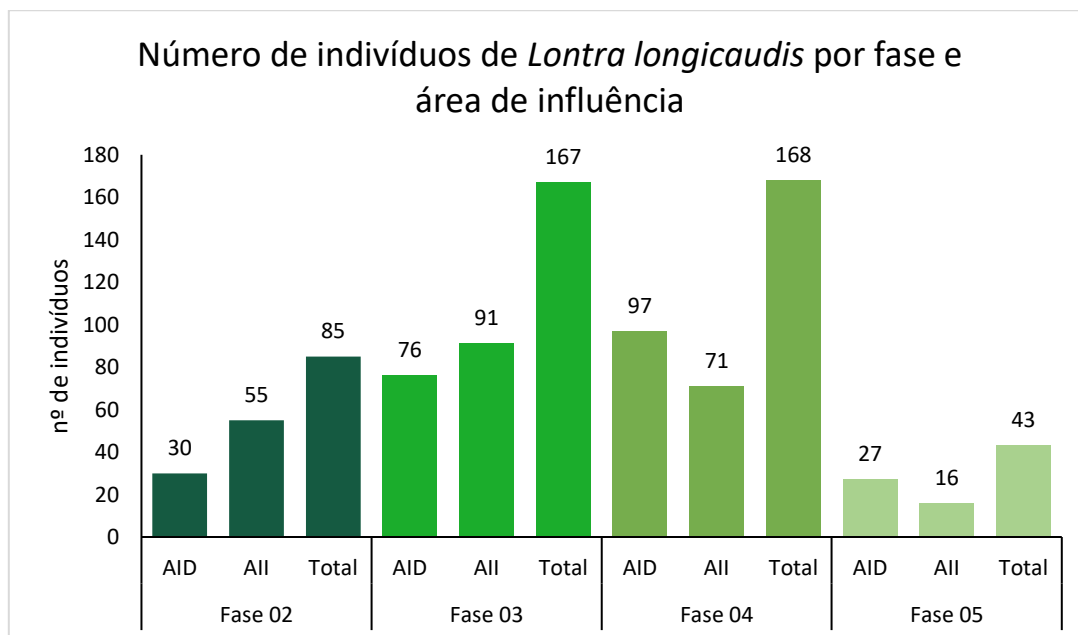


Figura 34. Número de lontras registradas em cada uma das fases de monitoramento e nas áreas de influência.

Com relação aos locais de encontro de *Lontra longicaudis*, na área controle (All) a maior concentração de lontras ocorreu em controle 08 (n=44), controle 15 (n=31), controle 10 (n=22) e controle 19 (n=21) (Figura 35). Desses locais supracitados para All, o único que obteve recorrência de registro de lontras ao longo do monitoramento foi o controle 10. Este local conta com a presença de uma toca, a qual está sob uma raiz em um barranco na margem direita do Rio Floriano. Já na área tratamento (AID), os locais que abarcaram um maior número de indivíduos ao longo das campanhas, foram tratamento 17 (n=49) e tratamento 12 (n=21) (Figura 35). A maioria dos locais de maior recorrência no encontro de lontras, possuem abrigos como tocas. A abundância de indivíduos e de tocas presentes em um dado ambiente, geralmente está associado à qualidade dos ambientes ribeirinhos e aquáticos (Rheingantz et al., 2017).

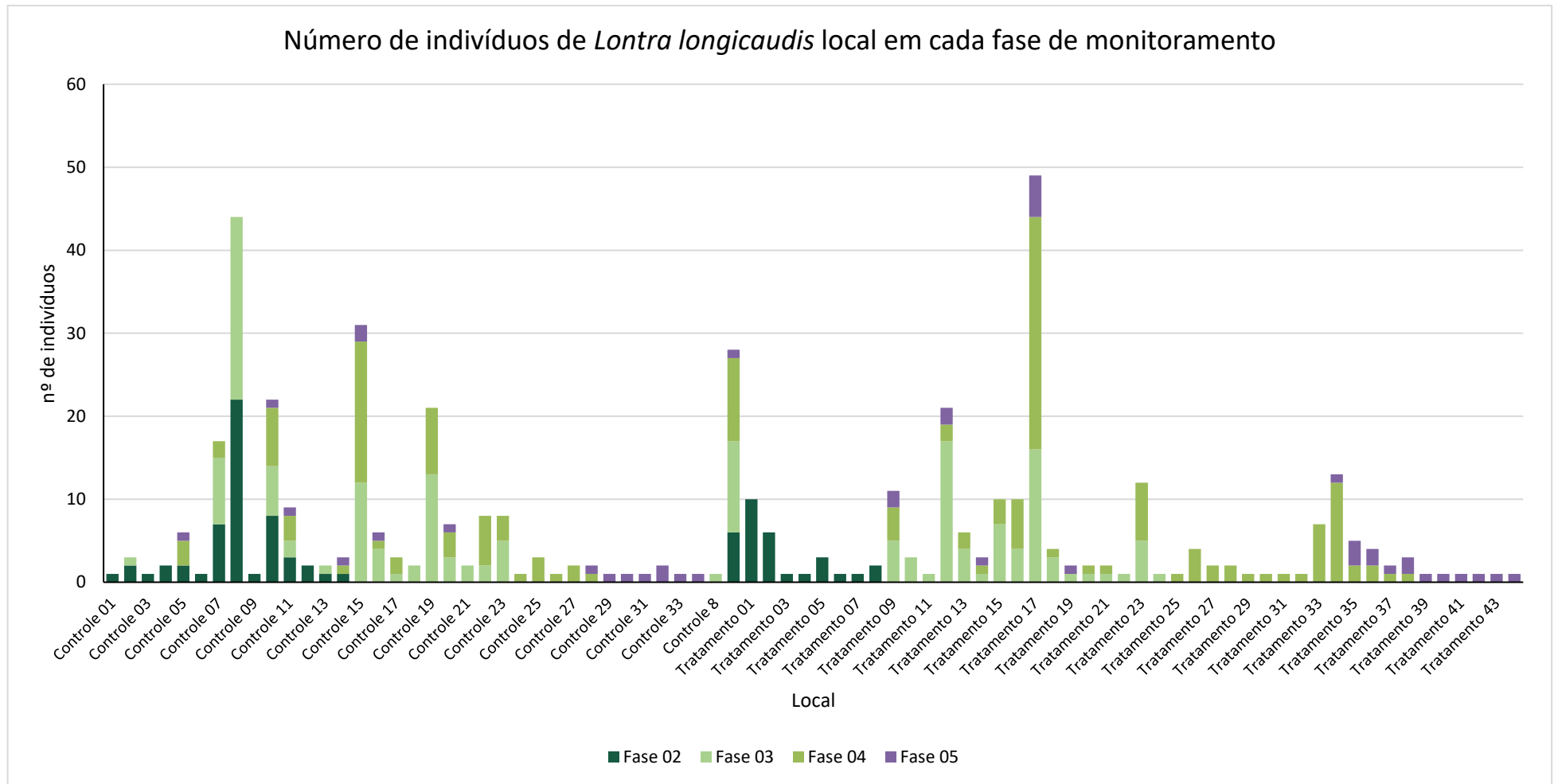


Figura 35. Número de indivíduos de *Lontra longicaudis* registradas por local de registro.

Considerando apenas os registros obtidos através das armadilhas fotográficas, foi possível perceber que nas áreas de estudo da UHE Baixo Iguaçu que o período de maior atividade de lontras foi no período matutino, abarcando 45% do número de indivíduos registrados, seguido do período noturno, com 36%, e, por fim o período vespertino, com 19%.

Durante o estudo as lontras apresentaram uma flexibilidade em relação ao período de atividade, resultado já apontado em outros estudos (Garrote et al., 2020). As lontras conseguem modificar o seu período de atividade de acordo com a disponibilidade de presas e em resposta a fatores ambientais e fatores antrópicos (Rheingantz et al., 2016). Todavia, não é possível inferir quais são os fatores que têm sido determinantes para o padrão de atividade das lontras presentes nas áreas de estudo, uma vez que não foram levantadas variáveis preditivas.

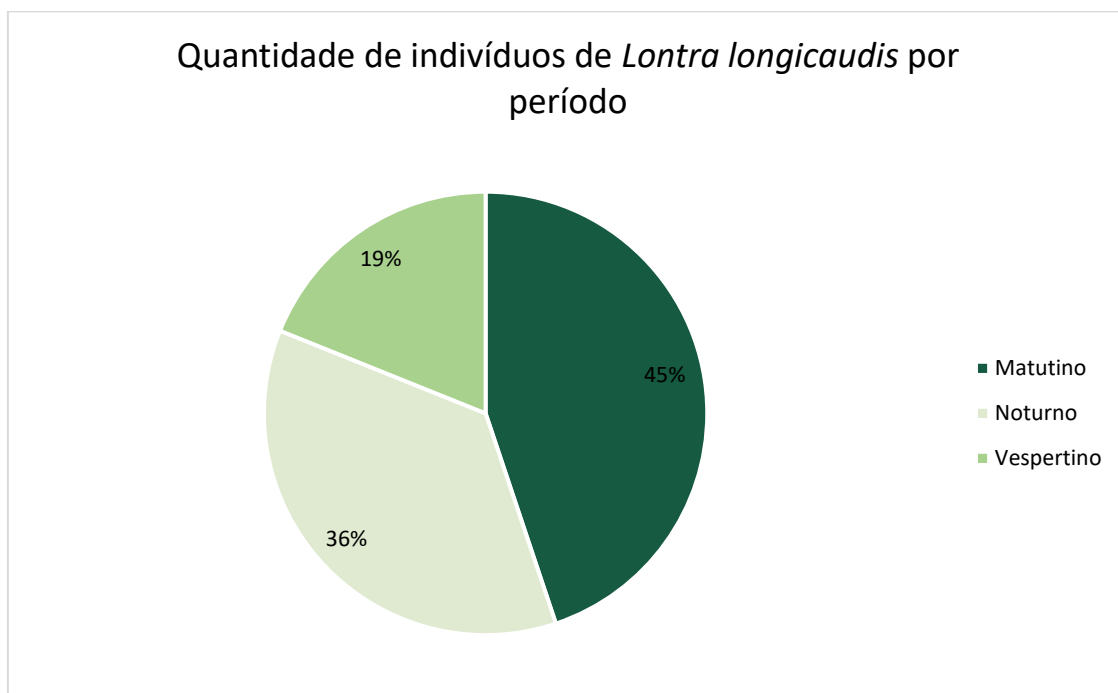


Figura 36. Porcentagem de indivíduos de *Lontra longicaudis* nos períodos do dia registradas através do método de armadilhas fotográficas.

Por ser uma espécie que tende a se esquivar diante da presença humana, durante as fases, apenas uma pequena parcela dos registros foram obtidos através da observação direta. Os demais registros estiveram concentrados em encontros de vestígios, como tocas, fezes, presença de muco anal e de odores para marcação de território, e através dos vídeos de câmeras *trap*. Em locais onde há a presença da espécie, é comum o

encontro desses vestígios, já que a espécie utiliza os espaços terrestres para sinalização odorífera, reprodução, descanso e cuidado parental (Reis et al., 2011; Rodrigues et al., 2013).

Considerando a análise espacial dos registros realizados ao longo das fases de monitoramento, foi possível notar que durante a segunda fase houve uma maior concentração de lontras nas proximidades do PARNA do Iguaçu, local caracterizado pela presença do Rio Floriano e inserido em uma área florestal. Nesta fase também houve uma concentração da espécie nas margens do rio Capanema, que também se apresenta inserido em uma área florestal. Na terceira fase há uma leve mudança na distribuição das lontras, havendo uma redução no número de indivíduos registrados nas margens do Capanema e um substancial aumento de lontras em locais próximos ou inseridos dentro do PARNA. Contudo a distribuição de lontras na terceira fase, em comparação à segunda, mostra-se menos abrangente e mais localizada. Na quarta fase, o padrão de distribuição mostra-se similar à terceira, porém novamente é notório uma grande concentração de indivíduos nas proximidades do rio Capanema. Por fim, na quinta fase as lontras demonstram um padrão de maior distribuição ao longo da área de estudo, havendo uma ampliação no uso do espaço. Apesar disso, é evidente uma maior preferência pela espécie por ambientes melhores conservados.

A baixa concentração ou ausência de lontras dentro das áreas da barragem, já era esperada, uma vez que a espécie está associada à presença de vegetação nas margens de rios e locais para construção de seus abrigos (Coletti et al., 2013). É importante ressaltar, que além das características fitogeográficas, fatores como variações de temperatura e pluviosidade, tendem a mudar a dinâmica populacional de peixes, e isso, conseqüentemente, altera a disponibilidade deste item alimentar, resultando na mudança do uso e ocupação do habitat pela espécie (Meneses, Liima e Jardim, 2020).

Distribuição espacial e temporal de lontras durante as fases de monitoramento da fauna aquática

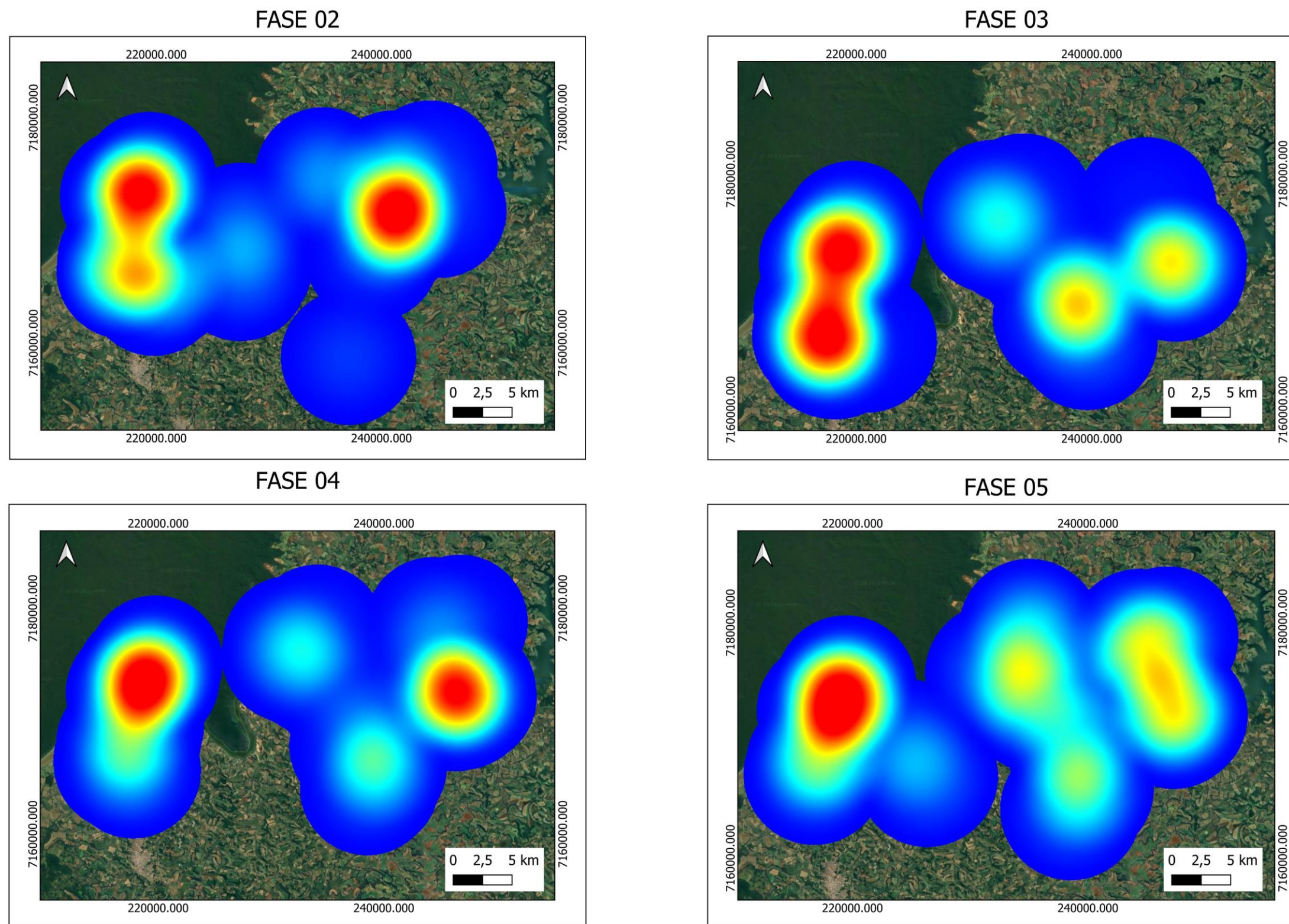


Figura 37. Mapa de calor dos locais de encontro de *Lontra longicaudis* nas fases de monitoramento. Resultados obtidos através da estimativa de densidade de Kernel. Fonte: Biotropica Consultoria de Fauna e Flora, 2024.

De acordo com a análise ANOVA, é possível verificar que há uma relação significativa ($p < 0,001$) entre as fases executadas e o número de indivíduos registrados. De modo complementar, o teste de Tukey demonstra que as variações foram significativas entre a segunda e a terceira fase, entre a segunda e quarta fase, entre a terceira e a quarta fase e entre a quarta e a quinta fase. Para as demais combinações, a variação da abundância de lontras não foi significativa. Resultado que corrobora com os resultados apresentados através da análise de uso e ocupação descrita acima.

Tabela 20. Análise de variância (ANOVA) para *Lontra longicaudis*. Grupos refere-se às fases executadas durante o monitoramento (Fase 02, 03, 04 e 05).

| ANOVA | | | | |
|------------------|--------------------|---------------------|-----------|---------|
| | Soma dos quadrados | Média dos quadrados | F (3,153) | p |
| Entre grupos | 162,575 | 54,1916 | 32,26 | <0,001* |
| Dentro de grupos | 257,018 | 1,67985 | | |
| Total | 419,592 | <0,001 | | |

Obs. *Valores de p significativos.

Tabela 21. Teste de Tukey para *Lontra longicaudis*. Valores destacados em verde, demonstra as combinações significativas.

| | Fase 02 | Fase 03 | Fase 04 | Fase 05 |
|---------|---------|---------|---------|---------|
| Fase 02 | | <0,001 | <0,001 | 0,1906 |
| Fase 03 | 10,6 | | <0,001 | 0 |
| Fase 04 | 5,415 | 5,951 | | <0,001 |
| Fase 05 | 2,836 | 12,53 | 7,89 | |

8.1.3. Síntese do grupo

O monitoramento da *Lontra longicaudis* ao longo das quatro fases de monitoramento (Fase 02, 03, 04 e 05) apresentou um total de 463 registros da espécie ao longo das fases e das áreas monitoradas. Conforme observado, a maioria dos registros estiveram concentrados em visualização indireta (e.g. vestígios e imagens de câmeras traps), uma vez que a espécie tende a evitar e esquivar-se de seres humanos.

Ao longo deste período, foi possível verificar que de modo proporcional as populações de lontras têm se mantido estáveis, mesmo após a operação da UHE Baixo Iguaçu. O padrão de atividade, majoritariamente, diurno da espécie corrobora com outros estudos e reforça que há uma baixa interferência antrópica nas atividades de forrageio da espécie. A ampliação do uso e da ocupação do espaço observada ao longo das fases

de monitoramento, em especial na quinta fase, reiteram que a espécie tem utilizado áreas pertencentes à AID e AII. Demonstrando que em ambas as áreas de influência, apresentam condições ambientais adequadas para a manutenção das populações de lontras.

Portanto, de modo geral, é possível inferir que a *Lontra longicaudis* vem se reestabelecendo em ambientes onde antes, provavelmente, já ocupavam. Ademais, os resultados para o padrão de atividade, bem como para o uso do habitat estão em consonância com diversos estudos que abordam a ecologia da espécie. O que demonstra uma certa normalidade nos padrões apontados durante o presente monitoramento.

8.1.4. Relatório fotográfico

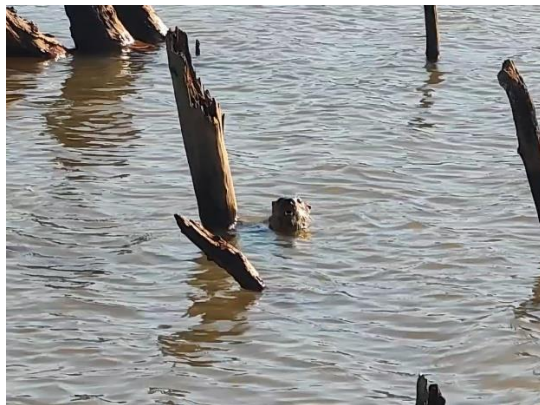


Foto 81: *Lontra longicaudis* (lontra), L13.



Foto 82: *Lontra longicaudis* (lontra), fezes, L07.



Foto 83: *Lontra longicaudis* (lontra), pegadas, L12, F5C1.



Foto 84: *Lontra longicaudis* (lontra), fezes, L20, F5C1.



Foto 85: *Lontra longicaudis* (lontra), muco anal, L18, F5C1.



Foto 86: *Lontra longicaudis* (lontra), fezes, L03, F5C1.



Foto 87: *Lontra longicaudis* (lontra), fezes e arranhados, L06, F5C1.



Foto 88: *Lontra longicaudis* (lontra), fezes, L10, F5C1.



Foto 89: *Lontra longicaudis* (lontra), AF01, F5C1.



Foto 90: *Lontra longicaudis* (lontra), AF02, F5C1.



Foto 91: *Lontra longicaudis* (lontra), AF03, F5C1.



Foto 92: *Lontra longicaudis* (lontra), AF04, F5C1.



Foto 93: *Lontra longicaudis* (lontra), AF01, F5C2.



Foto 94: *Lontra longicaudis* (lontra) com filhote, AF02, F5C2.



Foto 95: *Lontra longicaudis* (lontra), AF03, F5C2.



Foto 96: *Lontra longicaudis* (lontra), AF04, F5C2.



Foto 97: *Lontra longicaudis* (lontra), AF05, F5C2.



Foto 98: *Lontra longicaudis* (lontra), AF06, F5C2.



Foto 99: *Lontra longicaudis* (lontra), fezes, L07, F5C2.



Foto 100: *Lontra longicaudis* (lontra), pegada, L07, F5C2.

8.2. *Phrynops williamsi* (Cágado-rajado)

8.2.1. Introdução

O *Phrynops williamsi* (Cágado-rajado) é um quelônio dulcícola, cuja distribuição está concentrada na região sul do Brasil (Rhodin e Mittermeier, 1983; Kuntz et al., 2018). Uma das características marcantes da espécie é a presença de três listras pretas na região do pescoço e uma mancha em formato de ferradura na região ventral do pescoço (Rhodin et al., 1988). As fêmeas adultas possuem um tamanho de carapaça de até 35,4 cm de comprimento, enquanto os machos podem atingir um tamanho de até 20,1 cm de carapaça (Rhodin et al., 1988).

A espécie geralmente é encontrada em ambientes lóticos de corredeiras com presença de rochas externas e margem preferencialmente florestal (Spier et al., 2014; Kuntz et al., 2018). Devido a essa preferência de habitat, atividades que geram alterações capazes de modificar as características físicas e químicas dos rios, como poluição, desmatamento e implantação de usinas hidrelétricas, costumam ser prejudiciais às populações de *P. williamsi* podendo acarretar o declínio da espécie (Espier et al., 2011).

No Paraná, a espécie possui distribuição na região sudoeste do estado, no Baixo Iguaçu, entre 320 e 1120 m de altitude, e na região leste do estado, Alto Iguaçu, entre 760 m e 908 m de altitude (Ribas e Monteiro-Filho, 2002). Ademais, além de ser uma espécie que possui uma distribuição geográfica até então considerada pequena, é importante destacar que atualmente o cágado-rajado encontra-se categorizado vulnerável (VU) pela IUCN (2024) e em perigo pela lista estadual de espécies ameaçadas do Paraná (2024). Conforme supracitado, uma das maiores ameaças à espécie é o barramento de rios para construção de hidrelétricas, uma vez que provoca alterações muitas vezes irreversíveis.

Nesse contexto, tendo em vista os potenciais impactos gerados pela presença de hidrelétricas em locais de ocorrência da espécie (e.g. perda de habitat), o monitoramento do *P. williamsi* frente à instalação de PCHs ou UHEs, é extremamente importante para compreender o padrão de movimentação da espécie e se há alterações significativas no tamanho da população e no uso do ambiente (Favretto, 2024). Atendendo a isso, o monitoramento de espécie nas áreas de influência da UHE Baixo Iguaçu-PR busca compreender os padrões de distribuição da espécie na Bacia do Rio Iguaçu e seus afluentes, a fim de propor medidas de mitigação aos potenciais impactos iminentes do empreendimento.

8.2.2. Resultados e Discussão

O monitoramento de *Phrynops williamsi* (cágado-rajado), contou com um quantitativo total de 906 indivíduos registrados, dos quais 124 foram capturados através do método de redes (redes de feiticeiras e redes de ictiofauna) e 782 indivíduos foram registrados através do método de visualização por ponto fixo. Não obstante, também foram realizados os registros da espécie co-ocorrente *Phrynops geoffroanus*, o qual registrou um total de 62 indivíduos.

Considerando apenas os registros de *Phrynops williamsi* obtidos através do método de visualização, foi possível verificar que nas fases em que tal metodologia foi aplicada, o maior número de indivíduos registrados foi durante a terceira fase (n=361). Nesta terceira fase, foram registrados 288 espécimes na área controle (All) e 73 espécimes na área tratamento (AID). Na segunda fase, foram registrados 308 indivíduos, dos quais 218 foram encontrados na área controle e 90 na área tratamento. Na quarta fase, foram registrados um total de 63 indivíduos sendo todos presentes na área controle. Por fim, na quinta campanha foram registrados um total de 50 indivíduos, dentre os quais 46 estão presentes na área controle e quatro estão presentes na área tratamento. A maior proporção de indivíduos para a terceira fase de monitoramento está relacionada ao número de campanhas executadas, já que neste período, foram executadas um número superior de campanhas ao compará-la as demais campanhas. O maior número de registros de forma recorrente para a área controle, pode ser um potencial reflexo não apenas do grau de conservação exigido pela espécie, assim como pela presença de rios com presença de “ilhas rochosas” no meio dos rios. Que são utilizados como locais para termorregulação de cágados (Kuntz et al., 2018).

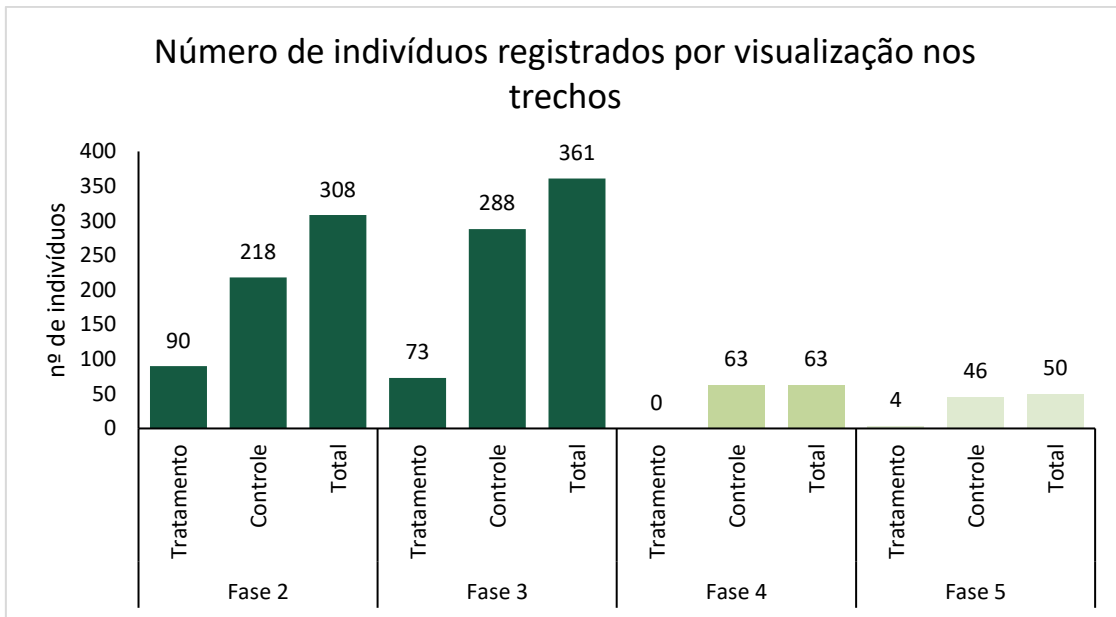


Figura 38. Número de indivíduos de *Phrynops williamsi* (cágado-rajado) contabilizados apenas pelo método de ponto fixo.

Em contrapartida, considerando os quantitativos obtidos exclusivamente através das redes de feitiçeras, o maior número de espécimes foi registrado durante a quinta fase de monitoramento (n=42). E de modo decrescente, vieram em seguida a segunda fase (n=39), a terceira fase (n=33) e quarta fase (n=3). De modo geral, assim como observado para os registros obtidos através da visualização, em todas as fases o maior número de indivíduos esteve presente na área controle (AI). Apesar disso, é importante destacar que também tem havido um aumento no número de indivíduo registrados na área tratamento (AID), indicando que as populações de cágados-rajado têm utilizado cada vez mais ambientes da AID. Além disso, tendo em vista que nas primeiras fases de monitoramento foram realizadas um número superior de campanhas, o número de indivíduos obtidos na quinta fase, demonstra um aumento populacional nas áreas de estudo ao longo das fases.

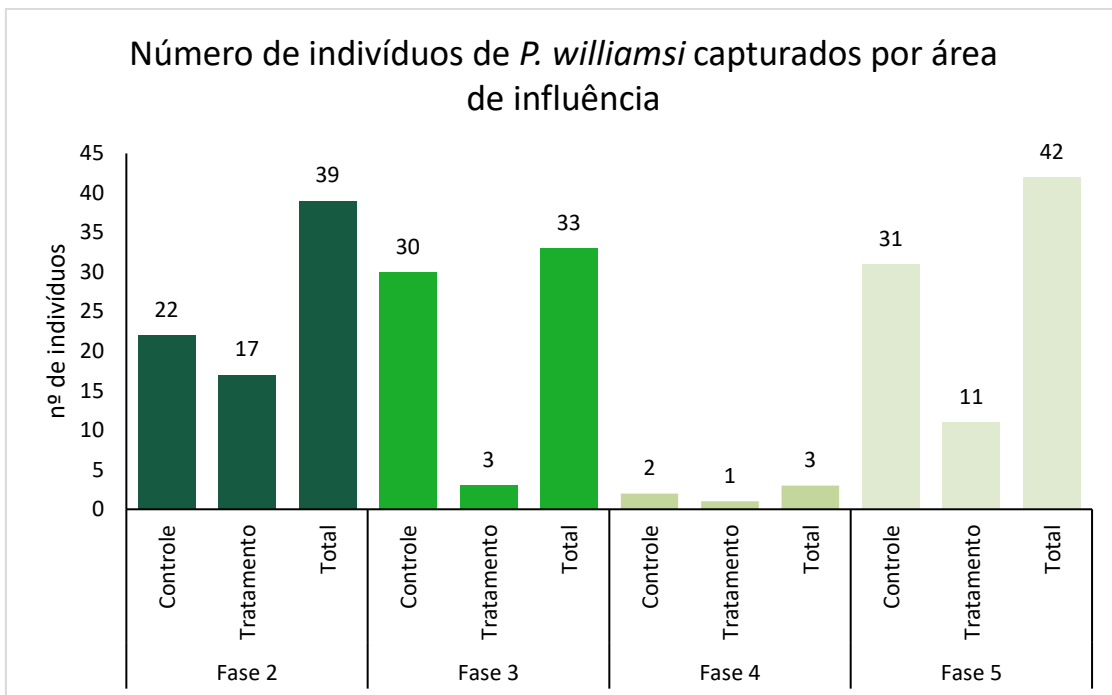


Figura 39. Número de indivíduos de *Phrynos williamsi* (cágado-rajado) contabilizados apenas no método de redes de feiticeira.

Dos indivíduos de *Phrynos williamsi* capturados através das redes feiticeira, na segunda fase do monitoramento, dentre os adultos a maioria eram fêmeas (n=23), enquanto dentre os juvenis registrados a maioria eram machos (n=5). Na terceira fase, dentre os adultos os machos abarcaram 17 indivíduos, enquanto as fêmeas somaram um total de 10 registros. Para os juvenis, a quantidade de machos na terceira fase continuou sendo maior (n=5). Na quarta fase de monitoramento, houve uma grande redução no número de indivíduos registrados, sendo que do total de registros, houve a presença de duas fêmeas adultas e um macho juvenil. Por fim, na quinta e última fase de monitoramento, há novamente um aumento no número de indivíduos, sendo que dentre os adultos houve uma maior proporção de fêmeas (n=14) e dentre os juvenis, desconsiderando aqueles que não foi possível aferir o sexo, machos e fêmeas contabilizaram apenas três indivíduos.

O aumento do número de juvenis ao longo do monitoramento é um bom indicativo de saúde da população do cágado-rajado, já que a maioria das espécies só conseguem se reproduzir se encontrarem condições ambientais adequadas para o seu estabelecimento. Em relação a proporção de machos e fêmeas ao longo do estudo, foi possível verificar que há flutuações entre as fases executadas, contudo é importante destacar que a proporção de indivíduos fêmeas e machos em populações de quelônios

depende de uma série de fatores, sendo o mais determinante a temperatura de incubação dos ovos. Diversos estudos demonstram que, a depender da temperatura de incubação, o recém-nascido nascerá macho ou fêmea (Salame-Méndez, 1998; Ferrara et al., 2016; Oliveira et al., 2021). Logo, a época do ano em que é realizada a postura dos ovos influencia diretamente na temperatura da incubação, o que, por sua vez, irá afetar a razão sexual da maioria dos testudines (Salame-Méndez, 1998; Ferrara et al., 2016; Oliveira et al., 2021).

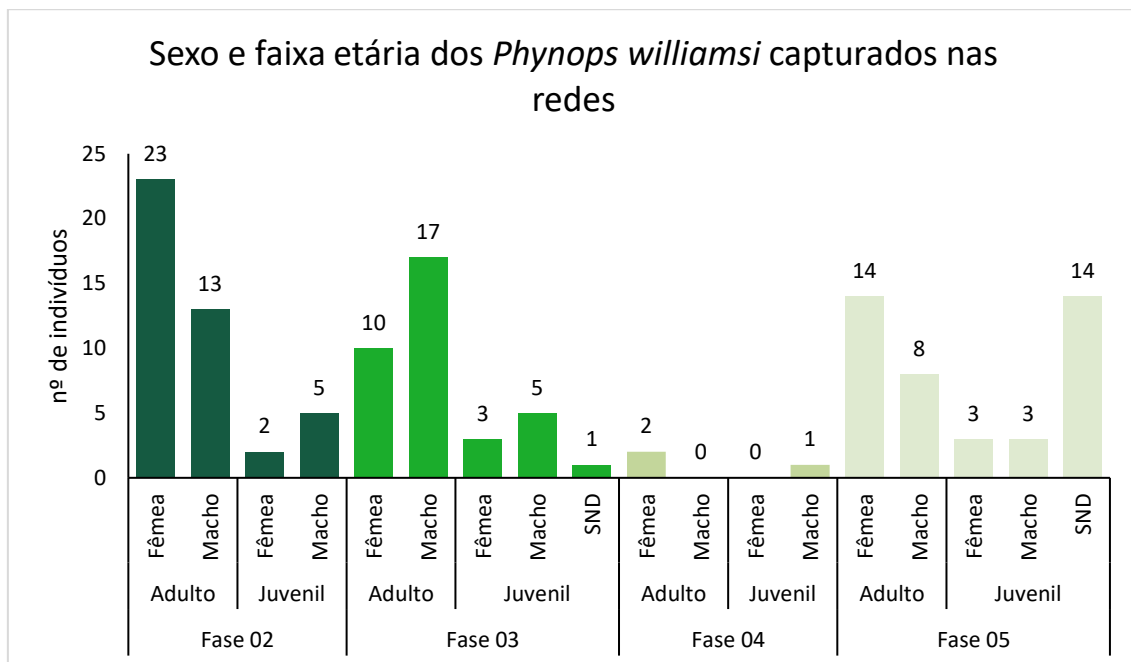


Figura 40. Razão sexual e faixa etária dos indivíduos de *Phrynops williamsi* (cágado-rajado) capturados apenas nas redes de feiticeira. SND= Sexo não definido.

Em relação à espécie co-ocorrente, o *Phrynops geoffroanus*, assim como observado para *P. williamsi*, as primeiras fases de monitoramento (Fase 02 e Fase 03) foram as que abarcaram o maior número de indivíduos registrados. Sendo que na segunda houve o registro 20 indivíduos, dos quais ocorreram 19 na área controle e um na área tratamento; na terceira fase foram registrados 37 espécimes dos quais estiveram todos presentes na área controle; na quarta e na quinta fase foram registrados respectivamente um total de três e dois indivíduos, os quais estiveram apenas na área controle.

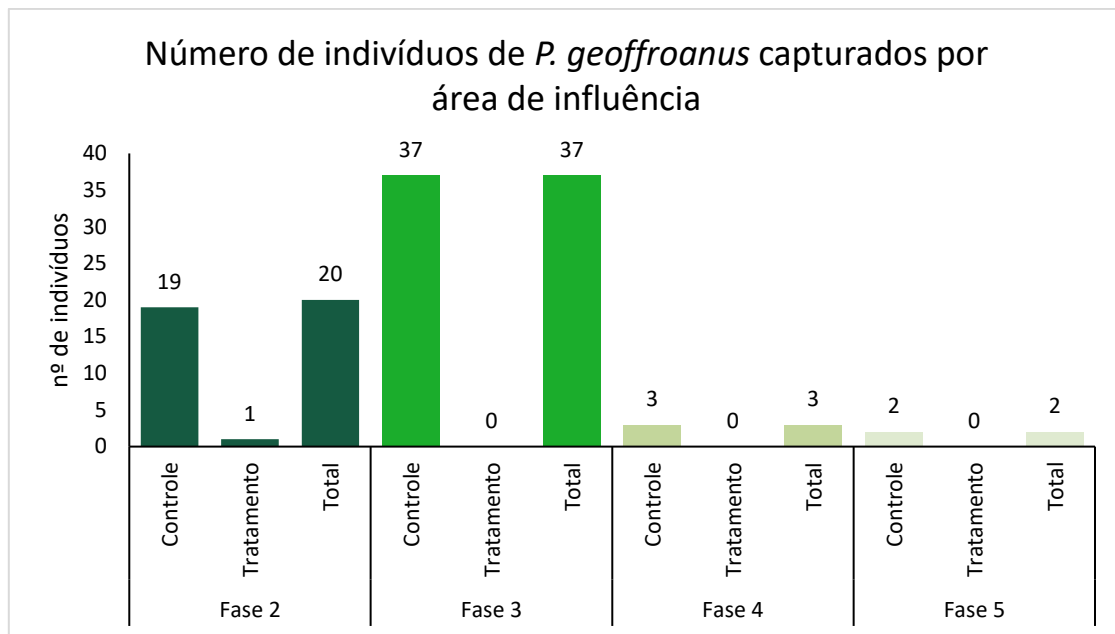


Figura 41. Número de indivíduos de *P. geoffroanus* contabilizados apenas no método de redes de feiticeira.

De acordo com a estimativa da densidade de Kernel, na segunda fase de monitoramento houve dois locais de grande concentração de *Phrynos williamsi* (cágado-rajado) nas proximidades do ponto da *Limnomedusa macroglossa*, local caracterizado pela presença de afloramento rochoso, e, próximo ao corredor da biodiversidade, local que está inserido na zona tampão do PARNA do Iguaçu e realiza a conexão com o PARNA e fragmentos ao redor. Na terceira e quarta fase de monitoramento, a maior concentração de cágados-rajado ocorreu nas proximidades do ponto da *Limnomedusa*, contudo na terceira fase é notório que há uma maior extensão de ocupação do ambiente pelos cágados. Já na quinta fase de monitoramento, é possível ver que apesar de uma menor extensão territorial, há a presença de pelo menos três pontos de grande concentração de indivíduos, demonstrando que a espécie tem se estabelecido em outros locais com ambientes similares ao encontrado no ponto da *Limnomedusa*. Essa espécie geralmente está associada à trechos de rios em que há correnteza e rochas que se sobressaem ao nível do rio, evitando locais de remansos ou que possuem lodo em seu fundo (Spier et al. 2014). Nesse sentido, a seleção de ambientes pela espécie é a chave para conservação da espécie. O *Phrynos geoffroanus*, assim como o *P. williamsi* também obteve sua maior concentração ao longo do monitoramento, em ambientes que atendiam as especificidades da espécie, preferindo locais com presença de rochas e rio mais calmo.

Distribuição espacial e temporal de *Phrynops williamsi* durante as fases de monitoramento da fauna aquática

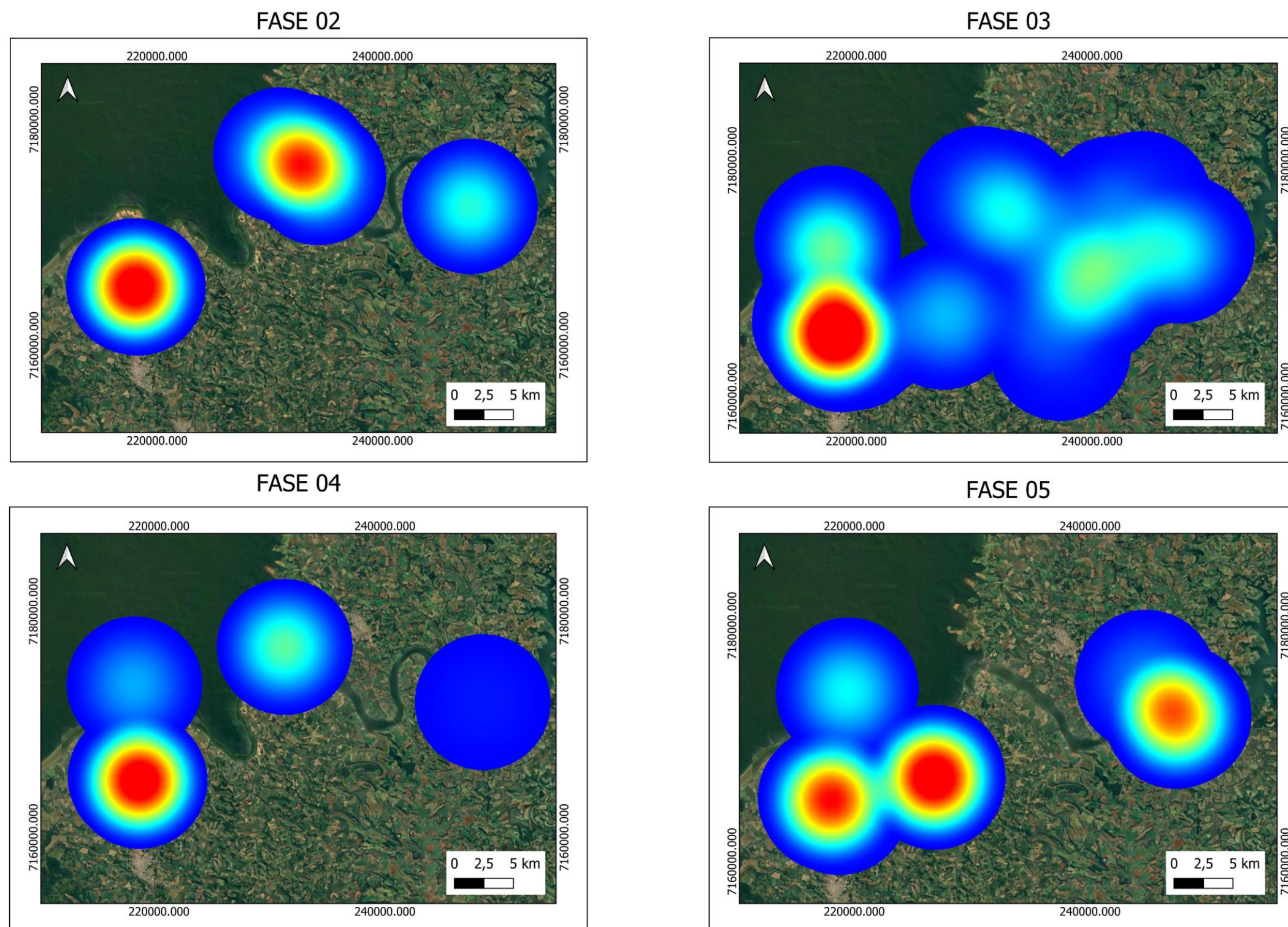


Figura 42. Mapa de calor dos locais de encontro de *Phrynops williamsi* nas fases de monitoramento. Resultados obtidos através da estimativa de densidade de Kernel. Fonte: Biotrópica Consultoria de Fauna e Flora, 2024.

Distribuição espacial e temporal de *Phrynops geoffroanus* durante as fases de monitoramento da fauna aquática

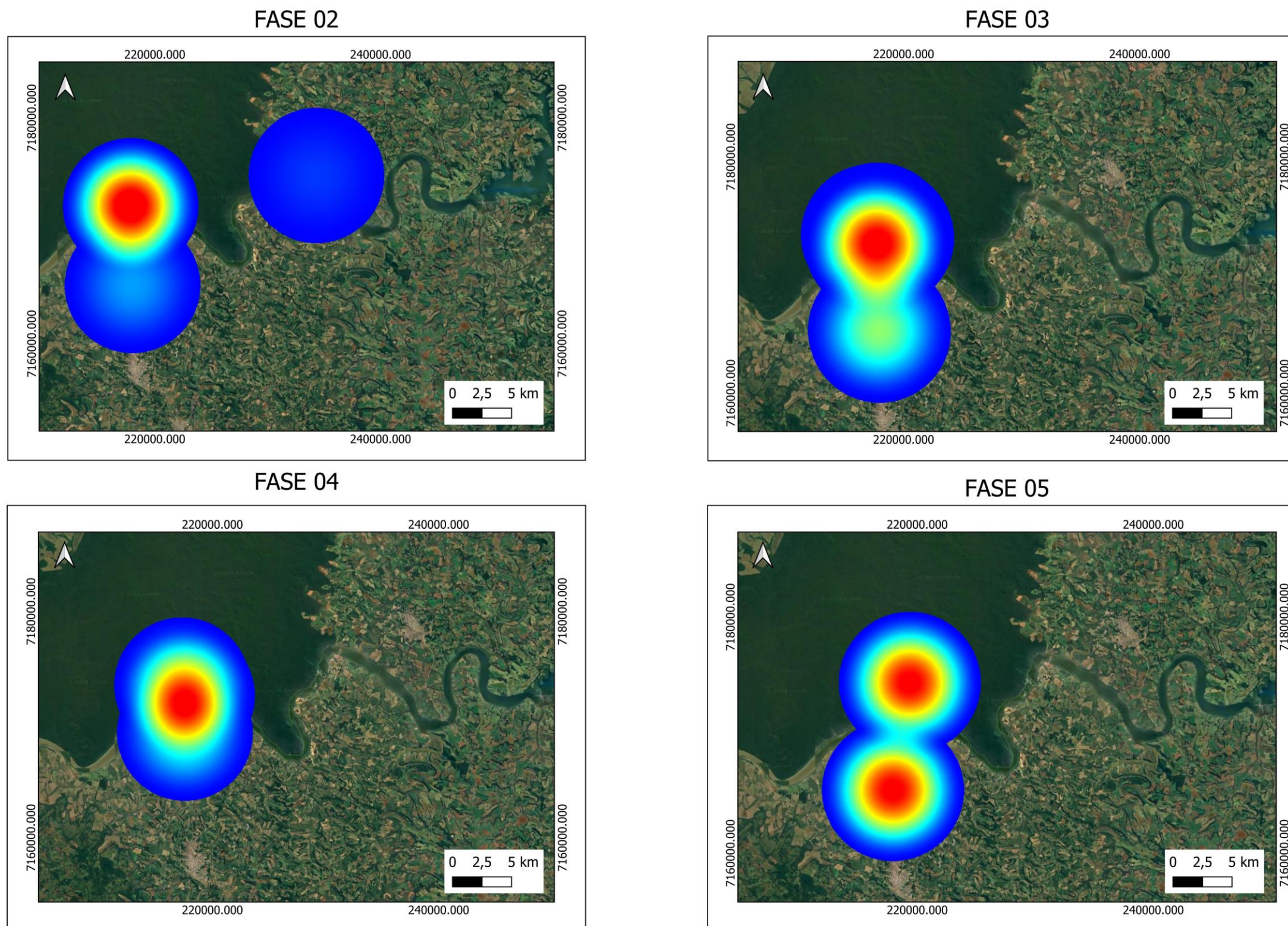


Figura 43. Mapa de calor dos locais de encontro de *Phrynops geoffroanus* nas fases de monitoramento. Resultados obtidos através da estimativa de densidade de Kernel. Fonte: Biotropica Consultoria de Fauna e Flora, 2024.

Para o *Phrynops williamsi*, as fases não foram significativas para explicar as variações nas quantidades de indivíduos registrados. Sendo assim, as diferenças observadas ao longo das fases, são explicadas por outras variáveis não consideradas no presente estudo.

Tabela 22. Análise de variância (ANOVA) para *Phrynops williamsi*. Grupos refere-se às fases executadas durante o monitoramento (Fase 02, 03, 04 e 05).

| ANOVA | | | | |
|------------------|--------------------|---------------------|-----------|-------|
| | Soma dos quadrados | Média dos quadrados | F (3,153) | p |
| Entre grupos | 73,4643 | 0,8353 | 0,4595 | 3,982 |
| Dentro de grupos | 483,75 | | | |
| Total | 557,214 | | | |

Obs. *Valores de p significativos.

Tabela 23. Teste de Tukey para *Phrynops williamsi*. Valores destacados em verde, demonstra as combinações significativas.

| | Fase 2 | Fase 3 | Fase 5 |
|--------|--------|--------|--------|
| Fase 2 | | 0,5281 | 0,9984 |
| Fase 3 | 1,569 | | 0,5619 |
| Fase 5 | 0,0754 | 1,487 | |

8.2.3. Síntese do grupo

Os resultados obtidos através do monitoramento do *P. williamsi* demonstram que há um aumento gradual na população nas áreas de estudo, sendo que a cada fase executada há um aumento de juvenis, sendo este um importante indicativo que os locais de estudo são propícios à ocorrência e estabelecimento da espécie. Além disso, foi possível verificar que o padrão de distribuição ao longo das áreas, está diretamente ligado a presença de corpos d'água que atendam às exigências de sobrevivência da espécie, e que os locais onde tais características não são atendidas, há uma tendência de uma menor concentração de cágados-rajado. Em relação à espécie co-ocorrente, *Phrynops geoffroanus*, é notório que há uma sobreposição no uso do ambiente, o que pode gerar uma relação de competição entre ambas as espécies, já que apresentam nichos

ecológicos, semelhantes. Contudo, não é possível inferir com os dados coletados se de fato há uma competição entre as espécies.

De modo geral, o monitoramento dos cágados demonstra que as áreas de estudo apresentam capacidade de abrigar as populações de cágados-rajados, e também que os ambientes preferenciais pela espécie são aqueles cujo rios se mostram mais caudalosos e com a presença de rochas. Portanto, a preservação desses locais é de extrema relevância para a saúde das populações de *P. williamsi*.

8.2.4. Relatório fotográfico



Foto 101: *Phrynops williamsi* (cágado-rajado), Subtrecho 1d, F5C1.



Foto 102: *Phrynops geoffroanus* (cágado-de-barbicha), Subtrecho 1b, F5C1.



Foto 103: *Phrynops williamsi* (cágado-rajado), Subtrecho 1D, F5C2.



Foto 104: *Phrynops williamsi* (cágado-rajado), Subtrecho 1B, F5C2.



Foto 105: *Phrynops williamsi* (cágado-rajado), Subtrecho 1B, F5C2.



Foto 106: *Phrynops williamsi* (cágado-rajado), Subtrecho 2D, F5C1.



Foto 107: *Phrynops geoffroanus* (cágado-de-barbicha), Subtrecho 1ª, F5C2.



Foto 108: *Phrynops williamsi* (cágado-rajado) e *P. geoffroanus* (cágado-de-barbicha), Subtrecho 1B, F5C2.

9. CONCLUSÃO GERAL

O monitoramento da fauna na área de influência da UHE Baixo Iguaçu demonstrou uma considerável diversidade de espécies ao longo das diversas fases de monitoramento, com variações na composição e abundância relacionadas a aspectos ambientais e ao esforço amostral. A avifauna foi o grupo mais diverso, com 339 espécies e 39.638 indivíduos registrados. Observou-se um predomínio de espécies generalistas nas primeiras fases, com uma transição gradual para espécies mais especializadas e florestais, sugerindo um processo de recuperação ambiental do local. A análise estatística indicou que a fase do monitoramento foi a principal variável explicativa nas mudanças da composição das espécies. A curva de rarefação para a avifauna indicou que o esforço amostral foi adequado para a amostragem da diversidade.

Em relação aos mamíferos terrestres, foi registrada uma diversidade de 53 espécies, com destaque para as espécies dominantes como *Subulo gouazoubira*, *Hydrochoerus hydrochaeris* e *Myocastor coypus*. A presença de felinos nas fases mais avançadas do monitoramento sugere a recuperação das condições ambientais do local, proporcionando recursos adequados para essas espécies. A presença de espécies domésticas, como o gato e o cão, constitui uma ameaça significativa para as populações nativas, além de representar riscos à saúde pública. A análise estatística apontou que a fase do monitoramento também foi determinante na ocorrência das espécies, e a curva de rarefação indicou estabilização na diversidade.

Para os morcegos, o monitoramento registrou espécies comuns, com predominância de *Artibeus lituratus* e *Sturnira lilium*. Embora a diversidade tenha sido moderada, a presença de *Desmodus rotundus*, espécie hematófaga, exigiu atenção especial para o controle de riscos à saúde pública e animal. A curva de rarefação sugeriu que o esforço amostral foi suficiente para o grupo.

A herpetofauna apresentou uma diversidade moderada, com 53 espécies e 6.553 indivíduos. Espécies dominantes como *Dendropsophus nanus* e *Physalaemus cuvieri* são generalistas e desempenham funções ecológicas importantes no controle de pragas. A conectividade ambiental, por meio do "Corredor da Biodiversidade", foi fundamental para a manutenção da diversidade e para a redução dos riscos de extinção local. O monitoramento mostrou que áreas mais preservadas e conectadas, como a AII, sustentaram maior riqueza nas fases mais avançadas, enquanto áreas com menor preservação, como a AID, apresentaram maior riqueza nas fases iniciais. O

monitoramento da herpetofauna reforça a necessidade de estratégias de manejo que promovam a conservação e a mitigação de impactos nas áreas de influência da UHE.

Com base nos dados obtidos durante as fases de monitoramento, os resultados indicam uma situação favorável para a conservação das populações de *Lontra longicaudis* e *P. williamsi* nas áreas estudadas. A espécie de lontra, em particular, apresenta estabilidade populacional e um padrão de atividade diurno, sugerindo baixa interferência antrópica e evidenciando que as condições ambientais nas Áreas de Influência Direta (AID) e Indireta (AI) da UHE Baixo Iguaçu são adequadas para sua manutenção. Além disso, a ampliação do uso do habitat ao longo das fases de monitoramento corrobora a adaptação da espécie a esses ambientes. Quanto ao cágado *P. williamsi*, o aumento gradual da população, especialmente com o crescimento de juvenis, aponta para a aptidão das áreas para o estabelecimento da espécie, desde que atendidas suas necessidades hídricas. A possível competição entre *P. williamsi* e *Phrynops geoffroanus* requer investigações adicionais, mas, no geral, os dados sugerem que as áreas monitoradas têm capacidade para sustentar essas populações, sendo a preservação dos ambientes preferenciais, como os rios caudalosos com presença de rochas, crucial para a saúde das populações de cágados-rajados. Portanto, os resultados apontam para um cenário ambiental relativamente estável, com condições adequadas para a sobrevivência e reprodução das espécies em questão.

Em resumo, os dados coletados indicam que a área tem mostrado sinais positivos de recuperação ecológica, especialmente em relação a grupos de fauna mais especializados e sensíveis. O monitoramento tem sido efetivo no acompanhamento da dinâmica da biodiversidade que, aparentemente tem sofrido poucos impactos da operação da usina.

10. REFERÊNCIAS

- ABREU, E. F et al. Lista de Mamíferos do Brasil (2023-1) [Data set]. **Zenodo**, 2023. <https://doi.org/10.5281/zenodo.10428436>.
- ALBAS, A. et al. Os morcegos e a raiva na região oeste do Estado de São Paulo. **Revista da Sociedade Brasileira de Medicina Tropical**, v. 44, p. 201-205, 2011.
- ALBUQUERQUE, N. M. de. **Densidade e preferências de habitat de mamíferos em um fragmento de Mata Atlântica no Nordeste do Brasil**. 2016. 68 f. Dissertação (Pós-Graduação em Ecologia e Conservação) - Universidade Federal de Sergipe, São Cristóvão, SE, 2016.
- ANDERSON, M. J. **Permutational Multivariate Analysis of Variance (PERMANOVA)**. Wiley Stats Ref: Statistics Reference Online, p. 1–15, 2017.
- ARAÚJO, L. M. G. **Efeito da qualidade do habitat sobre a estrutura da comunidade de pequenos mamíferos não-voadores no triângulo mineiro- MG, Brasil**. Dissertação (Mestrado) – Universidade Federal de Uberlândia, 2022.
- ASHFORD, R. W. The leishmaniasis as emerging and reemerging zoonoses. **International journal for parasitology**, v. 30, n. 12-13, p. 1269-1281, 2000.
- AZEVEDO, F.C; **Área de vida e organização especial de Lobos-Guará (*Chrysocyon brachyurus*) na região do Parque Nacional da Serra da Canastra, Minas Gerais, Brasil**, Dissertação (Mestrado em Ecologia, Manejo e Conservação da Vida Silvestre)- Universidade Federal de Minas Gerais, Belo Horizonte, 2008.
- BARBOSA, A. E. A. et al. **Relatório de Rotas e Áreas de Concentração de Aves Migratórias no Brasil**. 2019.
- BARCELOS, A. R. et al. Seed germination from lowland tapir (*Tapirus terrestris*) fecal samples collected during the dry season in the northern Brazilian Amazon. **Integrative zoology**, v. 8, n. 1, p. 63-73, 2013.
- BARROS, L. C. et al. A new fibrin sealant from *Crotalus durissus terrificus* venom: applications in medicine. **Journal of Toxicology and Environmental Health, Part B**, v. 12, n. 8, p. 553-571, 2009.
- BERNARDE, P. S. **Anfíbios e Répteis: introdução aos estudos da herpetofauna brasileira**. 1 ed. São Paulo: AnolisBook, 2012.
- BERNHARD, R. et al. Monitoramento populacional de quelônios amazônicos. **Manejo conservacionista e monitoramento populacional de quelônios amazônicos. Brasília, Brazil: IBAMA-MMA**, p. 79-103, 2017.
- BERNHARD, R.; VOGT, R.C. Population structure of the turtle *Podocnemis erythrocephala* in the Rio Negro Basin, Brazil. **Herpetologica**, v. 68, n. 4, p. 491–504, 2012.
- BIBBY, C.J. Conservation of migrants on their breeding grounds. **Ibis**, 134: 29–34, 1992.
- BILLERMAN, S. M et al. (editores) (2022). **Birds of the World**. Cornell Laboratory of Ornithology, Ithaca, NY, EUA. <https://birdsoftheworld.org/bow/home>

BLONDEL, J.; FERRY, C.; FROCHOT, B. **Point counts with unlimited distance**. In: RALPH, C.J.; SCOTT, J.M. (Eds.). Estimating numbers of terrestrial birds. Volume 6 – Studies in Avian Biology, p. 414-420, 1981.

BRANDES, T. S. Automated sound recording and analysis techniques for bird surveys and conservation. **Bird Conservation International**, v. 18, p. 63-173, 2008.

BRASIL. **Portaria MMA nº 148, de 07 de junho de 2022. Altera os Anexos da Portaria nº 444, de 17 de dezembro de 2014, e da Portaria nº 445, de 17 de dezembro de 2014, referentes à atualização da Lista Nacional de Espécies Ameaçadas de Extinção**. Diário Oficial da União, edição 108, seção 1, página 74.

BRASILEIRO, L. A. M. **A mesma pressão, diferentes reações: serviços ecossistêmicos realizados por morcegos sob risco no Brasil**. 2019. [111] f., il. Dissertação (Mestrado em Ecologia) —Universidade de Brasília, Brasília, 2019.

CÁCERES, N. C.; MONTEIRO-FILHO, E. L. A. Food habits, home range and activity of *Didelphis aurita* (Mammalia, Marsupialia) in a forest fragment of southern Brazil. Studies on Neotropical **Fauna and Environment**, v. 36, n. 2, p. 85-92, 2001.

CAGLE, F.R. A System of marking turtles for future identification. **Copeia**, v. 3, p. 170-173, 1939.

CALDART, V. M. et al. New records of *Crossodactylus schmidtii* Gallardo, 1961 (Anura: Hylodidae) for the state of Rio Grande do Sul, Brazil, with data on morphometry and an updated geographic distribution map. **Check List**, v. 9, n. 6, p. 1152-1555, 2013.

CARNEIRO, N. F. de F. et al. Raiva em morcegos *Artibeus lituratus* em Montes Claros, Estado de Minas Gerais. **Revista da Sociedade Brasileira de Medicina Tropical**, v. 42, p. 449-451, 2009.

CARVALHO-JÚNIOR, O. **No rastro da lontra brasileira**. Florianópolis: Editora Bernuncia, 2007.

CECHIN, S.Z.; MARTINS, M. Eficiência de armadilhas de queda (*pitfall traps*) em amostragens de anfíbios e répteis no Brasil. **Revista Brasileira de Zoologia**, v. 17, n. 3, p. 729–740, 2000.

CHOMEL, B. B. Zoonoses. **Reference Module in Biomedical Sciences**, 2014.

CITES. 2024. **Convention on international trade in endangered species of wild fauna and flora**. Disponível em: <<https://www.cites.org/eng/app/appendices.php>>. Acessado em: 10 de junho de 2024.

COLETTI, L. D. et al. Uso do espaço por *Lontra longicaudis* (Mustelidae, Carnivora) em ambiente alterado no rio Caí, Rio Grande do Sul, Brasil. **Iheringia. Série Zoologia**, v. 103, p. 240-245, 2013.

COLOMBO, G. T. **Influência dos traços funcionais na distribuição de morcegos insetívoros aéreos em uma paisagem insularizada**. Dissertação (mestrado) – Instituto Nacional de Pesquisas da Amazônia. Manaus – AM, 2018.

COLWELL, R. K. et al. Models and estimators linking individual-based and sample-based rarefaction, extrapolation and comparison of assemblages. **Journal of plant ecology**, v.5, n.1, p. 3-21, 2012.

CONNOR, C. et al. **Mammal Diversity Database. Zenedo**, versão 1.12.1. Disponível em: <https://zenodo.org/records/10595931>. Acesso em 27 de junho de 2024.

COPINI, A. C.; MARAFON, A. T. Levantamento de populações de *Hydrochoerus hydrochaeris* no centro urbano de caçador-SC. **IGNIS Periódico Científico de Arquitetura e Urbanismo Engenharias e Tecnologia de Informação**, p. 69-84, 2014.

COUTINHO, M. E. et al. **Avaliação do risco de extinção do jacaré-de-papo-amarelo *Caiman latirostris* (Daudin, 1802) no Brasil**. 2013.

CRUMP, M.L.; SCOTT JR, N.J. **Standart techniques for inventory and monitoring: Visual encounter surveys**. In: Measuring and monitoring biological diversity: Standard methods for amphibians (W.R. Heyer, M.A. Donnelly, R.W. McDiarmid, L.C. Hayek & M.S. Foster, eds.). Smithsonian Institution Press, Washington and London, p. 84-92, 1994.

DA ROCHA, W. A.; DA SILVA, M.B. Serpentes do Brasil: Introdução aos Estudos em História Natural. In: Lima; M.S.C.S.; Carvalho, L.S; Prezoto, F. (orgs.). **Métodos em ecologia e comportamento animal**, 2015. p. 242-265.

D'ANGELO NETO, SANTOS et al. Avifauna de quatro fisionomias florestais de pequeno tamanho (5-8 ha) no campus da UFLA. **Revista Brasileira de Biologia**, v. 58, p. 463-472, 1998.

DE ASSIS, V. R. et al. Antimicrobial capacity of plasma from anurans of the Atlantic Forest. **South American Journal of Herpetology**, v. 8, n. 3, p. 155-160, 2013.

DE DEUS, G. T.; BECER, M.; NAVARRO, I. T. Diagnóstico da raiva em morcegos não hematófagos na cidade de Campo Grande, Mato Grosso do Sul, Centro Oeste do Brasil: descrição de casos. **Semina: ciências agrárias**, v. 24, n. 1, p. 171-176, 2003.

DE FARIA, G. M. M. et al. Geographic distribution of the European hare (*Lepus europaeus*) in Brazil and new records of occurrence for the Cerrado and Atlantic Forest biomes. **Mammalia**, v. 80, n. 5, p. 497-505, 2016.

DE OLIVEIRA, H. H.P. **Diversidade genética de hilídeos do Brasil Central**. 2012. 72 f. Dissertação (Mestrado em Genética e Biologia Molecular) - Universidade Federal de Goiás, Goiânia, 2012.

DE TONISSI, R. H. et al. Estrutura trófica das aves da Cidade Universitária de Dourados-Mato Grosso do Sul. **Revista Acadêmica Ciência Animal**, v. 19, p. 1-8, 2021.

DELLA BELLA, S.; AZEVEDO-JUNIOR, S. M. de. Considerações sobre a ocorrência da garça-vaqueira, *Bubulcus ibis* (Linnaeus) (Aves, Ardeidae), em Pernambuco, Brasil. **Revista Brasileira de Zoologia**, v. 21, p. 57-63, 2004.

DO NASCIMENTO, J de M et al. Ocorrência de coruja-preta, *Strix huhula* (Strigiformes: Strigidae), na área urbana de Campo Grande, Mato Grosso do Sul: implicações à conservação. **Atualidades Ornitológicas**, 2018.

DUTRA, D. R. et al. Os quirópteros e sua importância na regulação dos ecossistemas florestais. **Revista Multidisciplinar de Educação e Meio Ambiente**, [S. l.], v. 2, n. 2, p. 55, 2021.

ENTRINGER JÚNIOR, H. **Variação temporal da dieta de *Panthera onca* em uma remanescente de Mata Atlântica.** Tese (doutorado) – Universidade de Vila Vilha, 2019.

FACHÍN TERÁN, A.; VON MÜLHEN, E. N. Reproducción de la taricaya *Podocnemis unifilis* Troschel 1848 (Testudines: Podocnemididae) en la várzea del medio Solimões, Amazonas, Brasil. **Ecología Aplicada**, 2(1): 125-132, 2003.

FAHRIG, L. Effects of habitat fragmentation on biodiversity. **Annual Review of Ecology, Evolution, and Systematics**, v. 34, p. 487-515, 2003.

FAVRETTO, M. A. Ações para conservação do cágado-rajado (*Phrynops williamsi*) em Santa Catarina, Brasil. **Acta Biológica Catarinense**, v. 11, n. 1, p. 19-30, 2024.

FENTON, M. B. et al. Phyllostomid bats (Chiroptera: Phyllostomidae) as indicators of habitat disruption in the Neotropics. **Biotropica**, p. 440-446, 1992.

FERRARA, C. R. et al. **História natural e biologia dos quelônios amazônicos. Manejo conservacionista e monitoramento populacional de quelônios amazônicos.** Instituto Brasileiro do Meio Ambiente e dos Recursos Naturais Renováveis. Brasília: Ibama, p. 15-28, 2016.

FIGUEIREDO, V. **Estrutura da comunidade de pequenos mamíferos em uma paisagem fragmentada do ecótono Cerrado- Floresta Atlântica.** 44f. Dissertação (mestrado) - Instituto Federal de Educação, Ciência e Tecnologia Goiano – Campus Rio Verde, Rio Verde - GO, 2018.

FLYNN, C. N.; ARAÚJO, P. G.; ROCHA, C. F. D. Diet and microhabitat use by juveniles *Rhinella ornata* (Anura, Bufonidae) in an insular Brazilian Atlantic Rainforest area. **Brazilian Journal of Biology**, v. 81, n. 4, p. 1129-1131, 2020.

FORNAZARI, F.; LANGONI, H. Principais zoonoses em mamíferos selvagens. **Veterinária e Zootecnia**, pág.10-24, 2014.

FRANKE, C. R. et al. **Mata Atlântica e Biodiversidade.** Salvador: Edufba, 2005.

FROST, D. R. 2024. **Amphibian Species of the World: an Online Reference.** Version 6.2. Electronic Database accessible at <https://amphibiansoftheworld.amnh.org/index.php>. American Museum of Natural History, New York, USA. doi.org/10.5531/db.vz.0001

GADEA, K. F. et al. Morcegos, vilões ou mocinhos? Uma questão de educação ambiental. **Anais do semex**, n. 12, 2019.

GARROTE, G. et al. Activity patterns of the neotropical otter (*Lontra longicaudis*) in the River Orinoco (Colombia). IUCN Otter Specialist Group Bulletin, v. 37, n. 3, p. 158-162, 2020.

GUEDES, T. B.; ENTIAUSPE-NETO, O. M.; COSTA, H. C. Lista de répteis do Brasil: atualização 2022. **Herpetologia Brasileira**, v. 12, n. 1, 2023.

HADDAD et al. **Guide to the amphibians of the Atlantic Forest: Diversity and Biology.** 1ed. Curitiba: AnolisBook, 2013.

HAMMER, Ø., HARPER, D.A.T. & RYAN, P.D. PAST: Paleontological statistics software package for education and data analysis. **Palaeontologia Electronica** v. 4, n.1, p. 9pp, 2001. http://palaeoelectronica.org/2001_1/past/issue1_01.htm.

HEYER, R.; DONNELLY, M.A.; FOSTER, M.; MCDIARMID, R. (Eds.). 1994. **Measuring and monitoring biological diversity: Standard methods for amphibians**. Washington, DC.: Smithsonian Institution Press, 364 p.

HUNING, D. da S. **Potencial antimicrobiano do veneno e ecologia alimentar de *Rhinella henseli***. 2020. 52 f. Dissertação (Mestrado em Ciências Ambientais) - Universidade de Passo Fundo, Passo Fundo, RS, 2020.

HUNING, D. et al. How does the feeding behaviour of the common forest toad *Rhinella henseli* (Anura: Bufonidae) vary in space and time? Trophic ecology, chemical and antimicrobial activity. **Herpetological Journal**, v. 32, n. 2, 2022.

ICMBIO – INSTITUTO CHICO MENDES DE CONSERVAÇÃO DA BIODIVERSIDADE. 2018. **Livro Vermelho da Fauna Brasileira Ameaçada de Extinção**. Volume I. Brasília: ICMBio/MMA, 492 p.

INSTITUTO AMBIENTAL DO PARANÁ – IAP. **Manual de rastros da fauna paranaense**. Paraná: IAP, 2008.

IUCN. 2024. **Lista Vermelha de Espécies Ameaçadas da IUCN**. Versão 2023-01. Disponível em: < <https://www.iucnredlist.org/>>.

JUNCA, F. A. et al. Girinos como bioindicadores da qualidade da água do Rio Doce. **DADOS**, 2017.

KOHLER, G. U; LEGAL, E.; TESTONI, C. Registros de aves raras ou ameaçadas em novas localidades no Estado de Santa Catarina, sul do Brasil. **Cotinga** , v. 31, pág. 104-107, 2009.

KUNTZ, T. S. et al. New records, threats and conservation of *Phrynops williamsi* (Testudines: Chelidae) in Southern Brazil. **Herpetology Notes**, v. 11, p. 147-152, 2018.

LANGONI, H. et al. Inquérito sobre o conhecimento de zoonoses relacionadas a cães e gatos em Botucatu-SP. **Veterinária e Zootecnia**, v. 21, n. 2, p. 297-305, 2014.

LARIVIÈRE, S. *Lontra longicaudis*. **Mammalian Species**, v. 609, p. 1–5, 1999.

LEGLER, J. M. **The genus *Pseudemys* in Mesoamerica: Taxonomy, Distribution, and Origin** 82 – 105pp. In Life history and ecology of the slider turtle (Gibbons, J. W. Eds.). Smithsonian Institution Press, Washington, D. C. 1990, 368p.

LOVATO, D. L. et al. First record of the coypu *Myocastor coypus* (Molina, 1782) for the Arthur Thomas Municipal Park in the municipality of Londrina, Paraná. **Semina: Ciências Biológicas e da Saúde**, v. 45, n. 2, p. 121–132, 2024.

LUEDTKE, J. A. et al. Ongoing declines for the world's amphibians in the face of emerging threats. **Nature**, v. 622, n. 7982, p. 308-314, 2023.

MACKINNON, J. **Series of Bird and Birds Field Guide Java and Bali**. Oxford: Oxford University Press, 1991.

MAGURRAN, A. E.; MCGILL, B. J. (Ed.). **Biological diversity: frontiers in measurement and assessment**. Oxford: Oxford University Press, 2011.

MAGURRAN, A. E. **Medindo a diversidade biológica**. Curitiba: Editora da UFPR. 2011.

MANEYRO, R.; LOEBMANN, D.; TOZETTI, A.M.; FONTE, L. **Anfíbios das planícies costeiras do extremo sul do Brasil e Uruguai**. São Paulo: Anolis book. 2017.

MARTINS, A. C. M.; ROCHA, G. L. F.; OLIVEIRA, H. F. M. Efeito de diferentes distúrbios antrópicos sobre assembleias de morcegos (Mammalia: Chiroptera) em um ecótono Cerrado-Amazônia. **Biodiversidade Brasileira**, v. 14, n. 1, p. 107-119, 2024.

MARTINS, M.; MOLINA, F. de B. Panorama geral dos répteis ameaçados do Brasil. **Livro vermelho da fauna brasileira ameaçada de extinção**. Brasília: Ministério do Meio Ambiente, v. 2, p. 327-73, 2008.

MELO-DIAS, M., et al. Invasive Amphibians and Reptiles Living in Brazil. **South American Journal of Herpetology**, v.29, p. 38 - 65. 2023.

MENESES, R. F.; LIMA, D.; JARDIM, M. A. G. Influência da precipitação e da temperatura na dieta de lontra (*Lontra longicaudis* (Olfers, 1818)] em área de influência de reservatório hidrelétrico no rio Jari, Amapá, Brasil. **Revista Brasileira de Geografia Física**, v. 13, n. 07, p. 3351-3369, 2020.

MINISTÉRIO DO MEIO AMBIENTE – MMA. **Mata Atlântica**. Disponível em: https://antigo.mma.gov.br/biomas/mata-atl%C3%A2ntica_emdesenvolvimento.html#:~:text=Em%20rela%C3%A7%C3%A3o%20%C3%A0%20fauna%2C%20o,de%20brasileiros%20que%20viverem%20nela. Acesso em 27 de junho de 2024.

MORATO, R. et al. Avaliação do risco de extinção da onça-pintada *Panthera onca* (Linnaeus, 1758) no Brasil. **Biodiversidade Brasileira**, v. 3, n. 1, p. 122-132, 2013.

MORRISON, M. L. Bird populations as indicators of environmental change. In: **Johnston, R. F. (ed.). Current Ornithology**. NewYork: Plenum. 1986.

MULLER, V. D. M. et al. Crotoxin and phospholipases A2 from *Crotalus durissus terrificus* showed antiviral activity against dengue and yellow fever viruses. **Toxicon**, v. 59, n. 4, p. 507-515, 2012.

MURCIA, C. Edge effects in fragmented forests: implications for conservation. **Trends in Ecology & Evolution**, v. 10, n. 2, p. 58-62, 1995.

MYERS, N. et al. Biodiversity hotspots for conservation priorities. **Nature**, v. 403, p. 853-923, 2000.

NEVE, D. E.; DE JUANA (2020). Wing-barred Piprites(*Piprites chloris*), versão 1.0. Em **Birds of the World** (J. del Hoyo, A. Elliott, J. Sargatal, DA Christie e E. de Juana, Editores). Laboratório Cornell de Ornitologia, Ithaca, NY, EUA. <https://doi.org/10.2173/bow.wibpip1.01>

OLIVEIRA, M. F. S. et al. Desenvolvimento e diferenciação gonadal em embriões de *Podocnemis unifilis* (Testudines: Podocnemididae) em temperatura controlada. **Revista brasileira de reprodução animal**, v. 45, n. 1, p. 39-49, 2021.

PACHECO, J. F. *et al.* Checklist anotado das aves do Brasil pelo Comitê Brasileiro de Registros Ornitológicos - segunda edição. **Ornithology Research**, v. 29, n. 2, p. 94-105, 2021 <https://doi.org/10.1007/s43388-021-00058-x>

PACHECO, S. M. *et al.* Morcegos urbanos: status do conhecimento e plano de ação para a conservação no Brasil. **Chiroptera neotropical**, v. 16, n. 1, p. 629-647, 2010.

PARANÁ. **Decreto nº 6040. Reconhece as espécies da fauna ameaçada de extinção do Estado do Paraná e dá outras providências.**2024.

PEREIRA, H. da F. A.; ESTON, M. R. de. Biologia e manejo de capivaras (*Hydrochoerus hydrochaeris*) no Parque Estadual Alberto Löfgren, SÃO PAULO, BRASIL. **Revista do Instituto Florestal**, São Paulo, v. 19, n. 1, p. 55–64, 2007. DOI: 10.24278/2178-5031.2007191338.

PETERS, F. B. *et al.* Aspectos da caça e perseguição aplicada à mastofauna na área de proteção ambiental do Ibirapuitã, Rio Grande do Sul, Brasil. **Biodiversidade Pampeana**, v. 9, n. 1, 2011.

PINHO, F.M.O.; PEREIRA, I.D. Ofidismo. **Revista da Associação Médica Brasileira [online]**. 2001, v. 47, n. 1.

PINTO, É. G. *et al.* Investigação da atividade antimicrobiana do veneno de *Rhinella icterica* (Amphibia, Anura). **Revista Instituto Adolfo Lutz**, v. 68, p. 471-475, 2009.

PIRATELLI, A.; ANDRADE, V. A.; LIMA FILHO, M. Aves de fragmentos florestais em área de cultivo de cana-de-açúcar no sudeste do Brasil. Iheringia. **Série Zoologia**, v. 95, p. 217-222, 2005.

POUGH, F. H.; JANIS, C. M.; HEISER, J. B. **A vida dos vertebrados**. 3 ed. São Paulo: Atheneu editora São Paulo LTDA, 2003.

PRESTES, R. M.; VINCENCI, K. L. Bioindicadores como avaliação de impacto ambiental. **Brazilian Journal of Animal and Environmental Research**, v. 2, n. 4, p. 1473-1493, 2019.

PRIMACK, R. B.; RODRIGUES, E. **Biologia da conservação**. Londrina: Planta. 2001.

RALPH, C.J.; GEUPEL, G.R.; PYLE, P.; MARTIN, T.E.; DESANTE, D.F. Handbook of field methods for monitoring landbirds. In: **Pacific Southwest Research Station**. p. 41, 1993.

REIS *et al.* **Mamíferos do Brasil**. 2 ed. Londrina: Nélío R. dos Reis, 2011.

REIS *et al.* **Morcegos do Brasil**. Londrina: Nélío R. dos Reis, 2007.

REIS, N. R. dos; LIMA, I. P. de; PERACCHI, A. L. Morcegos (Chiroptera) da área urbana de Londrina, Paraná, Brasil. **Revista Brasileira de Zoologia**, v. 19, p. 739-746, 2002.

RHEINGANTZ, M. ET AL.; Neotropical Otter *Lontra longicaudis*. **International Union for Conservation of Nature and Natural Resources**, p. 82-89, 2018.

RHEINGANTZ, M. L, LEUCHTENBERGER, C., ZUCCO, C. A E FERNANDEZ, F. A. S. Diferenças nos padrões de atividade da lontra neotropical *Lontra longicaudis* entre rios

de duas ecorregiões brasileiras. **Jornal de Ecologia Tropical**, v. 32, n. 02, p. 170–174, 2016. doi:10.1017/s0266467416000079.

RHEINGANTZ, M. L, SANTIAGO-PLATA, V. M, & TRINCA, C. S. A lontra neotropical *Lontra longicaudis*: uma atualização abrangente sobre o conhecimento atual e o status de conservação deste carnívoro semiaquático. **Mammal Review**, v. 47, n.4, p. 291–305, 2017. doi:10.1111/mam.12098.

RHEINGANTZ, M. L. et al. ***Lontra longicaudis* (amended version of 2021 assessment)**. The IUCN Red List of Threatened Species, 2022: e.T12304A219373698. <https://dx.doi.org/10.2305/IUCN.UK.2022-2.RLTS.T12304A219373698.en>. Acesso em 24 ago 2023.

RHEINGANTZ, M.L.; TRINCA, C.S. 2015. ***Lontra longicaudis***. The IUCN Red List of Threatened Species 2015: e.T12304A21937379. <https://dx.doi.org/10.2305/IUCN.UK.2015-2.RLTS.T12304A21937379.en>. Downloaded on 03 August 2021.

RHODIN, A. G. J. R et al. *Phrynops williamsi*. 1988. In: **Catalogue of American Amphibians and Reptiles**. 1988.

RHODIN, A.G.; MITTERMEIER, R.A. Description of *Phrynops williamsi*, a new species of chelid turtle of the South American *P. geoffroanus* complex. In: RHODIN, A.G.; Miyata, K. (Eds.). **Advances in Herpetology and Evolutionary Biology**. Essays in Honor of Ernest E. Williams. Cambridge, Mass: Museum of Comparative Zoology, p. 58-73. 1983.

RIBAS, E. R.; MONTEIRO-FILHO, E. L. A. Distribuição e habitat das tartarugas de água-doce (Testudines, Chelidae) do Estado do Paraná, Brasil. **Biociências**, v. 10, n. 2, p. 15-32, 2002.

RIBEIRO, L. B.; SILVA, M. G. O comércio ilegal põe em risco a diversidade das aves no Brasil. **Ciência e Cultura**, v. 59, n. 4, p. 4-5, 2007.

RIBON, R. **Amostragem de aves pelo método de listas de Mackinnon**. Ornitologia e conservação: ciência aplicada, técnicas de pesquisa e levantamento. Technical Books, Rio de Janeiro, p. 33-44, 2010.

ROCCA, M. A; SAZIMA, M. Ornitofilia em Mata Atlântica de encosta: sub-bosque versus dossel. **Revista Brasileira de Biociências**, v. 5, n. S1, p. 849-851, 2007.

RODRIGUES, D. C. **A herpetofauna no contexto dos impactos associados a hidrelétricas nos neotrópicos: uma revisão bibliográfica**. 85 f., il. Trabalho de Conclusão de Curso (Bacharelado em Engenharia Florestal) — Universidade de Brasília, Brasília, 2023.

RODRIGUES, E.T. **Padrão de ocupação de cutias (*Dasyprocta azarae*) em paisagens neotrópicos**. 2017. 28 f. Trabalho de conclusão de curso (bacharelado e licenciatura- Ciências Biológicas) - Universidade Estadual Paulista Júlio de Mesquita Filho, Instituto de Biociências (Campus de Rio Claro), 2017.

RODRIGUES, L. et al. Avaliação do risco de extinção da lontra neotropical *Lontra longicaudis* (Olfers, 1818) no Brasil. **Biodiversidade Brasileira**, v. 3, n. 1, p. 216-227, 2013.

ROSAS, F. C. W.; SILVA, V. M. F.; CABRAL, M. M. M.; RAMALHEIRA, C. S. Giant otter behaviour in a mega-hydroelectric reservoir, Central Amazon, Brazil. **Animal Biology**, v. 71, n. 4, p. 375-388, 2021.

SALAME-MÉNDEZ, A. Influencia de la temperatura de incubación en la determinación del sexo en quelonios. **Revista de la Sociedad Mexicana de Historia Natural**, v. 48, p. 125-136, 1998.

SCHULZE, M.D., SEAVY, N.E.; WHITACRE, D.F. A Comparison of the Phyllostomid Bat Assemblages in Undisturbed Neotropical Forest and in Forest Fragments of a Slash-and-Burn Farming Mosaic in Petén, Guatemala. **Biotropica**, v.32, p. 174-184, 2000. <https://doi.org/10.1111/j.1744-7429.2000.tb00459.x>

SICK, H. **Ornitologia brasileira**. 1997.

SILVA-CABALLERO, A; ORTEGA, J. *Mazama gouazoubira* (Cetartiodactyla: Cervidae). **Mammalian Species**, v. 54, n. 1023, 2022.

SIMONI, G. F. et al. Variação da assembleia de aves em áreas pastoris e remanescentes florestais adjacentes. **Revista de Ciências Agrárias**, v. 42, n. 4, p. 884-895, 2019.

SMITH, R.; JOHNSTON, E.; CLARK, G. The Role of Habitat Complexity in Community Development Is Mediated by Resource Availability. **PLoS ONE**, v. 9, n. 7, p. e102920, 2014.

SOARES, L. M. S. et al. First record of *Strix huhula* Daudin, 1800 (Strigiformes, Strigidae), Black-banded Owl, from the savanna–dry forest ecotone in northeastern Brazil. **Check List**, v. 17, n. 4, p. 1089-1093, 2021.

SOMENZARI, M. et al. An overview of migratory birds in Brazil. **Papéis Avulsos de Zoologia**, v. 58, p. e20185803, 2018.

SPENCER, R. **The ringer's manual**. (2nd Ed.). British Trust for Ornithology, 1976.

SPIER, E. F. et al. Registro de *Phrynops williamsi* (Rhodin & Mittermeier, 1983) no rio do Peixe, centro-oeste de Santa Catarina, Brasil. **Revista Brasileira de Biociências**, v. 12, n. 1, p. 56-56, 2014.

SPIER, E. F. et al. Registro de *Phrynops williamsi* no rio do Chapecó, Oeste de Santa Catarina, Brasil. **Evidência**, v. 11, n. 1, p. 83-87, 2011.

SRBEK-ARAUJO, A.C.; CHIARELLO, A.G. Armadilhas fotográficas na amostragem de mamíferos: Considerações metodológicas e comparação de equipamentos. **Revista Brasileira de Zoologia**, 24(3): 647–656, 2007.

STARK, A. A. P. et al. Metais pesados e sua relação com o estresse oxidativo em répteis. **Research, Society and Development**, v. 11, n. 3, p. e27511326571-e27511326571, 2022.

STOTZ et al. **Neotropical Birds: Ecology and Conservation**. The University of Chicago Press, 1996.

TABARELLI, M. et al. Desafios e oportunidades para a conservação da biodiversidade na Mata Atlântica brasileira. **Megadiversidade**, v. 1, n. 1, p. 132-138, 2005.

TELINO-JÚNIOR, W. R. et al. Estrutura trófica da avifauna na Reserva Estadual de Gurjaú, zona da mata sul, Pernambuco, Brasil. **Revista Brasileira de Zoologia**, v. 22, p. 962-973, 2005.

UETZ et al. **The Reptile Database**. 2023. Disponível em: <http://www.reptile-database.org>. Acesso em 28 de junho de 2024.

VASCONCELOS et al. **Biogeographic patterns of South american anurans**. São Paulo: Springer, 2019.

VIELLIARD, J.M.E et al. **Levantamento quantitativo por pontos de escruta e o índice pontual de abundância (IPA)**. In: MATTER, S.V.; STRAUBE, F.C.; ACCORDI, I.; PIACENTINI, V.; CÂNDIDO-JR, J.F. **Ornitologia e Conservação**. Ciência Aplicada, Técnicas de Pesquisa e Levantamento. Rio de Janeiro: Technical Books, p. 47-60, 2010.

VOGT, R.C. New methods for trapping aquatic turtles. **Copeia**, v. 2, p. 368-371, 1980.

WHELAN, C. J.; ŞEKERCIOĞLU, Ç. H.; WENNY, D. G. Why birds matter: from economic ornithology to ecosystem services. **Journal of Ornithology**, v. 156, p. 227-238, 2015.

ZORTÉA, M. et al. Morcegos da bacia do rio Corumbá, Goiás. **Chiroptera Neotropical**, v. 16, n. 1, p. 610-616, 2010.